

ЭТ-5-5

Справочник содержит технические данные по паровым турбинам, электрическим генераторам, конденсационным устройствам и вспомогательному оборудованию паротурбинных установок, предназначенных для тепловых электрических станций.

Справочник предназначен для теплотехников, занимающихся проектированием и эксплуатацией турбинных установок тепловых электростанций и для студентов энергетических специальностей.

ПРЕДИСЛОВИЕ

Справочник содержит сведения по паровым турбинам, электрическим генераторам, конденсационным устройствам и вспомогательному оборудованию паротурбинных установок, предназначенных для тепловых электрических станций. По указанным типам оборудования приведены основные параметры и технические данные.

Для некоторых современных типов паровых турбин, электрических генераторов, конденсаторов и вспомогательного оборудования технические данные приводятся впервые.

П. Н. Шляхиным написаны семь глав справочника и составлены вспомогательные графики и таблицы к тексту.

М. Л. Бершадским разработаны таблицы технических характеристик для турбин, генераторов, конденсаторов и вспомогательного оборудования, а также подготовлены диаграммы режимов и другой графический материал.

Авторы приносят большую благодарность редактору С. Я. Куриц за проделанную им работу по редактированию и восполнению справочника дополнительными техническими сведениями.

Авторы

WWW.JANKO.FRONT.RU

6П2.23 Шляхин Павел Николаевич и Бершадский Михаил Леонидович
Ш 70 Краткий справочник по паротурбинным установкам. М.—Л., Госэнергоиздат, 1961.
128 с. с черт.

612.23

Редактор С. Я. Куриц

Техн. редактор Н. И. Борнов

Сдано в набор 19/VIII 1961 г.

Подписано к печати 8/XII 1961 г.

T-13187

Бумага 70×108^{1/16}

10,96 печ. л.

Уч.-изд. л. 12,2

Тираж 25 000 экз.

Цена 61 коп.

Зак. 526

СОДЕРЖАНИЕ

| | |
|--|----|
| Предисловие | 3 |
| ГЛАВА ПЕРВАЯ | |
| ПАРОВЫЕ ТУРБИНЫ | |
| 1-1. Основные определения и понятия о паротурбинной установке | 5 |
| 1-2. Назначение и типы паровых турбин | 5 |
| 1-3. Основные уравнения мощности и к. п. д. конденсационной турбины без отборов пара | 9 |
| 1-4. Основные уравнения мощности и к. п. д. конденсационной турбины с отборами пара для регенеративного подогрева питательной воды | 10 |
| 1-5. Потери в турбине. Тепловой процесс турбинной ступени | 12 |
| 1-6. Конденсационные турбины без регулируемых отборов пара | 16 |
| 1-7. Уравнение мощности конденсационной турбины с регенеративными отборами и одним регулируемым отбором пара. Диаграмма режимов | 21 |
| 1-8. Уравнение мощности конденсационной турбины с регенеративными отборами и двумя регулируемыми отборами пара. Диаграмма режимов | 25 |
| 1-9. Конденсационные турбины с регулируемыми отборами пара | 29 |
| 1-10. Турбины с противодавлением | 29 |
| ГЛАВА ВТОРАЯ | |
| КОНДЕНСАЦИОННЫЕ УСТРОЙСТВА | |
| 2-1. Общие сведения о конденсационных устройствах | 68 |
| 2-2. Основные уравнения для теплового расчета конденсатора | 69 |
| 2-3. Основные размеры конденсатора | 72 |
| 2-4. Паровое и гидравлическое сопротивление конденсатора | 73 |
| 2-5. Конструкции конденсаторов | 74 |
| 2-6. Характеристики конденсаторов | 77 |
| 2-7. Пароструйные эJECTоры | 83 |
| 2-8. Конденсатные и циркуляционные насосы | 88 |
| ГЛАВА ТРЕТЬЯ | |
| ТУРБОГЕНЕРАТОРЫ | |
| 3-1. Турбогенераторы серии Т2 с воздушным охлаждением | 9 |
| 3-2. Турбогенераторы с водородным охлаждением | 9 |
| ГЛАВА ЧЕТВЕРТАЯ | |
| ДЕАЭРАТОРЫ, РЕГЕНЕРАТИВНЫЕ ПОДОГРЕВАТЕЛИ, ИСПАРИТЕЛЬНЫЕ И ПАРОПРЕОБРАЗОВАТЕЛЬНЫЕ УСТРОЙСТВА | |
| 4-1. Деаэраторы | 9 |
| 4-2. Регенеративные подогреватели низкого и высокого давлений | 9 |
| 4-3. Испарительные и паропреобразовательные устройства | 10 |
| ГЛАВА ПЯТАЯ | |
| МАСЛОСНАБЖЕНИЕ ТУРБОАГРЕГАТА | |
| ГЛАВА ШЕСТАЯ | |
| ОБСЛУЖИВАНИЕ ТУРБИНЫ. ЭКОНОМИЧЕСКИЕ ПОКАЗАТЕЛИ РАБОТЫ ТУРБОУСТАНОВКИ И ТУРБИННОГО ЦЕХА | |
| 6-1. Контроль за режимами работы турбин | 10 |
| 6-2. Контроль за работой упорных подшипников | 11 |
| 6-3. Контроль за вибрационным состоянием турбоагрегата | 11 |
| 6-4. Контроль за качеством турбинного масла | 11 |
| 6-5. Экономические показатели работы турбоустановки и турбинного цеха | 11 |
| ГЛАВА СЕДЬМАЯ | |
| НЕКОТОРЫЕ СВЕДЕНИЯ О ПЕРЕМЕННЫХ РЕЖИМАХ РАБОТЫ ТУРБИНЫ | |
| 7-1. Расход пара через сопловые решетки турбины при переменных режимах | 11 |
| 7-2. Связь между давлениями в ступенях турбины и расходом пара | 11 |
| Приложения | 12 |
| Литература | 12 |

ГЛАВА ПЕРВАЯ ПАРОВЫЕ ТУРБИНЫ

1-1. ОСНОВНЫЕ ОПРЕДЕЛЕНИЯ И ПОНЯТИЯ О ПАРОТУРБИННОЙ УСТАНОВКЕ

Паротурбинная силовая установка предназначена для преобразования тепловой энергии пара, получаемой в котле при сгорании топлива, в механическую энергию на валу турбины. На электрической станции эта механическая энергия превращается в электрическую энергию электрогенератором.

Принципиальная схема паротурбинной установки для привода электрогенератора приведена на рис. 1-1.

Свежий пар из котла, где он получил тепло сгоревшего топлива, поступает в турбину 1 и, расширяясь в ней, совершает работу, вращая ротор электрического генератора 2. По выходе из турбины пар поступает в конденса-

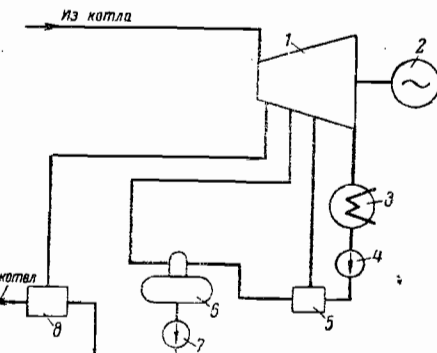


Рис. 1-1. Принципиальная схема паротурбинной установки.
 1—паровая турбина; 2—электрический генератор; 3—конденсатор; 4—конденсатный насос; 5—подогреватель низкого давления; 6—деаэратор; 7—питательный насос; 8—подогреватель высокого давления.

тор 3, где происходит его конденсация. Далее конденсат отработавшего пара посредством конденсатного насоса 4 прокачивается через подогреватель низкого давления 5 в деаэратор 6. Из деаэратора питательный насос 7 подает воду через подогреватель высокого давления 8 в котел.

Паровая турбина и электрогенератор составляют турбоагрегат.

Подогреватели 5 и 8 и деаэратор 6 образуют систему регенеративного подогрева питательной воды, которая использует пар из нерегулируемых отборов паровой турбины.

1-2. НАЗНАЧЕНИЕ И ТИПЫ ПАРОВЫХ ТУРБИН

Стационарная паровая турбина является одним из элементов паротурбинной установки и предназначена для привода электрического генератора переменного тока, работающего с постоянным числом оборотов, равным 3 000 об/мин; отдельные типы паровых турбин предназначены также для обеспечения потребителей тепловой энергией.

A. Типы и основные параметры

В соответствии с характером теплового процесса паротурбинной установки ГОСТ 3618-58 установил типы паровых турбин и номинальные значения их основных параметров, а также условную систему обозначений (табл. 1-1, 1-2 и 1-3).

Примеры условных обозначений вновь проектируемых турбин:

конденсационная турбина без регулируемого отбора пара мощностью

Таблица 1-1

Турбины паровые на давление пара от 35 до 130 ата конденсационного типа без регулируемых отборов пара (основные параметры в соответствии с ГОСТ 3618-58)

| Обозначение типоразмеров турбин | | Номинальные значения параметров | | | | | |
|--------------------------------------|--------------------------------|---|--------------------------|--|--|----------------------------------|------------------|
| вновь проектируемых | ранее спроектированных | Мощность (длительно развиваемая на зажимах генератора), квт | Начальные параметры пара | Температура промежуточного перегрева, °С | Температура регенеративного подогрева воды, °С | Температура охлаждающей воды, °С | |
| давление, ата | температура, °С | | | | | | |
| K-6-35 K-12-35 | AK-6 AK-12 | 6 000 12 000 | 35 — | 435 — | — — | 145 — | 25 20 |
| K-25-90 K-50-90 K-100-90 | BK-25 BK-50 BK-100 | 25 000 50 000 100 000 | 90 — | 535 — | — — | 215 15; 15 10; 15 | — — — |
| K-100-130 K-150-130* K-200-130 | PVK-100 PVK-150* PVK-200 | 100 000 150 000 200 000 | 130 — | 565 565 | 565 — | 230 — | 10, 15 — — |

* Турбина K-150-130 (ПВК-150) по согласованию с заказчиком может изготавливаться на мощность 160 000 квт.

6 000 квт с начальным давлением 35 ата — турбина паровая K-6-35;

конденсационная турбина с теплофикационным регулируемым отбором пара мощностью 6 000 квт с начальным давлением 35 ата — турбина паровая T-6-35;

конденсационная турбина с производственным регулируемым отбором пара мощностью 6 000 квт с начальным давлением 35 ата (давление регулируемого отбора 5 ата) — турбина паровая П-6-35/5;

конденсационная турбина мощностью 50 000 квт с начальным давлением 130 ата и с двумя регулируемыми отборами пара — с производственным давлением 7 ата и теплофикационным — турбина паровая ПТ-50-130/7;

турбина с противодавлением мощностью 12 000 квт с начальным давлением 90 ата и конечным давлением (противодавлением) 13 ата — турбина паровая Р-12-90/13.

Б. Характеристика номинальных значений основных параметров

Номинальная мощность турбины — наибольшая мощность, которую турбина должна длительно развивать на зажимах электргенера-

тора, при номинальных величинах основных параметров или при изменении их в пределах, оговоренных ГОСТ 3618-58.

Турбина с регулируемым отбором пара может развивать по условиям прочности ее деталей мощность выше номинальной. Наибольшая максимально допустимая мощность турбины достигается при величине регулируемого отбора пара, равном:

$$D_{\text{от}} = D_{0,\text{макс}} - D_{k,\text{макс}} [m/\text{ч}],$$

где $D_{0,\text{макс}}$ — максимально допустимый расход свежего пара через часть высокого давления (ч. в. д.) турбины, $m/\text{ч}$;
 $D_{k,\text{макс}}$ — максимально допустимый расход пара через часть низкого давления (ч. н. д.) турбины в конденсатор, $m/\text{ч}$.

Такой режим работы с максимально допустимой мощностью для одноцилиндровых и двухцилиндровых турбин (с жесткими муфтами и одним упорным подшипником на два ротора) может быть разрешен при условии специальной проверки надежности работы упорного подшипника и если это допускает электрический генератор.

Экономическая мощность турбины — мощность, при которой

Таблица 1-2

Турбины паровые конденсационного типа с регулируемыми отборами и основные параметры в соответствии с ГОСТ 3618-58

| Обозначение типоразмеров турбин | Типы регулируемых отборов пара | Номинальные значения параметров | Давление пара в отборе, ата | | | | | | Температура регенеративно-подогрева питательной воды, °С | Температура охлаждающей воды, °С | | |
|--|---|---|-----------------------------|-----------------------|---------------------------|-----------------------|-----------------------|-----------------------|--|----------------------------------|----------------------|----------------------|
| | | | 1,2 | | | 5 | | | | | | |
| | | | давление, ата | температура, °С | давление, ата | температура, °С | давление, ата | температура, °С | давление, ата | температура, °С | давление, ата | |
| T-2,5-35 T-4,35 T-6,35 T-12-35 | AT-2,5 AT-4 AT-6 AT-12 | 2 500 4 000 6 000 12 000 | 35 435 30 65 | 35 30 35 35 | 14 22 30 65 | — — — — | — — — — | — — — — | — — — — | 145 — — — | 25 25 25 20 | |
| T-25-90 | BT-25 | 25 000 | 90 | 535 | 90 | — | — | — | — | — | 215 | 20 |
| ПТ-0,75-35/5 ПТ-1,5-35/5 ПТ-2,5-35/5 ПТ-4,35/5 ПТ-6-35/5 | АП-0,75 АП-1,5 АП-2,5 АП-4 АП-6 | 750 1 500 2 500 4 000 6 000 | — — — — — | — — — — — | 5 10 18 25 40 | — — — — — | — — — — — | — — — — — | — — — — — | 145 — — — — | 25 25 25 20 | |
| ПТ-12-35/10 | АПТ-12 | 12 000 | 35 | 435 | 40 | — | — | — | 50 | — | 145 | 20 |
| ПТ-12-90/7 ПТ-12-90/10 ПТ-25-90/10 (ПТ-50-90/13)** | — ВПТ-12 ВПТ-25 (ВПТ-50)** | 12 000 12 000 25 000 50 000 | — 90 50 100 | — 535 50 80* | — — — — | — — — — | — — — — | — — — — | 30 70 — 120* | — — — — | 35 70 — 140 | 20 20 20 20 |
| ПТ-50-130/7 ПТ-50-130/13 | ВПТ-50 | 50 000 50 000 | 130 | 565 | 80 90 | — — | — — | — — | — — | — — | 115 — | 230 20 |

* Приведенная в таблице величина отбора уточняется при проектировании.

** Типоразмер турбины, поставленный в скобках, изготовляется до 1958 г. включительно.

Таблица 1-3

Турбины паровые с противодавлением на давление пара от 35 до 130 ата
(основные параметры в соответствии с ГОСТ 3618-58)

| Обозначение типоразмеров турбин | | | Номинальные значения параметров |
|---------------------------------|------------------------|---|---------------------------------|
| вновь проектируемых | ранее спроектированных | Мощность (длительно развиваемая на зажимах генератора), квт | |
| | | Начальные параметры пара | Давление пара за турбиной, ата |
| | | давление, ата | температура, °C |
| P-1,5-35/3 | AP-1,5-3 | 1 500 | 3 |
| P-1,5-35/5 | AP-1,5-5 | 1 500 | 5 |
| P-1,5-35/10 | AP-1,5-10 | 1 500 | 10 |
| P-1,5-35/15 | AP-1,5-15 | 1 500 | 15 |
| P-2,5-35/3 | AP-2,5-3 | 2 500 | 3 |
| P-2,5-35/5 | AP-2,5-5 | 2 500 | 5 |
| P-2,5-35/10 | AP-2,5-10 | 2 500 | 10 |
| P-2,5-35/15 | AP-2,5-15 | 2 500 | 15 |
| P-4-35/3 | AP-4-3 | 4 000 | 3 |
| P-4-35/5 | AP-4-5 | 4 000 | 5 |
| P-4-35/10 | AP-4-10 | 4 000 | 10 |
| P-4-35/15 | AP-4-15 | 4 000 | 15 |
| P-6-35/3 | AP-6-3 | 6 000 | 3 |
| P-6-35/5 | AP-6-5 | 6 000 | 5 |
| P-6-35/10 | AP-6-10 | 6 000 | 10 |
| P-6-90/31 | BP-6-31 | 6 000 | 31 |
| P-12-90/7 | — | 12 000 | 7 |
| P-12-90/13 | — | 12 000 | 13 |
| P-12-90/18 | BP-12-18 | 12 000 | 18 |
| P-12-90/31 | BP-12-31 | 12 000 | 31 |
| (P-25-90/18)* | (BP-25-18)* | 25 000 | 18 |
| (P-25-90/31)* | (BP-25-31) | 25 000 | 31 |
| P-25-130/7 | — | 25 000 | 7 |
| P-25-130/13 | — | 25 000 | 13 |
| P-25-130/18 | ПВР-25-18 | 25 000 | 18 |
| P-25-130/31 | — | 25 000 | 31 |
| P-50-130/7** | — | 50 000 | 7 |
| P-50-130/13** | — | 50 000 | 13 |
| P-50-130/18 | — | 50 000 | 18 |

* Типоразмер турбины, поставленный в скобках, изготавливается до 1965 г. включительно.

** Турбины Р-50-130/7 и Р-50-130/13 по согласованию с заказчиком могут выпускаться на пониженную (против номинальной) мощность в случае их изготовления на базе турбины ПТ-50-130/7.

турбина работает с наибольшей экономичностью¹. В зависимости от параметров свежего пара и назначения турбины номинальная мощность может быть равна экономической или больше ее на 10—25%.

Номинальная величина регулируемого отбора пара из турбины с одним регулируемым отбором — наибольшая величина отбора, при которой турбина развивает номинальную мощность; турбина с двумя регулируемыми отборами пара должна развивать номинальную мощность при номинальных величинах обоих регулируемых отборов.

Максимальная величина любого из

¹ Справедливо для конденсационных турбин.

В. Предельные отклонения от номинальных значений основных параметров в соответствии с ГОСТ 3618-58

1. Номинальная мощность турбины должна длительно обеспечиваться при следующих отклонениях величин параметров от их номинальных значений:

а) при одновременном изменении начальных параметров пара в пределах, указанных в табл. 1-4, но при номинальных параметрах промежуточного перегрева и при номинальной температуре охлаждающей воды;

Таблица 1-4

Предельные отклонения номинальных параметров свежего пара

| Номинальные значения | | Предельные отклонения от номинальных значений | |
|----------------------|-----------------|---|-----------------|
| давление, ата | температура, °C | давление, ата | температура, °C |
| 35 | 435 | 32—37 | 420—445 |
| 90 | 535 | 85—95 | 525—540 |
| 130 | 565 | 125—135 | 555—570 |

б) при повышении температуры охлаждающей воды до 33° С, если начальные параметры пара и промежуточного перегрева при этом не ниже номинальных;

в) при изменении температуры промежуточного перегрева пара в пределах 555—570° С;

г) при изменении давлений в регулируемых отборах пара и давлений за турбиной (противодавлений) в пределах, указанных в табл. 1-5;

Таблица 1-5

Предельные отклонения номинальных давлений регулируемых отборов пара и противодавлений

| Номинальные давления, ата | | Предельные отклонения давлений, ата | |
|---------------------------|-----------------|-------------------------------------|-----------------|
| в регулируемом отборе | противодавление | в отборе | противодавление |
| 1,2 | — | 0,7—2,5 | — |
| — | 3 | — | 2—4 |
| 5 | 5 | 4—7 | 4—7 |
| 7 | 7 | 5—9 | 5—9 |
| 10 | 10 | 8—13 | 8—13 |
| 13 | 13 | 10—16 | 10—16 |
| — | 15 | — | 13—17 |
| — | 18 | — | 15—21 |
| — | 31 | — | 29—33 |

д) при уменьшении величины регулируемого теплофикационного отбора пара (табл. 1-2) до нуля.

2. Отклонения величин регулируемых отборов пара от их номинальных значений (табл. 1-2) не должны превышать ±10%.

3. Отклонения температуры регенеративного подогрева питательной воды от ее номинального значения (табл. 1-1 и 1-2) не должны превышать ±10° С.

1-3. ОСНОВНЫЕ УРАВНЕНИЯ МОЩНОСТИ И К. П. Д. КОНДЕНСАЦИОННОЙ ТУРБИНЫ БЕЗ ОТБОРОВ ПАРА

Внутренняя мощность

$$N_i = \frac{D_o H_i}{860} [\text{kвт}], \quad (1-1)$$

где D_o — расход пара через турбину (без учета утечек через уплотнения вала), кг/ч;

H_i — полезно использованный теплоперепад, ккал/кг, вычисляемый по формуле

$$H_i = H_0 \eta_{oi}, \quad (1-2)$$

где H_0 — располагаемый теплоперепад (рис. 1-2), ккал/кг;

η_{oi} — относительный внутренний (термодинамический) к. п. д. турбины, вычисляемый по формуле

$$\eta_{oi} = \frac{H_0 - \Sigma h_n}{H_0}, \quad (1-3)$$

где Σh_n — сумма внутренних потерь в турбине, ккал/кг.

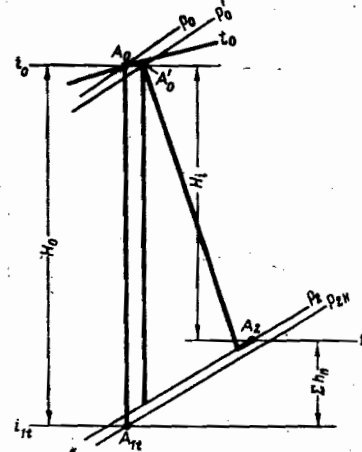
Эффективная мощность на валу турбины (мощность, передаваемая генератору):

$$N_e = \frac{D_o H_{oe}}{860} [\text{kвт}], \quad (1-4)$$

где η_{oe} — относительный эффективный к. п. д., вычисляемый по формуле¹

$$\eta_{oe} = \eta_{oi} \cdot \eta_m, \quad (1-5)$$

¹ Если между турбиной и приводимой ею машиной установлен редуктор, значение эффективного к. п. д. необходимо умножить на к. п. д. редуктора η_r .



Термический к. п. д. (абсолютный) турбоустановки без отборов пара

$$\eta_t = \frac{H_0}{i_0 - i'_k}, \quad (1-9)$$

где i_0 — теплосодержание (энталпия) свежего пара перед турбиной, $\text{kкал}/\text{кг}$;

i'_k — теплосодержание (энталпия) конденсата, отводимого от конденсатора турбины, численно равное температуре насыщенного пара при давлении, равном давлению в конденсаторе (p_{2k} , рис. 1-2), $\text{kкал}/\text{кг}$.

Абсолютный эффективный к. п. д.

$$\eta_e = \eta_t \eta_{oe}. \quad (1-10)$$

Абсолютный электрический к. п. д. турбоустановки

$$\eta_s = \eta_t \eta_{oe}. \quad (1-11)$$

Удельный расход пара турбоустановкой на киловатт-час

$$d_s = \frac{D_0}{N_s} [\text{кг}/\text{квт}\cdot\text{ч}]. \quad (1-12)$$

Удельный расход тепла турбоустановкой на киловатт-час

$$q_s = d_s (i_0 - i'_k) = \frac{860}{\eta_s} [\text{ккал}/\text{квт}\cdot\text{ч}]. \quad (1-13)$$

1-4. ОСНОВНЫЕ УРАВНЕНИЯ МОЩНОСТИ И К. П. Д. КОНДЕНСАЦИОННОЙ ТУРБИНЫ С ОТБОРАМИ ПАРА ДЛЯ РЕГЕНЕРАТИВНОГО ПОДОГРЕВА ПИТАТЕЛЬНОЙ ВОДЫ

В турбинах среднего давления небольшой и средней мощности число нерегулируемых отборов пара для регенеративного подогрева питательной воды составляет один — четыре. У современных турбин высокого, сверхвысокого и сверхкритического давлений число регенеративных отборов пара составляет от пяти-шести до восьми-девяти.

Электрическая мощность на зажимах генератора турбины с тремя нерегулируемыми регенеративными отборами пара (принципиальная схема турбоустановки и тепловой процесс — на рис. 1-3 и 1-4).

Рис. 1-2. Тепловой процесс конденсационной турбины без отборов пара в i - s -диаграмме. p_0 ; i_0 и t_0 — давление, температура и теплосодержание (энталпия) свежего пара; A_0 ; A'_0 ; A_{1t} и A_2 — теоретические и фактические точки начала и конца процесса расширения пара в турбине; i_{tt} и i_k — теплосодержание (энталпия) пара в конце изоэнтропического и фактического процессов расширения; Σh_{in} — сумма внутренних потерь.

где η_m — механический к. п. д., учитывающий потери на трение в подшипниках, затрату энергии на привод масляного насоса и регулятора скорости (в случае их соединения с валом турбины) при данной мощности.

Электрическая мощность на зажимах генератора

$$N_s = \frac{D_0 H_0 \eta_{oe}}{860} [\text{квт}], \quad (1-6)$$

где η_{oe} — относительный электрический к. п. д. генератора, вычисляемый по формуле

$$\eta_{oe} = \eta_r \eta_g, \quad (1-7)$$

где η_r — к. п. д. генератора при данной мощности.

Электрическая мощность, потребляемая для преодоления сопротивлений холостого хода турбоагрегата,

$$N_{x,x} = N_i - N_s = \left(\frac{1}{\eta_m \eta_r} - 1 \right) N_s [\text{квт}], \quad (1-8)$$

где η_m и η_r — значения механического к. п. д. и к. п. д. генератора.

$$N_s = \frac{D_0 [h'_0 + (1 - \alpha_1) h''_0 + (1 - \alpha_1 - \alpha_2) h'''_0 + (1 - \alpha_1 - \alpha_2 - \alpha_3) h^{IV}_0] \eta_m \eta_r}{860} [\text{квт}], \quad (1-14)$$

где

$$\alpha_1 = \frac{D'_{ot}}{D_0}; \quad \alpha_2 = \frac{D''_{ot}}{D_0}$$

и

$$\alpha_3 = \frac{D'''_{ot}}{D_0};$$

D'_{ot} ; D''_{ot} и D'''_{ot} — первый, второй и третий отборы пара на регенерацию, $\text{кг}/\text{ч}$;

D_0 — расход свежего пара через турбину, $\text{кг}/\text{ч}$;

h'_0 ; h''_0 ; h'''_0 и h^{IV}_0 — полезно использованные теплоперепады, соответственно от состояния свежего пара до первого отбора, от состояния в первом отборе до второго отбора, от состояния во втором отборе до третьего отбора и от состояния в третьем отборе до состояния отработавшего пара, $\text{ккал}/\text{кг}$ (рис. 1-4, б).

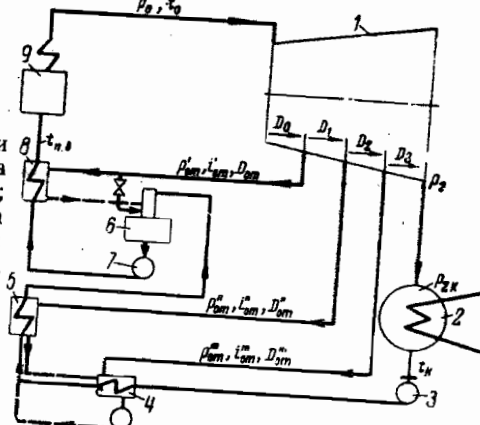


Рис. 1-3. Принципиальная тепловая схема турбоустановки с тремя регенеративными отборами пара.
1 — турбина; 2 — конденсатор; 3 — конденсатный насос;
4 и 5 — подогреватели низкого давления; 6 — деаэратор;
7 — питательный насос; 8 — подогреватель высокого давления;
9 — котел; D_0 ; D_1 ; D_2 и D_3 — расходы пара через соответствующие отсеки турбины; D_K — расход пара в конденсаторе $D_K = D_0 - (D'_{ot} + D''_{ot} + D'''_{ot})$; $t_{p,v}$ — температура питательной воды.

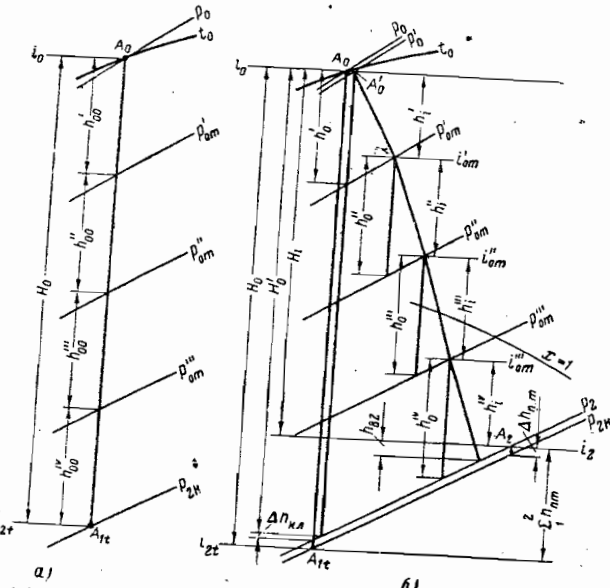


Рис. 1-4. Тепловой процесс конденсационной турбины с тремя регенеративными отборами пара в i - s -диаграмме.
а — изоэнтропический процесс; б — процесс с учетом потерь.

Диаграммный к. п. д. турбины (рис. 1-4)

$$\eta_{oi}^{t.p.d.} = \frac{h_i' + h_i'' + h_i''' + h_i^{IV}}{H_0}. \quad (1-15)$$

1-5. ПОТЕРИ В ТУРБИНЕ. ТЕПЛОВОЙ ПРОЦЕСС ТУРБИННОЙ СТУПЕНИ

Потери, возникающие в турбине, разделяют на две группы: внешние, не влияющие на состояние пара, и внутренние, влияющие на изменение состояния пара.

A. Внешние потери

Механические потери связаны с преодолением вредных сопротивлений в опорных и упорных подшипниках турбины с затратой мощности на привод системы регулирования и масляного насоса. Эти потери учитываются механическим к. п. д. η_m , который принимается по графику (рис. 1-5).

В турбинах с водяными уплотнениями (рис. 1-6) на преодоление вредных сопротивлений дополнительно затрачивается мощность, величина которой определяется по формуле Флюгеля:

$$N \approx 3500 \left(\frac{n}{1000} \right)^3 r_3^5 \left[2 - \left(\frac{r_1}{r_3} \right)^5 - \left(\frac{r_2}{r_3} \right)^5 \right] + 7050 \left(\frac{n}{1000} \right)^3 r_3^4 b [квт], \quad (1-16)$$

где n — число оборотов ротора турбины в минуту;
 r_1 , r_2 и r_3 — радиусы, подставляются в соответствии с рис. 1-6, м;
 b — ширина колеса, м.

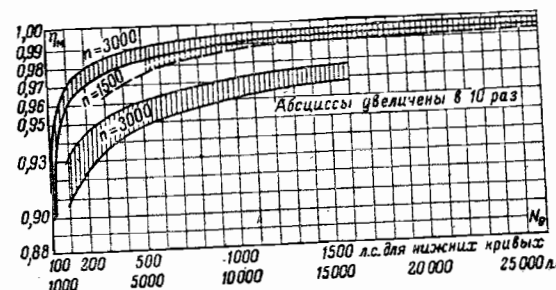


Рис. 1-5. Механический к. п. д. турбины.

Потери от утечек через концевые лабиринтовые уплотнения ротора

$$G_{y.t.k} = 310 \mu_y F_y \sqrt{\frac{p_1}{v_1}} \times \times \sqrt{\frac{1-e^2}{z}} [кг/сек], \quad (1-17)$$

где μ_y — опытный коэффициент, зависящий от формы и толщины кромок гребней; принимается по графику (рис. 1-7);
 F_y — площадь зазора в уплотнении, m^2 , вычисляемая по формуле

$$F_y = \pi d \delta_r;$$

d — диаметр уплотнения, м;
 δ_r — радиальный зазор, м;
 p_1 и v_1 — давление и удельный объем пара перед уплотнением, ата ($кГ/см^2$) и $м^3/кг$;
 $e = \frac{p_2}{p_1}$ — отношение величины давления за уплотнением к давлению перед уплотнением;
 z — число гребней в уплотнении.

B. Внутренние потери

Потеря в клапанах свежего пара при полном их открытии

$$\Delta p_{kl} = (0,03 \div 0,05) p_0, \quad (1-18)$$

где p_0 — давление свежего пара перед стопорным клапаном, ата.

Потеря в клапанах перепуска пара

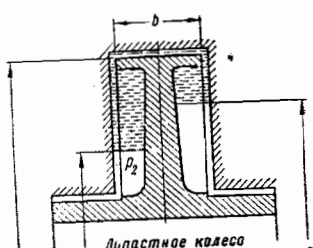


Рис. 1-6. Схема водяного уплотнения.

из камеры регулируемого отбора при полном их открытии¹

$$\Delta p_n = (0,03 \div 0,05) p_n [ата], \quad (1-19)$$

где p_n — давление в камере регулируемого отбора, ата.

Потеря в перепускных трубах из одного корпуса турбины в последующий

$$\Delta p_{ne} = (0,01 \div 0,02) p_{ne} [ата], \quad (1-20)$$

где p_{ne} — давление пара перед перепускными трубами, ата.

Потеря в газовом промежуточном пароперегревателе и отсечных клапанах

$$\Delta p_{np} = (0,10 \div 0,15) p_{np} [ата], \quad (1-21)$$

где p_{np} — давление пара, поступающего из турбины в паропровод промежуточного перегревателя, ата.

Потеря в сопловых и направляющих решетках

$$h_c = \frac{c_{it}^2 - c_1^2}{8378} = \frac{(1 - \varphi^2) c_{it}^2}{8378} =$$

$$= (1 - \varphi^2) (h_{01} + h_{bc}^{np}) [ккал/кг], \quad (1-22)$$

где c_{it} — теоретическая скорость пара по выходе из сопловой решетки, $м/сек$, вычисляемая по формуле

$$c_{it} = 91,5 \sqrt{h_{01} + \mu h_{bc}^{np}};$$

$c_t = \varphi c_{it}$ — действительная скорость пара по выходе из сопловой решетки, $м/сек$;

¹ При частичном открытии перепускных клапанов потеря в них в зависимости от системы парораспределения и режима работы турбины может достигать 30—40 % и более.

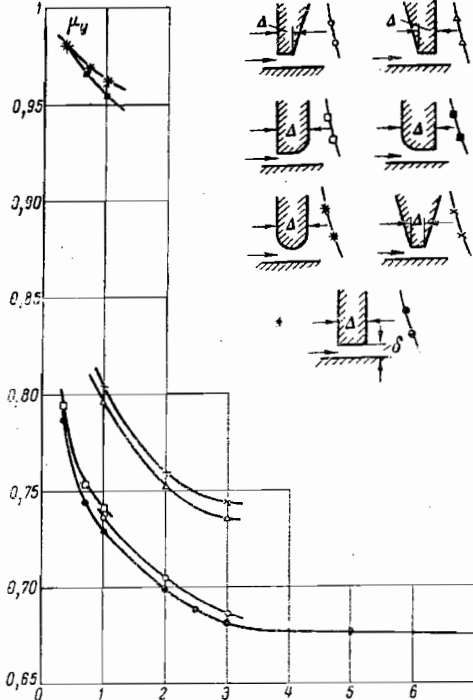


Рис. 1-7. Коэффициент расхода μ_y для учета утечки в лабиринтовых уплотнениях.

φ — коэффициент скорости пара в сопловых решетках (для ориентировочных расчетов по графику рис. 1-8);

h_{01} — располагаемый (изоэнтропический) перепад тепла, срабатываемый в сопловой решетке, $ккал/кг$;

h_{bc}^{np} — энергия выходной скорости рабочей решетки предыдущей ступени, используемая в сопловой решетке данной ступени, $ккал/кг$;

μ — коэффициент использования энергии выходной скорости (h_{bc}^{np}); для ориентировочных расчетов принимают $\mu=1$.

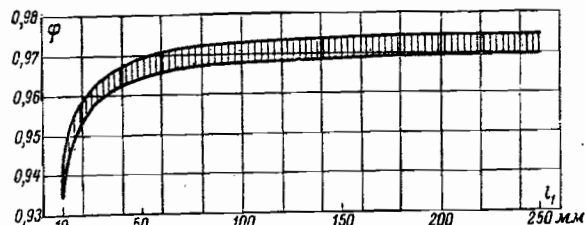


Рис. 1-8. Коеффициент скорости φ для ориентировочного расчета суживающихся сопловых решеток.

Потеря на рабочих решетках (на рабочих лопатках)

$$h_a = \frac{w_{2t}^2 - w_2^2}{8378} = \frac{(1 - \psi^2) w_{2t}^2}{8378} = \\ = (1 - \psi^2) \times (h_{w1} + h_{02}) = \\ = (1 - \psi^2) (h_{w1} + \rho h_0) [\text{kкал}/\text{кг}], \quad (1-23)$$

где w_{2t} — относительная теоретическая скорость пара на выходе из рабочей решетки, $\text{м}/\text{сек}$, вычисляемая по формуле

$$w_{2t} = 91,5 \sqrt{h_{w1} + \rho h_0};$$

$w_2 = \psi w_{2t}$ — действительная скорость пара на выходе из рабочей решетки, $\text{м}/\text{сек}$;

ψ — коэффициент скорости пара в рабочих решетках; для ориентировочных расчетов значения ψ принимаются по графику (рис. 1-9);

$h_{w1} = \frac{w_1^2}{8378}$ — энергия относительной скорости (w_1) при входе пара на рабочую решетку, $\text{kкал}/\text{кг}$;

$\rho = \frac{h_{02}}{h_0}$ — степень реакции;

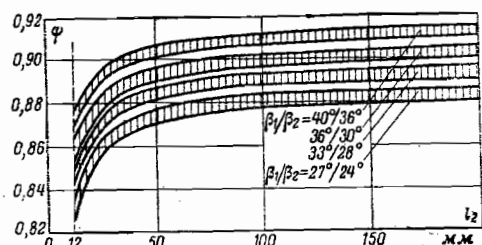


Рис. 1-9. Коеффициент скорости φ для ориентировочного расчета рабочих решеток активных турбин.

h_{02} и h_0 — располагаемый (изоэнтропический) перепад тепла, срабатываемый на рабочей решетке и в турбинной ступени, $\text{kкал}/\text{кг}$.

Для ступеней с умеренной степенью реакции ($\rho = 0,1 \div 0,15$) ψ принимают на $1 \div 1,5$, выше значения, получаемого по графику рис. 1-9; для ступеней с большой степенью реакции ($\rho \geq 0,4$) $\psi \approx 0,95 \div 0,97$.

Потеря с выходной скоростью

$$h_{a,c} = \frac{c_2^2}{8378} [\text{kкал}/\text{кг}], \quad (1-24)$$

где c_2 — абсолютная скорость пара на выходе с рабочей решетки последней ступени турбины, $\text{м}/\text{сек}$.

Величина потери $h_{a,c}$ считается умеренной, если для конденсационной турбины $h_{a,c} = (0,02 \div 0,025) H_0$ и большей, если $h_{a,c} \geq (0,025 \div 0,035) H_0$.

Потеря на трение диска о пар и вентиляционные сопротивления

$$h_{t,v} = \frac{102 N_{t,v}}{427 G} = \\ = 0,239 \frac{N_{t,v}}{G} [\text{kкал}/\text{кг}], \quad (1-25)$$

где $N_{t,v}$ — мощность, затрачиваемая на трение диска о пар и на вентиляционные сопротивления, kвт , вычисляемая по формуле¹

$$N_{t,v} = \lambda [1,07 d^2 + 0,61 z (1 - \varepsilon) \times \\ \times d l^{1.5}] \frac{u^4}{10^6} \gamma [\text{kвт}]; \quad (1-26)$$

G — расход пара через ступень, $\text{кг}/\text{сек}$;

¹ Эмпирическая формула Стодолы.

λ — коэффициент, принимаемый для воздуха и высокотемпературного пара равным единице; для перегретого пара — 1,1 — 1,2, и для насыщенного пара — 1,3;

d — средний диаметр ступени, м ;

z — число ступеней скорости, т. е. число рядов рабочих решеток на диске;

ε — степень парциальности впуска пара (характеризует неполный по окружности подвод пара к сопловым решеткам)¹;

l — высота решетки (для двух-и трехвенечных дисков подставляется средняя высота рабочих решеток), см ;

u — окружная скорость на среднем диаметре рабочей решетки, $\text{м}/\text{сек}$;

γ — удельный вес пара, в среде которого вращается диск, $\text{кг}/\text{м}^3$.

Концевые потери парциальной ступени (на выталкивание неподвижной относительно рабочих решеток массы пара):

а) для одновенечной регулирующей ступени

$$h_{a,k} = 0,11 \frac{Bl_1''}{F_1} \times \\ \times \eta_u m \cdot x_a h_0 [\text{kкал}/\text{кг}], \quad (1-27)$$

б) для двухвенечной регулирующей ступени

$$h_{a,k} = 0,11 \frac{Bl_1'' + B_1 l_2''}{F_1} \times \\ \times \eta_u m \cdot x_a h_0 [\text{kкал}/\text{кг}], \quad (1-27a)$$

где B и B_1 — ширина рабочих решеток первого и второго венцов, см ;

l_1'' и l_2'' — высоты рабочих решеток первого и второго венцов, см ;

F_1 — выходное сечение сопловых решеток, см^2 ;

m — число пар концов сопловых сегментов (число групп сопловых решеток); при $\varepsilon = 1$ величина $m = 0$;

$x_a = \frac{u}{c_a}$ — отношение окружной скорости на среднем диаметре ступени к теорети-

¹ Численное значение степени парциальности впуска равно отношению длины дуги, занятой соплами, к длине окружности по среднему диаметру.

ческой скорости пара, вычисляемой по формуле

$$c_a = 91,5 \sqrt{h_0} [\text{м}/\text{сек}];$$

η_u — относительный к. п. д. на ободе венца (лопаточный);

для одновенечной ступени

$$\eta_u = \frac{h_0 - h_c - h_l - h_{a,c}}{h_0};$$

для двухвенечной ступени

$$\eta_u = \frac{h_0 - h_c - h'_l - h_h - h''_l - h_{a,c}}{h_0};$$

h'_l и h''_l — потери на рабочих решетках первого и второго венцов, $\text{ккал}/\text{кг}$;

h_h — потери в направляющей решетке второй ступени, $\text{ккал}/\text{кг}$ [по формуле (1-22)].

Потери от утечек пара в ступенях турбины:

а) потери от утечек через диафрагменные уплотнения активных ступеней [подсчитываются по формуле (1-17)];

б) потери от утечек через уплотнения направляющих и рабочих решеток реактивных ступеней:

$$h_{yt} = \frac{\delta_r}{l \sin \alpha_1} (i_1 - i_2) [\text{kкал}/\text{кг}] \quad (1-28)$$

или

$$h_{yt} = 1,72 \frac{\delta_r}{l} h_0 [\text{kкал}/\text{кг}], \quad (1-29)$$

где l — высота направляющей решетки, см ;

α_1 — угол парового потока на выходе из направляющей решетки;

i_1 — теплосодержание (энталпия) пара перед направляющей решеткой, $\text{ккал}/\text{кг}$;

i_2 — то же за рабочей решеткой с учетом всех потерь, кроме утечек, $\text{ккал}/\text{кг}$;

δ_r — величина радиального зазора, см .

Потери от влажности пара вычисляются по формуле¹

$$h_{vl} = (1 - x_{cp}) h_i [\text{kкал}/\text{кг}], \quad (1-30)$$

где $x_{cp} = \frac{x_1 + x_2}{2}$ — средняя степень влажности пара;

¹ Приближенная формула.

x_1 — степень сухости пара перед диафрагмой (или направляющей решеткой);

x_2 — степень сухости за рабочей решеткой;

h_i — полезно использованный теплоперепад в ступени с учетом всех предыдущих потерь, кроме потерь от влажности, ккал/кг.

Потеря давления в выхлопном патрубке турбины:

$$\Delta p_{\text{пот}} = p_2 - p_{2k} = \lambda \left(\frac{c_n}{100} \right)^2 p_{2k} [\text{ата}], \quad (1-31)$$

где p_2 — давление за рабочей решеткой последней ступени турбины, ата;

p_{2k} — давление пара в выхлопном патрубке (при входе в конденсатор), ата;

λ — коэффициент, значения которого принимают равными 0,07—0,1 (для современных турбин с совершенными выхлопными патрубками $\lambda=0$);

c_n — скорость пара в выхлопном патрубке, м/сек.

В. Термический процесс турбинной ступени

На рис. 1-10 представлены диаграммы тепловых процессов промежуточных ступеней турбины: а) активной ступени ($\rho=0$), б) активной ступени

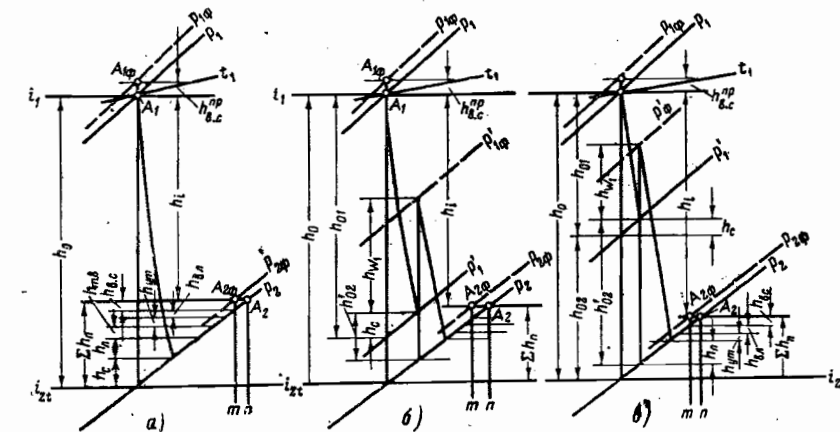


Рис. 1-10. Термический процесс турбинной ступени в i - s -диаграмме.

со степенью реакции $\rho > 0$ и в) реактивной ступени ($\rho=0,4—0,6$).

Термический процесс для последующих ступеней в случае использования энергии выходной скорости начинается из точки $A_{2\phi}$ в направлении к m . Если же энергия выходной скорости предыдущей ступени не используется в сопловых решетках последующей ступени, то термический процесс в последующей ступени начинается из точки A_2 в направлении к n .

1-6. КОНДЕНСАЦИОННЫЕ ТУРБИНЫ БЕЗ РЕГУЛИРУЕМЫХ ОТБОРОВ ПАРА

Турбины небольшой и средней мощности заводы СССР изготавливают на средние и высокие параметры пара с сопловым парораспределением и двухвенечными ступенями скорости.

Современные турбины большой мощности строятся на высокие и сверхвысокие параметры пара и, как правило, с сопловым парораспределением. Эти турбины изготавливаются с одно- и двухвенечными регулирующими ступенями. За последние годы ХТГЭ выпущена также серийная турбина мощностью 100 Мвт с дроссельным парораспределением и одновенечной первой ступенью.

Технические данные, характеризующие серийные типы конденсационных турбин, приведены в табл. 1-6—1-9, типы комплектующего оборудования даны в приложении 1.

Таблица 1-6

Турбины паровые конденсационные без регулируемых отборов пара (технические данные)

| Тип турбины | K-4-35 (AK-4+1) | K-6-35 (AK-6+1) | K-25-90 (BK-25-1) | K-50-90 (BK-50-1) | K-100-90 (BK-100-1) | K-100-90 (BK-100-6) | K-150-130 (BK-150-10) | K-200-150 (BK-200-150) |
|--|--------------------|--------------------|----------------------|----------------------|------------------------|------------------------|--------------------------|---------------------------|
| Завод-изготовитель | НЭЛ | НЭЛ | ЛМЗ | ЛМЗ | ЛМЗ | ЛМЗ | ХТГЭ | ЛМЗ |
| Номинальная мощность, квт | 4 000 | 6 000 | 25 000 | 50 000 | 100 000 | 100 000 | 150 000 | 200 000 |
| Давление сжатого пара, ата | 35 | 35 | 500 | 500 | 535 | 500 | 535 | 565 |
| Температура свежего пара, °С | 435 | 435 | — | — | — | — | — | — |
| Температура промежуточного перегрева, °С | — | — | — | — | — | — | — | — |
| Число нерегулируемых отборов | 3 | 3 | 6 | 5 | 8 | 5 | 8 | 7 |
| Температура питательной воды, °С | 142 | 146 | 223 | 212 | 216 | 212 | 215 | 230 |
| Давление отработавшего пара, ата | 0,04 | 0,04 | 0,036 | 0,035 | 0,033 | 0,035 | 0,030 | 0,035 |
| Номинальная температура охлаждющей воды, °С | 20 | 20 | 15 | 10 | 10 | 10 | 10 | 10 |
| Расход охлаждющей воды, м ³ /ч | 1 400 | 2 000 | 5 000 | 8 000 | 16 000 | 16 000 | 16 400 | 20 800 |
| Расход свежего пара приnominalной нагрузке, пк/ч | 19,4 | 28,5 | 106 | 191 | 186 | 377 | 363 | 564 |
| Удельный расход тепла приnominalной нагрузке (расчетный), к2/квт·ч | 4,85 | 4,75 | 4,25 | 3,82 | 3,72 | 3,77 | 3,63 | 2,90 |
| Максимальный расход пара, пк/ч | — | 2 930 | 2 460 | 2 280 | 2 215 | 2 250* | 2 190 | 2 010 |
| Через ч. в. д. | 19,4 | 28,5 | — | — | — | — | — | — |
| Через ч. с. д. | — | — | — | — | — | — | — | — |
| Через ч. н. д. | — | — | — | — | — | — | — | — |

* По результатам тепловых испытаний 2 307 ккал/квт·ч.

** По результатам тепловых испытаний 2 198 ккал/квт·ч.

*** По результатам тепловых испытаний при нагрузке 118 000 квт.

Таблица 1-7

Турбины паровые конденсационные без регулируемых отборов пара (конструктивные, габаритные и весовые данные)

| Тип турбины | K-4-35 (АК-4-1) | K-6-35 (АК-6-1) | K-25-90 (БК-25-1) | K-50-90 (БК-50-1) | K-50-90 (БК-50-3) | K-100-90 (БК-100-2) | K-100-90 (БК-100-6) | K-100-90 (БКТ-100) | K-150-130 (ПВК-150) | K-200-130 (ПВК-200) |
|--|--------------------|--------------------|----------------------|----------------------|----------------------|------------------------|------------------------|-----------------------|------------------------|------------------------|
| Число цилиндров | 16 | 16 | 19 | 18* | 22 | 12+(5×2) | 20+(5×2) | 2 | 15+(6×2) | 23+(4×2) |
| Число ступеней | K+15Д* | K+15Д | K+18Д | K+17Д | P+21Д** | K+11Д | P+19Д | P+16Д | P+6Д | P+11Д |
| Формула проточной части: | | | | | | — | — | — | 8Д | 11Д |
| для ч. в. д. | | | | | | 5Д×2 | 5Д×2 | 4Д×2 | 6Д×2 | 4Д×2 |
| для ч. с. д. | | | | | | 1 | * | 2 | | Два полуторных |
| для ч. н. д. | | | | | | | | | | |
| Число выхлопов пара | | | | | | | | | | |
| Торковая плоскость всех выхлопов, м ² | — | — | — | 4,2 | 4,2 | 8,4 | 8,4 | 9,7 | 10,4 | 15,26 |
| Ротор высокого давления: | | | | | | | | | | |
| критическое число оборотов в минуту | 1 800 | 1 800 | 2 180 | 1 795 | 1 730 | 3 620 | 1 835 | 1 630 | 2 085 | 1 750 |
| полная длина ротора, мм | 4 217 | 4 217 | 5 463 | 6 415 | 6 433 | 5 883 | 6 479 | 5 596 | 5 935 | 4 180 |
| пролет между осами подшипников, мм | 2 900 | 2 900 | 4 138 | 4 350 | 4 838 | 3 440 | 4 754 | 4 426 | 5 109,5 | 4 720 |
| наибольший диаметр по вершинам лопаток, мм | 1 250 | 1 360 | 2 110* | 2 605 | 2 665 | 1 449 | 1 400 | 1 524 | 1 460 | 1 050 |
| вес ротора, т | 4,8 | 5,2 | 13,4 | 16,6 | 18,6 | 10,6 | 12,6 | 12,2 | 12,8 | 8,0*** |
| Ротор низкого давления: | | | | | | | | | | |
| критическое число оборотов в минуту | — | — | — | — | — | 1 670 | 1 675 | 2 100 | 3 600 | 1 610 |
| полная длина ротора, мм | — | — | — | — | — | 5 820 | 5 805 | 6 220 | 5 480 | 7 176 |
| пролет между осами подшипников, мм | — | — | — | — | — | 3 890 | 3 890 | 4 472 | 4 076 | 5 030 |
| наибольший диаметр по вершинам лопаток, мм | — | — | — | — | — | 2 665 | 2 665 | 2 825 | 2 905 | 2 876 |

| Тип турбины | K-4-35 (АК-4-1) | K-6-35 (АК-6-1) | K-25-90 (БК-25-1) | K-50-90 (БК-50-1) | K-50-90 (БК-50-3) | K-100-90 (БК-100-2) | K-100-90 (БК-100-6) | K-100-90 (БКТ-100) | K-150-130 (ПВК-150) | K-200-130 (ПВК-200) | |
|--|---------------------------------------|--------------------|----------------------|----------------------|----------------------|------------------------|------------------------|-----------------------|------------------------|------------------------|--------|
| | средний диаметр последней ступени, мм | — | 1 245 | — | 2 000 | 2 000 | 2 000 | 2 000 | 2 085 | 2 125 | 2 100 |
| длина рабочих лопаток последней ступени, мм | — | 230 | — | 665 | 665 | 665 | 665 | 740 | 780 | 765 | 765 |
| вес ротора, т | — | — | — | — | — | 22 | 22 | 22,5 | 26,5 | 36 | 36 |
| Полная длина турбины, мм | 4 795 | 4 795 | 7 074 | 7 725 | 8 900 | 12 345 | 14 700 | 13 777 | 14 440 | 20 552 | 20 552 |
| Полная длина турбоагрегата, мм | 9 432 | 9 781 | 14 058 | 16 688 | 18 560 | 23 945 | 24 630 | 25 952 | 27 805 | 30 850 | 30 850 |
| Число оборотов валоповоротного устройства в минуту | — | — | — | — | — | — | — | — | — | — | — |
| Вес наиболее тяжелой части турбины, т | 45 | 45 | 130 | 150 | 165 | 270 | 270 | 270 | 365 | 365 | 365 |
| Общий вес турбины, т | — | — | — | — | — | — | — | — | 3,4 | 3,4 | 3,4 |
| Высота фундамента турбоагрегата, м | 5 500 | — | — | — | — | 8 000 | — | 2 | 3 | 3 | 3 |
| Наименьшая высота подъема кромки mostового края над полом машинного зала, мм | 11 | 11 | 35 | 50 | 75 | 75 | 75 | 70 | 73 | 122 | 122 |
| Число конденсаторов | 1 | 1 | 1 | 1 | 1 | 2 | 2 | 2 | 1 | 2 | 2 |
| | | | | | | | | | 9 000 | | |
| | | | | | | | | | | 8 200 | 8 200 |
| | | | | | | | | | | | 2 |

* Регулируемая ступень — колесо скорости (K) и 15-ступенчатый диффузор.

** Регулируемая ступень — ступень давления (P) и 21-ступенчатый диффузор.

*** Ротор среднего давления; критическое число оборотов в минуту 6 076 об/мин; полная длина 1 780; вес ротора 4 321 кг; проект между осями подшипников 4 321 кг; вес ротора 12,8 т.

Таблица 1-8

Турбины паровые конденсационные без регулируемых отборов пара (нерегулируемые отборы пара на регенерацию при номинальных параметрах пара и мощности)

| Тип турбины | Отбор пара на подогреватель, десоратор или испаритель | Греющий пар | | Отбор пара на подогреватель, десоратор или испаритель | Греющий пар | | Отбор пара на подогреватель, десоратор или испаритель | |
|-------------|--|--------------------------------------|---|--|---|--|--|--|
| | | давление, атм | температура, °С | | количество, м³/ч | давление, атм | температура, °С | количество, м³/ч |
| K-4-35 | 1-й отбор (ПВД № 2) 2-й отбор (десоратор) 3-й отбор (ПНД № 1) | 5 8 11 | 4,65 2,1/1,2 0,7 | 240 155 89,5 | 0,28 0,70 1,3 | 240 149 89 | 0,28 0,70 1,3 | 3-й отбор (ПНД № 3 и испаритель) 4-й отбор (ПНД № 2 и испаритель) 5-й отбор (ПНД № 1 и испаритель) 6-й отбор (ПНД № 1 и испаритель) |
| K-5-35 | 1-й отбор (ПВД № 2) 2-й отбор (десоратор) 3-й отбор (ПНД № 1) | 5 8 11 | 4,85 2,0/1,2 0,68 | 253 149 89 | 2,1 0,79 2,2 | 336 330 272 | 7,0 7,8 6,6 | 3-й отбор (ПНД № 3 и испаритель) 4-й отбор (ПНД № 2 и испаритель) 5-й отбор (ПНД № 1 и испаритель) 6-й отбор (ПНД № 1 и испаритель) |
| K-5-36 | 1-й отбор (ПВД № 5) 2-й отбор (ПВД № 4 и десоратор) 3-й отбор (ПНД № 3 и испаритель) 4-й отбор (ПНД № 2 и испаритель II ст.) 5-й отбор (ПНД № 1 и испаритель II ст.) | 4 7 10 13 16 | 18,6 10,7/6,0 6,6 7,0 2,7 | 337 330 272 224 131 | 7,0 7,8 6,1 9,6/4 7,6/7,7 | 359 290 224 198 131 | 10,5 9,4/2,5 6,1 9,6/4 8,0 | 1-й отбор (ПВД № 5) 2-й отбор (ПВД № 4 и десоратор) 3-й отбор (ПНД № 3 и испаритель) 4-й отбор (ПНД № 2 и испаритель II ст.) 5-й отбор (ПНД № 1 и испаритель II ст.) |
| K-5-36 | 1-й отбор (ПВД № 5) 2-й отбор (ПВД № 4 и десоратор) 3-й отбор (ПНД № 3 и испаритель) 4-й отбор (ПНД № 2 и испаритель II ст.) 5-й отбор (ПНД № 1 и испаритель II ст.) | 4 7 10 13 16 | 14,1/6,0 7,0 2,7 13 16 | 345 290 224 198 131 | 9,4/2,5 6,1 9,6/4 7,6/7,7 8,0 | 345 290 224 198 131 | 10,5 7,0/3 6,1 9,6 7,3 | 1-й отбор (ПВД № 5) 2-й отбор (ПВД № 4 и десоратор) 3-й отбор (ПНД № 3 и испаритель) 4-й отбор (ПНД № 2 и испаритель II ст.) 5-й отбор (ПНД № 1 и испаритель II ст.) |
| K-50-30 | 1-й отбор (ПВД № 6) 2-й отбор (ПВД № 7) 3-й отбор (ПНД № 5 и испаритель) 4-й отбор (ПНД № 4) 5-й отбор (ПНД № 3) 6-й отбор (ПНД № 2) 7-й отбор (ПНД № 1) | 6 9 11 15 17 19 21 | 31,5 18,07 11,82/6 9,42 2,175 0,752 0,404 0,1565 | 410 345 298 196 132 90,15 73,7 52,7 | 10,5 7,0/3 4,63 3,26 3,60 3,60 4,32 0,98 | 410 345 298 196 132 90,15 73,7 52,7 | 10,5 7,0/4,77 4,63 3,26 3,60 3,60 4,32 | 1-й отбор (ПВД № 6) 2-й отбор (ПВД № 7) 3-й отбор (ПНД № 5 и испаритель) 4-й отбор (ПНД № 4) 5-й отбор (ПНД № 3) 6-й отбор (ПНД № 2) 7-й отбор (ПНД № 1) |
| K-50-30 | 1-й отбор (ПВД № 6) 2-й отбор (ПВД № 4 и десоратор) | 4 7 | 27,0 14,4/6,0 | 360 288 | 22,8 19,5/4,9 | 360 288 | 22,8 19,5/4,9 | 1-й отбор (ПВД № 6) 2-й отбор (ПВД № 4 и десоратор) |
| K-100-90 | 1-й отбор (ПВД № 6) 2-й отбор (ПВД № 5 и испаритель) | 4 7 | 27,0 14,4/6,0 | 360 288 | 22,8 19,5/4,9 | 360 288 | 22,8 19,5/4,9 | 1-й отбор (ПВД № 6) 2-й отбор (ПВД № 5 и испаритель) |

* Пар из уплотнений.

** Условный расход только для подогрева конденсата.

Таблица 1-9

Турбины паровые конденсационные без регулируемых отборов пара (гарантийные данные по экономичности при различных нагрузках)

| Тип турбины | Мощность на зажимах генератора, квт | Коэффициент полезного действия генератора, % | Расход пара через стопорный клапан, м³/ч | Температура питательной воды, °С | Потеря давления в системе промперегрева, атм | Температура пара перед ч. н. д., °С | Удельный расход пара, кг/квт·ч | Удельный расход тепла, ккал/квт·ч |
|--------------------------------|--|--|--|----------------------------------|--|-------------------------------------|--------------------------------|-----------------------------------|
| K-100-90 (BK-100-6) | 100 000 80 000 60 000 | 99,0 98,8 98,5 | 363 284 212 | 217 204 188 | — — — | — — — | 3,63 3,55 3,53 | 2 190 2 240 2 300 |
| K-100-90 (BKT-100) | 102 140 103 200 | 99,0 99,0 | 373 373 | 215 215 | — — | — — | 3,66 3,62 | 2 200* 2 210** |
| K-150-130 (ПВК-150) | 159 400 150 000 125 000 100 000 | 98,97 98,95 98,8 98,7 | 470,4 436 367 298 | 230 228 218 208 | 5 4,68 3,15 3,15 | 565 565 550 530 | 2,95 2,90 2,94 2,98 | 2 037 2 041 2 076 2 129 |
| С испарителями и бойлерами | 162 100 150 000 125 000 100 000 | 99,02 98,95 98,8 98,7 | 470,4 429 362 294 | 230 227 218 207 | 5 4,62 3,8 3,1 | 565 565 548 529 | 2,90 2,86 2,90 2,94 | 2 004 2 009 2 032 2 072 |
| Без испарителей и без бойлеров | 163 870 150 000 125 000 100 000 | 99,04 98,95 98,8 98,7 | 470,4 429 362 294 | 230 226 217 207 | 5 4,56 3,75 3,05 | 565 565 546 528 | 2,87 2,82 2,86 2,90 | 2 010 2 016 2 036 2 077 |
| K-200-130 (ПВК-200) | 200 000 175 000 150 000 | 98,8 98,78 98,75 | 564 491 418 | 230 222 214 | 3,9 2,8 2,2 | 565 550 538 | 2,82 2,81 2,79 | 2 000 2 020 2 045 |

* С испарителями.

** Без испарителей.

1-7. УРАВНЕНИЕ МОЩНОСТИ КОНДЕНСАЦИОННОЙ ТУРБИНЫ С РЕГЕНЕРАТИВНЫМИ ОТБОРАМИ И ОДНИМ РЕГУЛИРУЕМЫМ ОТБОРОМ ПАРА. ДИАГРАММА РЕЖИМОВ

Электрическая мощность (на зажимах генератора) турбины с тремя нерегулируемыми отборами пара на регенерацию и с одним регулируемым отбором пара (применительно к тепловому процессу рис. 1-11)

$$N_s = (N_{ii} + N_{i2}) \eta_m \eta_r = \left\{ \frac{D_0 H'_i - D'_{ot} h'_i}{860} + \frac{D_k H'_i - D''_{ot} H'_i - D'''_{ot} (H'_i - h''_i)}{860} + \frac{D^{IV}_{ot} (h''_i - h'''_i - h^{IV}_i)}{860} \right\} \eta_m \eta_r [квт], \quad (1-32)$$

где N_{ii} и N_{i2} — внутренние мощности, развиваемые частями высокого и низкого дав-

лений (ч. в. д. и ч. н. д.) турбины, квт;

D_0 — расход свежего пара через турбину, кг/ч;

$D_k - D''_{ot}$ — расход пара через ч. н. д. турбины, кг/ч;

D'_k, D'''_{ot} и D^{IV}_{ot} — первый, третий и четвертый нерегулируемые отборы пара, кг/ч;

D''_{ot} — отбор пара на регенерацию из регулируемого отбора, кг/ч;

$h'_i; h''_i; h'''_i$ и h^{IV}_i — полезно использованные теплоперепады, ккал/кг.

Энергетическая характеристика турбины (диаграмма режимов)

а) Исходные условия для построения диаграммы.

1) $D_k = D_0$ — расход пара через ч. н. д. турбины при выключенных регенерации и регулируемом отборе;

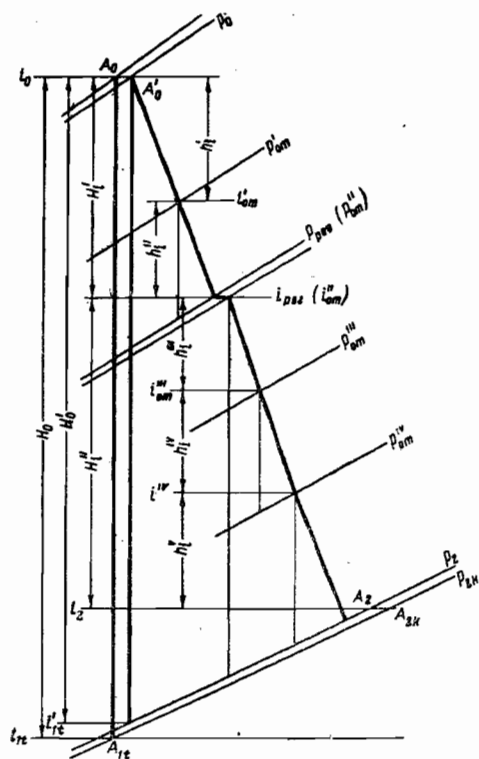


Рис. 1-11. Тепловой процесс турбины с тремя нерегулируемыми отборами на регенерацию пара и одним регулируемым отбором пара в i - s -диаграмме.

2) $D_k = D_0 - D_{\text{от}}' - D_{\text{от}}''$ — расход пара через ч. н. д. турбины при включенной

режиме регенерации и выключенном регулируемом отборе;

3) $D_k = D_0 - D_{\text{от}}' - D_{\text{от}}'' - D_t$ — расход пара через ч. н. д. турбины при включенных регенерации и регулируемом отборе (D_t — регулируемый отбор пара для целей теплофикации или производства).

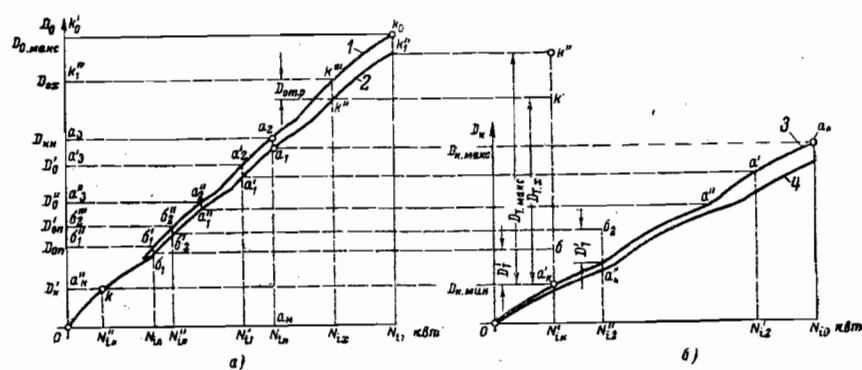
б) Порядок построения диаграммы режимов.

Для известных значений расходов пара и полезно использованных теплопередач по отсекам (частям) турбины, найденным экспериментально или из тепловых расчетов, по уравнению (1-32) строят вспомогательные графики зависимостей: $N_{i1} = f(D_0)$ — для ч. в. д. и $N_{i2} = \varphi(D_k)$ — для ч. н. д. турбины (рис. 1-12). Кривые 1 и 3 нанесены для режима турбины с регенерацией, а 2 и 4 для конденсационного режима с поправкой на регенерацию. Такие графики используются для построения диаграммы режимов турбины. Электрическая мощность на зажимах генератора для любого расхода пара

$$N_s = N_{i1} + N_{i2} - \Delta N_{x,x} \quad [квт], \quad (1-33)$$

где N_{i1} ; N_{i2} — мощности отдельных частей (ч. в. д. и ч. н. д.) турбины, квт;

$\Delta N_{x,x}$ — мощность, потребная для преодоления всех вредных сопротивлений при холостом ходе турбоагрегата [по формуле (1-8)], квт, или по графику для данного генератора.



обычно принимают: $D_{\text{к.мин}} = (0,1 - 0,2) \times D_{\text{к.макс}}$. Пунктирная линия $a'_k - a''_k$ пересекает кривую 2 (рис. 1-12, а) в точке k , что соответствует расходу пара через ч. в. д. $D'_k = D_{\text{к.мин}}$.

Электрическая мощность на зажимах генератора при этих условиях определяется по уравнению

$$N'_{\text{з.х}} = N'_{i_k} + N''_{i_k} - \Delta N''_{x,x}.$$

Величина $\Delta N''_{x,x}$ принимается по графику рис. 1-14 для мощности $N'_{\text{з.х}}$.

На диаграмме режимов (рис. 1-13) точка a'_k , построенная по D'_k и $N'_{\text{з.х}}$, характеризует работу турбины при расходе пара через ч. н. д. $D_{\text{к.мин}}$ и при $D_t = 0$.

Для построения зависимости $N_s = f(D_o)$ при любой заданной величине регулируемого отбора пара D_t порядок нанесения точек на диаграмму режимов следующий. От точки a'_k на линии $a'_k - k''$ откладывается любая величина регулируемого отбора пара $D_{t,x}$ (точка k' на рис. 1-12, б). Из точки k' проводится ломаная пунктирная линия $k' - k'' - k''' - k^{\text{IV}}$, которая позволяет определить N_{i_k} и $D_{o,x}$ (рис. 1-12, а).

Электрическая мощность на зажимах генератора подсчитывается по уравнению

$$N_{\text{з.х}} = N'_{i_k} + N_{i_k} - \Delta N'''_{x,x}.$$

Величина $\Delta N'''_{x,x}$ принимается по графику рис. 1-14 для мощности $N_{\text{з.х}}$. Нанося на диаграмму режимов (рис. 1-13) значения $N_{\text{з.х}}$ и $D_{o,x}$, получают точку a_0 , характеризующую режим работы турбины при расходе пара через ч. н. д. $D_{\text{к.мин}}$ и регулируемом отборе пара на производство или теплофикацию, равном $D_{t,x}$.

Произведя аналогичным способом построения для различных значений D_t , получим кривую $a'_k - a'_0 - a_0$, характеризующую режим турбины при различных расходах пара D_t и $D_{\text{к.мин}} = \text{const}$.

3. Линия режима турбины с постоянным расходом пара из регулируемого отбора ($D_t = \text{const}$)

Линии постоянных регулируемых отборов на диаграмме режимов строятся в следующей последовательности. Точка b на линии $a'_k - k''$ (рис. 1-12, б) соответствует мощности ч. н. д. N'_{i_k} при $D_{\text{к.мин}}$ и $D'_t = \text{const}$. Из точки b проводят пунктирную ломаную линию $b - b_1 - b'_1 - b''_1$ и находят $D_{o,0}$ и N_{i_0} . Тогда электрическая мощность на зажимах генератора $N_{\text{з.п}} = N'_{i_k} + N_{i_0} - \Delta N^{\text{IV}}_{x,x}$; $\Delta N^{\text{IV}}_{x,x}$ принимается по графику рис. 1-14 для мощности $N_{\text{з.п}}$. Значения $D_{o,0}$ и N_{i_0} наносят на диаграмму режимов рис. 1-13 и получают точку b на линии $a'_k - a_0$, характеризующую режим работы турбины при $D_{\text{к.мин}}$ и D'_t .

Принимая в последующем на линии $a'_k - a_k$ любую точку a''_k , a''_k , a'_k и т. д. и откладывая от них вверх значения D'_t , графическим построением находят внутренние мощности ч. н. д. и ч. в. д., а также расходы свежего пара на турбину. Например, от точки a''_k (рис. 1-12, б), откладывая вверх значение D'_t (точка b_2) и проводя пунктирную ломаную линию $b_2 - b_2 - b''_2 - b'''_2$, получают мощность ч. н. д. N''_{i_2} и ч. в. д. N'_{i_2} , а также расход свежего пара $D_{o,0}$ (рис. 1-13). Электрическая мощность на зажимах генератора $N'_{\text{з.п}} = N''_{i_2} + N'_{i_2} - \Delta N^{\text{V}}_{x,x}$; $\Delta N^{\text{V}}_{x,x}$ принимается по графику рис. 1-14 для мощности $N'_{\text{з.п}}$. Откладывая $D_{o,0}$ и $N'_{\text{з.п}}$ на диаграмме режимов (рис. 1-13), получают точку b_1 , характеризующую режим турбины с $D'_t = \text{const}$, $D_{o,0}$ и $N'_{\text{з.п}}$. Аналогичным построением получают линию $b - b_1 - b_2$, указывающую зависимость электрической мощности от расхода пара на турбину при $D'_t = \text{const}$; для других значений $D'_t = \text{const}$ линия режимов строится аналогичным способом.

Построение диаграммы режимов для турбины без регенерации производится та-

ким же методом, но в основу графических построений кладутся линии 2 и 4 на рис. 1-12.

1-8. УРАВНЕНИЕ МОЩНОСТИ КОНДЕНСАЦИОННОЙ ТУРБИНЫ С РЕГЕНЕРАТИВНЫМИ ОТБОРАМИ И ДВУМЯ РЕГУЛИРУЕМЫМИ ОТБОРАМИ ПАРА. ДИАГРАММА РЕЖИМОВ

Электрическая мощность (на зажимах генератора) турбины с двумя регулируемыми и тремя нерегулируемыми отборами пара (применительно к тепловому процессу на рис. 1-15)

$$\begin{aligned} N_s &= N_i^b + N_i^c + N_i^h - \Delta N_{x,x}^i - \\ &- \frac{D_t h_i^b}{860} = \frac{D_o h_i^b - D_{ot} h_i''}{860} + \\ &+ \frac{(D_k^c - D_{ot}) h_i^c - D_{ot} h_i^{IV}}{860} + \\ &+ \frac{(D_k^h - D_{ot}^{IV}) h_i^h - D_{ot}^V h_i^V}{860} - \\ &- \Delta N_{x,x}^i = \frac{D_t h_i^b}{860} [\text{kвт}], \quad (1-34) \end{aligned}$$

где N_i^b , N_i^c и N_i^h — соответственно внутренние мощности частей высокого, среднего и низкого давлений, квт;

D_o — расход свежего пара через турбину, кг/ч;

$D_k^c - D_{ot}^c - D_n$ — расход пара через ч. с. д., кг/ч;

$D_k^h - D_{ot}^{IV}$ — расход пара через ч. н. д., кг/ч;

D_{ot}^c , D_{ot}^h и D_{ot}^V — первый, третий и пятый нерегулируемые отборы пара на регенерацию, кг/ч;

D_{ot}^c и D_{ot}^{IV} — отборы пара на регенерацию из первого и второго регулируемых отборов пара, кг/ч;

D_n — регулируемый отбор пара для целей производства, кг/ч;

D_t — регулируемый отбор пара для целей теплофикации, кг/ч;

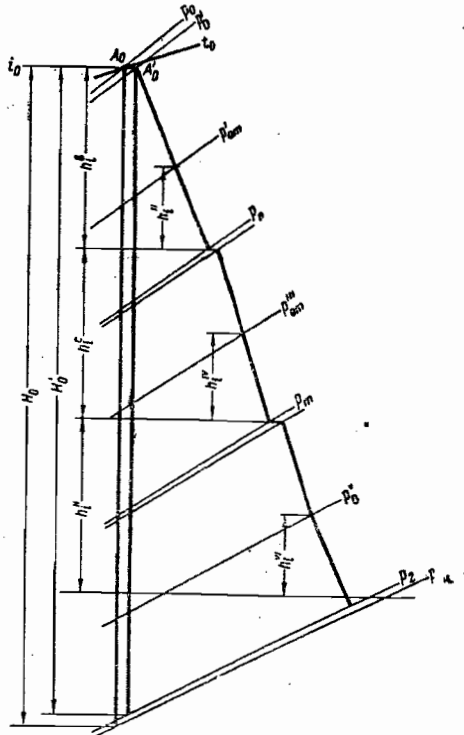


Рис. 1-15. Тепловой процесс турбины с двумя регулируемыми отборами и тремя нерегулируемыми отборами пара в $i-s$ -диаграмме.

$\Delta N_{x,x}^i$ — мощность, потребная на преодоление сопротивлений при холостом ходе турбоагрегата, квт;

h_i^b , h_i^c , h_i^h , h_i^{IV} , h_i^V и h_i^{VI} — полезно используемые теплоперепады, ккал/кг.

Для различных расходов пара D_o через турбину и в отборы, а также полезно использованных теплоперепадов h_i , полученных расчетным способом или экспериментально, строят графические зависимости $N_i^b = f(D_o)$, $N_i^c = \varphi(D^c)$ и $N_i^h = \psi(D^h)$ (рис. 1-16), которые кладут в основу построения диаграммы режимов.

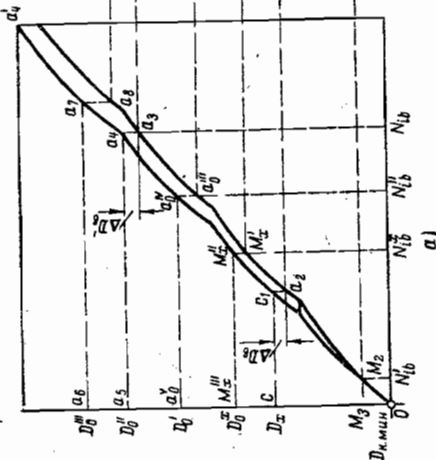
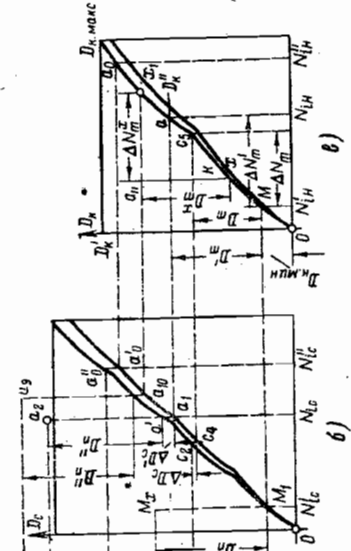


Рис. 1-16. Графики зависимости внутренних мощностей турбин от расхода пара.

а—ч. в. д.; б—ч. с. д.; в—ч. н. д.



Пример построения диаграммы режимов турбины с двумя регулируемыми отборами пара (регенерация включена)

1. Линия конденсационного режима турбины ($D_n=0; D_t=0$).

Для любой принятой мощности ч. н. д., например $N_{i, \text{в}}$ (точка a_0 на рис. 1-16, а), определяется расход пара D'_k . Из точки a_0 проводится пунктирная ломаная линия $a_0 - a'_0 - a''_0 - a'''_0 - a^{IV}_0 - a^V_0$, которая позволяет определить мощности, развиваемые ч. с. д. ($N_{i, \text{с}}''$) и ч. в. д. ($N_{i, \text{в}}''$) и расход свежего пара через турбину (D'_0). Электрическая мощность на зажимах генератора $N''_g = N''_{i, \text{в}} + N''_{i, \text{с}} + N''_{i, \text{н}} - \Delta N_{x,x}$; $\Delta N_{x,x}$ — мощность, потребная для преодоления сопротивлений холостого хода при нагрузке N''_g . Откладывая значения D'_0 и N''_g , получают точку a_x на диаграмме режимов (рис. 1-17), характеризующую режим работы турбины с регенерацией при $D_n=0$ и $D_t=0$.

Аналогичным способом, принимая различные значения внутренних мощностей ч. н. д. и определяя графическим построением внутренние мощности ч. с. д. и ч. в. д., находят расход свежего пара D_0 через турбину и подсчитывают электрическую мощность на зажимах генератора N_g . Откладывая значения D_0 и N_g на рис. 1-17, получают необходимое количество точек для построения линии 2.

2. Линия режима турбины с минимальным пропуском пара через ч. н. д. ($D_{\text{k}, \text{мин}}$) и нулевым теплофикационным отбором ($D_t=0$).

Точка M (рис. 1-16, б) соответствует минимальному расходу пара через ч. н. д. ($D_{\text{k}, \text{мин}}$), который заводы обычно принимают $D_{\text{k}, \text{мин}} = (0,1 \div 0,2) D_{\text{k}, \text{макс}}$. Из точки M проводится пунктирная прямая линия $M - M_1 - M_2 - M_3$, позволяющая определить внутренние мощности ч. в. д. $N'_{i, \text{в}}$, ч. с. д. $N'_{i, \text{с}}$ и ч. н. д. $N'_{i, \text{н}}$ (регенерация отключена). Электрическая мощ-

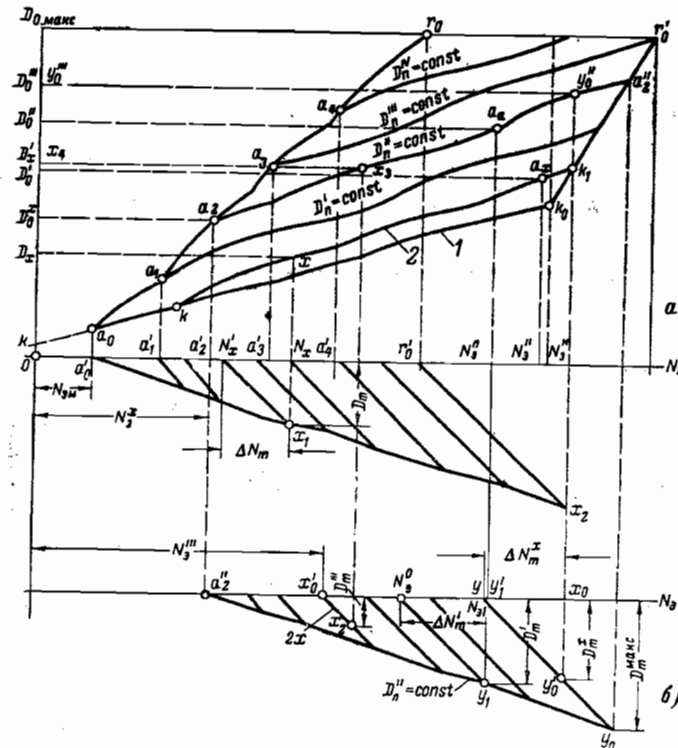


Рис. 1-17. Диаграмма турбины с двумя регулируемыми отборами пара.
1 — линия конденсационного режима турбины без регенерации; 2 — линия конденсационного режима турбины с регенерацией.

ность на зажимах генератора при расходе пара $D_{\text{k}, \text{мин}}$ подсчитывается по уравнению

$$N_{\text{эм}} = N'_{i, \text{в}} + N'_{i, \text{с}} + N'_{i, \text{н}} - \Delta N'_{x,x};$$

$\Delta N'_{x,x}$ принимается для мощности $N_{\text{эм}}$ (точка a'_0 на рис. 1-17).

Для любого значения D_n порядок подсчета N_g и D_0 следующий. Для некоторого значения D_n^x (точка M_x) откладывают по оси ординат значение D_n^x (точка M_x на рис. 1-16, б). Проведя пунктирную линию $M_x - M'_x - M''_x - M'''_x$ из точки M_x , находят внутреннюю мощность ч. в. д. N_x^x и расход свежего пара D_0^x через турбину. Электрическая мощность на зажимах генератора для этого режима

$$N_g^x = N_x^x + N'_{i, \text{с}} + N'_{i, \text{н}} - \Delta N_{x,x}^x;$$

$\Delta N_{x,x}^x$ принимается для мощности N_g^x . Значениям N_g^x и D_0^x на диаграмме режимов соответствует точка a_x (рис. 1-17).

3. Линия режимов турбины с постоянным производственным отбором пара ($D_n=\text{const}$) при нулевом теплофикационном отборе ($D_t=0$).

Для любого принятого расхода пара через ч. н. д. турбины от $D_{\text{k}, \text{мин}}$ до $D_{\text{k}, \text{макс}}$ и принятого расхода пара на производство (D_n) определяют мощности ч. н. д., ч. с. д. и ч. в. д. и расход свежего пара. Например, для D_n^x (точка a на рис. 1-16, б) определяют $N_{i, \text{н}}$. Из точки a проводят пунктирную линию $a - a_1 - a'_1 - a''_1 - a'''_1 - a^{IV}_1 - a^V_1$ и находят мощности $N_{i, \text{с}}$ и $N_{i, \text{в}}$, а также расход свежего пара через турбину D_0^x .

Таблица 1-11

Турбины паровые с производственным отбором пара (конструктивные, габаритные и весовые данные)

| Тип турбины | П-0,75-35/5 (АП-0,75) | П-1,5-35/5 (АП-1,5) | П-2,5-35/5 (АП-2,5) | П-4-35/5 (АП-4) | П-6-35/5 (АП-6) | П-6-35/5 (АП-6-II) |
|--|--------------------------|--------------------------------------|---------------------------|--------------------------|---------------------------|-----------------------|
| Число ступеней | 9 | 9 | 15 | 14 | 17 | 14 |
| Формула проточной части: | | | | | | |
| для ч. в. д. | K+3Д | K+3Д | K+4Д | K+5Д | K+6Д | K+5Д |
| для ч. н. д. | P+4Д | P+4Д | P+9Д | K+7Д | P+9Д | K+7Д |
| Ротор турбины: | | | | | | |
| критическое число оборотов в 1 мин | 3 160 | 3 020 | 1 885 | 1 800* | 2 075 | 1 800 |
| полная длина ротора, мм | 2 200 | 2 228 | 3 230 | 4 247 | 3 641 | 4 247 |
| пролет между осями подшипников, мм | 1 745 | 1 773 | 2 819 | 2 930 | 3 103 | 2 930 |
| средний диаметр последней ступени, мм | 612 | 632 | 1 035 | 1 161 | 1 212 | 1 245 |
| длина рабочих лопаток последней ступени, мм | 64 | 93 | 162 | 179 | 282 | 230 |
| наибольший диаметр по вершинам лопаток, мм | 676 | 725 | 1 197 | 1 340 | 1 494 | 1 475 |
| вес ротора, т | 0,8 | 0,9 | 3,2 | 4,7 | 5,0 | 5,1 |
| Полная длина турбины, мм | 2 560 | 2 588 | 3 785 | 4 765 | 4 496 | 4 765 |
| Полная длина турбоагрегата, мм | 7 407 | 7 995 | 8 120 | 9 462 | 9 878 | 9 820 |
| Число оборотов в минуту валоповоротного устройства | в. п. у. нет | в. п. у. нет | Ручной правод | Гидравлический привод | Ручной привод | |
| Общий вес турбины, т | 12 | 14 (с редуктором и маслосистемой) | 22,5 (с маслосистемой) | 43,7 | 31,5 (с маслосистемой) | 43,7 |
| Вес наиболее тяжелой части турбины, т: | | | | | | |
| при монтаже | 3,5 | 5,8 | 9 | 11 | 7 | 11 |
| при ревизии | 2,5 | 2,5 | 5,5 | 8 | 10 | 8 |
| Высота фундамента турбоагрегата, мм | 3 120 | 3 120 | 4 725 | 5 500 | 4 500 | 5 500 |
| Наименьшая высота подъема крюка мостового крана над полом машинного зала, мм | 2 300 | 2 300 | 4 000 | 4 800 | 4 500 | 4 800 |

Примечание. Турбины выполнены одноцилиндровыми.

Таблица 1-12

Турбины паровые с производственным отбором пара (перегулируемые отборы пара на регенерацию при номинальных параметрах пара, регулируемого отбора и мощности)

| Тип турбины | Отбор пара на подогреватель и деаэратор | Отбор за ступенью, № | Греющий пар | | |
|--------------------------|--|----------------------|--------------------|-------------------|-----------------------|
| | | | Давление, атм | Температура, °С | Количество, м³/ч |
| П-0,75-35/5 (АП-0,75) | 1-й отбор регулируемый (ПВД) 2-й отбор (деаэратор) 3-й отбор (ПНД) | 4 5 6 | 5,0 1,2 1,05 | 250 130 120 | 0,8 0,6 0,1 |
| П-1,5-35/5 (АП-1,5) | 1-й отбор регулируемый (ПВД) 2-й отбор (деаэратор) 3-й отбор (ПНД) | 4 5 7 | 5,0 1,2 1,05 | 250 130 120 | 1,4 1,15 0,116 |
| П-2,5-35/5 (АП-2,5) | 1-й отбор регулируемый (ПВД) 2-й отбор (деаэратор) 3-й отбор (ПНД) | 5 9 11 | 5,0 1,2 1,05 | 250 130 120 | 2,16 1,84 — |
| П-4-35/5 (АП-4) | 1-й отбор регулируемый ПВД деаэратор | 6 | 5 5/1,2 | 257 257 | 2,3 0,5 |
| | 2-й отбор (ПНД) | 9 | 0,7 | 132 | 1,2 |
| П-6-35/5 (АП-6) | 1-й отбор регулируемый (ПВД) 2-й отбор (деаэратор) 3-й отбор (ПНД) | 7 13 15 | 5,0 1,2 1,05 | 240 130 120 | 4,76 4,16 0,096 |
| П-6-35/5 (АП-6-II) | 1-й отбор регулируемый ПВД деаэратор | 6 | 5,0 5/1,2 | 244 244 | 3,3 0,5 |
| | 2-й отбор (ПНД) | 9 | 0,7 | 108 | 2,05 |

Таблица 1-13

Турбины паровые с теплофикационным отбором пара (технические данные)

| Тип турбины | T-4-35 (АП-4) | T-6-35 (АП-6) | T-12-35 (АП-12) | T-24-35 (АП-24) | T-24-50 (АП-25) | T-50-130* (ВТ-50-1) | T-100-130* (ВТ-100-1) |
|---|------------------|------------------|--------------------|--------------------|--------------------|---|---|
| Завод-изготовитель | НЭЛ | НЭЛ | БМЗ | БМЗ | УТМЗ | УТМЗ | УТМЗ |
| Номинальная мощность, квт | 4 000 | 6 000 | 12 000 | 25 000 | 25 000 | 50 000 | 100 000 |
| Давление свежего пара, атм | 35 | 35 | 35 | 90 | 90 | 130 | 130 |
| Температура свежего пара, °С | 435 | 435 | 435 | 500 | 535 | 565 | 565 |
| Число перегулируемых отборов | 2 | 2 | 2 | 4 | 5 | 5 | 7 |
| Температура питательной воды, °С | 154 | 158 | 156 | 211 | 223 | 230 | 229 |
| давление отработавшего пара, атм | 0,04 | 0,05 | 0,04 | 0,035 | 0,05 | 0,05 | 0,054 |
| расход охлаждающей воды, м³/ч | 1 400 | 1 850 | 2 800 | 5 000 | 7 000 | 16 000 | 16 000 |
| Теплофикационный отбор пара: | | | | | | | |
| давление, атм | 1,2—2,5 | 1,2—2,5 | 1,2 | 1,2 | 1,2 | 0,5—2 (в нижнем отборе) 0,6—2,5 (в верхнем отборе) | 0,5—2 (в нижнем отборе) 0,6—2,5 (в верхнем отборе) |
| температура, °С | 127—185 | 127—185 | 166 | 104 | 104 | 180** | 310** |
| величина отбора, т/ч | 22 | 35 | 65 | 100 | 90 | | |
| расход свежего пара при номинальной величине теплофикационного отбора, т/ч | 28,4 | 42,3 | 81,5 | 135 | 130 | 245,5 | 445 |
| удельный расход пара при номинальной нагрузке и номинальной величине теплофикационного отбора, кг/квт·ч | 7,1 | 7,05 | 6,64 | 5,42 | 5,16 | 4,9 | 4,2 |
| расход пара при номинальной нагрузке (конденсационный режим), т/ч | 19,6 | 27,9 | 56,5 | 103 | 100 | 144 (при 40 000 квт) | 360 |
| максимальный расход пара, т/ч: | | | | | | | |
| через ч. в. д. | 32 | 47,6 | 90 | 159 | 150 | 268 | 460 |
| через ч. н. д. | 17 | 25 | 80 | 100 | 80 | 135 | 430 (ч. с. д.) |

* Турбины в ГОСТ 3618-58 не вошли.

** Суммарная величина отбора.

Примечания. 1. Максимальная мощность $N_{\max} = 1,2 N_{\text{ном}}$.

2. Температура охлаждающей воды 20° С.

Таблица 1-14

Турбины паровые с теплофикационным отбором пара (конструктивные, габаритные и весовые данные)

| Тип турбины | T-4-35 (АТ-4) | T-6-35 (АТ-6) | T-12-35 (АТ-12-2) | T-25-35 (ВТ-25-4) | T-25-90 (ВТ-25-5) | T-50-130 (ВТ-50-1) | T-100-130 (ВТ-100-1) |
|--|------------------|------------------|----------------------|----------------------|----------------------|-----------------------|---------------------------|
| Число цилиндров | 1 | 1 | 1 | 1 | 1 | 2 | 3 |
| Число ступеней | 15 | 15 | 16 | 20 | 25 | 25 | 25 |
| Формула проточной части: | K+8Д | K+8Д | K+11Д | K+15Д | R+2Д | K+20Д | K+8Д R+13Д (R+1Д)×2 |
| для ч. в. д. | — | P+5Д | P+3Д | — | — | — | — |
| для ч. н. д. | — | P+5Д | P+2Д | — | — | — | — |
| Ротор турбины: | | | | | | | |
| критическое число оборотов в минуту | 1 940 | 1 840 | 2 000 | 1 850 | 1 709 | 1 800 | 1 800 |
| полная длина ротора, м.м | 4 247 | 4 247 | 4 500 | 5 850 | 7 207 | 6 093 | 6 256 |
| пролет между осьми подшипников, м.м | 2 950 | 2 930 | 3 437 | 4 525 | 5 000 | 3 704 | 4 947 |
| средний диаметр последней ступени, м.м | 1 161 | 1 245 | 1 525 | 1 678 | 850 | 1 915 | 875 |
| длина рабочих лопаток последней ступени, м.м | 179 | 230 | 320 | 432 | 462 | 51,5 | 550 |
| наименьший диаметр по вершинам лопаток, м.м | 1 340 | 1 475 | 1 845 | 2 110 | 2 140 | 901,5 | 2 465 |
| вес ротора, т | 4,7 | 5,15 | 7,67 | 14,6 | 15,4 | 4,52 | 18,9 |
| Полная длина турбины, м.м | 4 825 | 4 765 | 6 100 | 7 460 | 8 160 | 13 618 | 18 571 |
| Полная длина турбоагрегата, м.м | 9 470 | 9 820 | 12 194 | 16 000 | 16 300 | 23 000 | 28 000 |
| Число оборотов валоповоротного устройства, об/мин | 41,4 | 43,4 | 56 | 140 | 140 | 240 | 355 |
| Общий вес турбины, т | — | — | — | — | — | — | 415 |
| Вес наиболее тяжелой части турбины, т: | | | | | | | |
| при монтаже | 10,5 | 13,8 | 16 | 37 | 45 | 72 | 72 |
| при ремонти | 7,6 | 10 | 10 | 25 | 23 | 38 | 38 |
| Высота фундамента турбоагрегата, м.м | 5 500 | 5 500 | 7 000 | 8 000 | 8 000 | 8 000 | 8 000 |
| Найменшая высота подъема крюка мостового крана над полом машинного зала, м.м | 4 800 | 4 800 | 5 500 | 6 520 | 6 200 | 6 200 | 6 200 |

Таблица 1-15

Турбины паровые с теплофикационным отбором пара (нерегулируемые отборы пара на регенерацию при номинальных параметрах регулируемого отбора пара и мощности)

| Тип турбины | Отбор пара на подогреватель и деаэратор | Отбор за ступенью № | Греющий пар | | |
|-------------------------|---|---------------------------------|--|--------------------------------------|--|
| | | | Давление, атм | Температура, °С | Количество, т/ч |
| T-4-35 (АТ-4) | 1-й отбор (ПВД) 2-й отбор — регулируемый (деаэратор) 3-й отбор (ПНД) | 4 9 10 | 5,98 1,2 0,65 | 268 127 99 | 2,57 — 1,41 |
| T-6-35 (АТ-6) | 1-й отбор (ПВД) 2-й отбор — регулируемый (деаэратор) 3-й отбор (ПНД) | 4 9 10 | 6,85 1,2 0,66 | 265 132 88 | 4,2 — 2,17 |
| T-12-35 (АТ-12-2) | 1-й отбор (ПВД) 2-й отбор — регулируемый (деаэратор) 3-й отбор (ПНД) | 6 12 14 | 7,13 1,2 0,278 | 297 110 67 | 7,55 1,2 0,2 |
| T-25-90 (ВТ-25-4) | 1-й отбор (ПВД № 5) | 5 | 25,7 | 360 | 7,9 |
| | 2-й отбор (ПВД № 4) (деаэратор) | 8 | 14,4 14,4/6 | 293 293 | 7,4 2,3 |
| | 3-й отбор (ПНД № 3) | 12 | 5,5 | 193 | 9+2,4* |
| | 4-й отбор — регулируемый (ПНД № 2) | 16 | 1,2 | 104 | — |
| | 5-й отбор (ПНД № 1) | 18 | Отключен | — | 1,2* |
| T-25-90 (ВТ-25-5) | 1-й отбор (ПВД № 5) 2-й отбор (ПВД № 4) 3-й отбор (деаэратор) 4-й отбор (ПНД № 3) 5-й отбор — регулируемый (ПНД № 2) 6-й отбор (ПНД № 1) | 9 13 16 19 22 23 | 27,2 16,8 11,7/6 4,2 1,2 Отключен | 395 340 300 205 104 — | 3,65+2,5* 7,6 1,3+1,5* 7,5 1,3 1,5* |
| | 1-й отбор (ПВД № 7) | 9 | 34 | 395 | 10,45+1,5* |
| | 2-й отбор (ПВД № 6) | 11 | 21,95 | 345 | 14,35 |
| | 3-й отбор (ПВД № 5) (деаэратор) | 14 | 11,25 11,25/6 | 270 270 | 5,8 3,3 |
| | 4-й отбор (ПНД № 4) | 17 | 5,4 | 197 | 2,2+5,65* |
| | 5-й отбор (ПНД № 3) | 19 | 2,95 | 140 | 5,4 |
| T-50-130 (ВТ-50-1)** | 6-й отбор — регулируемый (ПНД № 2) | 21 | 1,75 | 115 | 0,8 |
| | 7-й отбор — регулируемый (ПНД № 1) | 23 | 1,27 | 106 | 2,7 |
| | 1-й отбор (ПВД № 7) | 9 | 33,6 | 390 | 19,05+1,9* |
| | 2-й отбор (ПВД № 6) | 11 | 21,75 | 335 | 25,4 |
| | 3-й отбор (ПВД № 5) (деаэратор) | 14 14 | 11,3 11,3 | 260 260 | 10,3 7,2 |
| | 4-й отбор (ПНД № 4) | 17 | 5,42 | 190 | 10,6+5,75* |
| | 5-й отбор (ПНД № 3) | 19 | 2,79 | 130 | 23,75 |
| T-100-130 (ВТ-100-1) | 6-й отбор (ПНД № 2) | 21 (регул.) | 0,821 | 94 | 7,42 |
| | 7-й отбор (ПНД № 1) | 23 | Выключен | — | — |

* Пар из уплотнений.

** Режим при нагрузке ~ 51 000 квт. Нагрев сетевой воды в двух бойлерах от 70 до 112° С. Охлаждающая вода в конденсаторе циркуляционная.

для принятого расхода пара на производство D''_n .

Электрическая мощность на зажимах генератора

$$N''_s = N_{t,s} + N_{t,c} + N_{t,n} - \Delta N''_{x,x}$$

$\Delta N''_{x,x}$ подсчитывается для мощности N''_s .

На диаграмме режимов (рис. 1-17, а) точка a_s соответствует N''_s , D''_0 и D''_n . Для других значений D_k и D_n производятся аналогичные вычисления, позволяющие построить линии $D_n = \text{const}$.

4. Линия режимов турбины с предельными теплофикационными отборами пара D_t при различных постоянных величинах производственного отбора ($D_n = \text{const}$)

При конденсационном режиме с регенерацией ($D_n = 0$) для любой точки на линии $a_0 - k - x - a_x - k_1$ (рис. 1-17, а), построенной в предположении $D_t = 0$, определяют предельно допустимый расход D_t на теплофикацию и поправку на мощность ΔN_t . Например, для точки x расход свежего пара через турбину соответствует значениям D_x и мощности N_x . Откладывая значение D_x (рис. 1-16, а) и проводя ломаную линию $c - c_1 - a_2 - c_2 - c_4 - c_6$, определяют предельный расход пара на теплофикацию D_t и поправку на мощность ΔN_t (рис. 1-16, б); численное значение

$$D_t = D_x - \Delta D_s - \Delta D_c - D_{\text{к.мин}}$$

величины D_t и ΔN_t наносят на диаграмму режимов (точка x_1 на рис. 1-17, а), и определяют режим турбины с расходом свежего пара D_x , отбором на теплофикацию D_t и мощностью

$$N'_x = N_x - \Delta N_t$$

Аналогичные построения и вычисления позволяют нанести линию $a'_0 - x_1 - x_2$ предельных отборов пара на теплофикацию при $D_n = 0$.

При конденсационном режиме с регенерацией $D_n = \text{const}$ для любой точки диаграммы режимов (рис. 1-17, а) на линии

$D''_n = \text{const}$, построенной при $D_t = 0$, графически определяют предельный расход пара D_t и поправку на мощность ΔN_t . Например, для точки a_s на линии $a_s - a_s - a'_2$ находят D''_0 и N''_s . Откладывая D''_0 (рис. 1-16, а) и проводя ломаную линию $a'_s - a'_4 - a_s - a_2 - a' - a_1 - a$, находят D'_t и $\Delta N'_t$ (рис. 1-16, б); численное значение

$$D'_t = D''_0 - \Delta D'_s - D''_n - \Delta D'_c - D_{\text{к.мин}}$$

D'_t и $\Delta N'_t$ наносят на диаграмму режимов (точка y'_1 , на рис. 1-17, б) и находят электрическую мощность на зажимах генератора $N''_s = N''_s - \Delta N'_t$. Аналогичные построения позволяют нанести линию предельных отборов D_t при режимах работы турбины с $D_n = \text{const}$.

Линия $a''_2 - y_1 - y_0$ нанесена для режима турбины с максимальным D_t при $D_n = \text{const}$.

Для любого отбора пара на теплофикацию $D_t < D_t^{\max}$ и заданного производственного отбора пара $D_n = \text{const}$, определяемого на линии $y - y_0$, точкой y'_0 (рис. 1-17, б) можно определить расход свежего пара и мощность турбины следующим способом. Из точки y'_0 проводят пунктирную линию $y'_0 - y''_0 - y'''_0$ и находят расход свежего пара через турбину D''_0 . Откладывая значение D''_0 (точка a_s на рис. 1-16, а) и проводя из последней пунктирную линию $a_s - a_s - a_s - a_9 - a_{10} - a_{11} - x_1$, находят поправку на мощность $\Delta N''_t$, вырабатываемую теплофикационным отбором пара D_t . Мощность $\Delta N''_t$ откладывают на графике (рис. 1-17, б) от точки x_0 и определяют электрическую мощность на зажимах генератора N''_s .

Аналогичным способом определяют расход свежего пара D_0 , поправку к мощности ΔN_t и мощность турбины N_s для любых значений D_t при заданных величинах $D_n = \text{const}$.

С достаточной для практических целей степенью точности без приведенных выше вычислений можно опреде-

лять расход свежего пара через турбину по ее мощности и значению D_t непосредственно по диаграмме (рис. 1-17). Например, для заданных значений N_s и D_t при $D_n = \text{const}$ из точки x_s (рис. 1-17, б) проводят пунктирную линию $x_s - x_1 - x_2$ и находят расход свежего пара D_t .

Предельно возможные отборы пара на теплофикацию для других постоянных значений $D_n = \text{const}$ строят аналогичным способом так же, как и для $D_n = \text{const}$.

1-9. КОНДЕНСАЦИОННЫЕ ТУРБИНЫ С РЕГУЛИРУЕМЫМИ ОТБОРАМИ ПАРА

Турбины с регулируемыми отборами пара по сравнению с чистоконденсационными конструктивно более сложны. Регулирование расхода как свежего пара, так и при перепуске пара из камер регулируемых отборов, осуществляется сопловым способом. Для перепуска пара из камер регулируемых отборов к последующим ступеням турбины чаще применяются специальные поворотные диафрагмы.

Поддержание заданных давлений в отборах при изменении электрической мощности турбины осуществляется системами связного регулирования.

При отключенных регулируемых отборах турбины, как правило, развиваются номинальные мощности.

Технические характеристики турбин с производственными и теплофикационными отборами пара представлены в табл. 1-10—1-20. Типы комплектующего оборудования даны в приложениях II, III и IV. В приложении V приведен перечень турбин, выпускаемых КТЗ, и их основные технические данные.

Диаграммы режимов отдельных серийных турбин представлены на рис. 1-18—1-42.

1-10. ТУРБИНЫ С ПРОТИВОДАВЛЕНИЕМ

Турбины этого типа предназначены для работы по тепловому графику; тепло отработавшего пара используется для технологических целей.

Турбины с противодавлением 31 ата устанавливаются в качестве предвключенных при надстройках электростанций среднего давления (29 ата и 400° С).

Технические характеристики турбин с противодавлением приведены в табл. 1-21 и 1-22; типы комплектующего оборудования даны в приложении VI. В приложении VII приведен перечень типов турбин, выпускаемых КТЗ, и их основные технические данные.

Таблица 1-10
Турбины паровые с производственным отбором пара (технические данные)

| Тип турбины | П-0,75-35/5 (АП-0,75) | П-1,5-35/5 (АП-1,5) | П-2,5-35/5 (АП-2,5) | П-4-35/5 (АП-4) | П-6-35/5 (АП-6) | П-8-35/5 (АП-8-1) |
|---|--------------------------|------------------------|------------------------|--------------------|--------------------|----------------------|
| Завод-изготовитель | КТЗ | КТЗ | КТЗ | НЗЛ | КТЗ | НЗЛ |
| Номинальная мощность, квт | 750 | 1 500 | 2 500 | 4 000 | 6 000 | 6 000 |
| Число нерегулируемых отборов пара | 2 | 2 | 2 | 1 | 2 | 1 |
| Температура питательной воды, °С | 150 | 150 | 150 | 147 | 150 | 147 |
| Давление отработавшего пара, ата | 0,05 | 0,05 | 0,05 | 0,04 | 0,05 | 0,04 |
| Расход охлаждающей воды, м³/ч | 300 | 550 | 770 | 1 400 | 1 850 | 2 000 |
| Производственный отбор пара: | | | | | | |
| давление, ата | 5 | 5 | 5 | 5 | 5 | 5 |
| температура, °С | 250 | 250 | 250 | 257 | 230 | 244 |
| величина отбора, т/ч | 7 | 12 | 18 | 25 | 40 | 40 |
| Расход свежего пара при номинальной загрузке и номинальной величине производственного отбора, т/ч | 9,8 | 17,5 | 26,2 | 36 | 55,8 | 53,8 |
| Удельный расход пара при номинальной нагрузке и номинальной величине производственного отбора, кг/квт·ч | 13,1 | 11,6 | 10,5 | 9 | 9,3 | 8,97 |
| Расход свежего пара при номинальной нагрузке (конденсационный режим), т/ч | 4,9 | 9,25 | 13,1 | 20,6 | 28,2 | 29,8 |

Примечания. 1. Максимальная мощность $N_{\max} = 1,2 N_{\text{ном}}$.
2. Турбины типов П-0,75-35/5 и П-1,5-35/5 имеют число оборотов 8 000 в 1 мин и работают через редуктор.
3. Параметры свежего пара 35 ата и 45° С.
4. Температура охлаждающей воды 20° С.

Таблица 1-16

Турбины паровые с теплофикационным отбором (гарантийные данные по экономичности при различных нагрузках)

1. Турбина типа Т-25-90 (ВТ-25-5)

| Мощность на зажимах генератора, квт | Коэффициент полезного действия генератора, % | Количество отбираемого пара при $P_t = 1,2$ ата, т/ч | Температура питательной воды, °C | Удельный расход пара, кг/квт·ч |
|-------------------------------------|--|--|----------------------------------|--------------------------------|
| 25 000 | 98,2 | 90 | 220 | 5,16 |
| 25 000 | 98,2 | 38 | 211 | 4,45 |
| 20 000 | 98,1 | 38 | 201 | 4,53 |
| 15 000 | 98,0 | 38 | 190 | 4,85 |
| 25 000* | 98,2 | 0 | 206 | 3,96 |

2. Турбина типа Т-90-130 (ВТ-50-1)

| Мощность на зажимах генератора, квт | Коэффициент полезного действия генератора, % | Давление пара в регулируемом отборе, ата | Тепло, отданное потребителю, Гкал/ч | Температура сетевой воды на входе, °C | Температура питательной воды, °C | Удельный расход пара, кг/квт·ч |
|-------------------------------------|--|--|-------------------------------------|---------------------------------------|----------------------------------|--------------------------------|
| 50 000 | 98,6 | 1,7 | 91,5 | 70 | 230 | 4,90 |
| 54 700 | 98,6 | 1,0 | 91,5 | 50,8 | 230 | 4,48 |
| 40 000* | 98,3 | 0 | 0 | 201,5 | 230 | 3,60 |
| 52 500 | 98,6 | 1,3 | 92,5 | 56 | 230 | 4,67 |
| 56 600 | 98,6 | 0,8 | 92,5 | 35,4 | 230 | 4,33 |
| 40 000 | 98,3 | 0,5 | 29 | 15 | 205 | 4,00 |

3. Турбина типа Т-100-130 (ВТ-100-1)

| Мощность на зажимах генератора, квт | Коэффициент полезного действия генератора, % | Давление в регулируемом отборе, ата | Тепло, отданное потребителю, Гкал/ч | Температура питательной воды, °C | Удельный расход пара, кг/квт·ч |
|-------------------------------------|--|-------------------------------------|-------------------------------------|----------------------------------|--------------------------------|
| 105 000 | 98,7 | 0,8 | 160 | 229 | 4,2 |
| 98 000 | 98,7 | 1,3 | 160 | 229 | 4,5 |
| 80 000 | 98,7 | 0,5 | 50 | 210 | 3,88 |
| 80 000* | 98,7 | — | 0 | 205 | 3,53 |

* Регулятор давления в отборе выключен.

Таблица 1-17

Турбины паровые с производственным и теплофикационным отборами пара (технические данные)

| Тип турбины | ПТ-12-35/10 (АПТ-12-1) | ПТ-12-90/10 (ВПТ-12) | ПТ-25-90/10 (ВПТ-25-3) | ПТ-25-90/10 (ВПТ-25-4) | ПТ-50-130/13 (ВПТ-50-3) | ПТ-50-130/13 (ВПТ-50-4) | ПТ-50-130/7 (ВПТ-50-4) |
|----------------------------------|------------------------|----------------------|------------------------|------------------------|-------------------------|-------------------------|------------------------|
| Завод-изготовитель | БМЗ | КТЗ | УТМЗ | УТМЗ | ЛМЗ | ЛМЗ | УТМЗ |
| Номинальная мощность, квт | 12 000 | 12 000 | 25 000 | 25 000 | 50 000 | 50 000 | 50 000 |
| Давление свежего пара, ата | 35 | 90 | 90 | 90 | 90 | 130 | 130 |
| Температура свежего пара, °C | 435 | 535 | 500 | 535 | 535 | 565 | 565 |
| Число нерегулируемых отборов | 2 | 2 | 3 | 4 | 5 | 5 | 5 |
| Температура питательной воды, °C | 152 | 215 | 203 | 218 | 222 | 232 | 230 |
| Давление отработавшего пара, ата | 0,04 | 0,035 | 0,035 | 0,05 | 0,03 | 0,03 | 0,056 |
| Расход охлаждающей воды, м³/ч | 2 800 | 2 000 | 5 000 | 5 000 | 8 000 | 8 000 | 7 000 |

| Тип турбины | ПТ-12-35/10 (АПТ-12-1) | ПТ-12-90/10 (ВПТ-12) | ПТ-25-90/10 (ВПТ-25-3) | ПТ-25-90/10 (ВПТ-25-4) | ПТ-50-130/13 (ВПТ-50-3) | ПТ-50-130/13 (ВПТ-50-4) | ПТ-50-130/7 (ВПТ-50-4) | ПТ-50-130/7 (ВПТ-50-4) |
|---|------------------------|----------------------|------------------------|------------------------|-------------------------|-------------------------|------------------------|------------------------|
| Производственный отбор пара: | | | | | | | | |
| давление, ата | 10 | 10 | 10 | 10 | 13 | 13 | 13 | 7 |
| температура, °C | 290 | 283 | 257 | 278 | 295 | 275 | 220 | 220 |
| величина отбора, м³/ч | 50 | 35 | 72 | 70 | 140 | 115 | 118 | 118 |
| Теплофикационный отбор пара: | | | | | | | | |
| давление, ата | 1,2 | 0,7—2,5 | 1,2 | 1,2 | 1,2—2,5 | 1,2—2,5 | 1,2—2,5 | 1,2—2,5 |
| температура, °C | 104 | 112 | 104 | 110 | 104 | 104 | 86 | 85 |
| величина отбора, м³/ч | 40 | 25 | 54 | 53 | 100 | 100 | 120* | 120* |
| Расход свежего пара при номинальной нагрузке в номинальных величинах обоих отборов, м³/ч | | | | | | | | |
| | 119 | 82,6 | 167 | 160 | 337,5 | 300,5 | 274 | 274 |
| Удельный расход пара при номинальной нагрузке и номинальных величинах обоих отборов, кг/квт·ч | | | | | | | | |
| | 9,1 | 6,85 | 6,66 | 6,40 | 6,75 | 6,01 | 5,48 | 5,48 |
| Величина максимального производственного отбора пара, м³/ч | | | | | | | | |
| | 80 | 47,4 | 130 | 125 | 230 | 230 | 160 | 160 |
| Величина максимального теплофикационного отбора, м³/ч | | | | | | | | |
| | 65 | 25 | 100 | 92 | 160 | 160 | 120 | 120 |
| Расход пара при номинальной нагрузке с максимальным производственным отбором (теплофикационный отбор выключен), м³/ч | | | | | | | | |
| | 113 | 82 | 185 | 181 | 366 | 353 | 274,5 | 274,5 |
| Расход пара при номинальной нагрузке с максимальным теплофикационным отбором (производственный отбор выключен), м³/ч | | | | | | | | |
| | 81,5 | 61,2 | 140 | 131 | 252 | 240 | 255 | 255 |
| Производственный отбор 67 м³/ч | | | | | | | | |
| Расход пара при номинальной нагрузке (конденсационный режим), м³/ч | | | | | | | | |
| | 57 | 52,4 | 104 | 99 | 198 | 185 | 147,4 | 147,4 при 40 000 квт |
| Максимальный расход пара, м³/ч: | | | | | | | | |
| через ч. в. д. | 115 | 91 | 200 | 190 | 385 | 370 | 299,8 | 299,8 |
| ч. с. д. | 85 | 38 | 120 | 113 | 181 | 175 | 190 | 190 |
| ч. н. д. | 50 | 39 | 100 | 80 | 130 | 130 | 135 | 135 |

* Суммарная величина отбора.

Примечания. 1. Максимальная мощность $N_{\max} = 1,2 N_{\text{ном}}$.
2. Номинальная температура охлаждающей воды 20° С.

Таблица 1-18
Турбины паровые с производственным и теплофикационным отборами пара
(конструктивные, габаритные и весовые данные)

| Тип турбины | | ПГ-12-35/10 (АПГ-12-1) | ПГ-12-90/10 (ВПГ-12) | ПГ-25-90/10 (ВПГ-25-3) | ПГ-25-90/10 (ВПГ-25-4) | ПГ-50-90/13 (ВПГ-50-3) | ПГ-50-90/13 (ВПГ-50-3) | ПГ-50-130/7 (ВПГ-50-4) |
|--|----------------------|---------------------------|-------------------------|---------------------------|---------------------------|---------------------------|---------------------------|---------------------------|
| Число цилиндров | 1 | 1 | 1 | 1 | 1 | 2 | 2 | 2 |
| Число ступеней | 15 | 19 | 19 | 24 | 28 | 30 | 30 | 24 |
| Формула проптной части: | K+3Д P+6Д P-3Д | K+6Д P+6Д P+4Д | K+8Д P+5Д P+3Д | P+15Д P+4Д P+2Д | P+14Д P+8Д P+3Д | P+16Д P+8Д P+3Д | K+15Д P+5Д P+1Д | |
| ч. в. д. | | | | | | | | |
| ч. с. д. | | | | | | | | |
| ч. н. д. | | | | | | | | |
| Ротор высокого давления: | | | | | | | | |
| критическое число оборотов в минуту | | | | | | | | |
| полная длина, м.м. | 2 000 | 1 620 | 1 800 | 1 750 | 1 760 | 1 800 | 1 800 | |
| пролет между осьми подшипников, м.м. | 4 500 | 3 742 | 6 556 | 7 207 | 5 620 | 5 620 | 6 093 | |
| средний диаметр последней ступени, м.м. | 3 437 | 3 742 | 4 671 | 5 000 | 4 627 | 4 627 | 3 714 | |
| диаметр рабочей лопатки последней ступени, м.м. | 1 525 | 1 212 | 1 678 | 1 678 | 927,5 | 908,5 | 856 | |
| наибольший диаметр по вершинам лопаток, м.м. | 320 | 282 | 432 | 447 | 117,5 | 98,5 | 56 | |
| наибольший диаметр по вершинам лопаток, м.м. | 1 845 | 1 494 | 2 120 | 2 130 | 1 045 | 1 012 | 912 | |
| вес, т | 8,5 | 6,3 | 14,5 | 15,3 | 7,84 | 8,11 | 4,527 | |
| Ротор низкого давления: | | | | | | | | |
| критическое число оборотов в минуту | | | | | | | | |
| полная длина, м.м. | | | | | | | | |
| пролет между осьми подшипников, м.м. | | | | | | | | |
| средний диаметр последней ступени, м.м. | | | | | | | | |
| диаметр рабочей лопатки последней ступени, м.м. | | | | | | | | |
| наибольший диаметр по вершинам лопаток, м.м. | | | | | | | | |
| вес, т | | | | | | | | |
| Полная длина турбины, м.м. | 6 100 | 5 015 | 7 607 | 8 160 | 14 231 | 14 231 | 13 618 | |
| Полная длина турбогенератора, м.м. | 18 194 | 11 346 | 16 000 | 16 300 | 23 800 | 23 800 | 22 200 | |
| число оборотов в минуту валоповоротного устройства, об/мин | 3 | 0,5 | 4,3 | 4,25 | 3,4 | 3,4 | 3,4 | |
| Общий вес турбины, т | 68 | 53,6 | 141 | 140,5 | 267 | 260 | 240 | |
| Вес наибольшего тяжелой части турбины, т: | | | | | | | | |
| при монтаже | 16 | 11 | 37 | 35 | 45 | 45 | 43 | |
| при ремонти | 10 | 12,5 | 25 | 23 | 26 | 26 | 22 | |
| Высота фундамента турбогенератора | 7 000 | 7 000 | 8 000 | 8 000 | 8 000 | 8 000 | 8 000 | |
| Наименьшая высота подъема крюка мостового крана над полом машинного зала, м.м. | 3 500 | 4 500 | 6 520 | 6 200 | 6 200 | 6 200 | 6 200 | |

Таблица 1-19
Турбины паровые с производственным и теплофикационным отборами пара
(нерегулируемые отборы пара на регенерацию при номинальных параметрах
пара регулируемых отборов и мощности)

| Тип турбины | Отбор пара на подогреватели и деаэраторы | Отбор за ступенью № | Греющий пар | | |
|------------------------|--|---------------------|---------------|-----------------|-----------------|
| | | | Давление, атм | Температура, °С | Количество, т/ч |
| 1-й отбор (ПВД) | | 5 | 5,75 | 260 | 9,5 |
| 2-й отбор (деаэратор) | | 11 | 1,2* | 110 | 3,5 |
| 3-й отбор (ПНД) | | 13 | 0,1 | 44 | 0,7 |
| 1-й отбор (ПВД № 5) | | 5 | 25,6 | 405 | 4,4 |
| 2-й отбор (ПВД № 4) | | 9 | 15,2 | 345 | 4,9 |
| 3-й отбор (деаэратор)* | | 12 | 10/6 | 300 | 0,2+1,7** |
| 4-й отбор (ПНД № 3) | | 15 | 3,3 | 210 | 2 |
| 5-й отбор (ПНД № 2)* | | 19 | 1,2 | 130 | 0,8 |
| 6-й отбор (ПНД № 1) | | 21 | 0,074 | 40 | 1,1+1,1** |
| 1-й отбор (ПВД № 5) | | 5 | 21,5 | 343 | 11,4 |
| 2-й отбор (ПВД № 4) | | 9 | 10 | 257 | 4,1 |
| (деаэратор)* | | 10/6 | 257 | 4,0 | |
| 3-й отбор (ПНД № 3) | | 12 | 3,3 | 168 | 4,1 |
| 4-й отбор (ПНД № 2)* | | 15 | 1,2 | 104 | 1,4 |
| 5-й отбор (ПНД № 1) | | 17 | | | |
| | | | | | |
| Отключен | | | | | |
| 1-й отбор (ПВД № 5) | | 9 | 27 | 391 | 5,65+2,55** |
| 2-й отбор (ПВД № 4) | | 13 | 16 | 330 | 8,6 |
| 3-й отбор (деаэратор)* | | 16 | 10/6 | 278 | 1,5 |
| 4-й отбор (ПНД № 3) | | 19 | 2,5 | 169 | 2,5 |
| 5-й отбор (ПНД № 2)* | | 21 | 1,2 | 110 | 1,2 |
| 6-й отбор (ПНД № 1) | | 22 | | | |
| | | | | | |
| Отключен | | | | | |
| 1-й отбор (ПВД № 7) | | 8 | 32,7 | 405 | 15,9 |
| 2-й отбор (ПВД № 6) | | 12 | 19,7 | 335 | 11,9 |
| 3-й отбор (ПВД № 5*) | | 15 | 13 | 295 | 13,5 |
| (деаэратор)* | | 13/6 | 295 | 4,5 | |
| 4-й отбор (ПНД № 4) | | 18 | 5,28 | 215 | 9,5 |
| 5-й отбор (ПНД № 3) | | 20 | 3,22 | 170 | 14,4 |
| 6-й отбор (ПНД № 2)* | | 24 | 1,2 | 104 | 0,6 |
| 7-й отбор (ПНД № 1) | | 26 | | | |
| | | | | | |
| Отключен | | | | | |
| 1-й отбор (ПВД № 7) | | 9 | 38,4 | 405 | 14,2 |
| 2-й отбор (ПВД № 6) | | 13 | 22,9 | 340 | 14,7 |
| 3-й отбор (ПВД № 5*) | | 17 | 13 | 275 | 11,4 |
| (деаэратор)* | | 13/6 | 275 | 3,8 | |
| 4-й отбор (ПНД № 4) | | 20 | 4,88 | 195 | 8,5 |
| 5-й отбор (ПНД № 3) | | 22 | 2,94 | 150 | 11,2 |
| 6-й отбор (ПНД № 2)* | | 26 | 1,2 | 104 | 1,4 |
| 7-й отбор (ПНД № 1) | | 28 | | | |
| | | | | | |
| Отключен | | | | | |
| 1-й отбор (ПВД № 7) | | 9 | 34 | 395 | 10,9+1,85** |
| 2-й отбор (ПВД № 6) | | 11 | 22,1 | 345 | 10,95 |
| 3-й отбор (ПВД № 5) | | 13 | 14,3 | 297 | 12,8 |
| | | | | | |
| 4-й отбор (ПНД № 4*) | | 16 | 7 | 220 | 11,05 |
| (деаэратор)* | | 7/6 | 220 | 0 | |
| 5-й отбор (ПНД № 3)* | | 18 | 2,14 | 135 | 6,8 |
| 6-й отбор (ПНД № 2)* | | 20 | 0,95 | 96 | 1,0 |
| 7-й отбор (ПНД № 1) | | 22 | | | |
| | | | | | |
| Отключен | | | | | |

* Количество пара на регенеративные подогреватели и деаэраторы из регулируемых отборов.

** Пар из уплотнений.

Таблица 1-20

Турбины паровые с производственным и теплофикационным отборами пара (гарантийные данные по экономичности при различных нагрузках)

1. Турбина типа ПТ-50-130/7 (ВПТ-50-4)

| Мощность на зажимах генератора, кВт | Коэффициент полезного действия генератора, % | Количество отбираемого пара при давлении $p_{\text{п}} = 7 \text{ атм}$, $m/\text{ч}$ | Тепло, отданное потребителю, Гкал./ч | Давление пара в теплофикационном отборе, атм | Температура сетевой воды на входе, °C | Удельный расход пара, $\text{кг}/\text{квт}\cdot\text{ч}$ | Температура питательной воды, °C |
|-------------------------------------|--|--|--------------------------------------|--|---------------------------------------|---|----------------------------------|
| 50 000 | 98,6 | 118 | 40 | 0,95 | 51 | 5,48 | 230 |
| 50 000 | 98,6 | 160 | 0 | — | — | 5,50 | 230 |
| 50 000 | 98,6 | 67 | 60 | 1,1 | 52,5 | 5,10 | 227 |
| 40 000* | 98,3 | 0 | 0 | — | — | 3,64 | 198 |

2. Ту́рбины с давлением производственного отбора 10 ата

| Тип турбины | Мощность на зажимах генератора, кват | Коэффициент полезного действия генератора, % | Количество отбираемого пара, т/ч | | Температура питательной воды, °C | Удельный расход пара, кг/кват·ч |
|---------------------------|--------------------------------------|--|-------------------------------------|----------------------------------|----------------------------------|---------------------------------|
| | | | при $p_{\text{п}} = 10 \text{ ата}$ | при $p_{\tau} = 1,2 \text{ ата}$ | | |
| ПТ-12-90/10 (ВПТ-12) | 12 000 | 97,0 | 35 | 25 | 215 | 6,85 |
| | 12 000 | 97,0 | — | — | 215 | 4,36 |
| | 12 000 | 97,0 | — | — | 46 | 3,69 |
| ПТ-25-90/10 (ВПТ-25-4) | 25 000 | 98,2 | 68 | 51 | 222 | 6,45 |
| | 25 000 | 98,2 | 0 | 90 | 211 | 5,30 |
| | 25 000* | 98,2 | 0 | 0 | 200 | 4,03 |
| | 20 000 | 98,1 | 48 | 38 | 207 | 6,28 |
| | 16 000 | 98,0 | 38 | 38 | 200 | 6,55 |

3. Турбины с давлением производственного отбора 13 ата

| Тип турбины | Мощность на зажимах генератора, квт | Коэффициент полезного действия генератора, % | Количество отбираемого пара, т/ч | | Температура питательной воды, °С | Удельный расход пара, кг/квт·ч |
|----------------------------|-------------------------------------|--|-------------------------------------|--------------------------------------|----------------------------------|--------------------------------|
| | | | при $p_{\text{д}} = 13 \text{ ата}$ | при $p_{\text{т}} = 1,2 \text{ ата}$ | | |
| ПТ-50-90/13 (ВПТ-50-2) | 50 000 | 98,6 | 140 | 100 | 222 | 6,75 |
| ПТ-50-130/13 (ВПТ-50-3) | 50 000 | 98,6 | 115 | 86 | 232 | 6,01 |
| | 50 000 | 98,6 | 0** | 160 | 225 | 4,85 |
| | 50 000 | 98,6 | 230 | 0 | 245 | 7,35 |
| | 40 000 | 98,5 | 95 | 75 | 230 | 6,15 |
| | | | | | | |

* Регуляторы давления в отборах выключены

** Давление в камере производственного отбора 16 атм

Глінка 121

Паровые турбины с пропорциональным (технические данные)

卷之三

* Турикка в ГОСТ 3618-58 не вошла.

Таблица 1.22

Паровые турбины с противодавлением (конструктивные, габаритные и весовые данные)

Приимечание. Турбины выполнены однозилиндровыми.

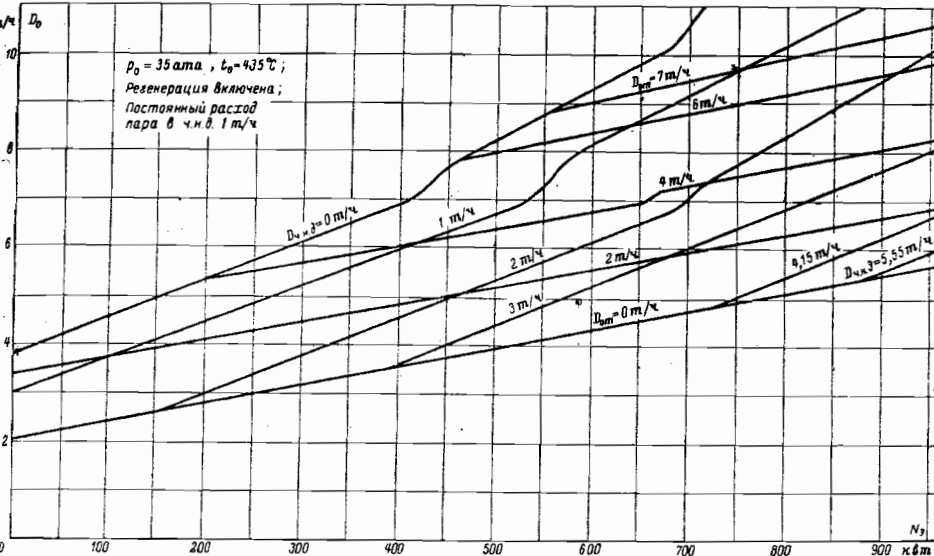


Рис. 1-18. Диаграмма режимов турбины типа П-0, 75-35/5 (АП-0,75)

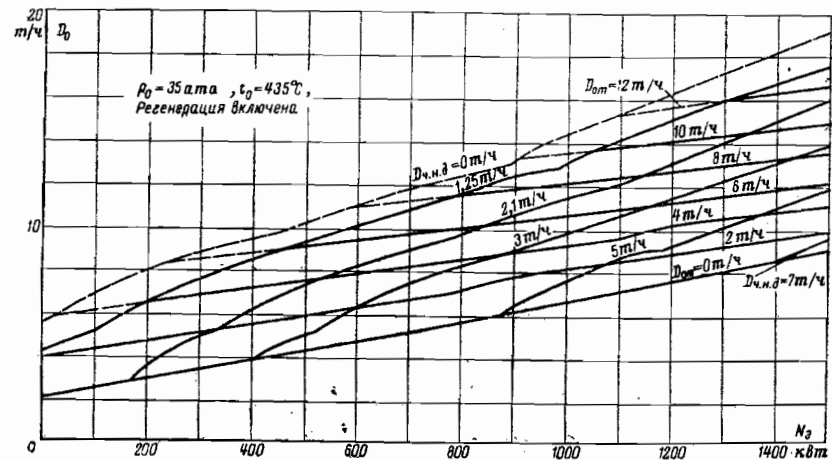


Рис. 1-19. Диаграмма режимов турбины типа П-1, 5-35/5 (АП-1,5).

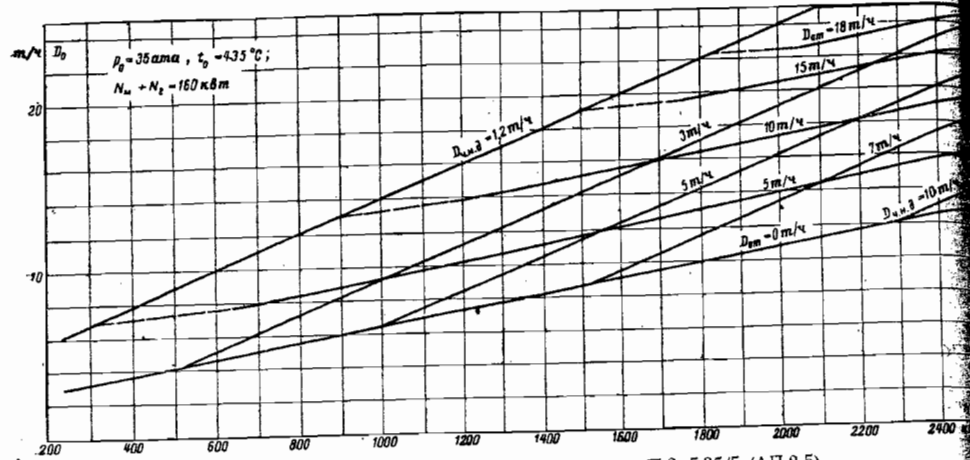


Рис. 1-20. Диаграмма режимов турбины типа П-2, 5-35/5 (АП-2,5).

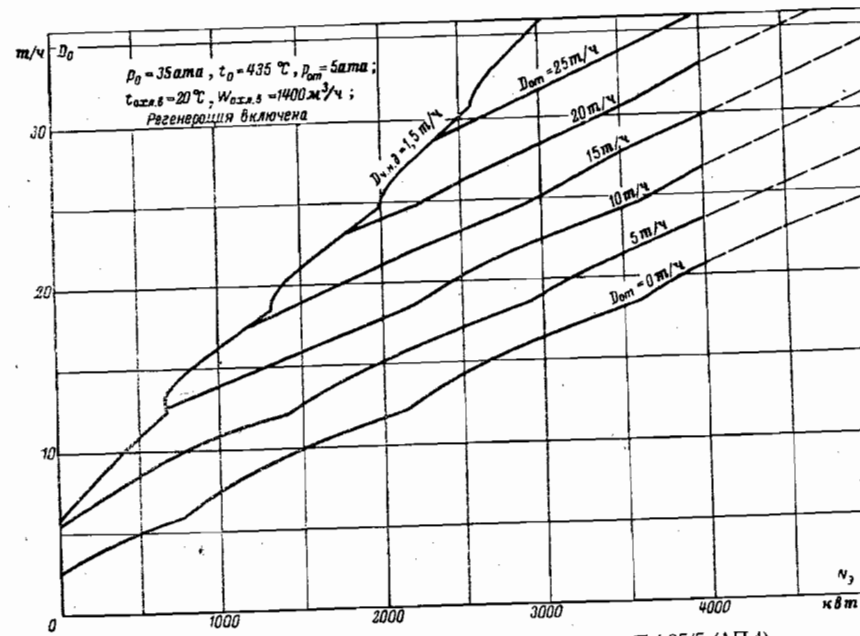


Рис. 1-21. Диаграмма режимов турбины типа П-4-35/5 (АП-4).

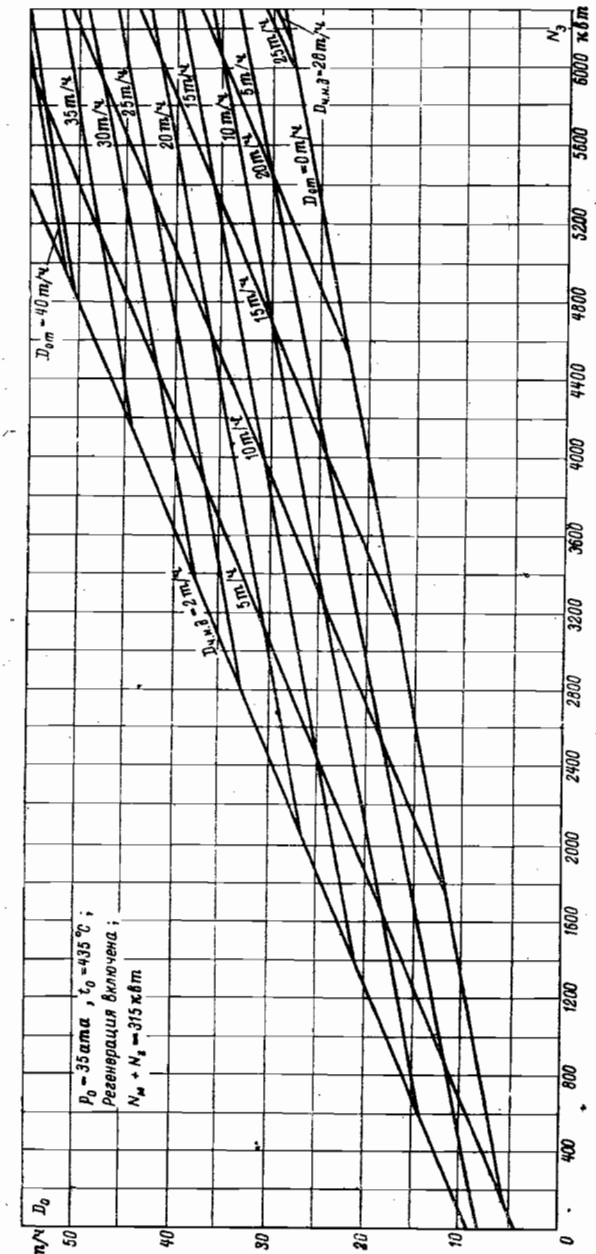


Рис. 1-22. Диаграмма режимов турбины типа П-6-35/5 (АП-6).

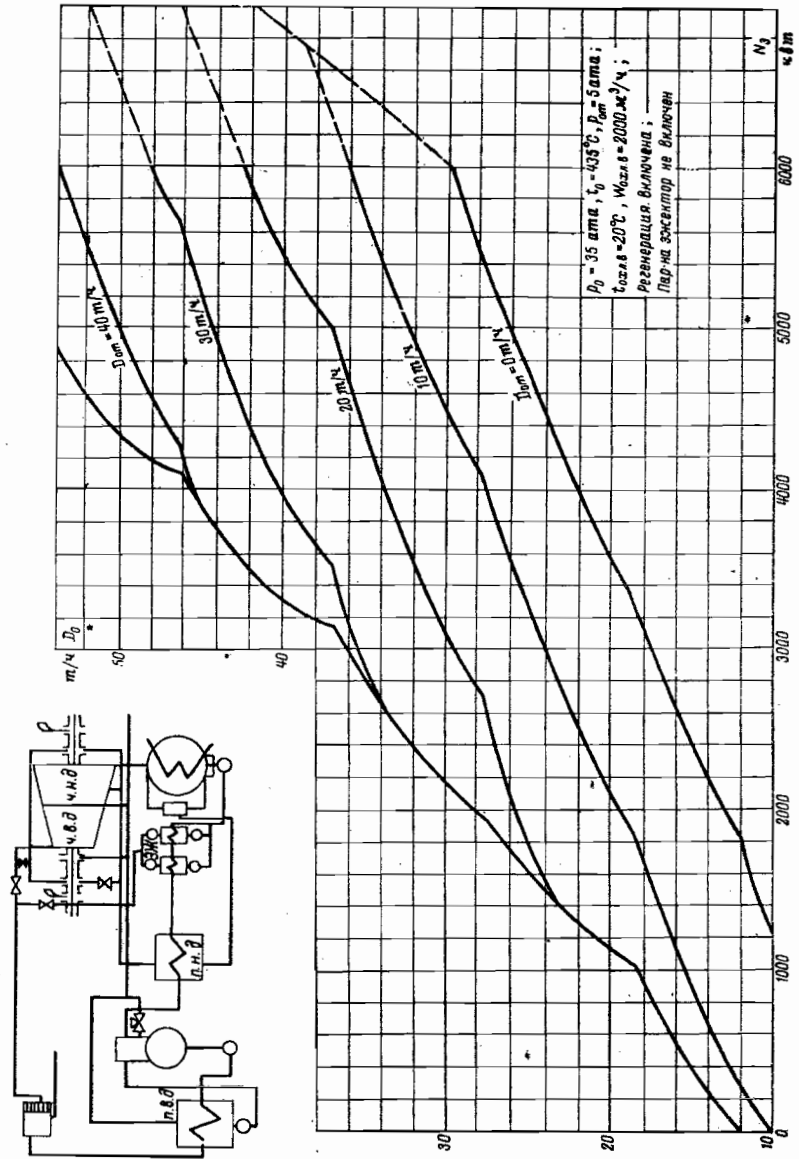


Рис. 1-23. Диаграмма режимов турбины типа II-6-35/5 (АИ-6-Д).

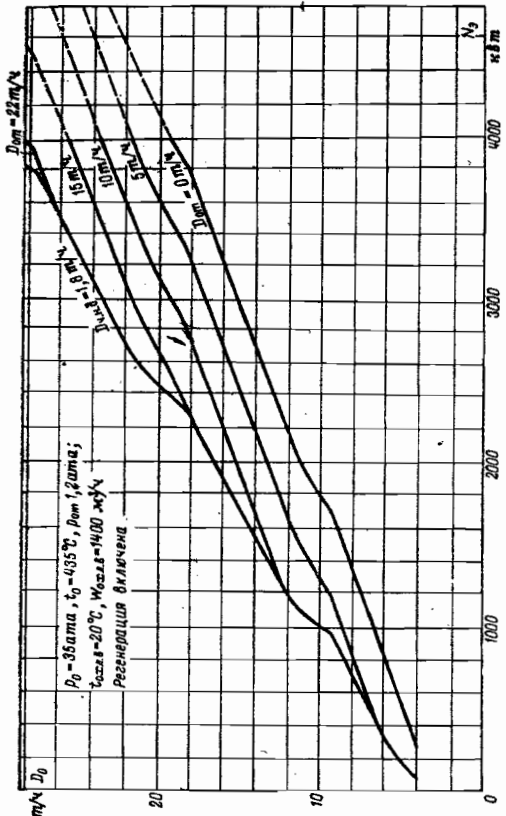


Рис. 1-24. Диаграмма режимов турбины типа Т-4-35 (АТ-4).

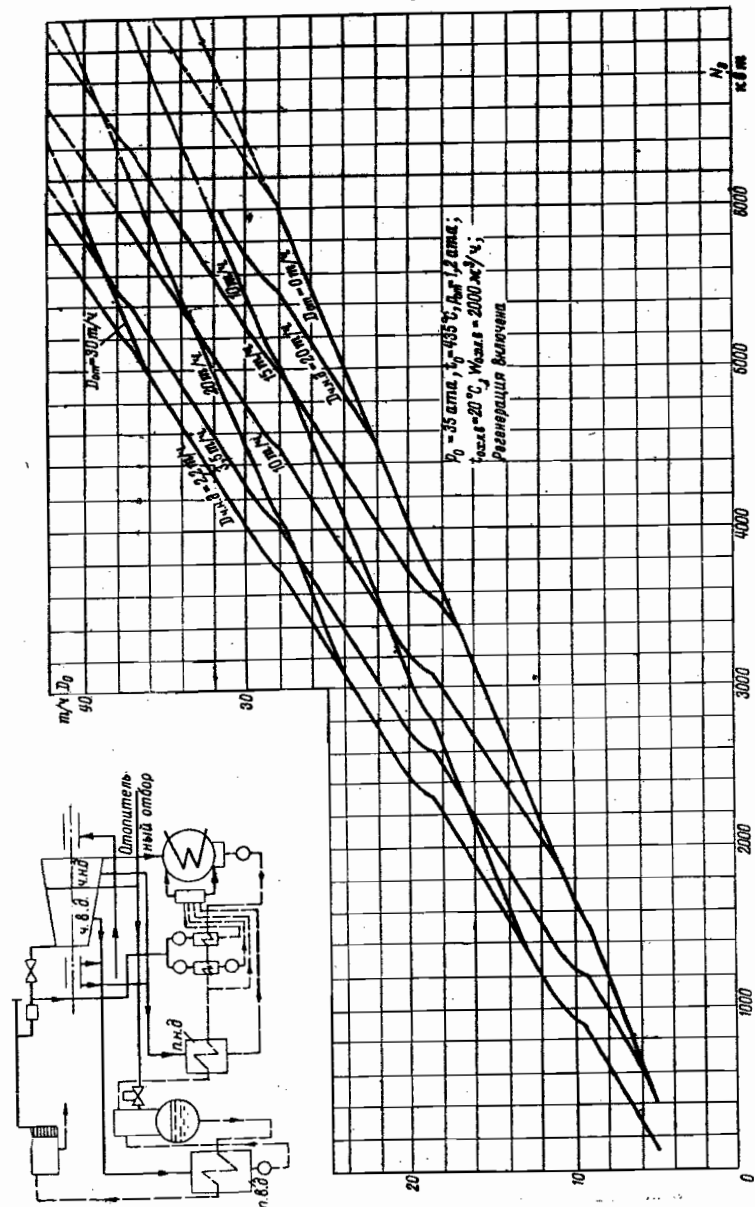


Рис. 1-25. Диаграмма режимов турбины типа Т-6.35 (АТ-6).

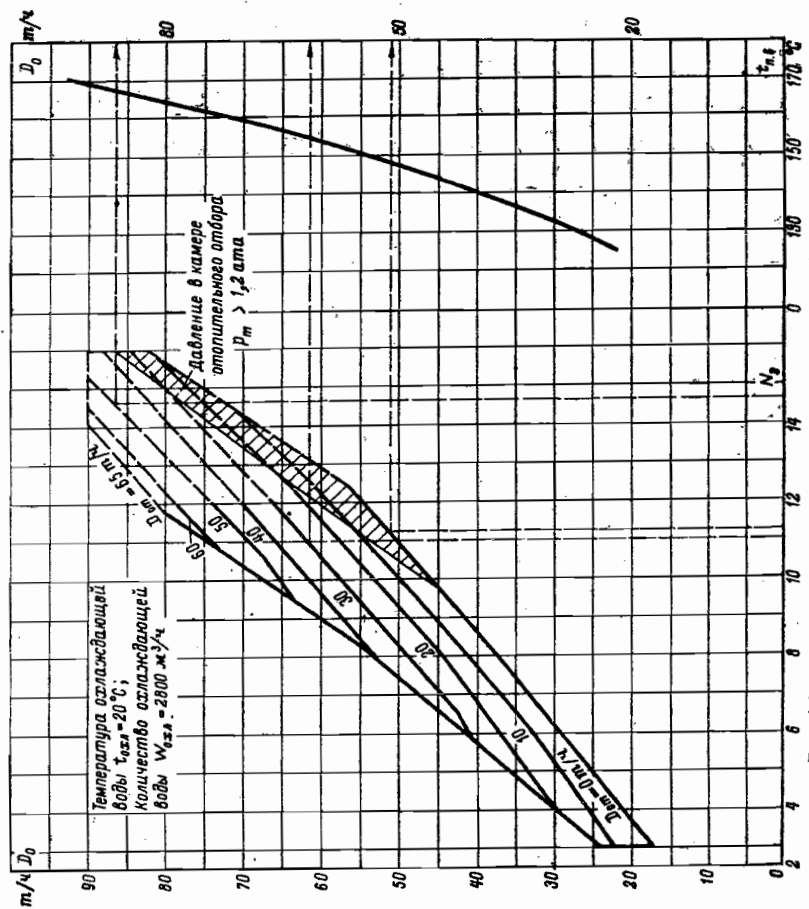


Рис. 1-26. Диаграмма режимов турбины типа Т-12.35 (АТ-12).

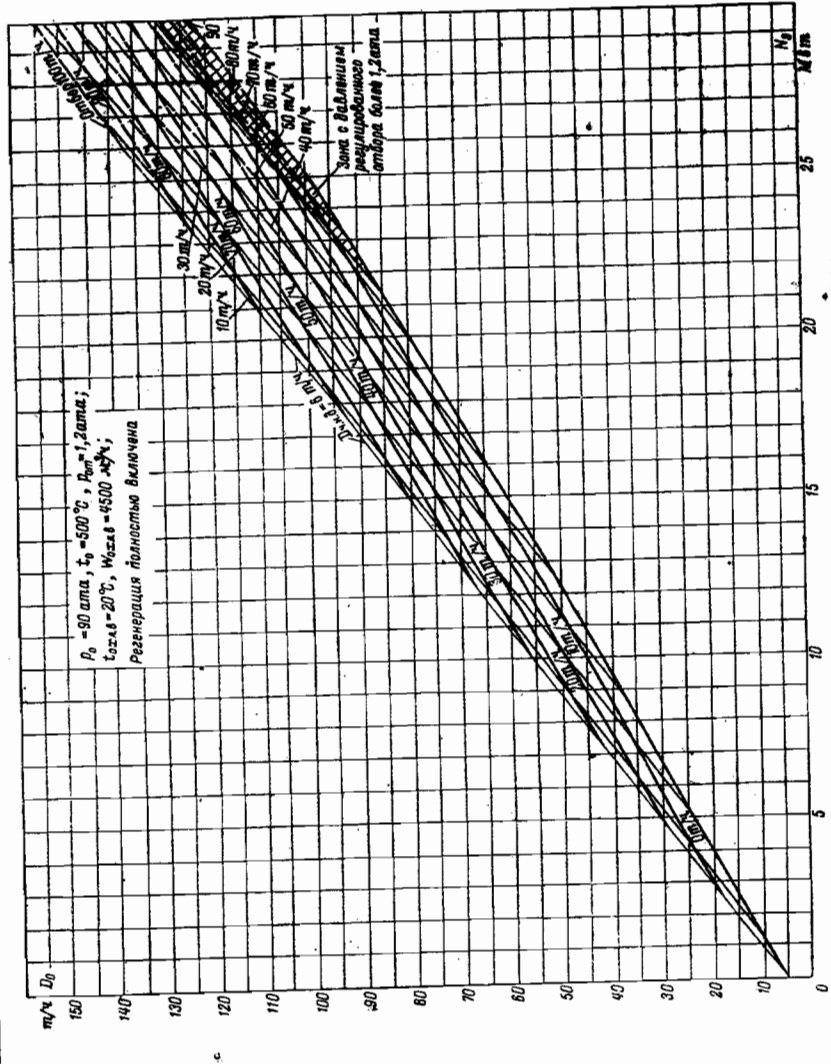


Рис. 1-27. Диаграмма режимов турбины Т-25-90 (ВТ-254).

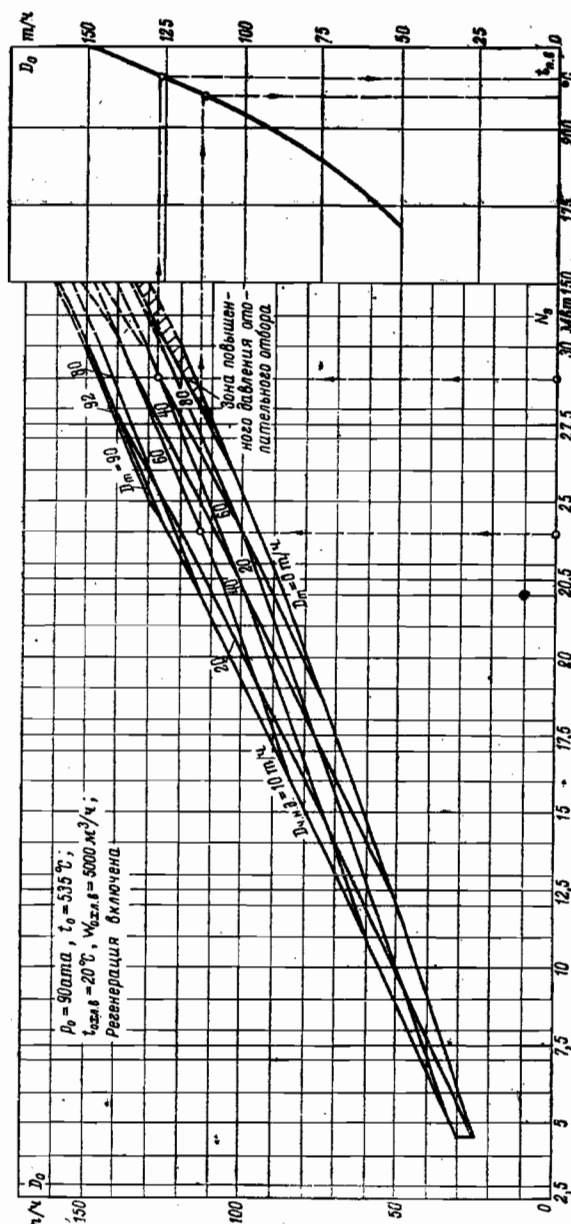


Рис. 1-28. Диаграмма режимов турбины типа Т-25-90 (ВТ-25-5).

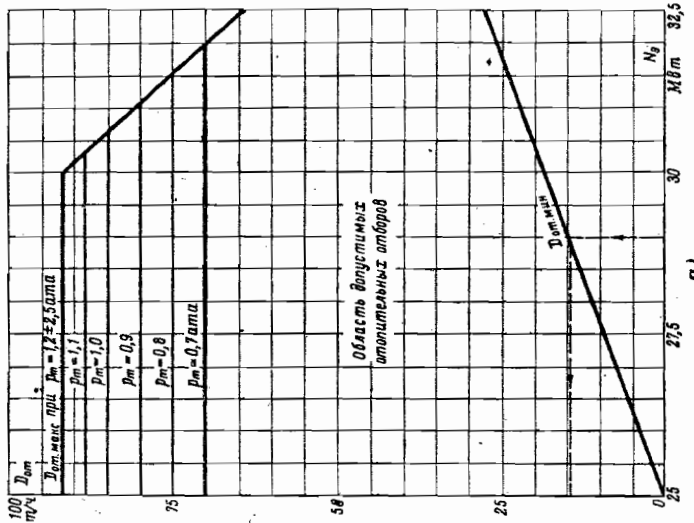
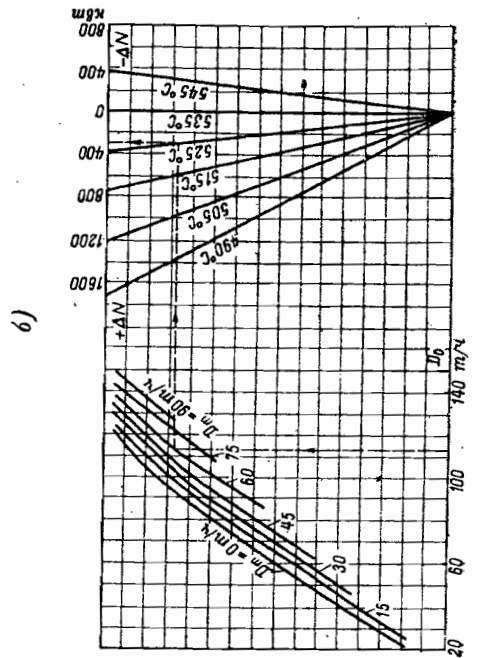
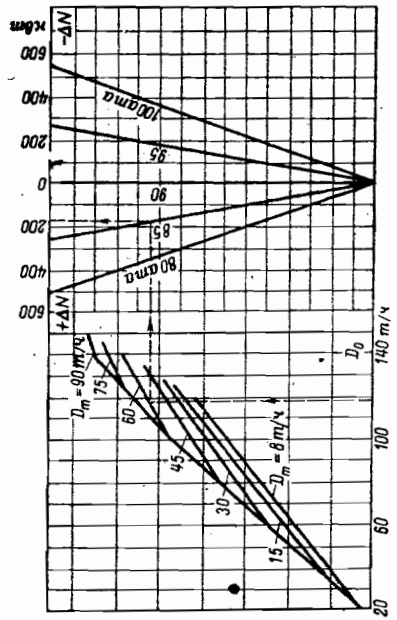


Рис. 1-29. Поправочные кривые к диаграмме регуляторов турбины типа Т-25-90 (ВТ-25-5).

a — диаграмма перегрузки; *b* — поправка на давление свежего пара; *c* — поправка на температуру свежего пара.

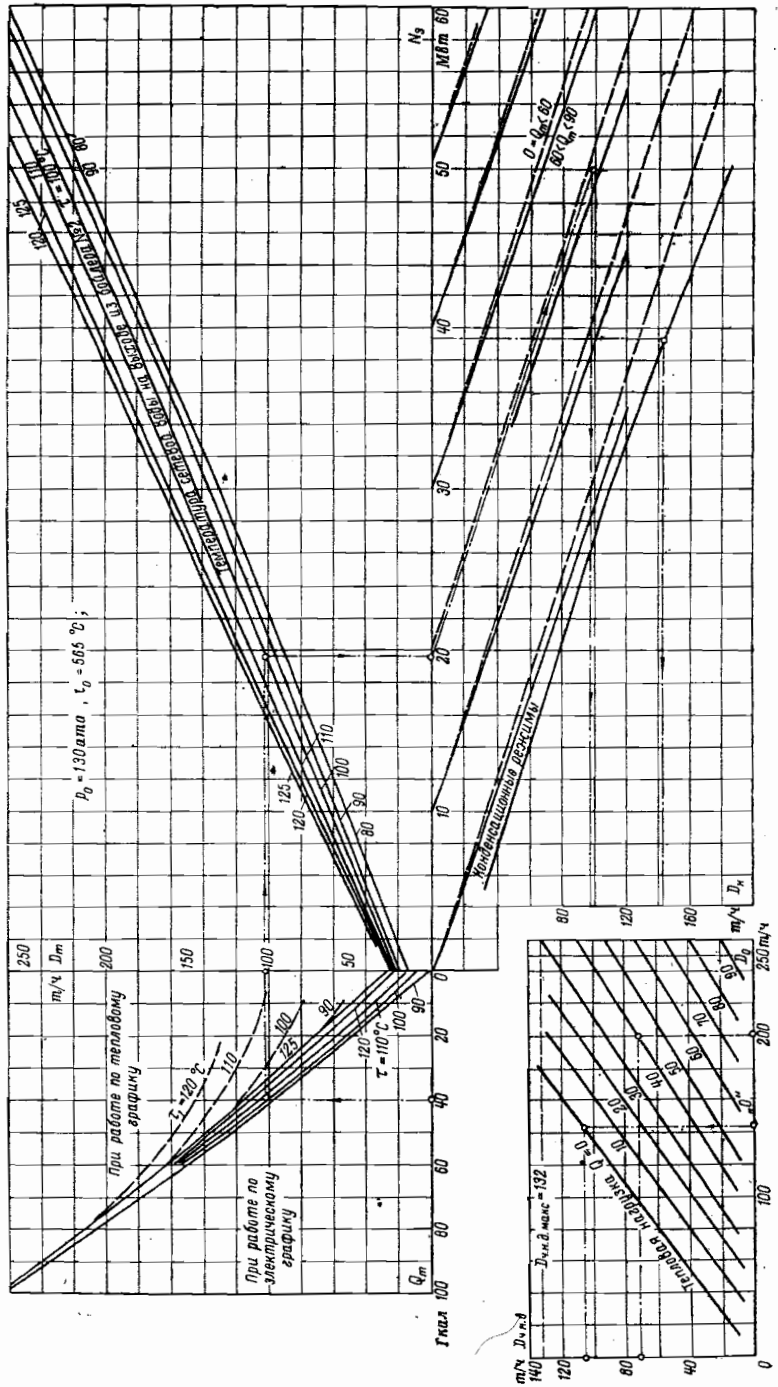


Рис. 1-30. Диаграмма режимов турбины типа Т-50-130 (ВТ-5-0-1).

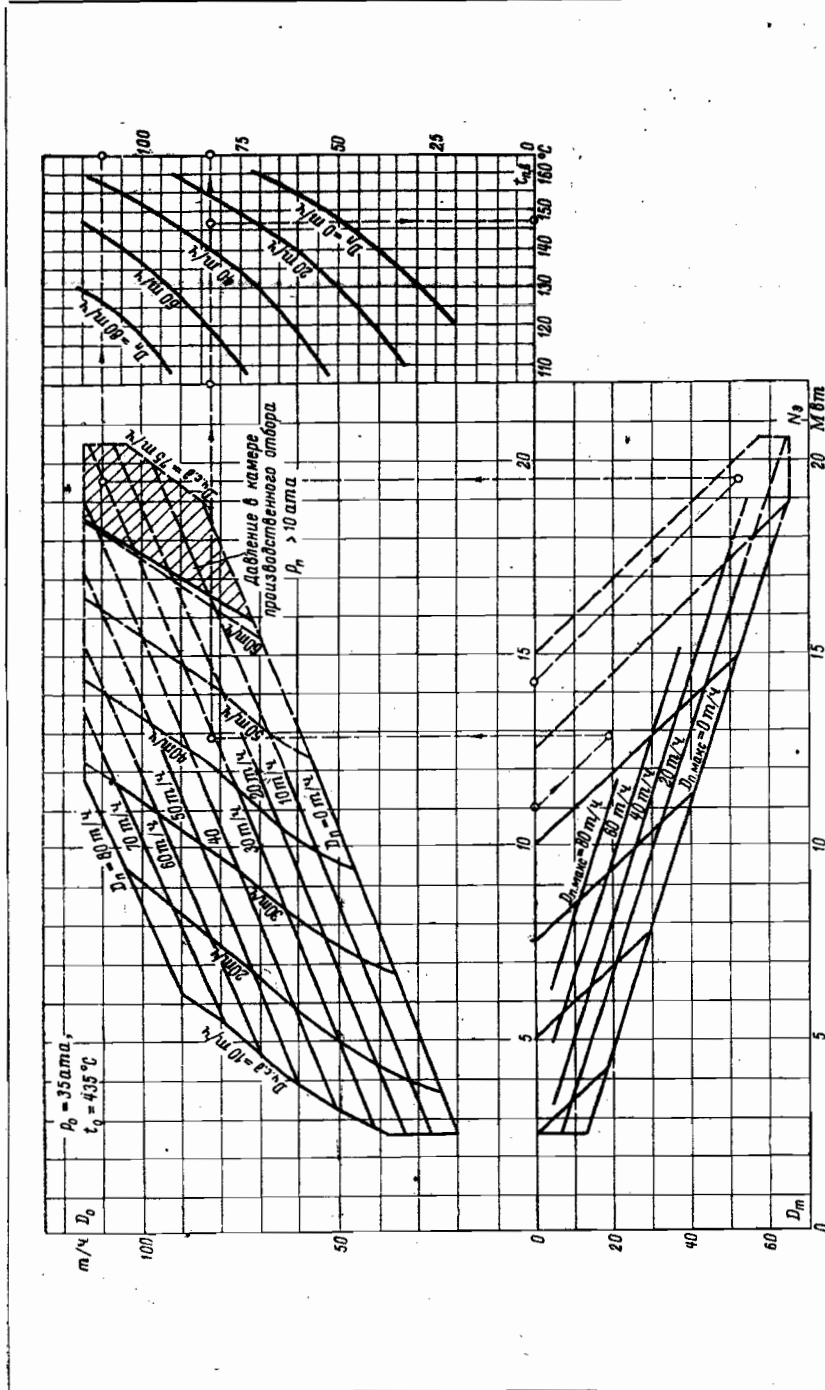


Рис. 1-31. Диаграмма режимов турбины типа ПТ-12-35/10 (АПТ-12-1).

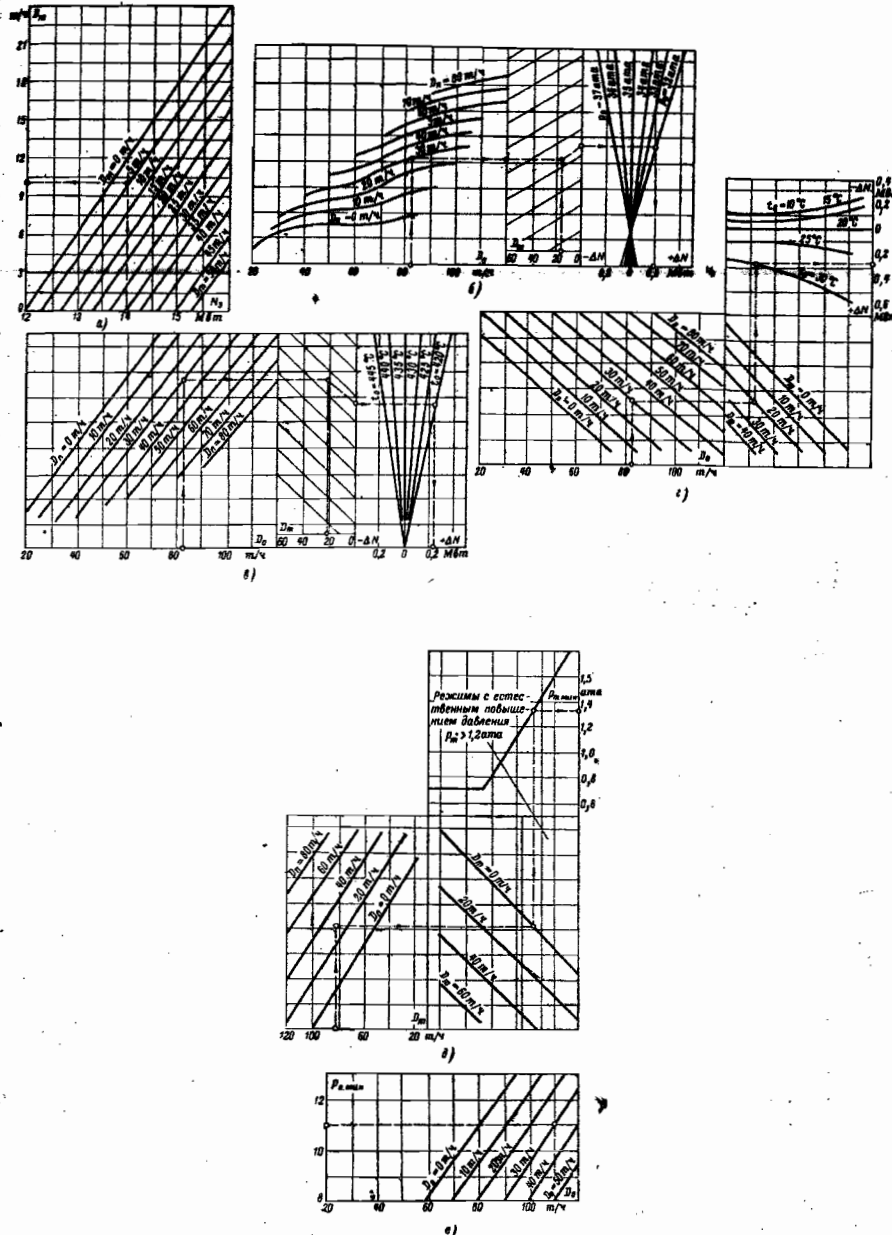
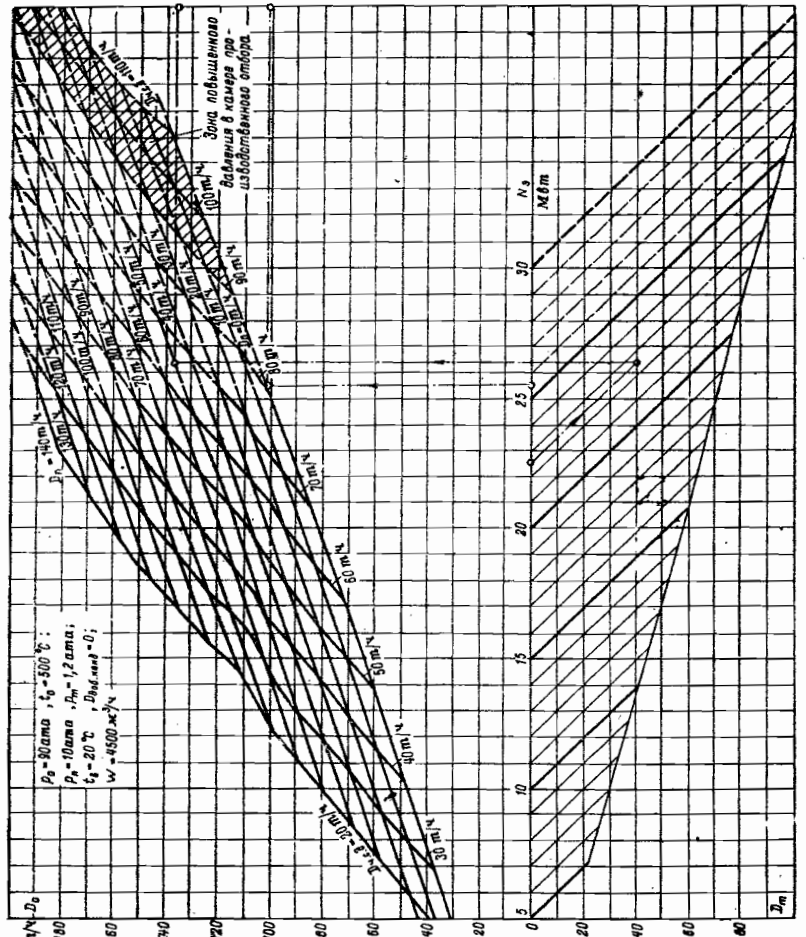
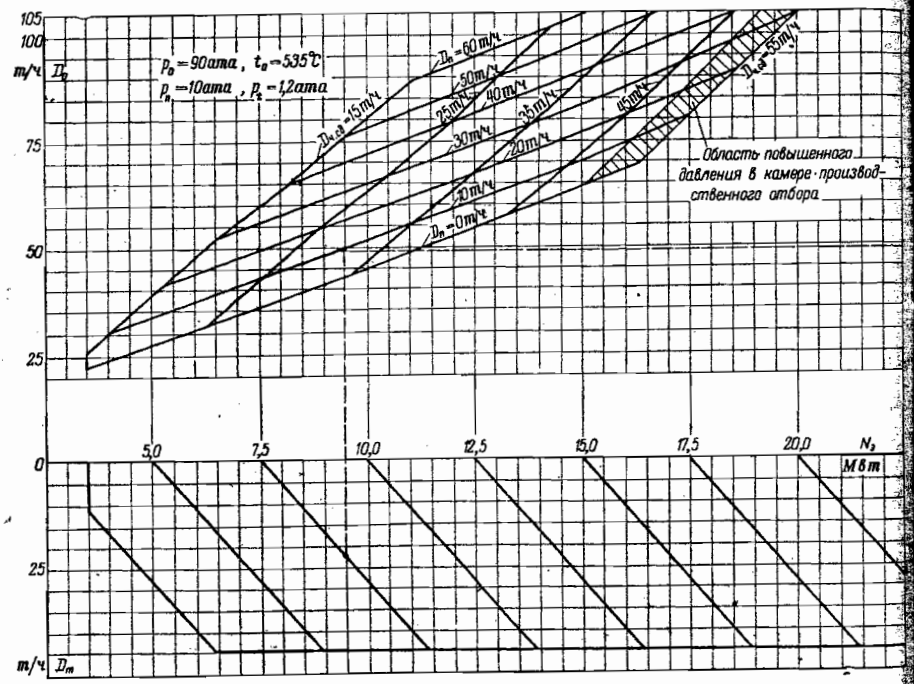
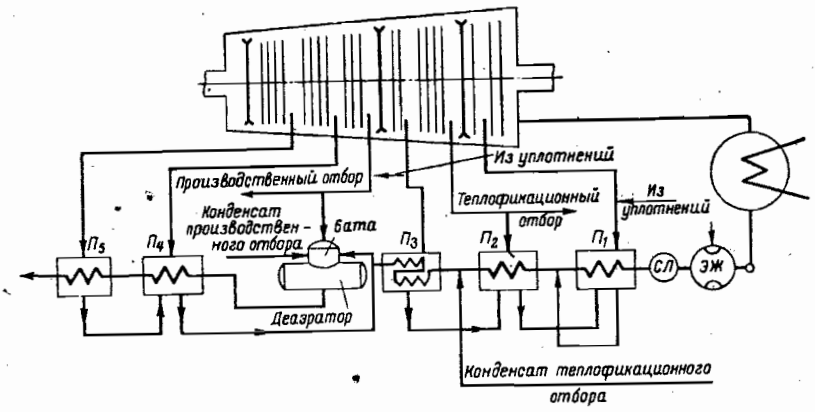


Рис. 1-32. Поправочные кривые к диаграмме режимов турбины типа ПТ-12-35/10 (АПТ-12-1).
 а—диаграмма перегрузки; б—поправка на давление свежего пара; в—поправка на температуру свежего пара; г—минимально возможное давление теллофикационного отбора; д—минимально возможное давление в производственном отборе.



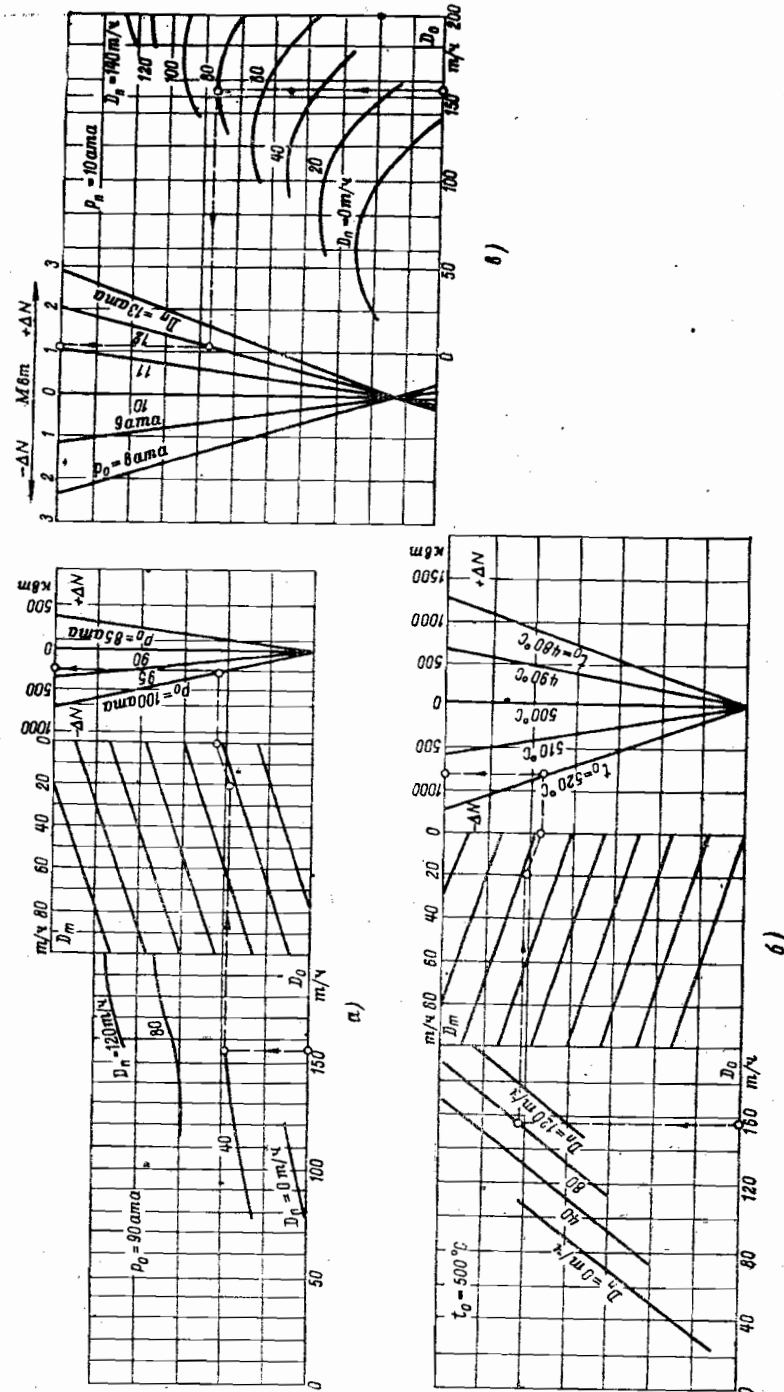


Рис. 1-35.

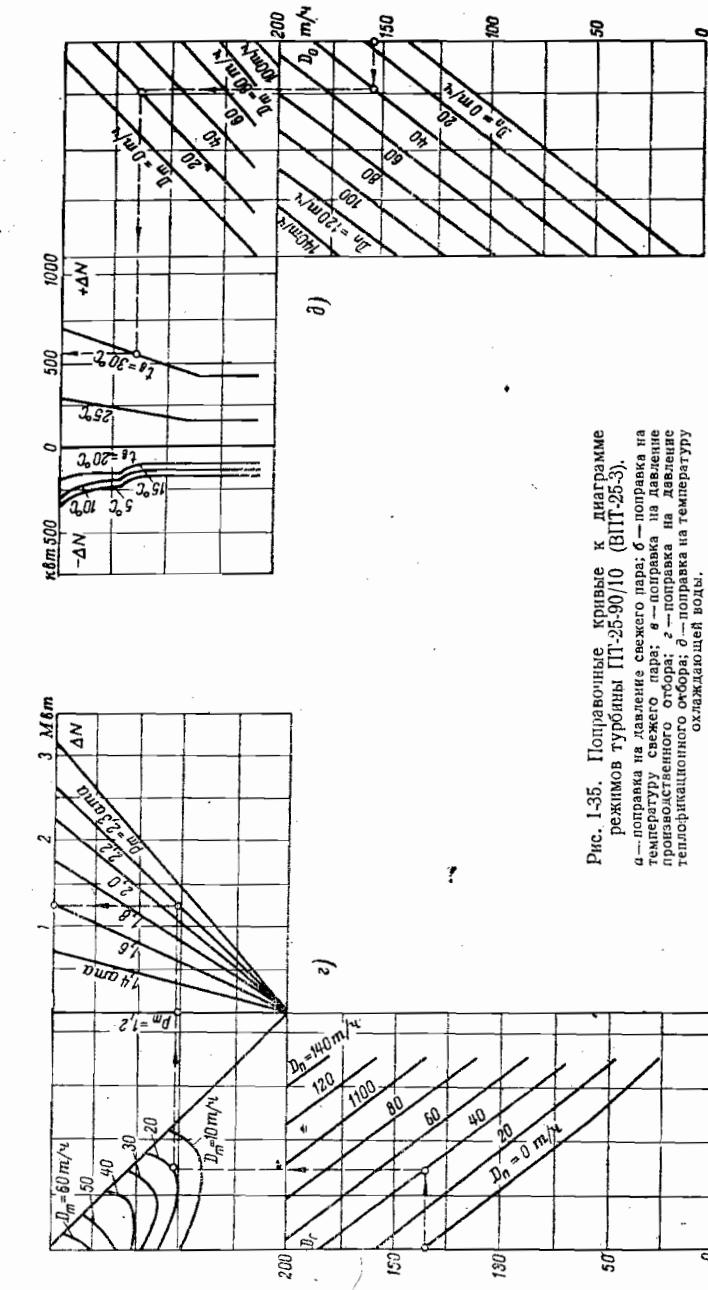


Рис. 1-35. Полярные характеристики турбин ПГ-25-90/10 (ВПТ-2Б-3).
а — поправка на давление сухого пара; б — поправка на температуру сухого пара; в — поправка на давление приводящего отбора; г — поправка на давление турбинного отбора; д — поправка на температуру охлаждаемой воды.

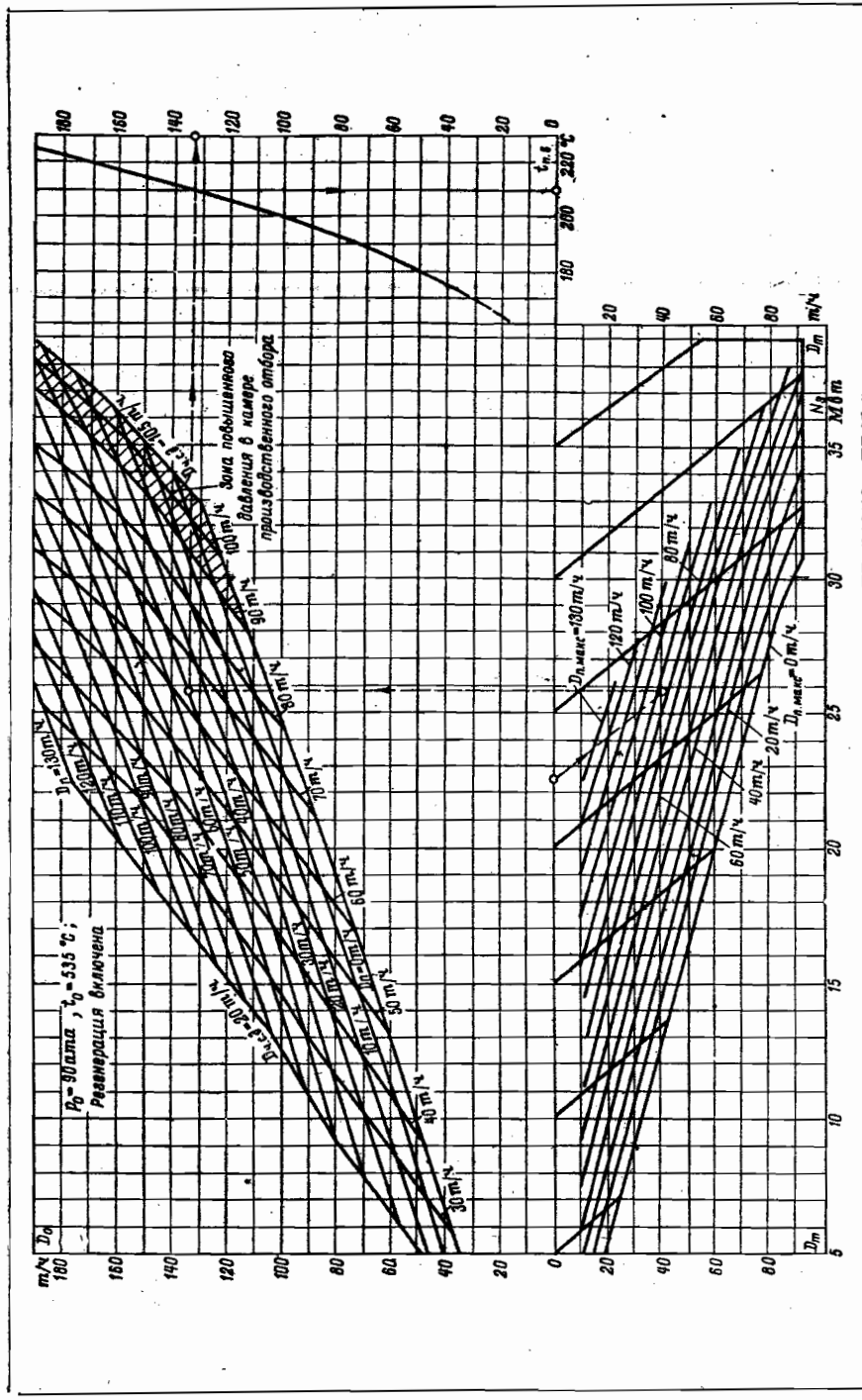


Рис. 1-36. Диаграмма расходов турбины типа ПТ-25-90/10 (ВПТ-25-4).

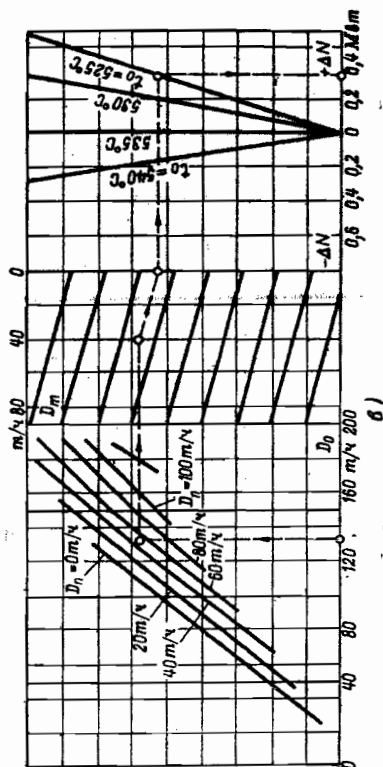
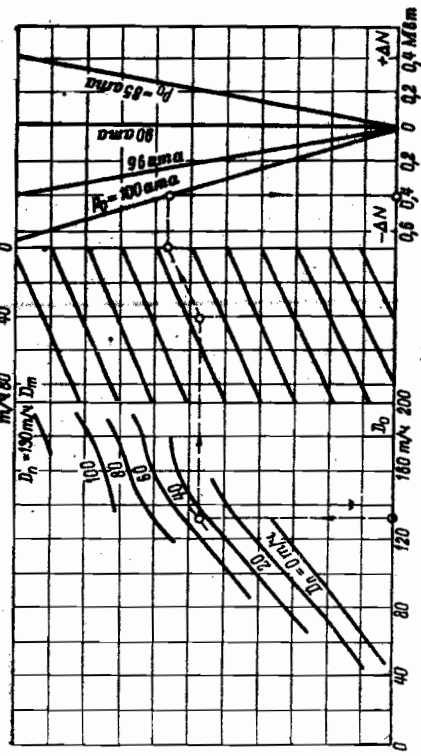
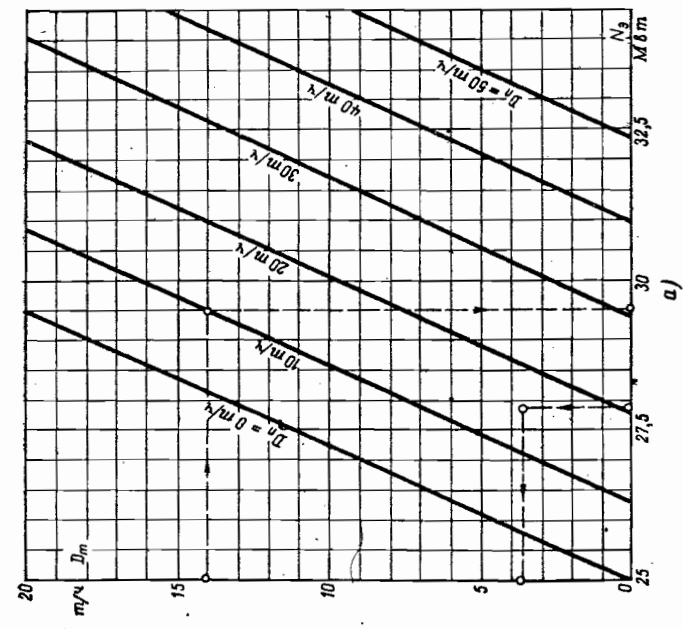


Рис. 1-37.



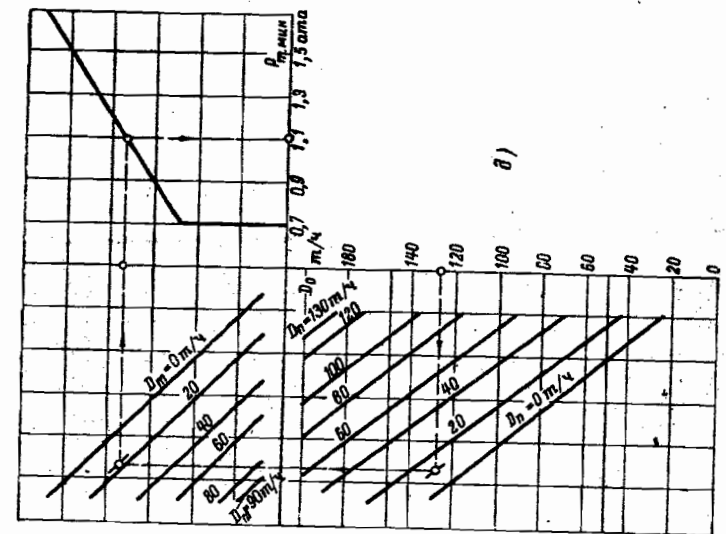
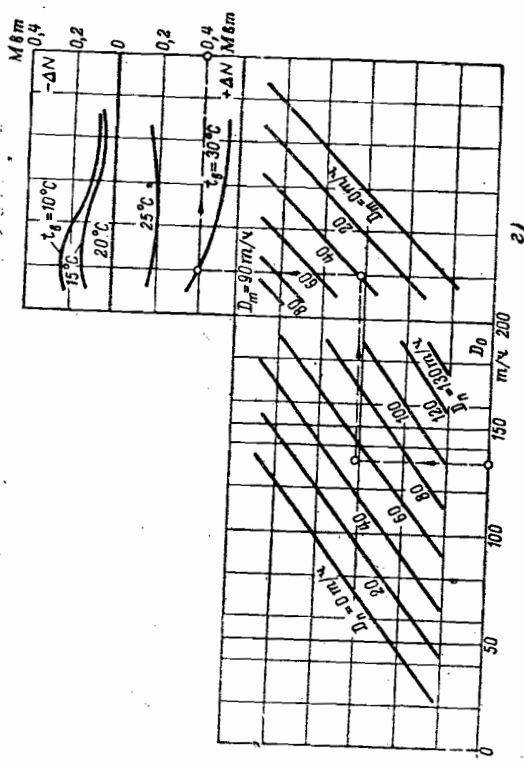


Рис. 1-37. Поправочные кривые к диаграмме режимов турбины ИТТ-25/90/10 (ВИТ-25-4).
 а — диаграмма перегрузки; б — поправка на давление сжатого пара; в — поправка на температуру сжатого пара;
 г — поправка на температуру охлаждающей воды; д — минимально возможное давление телескопического отбора;
 е — минимально возможное давление производственного отбора.

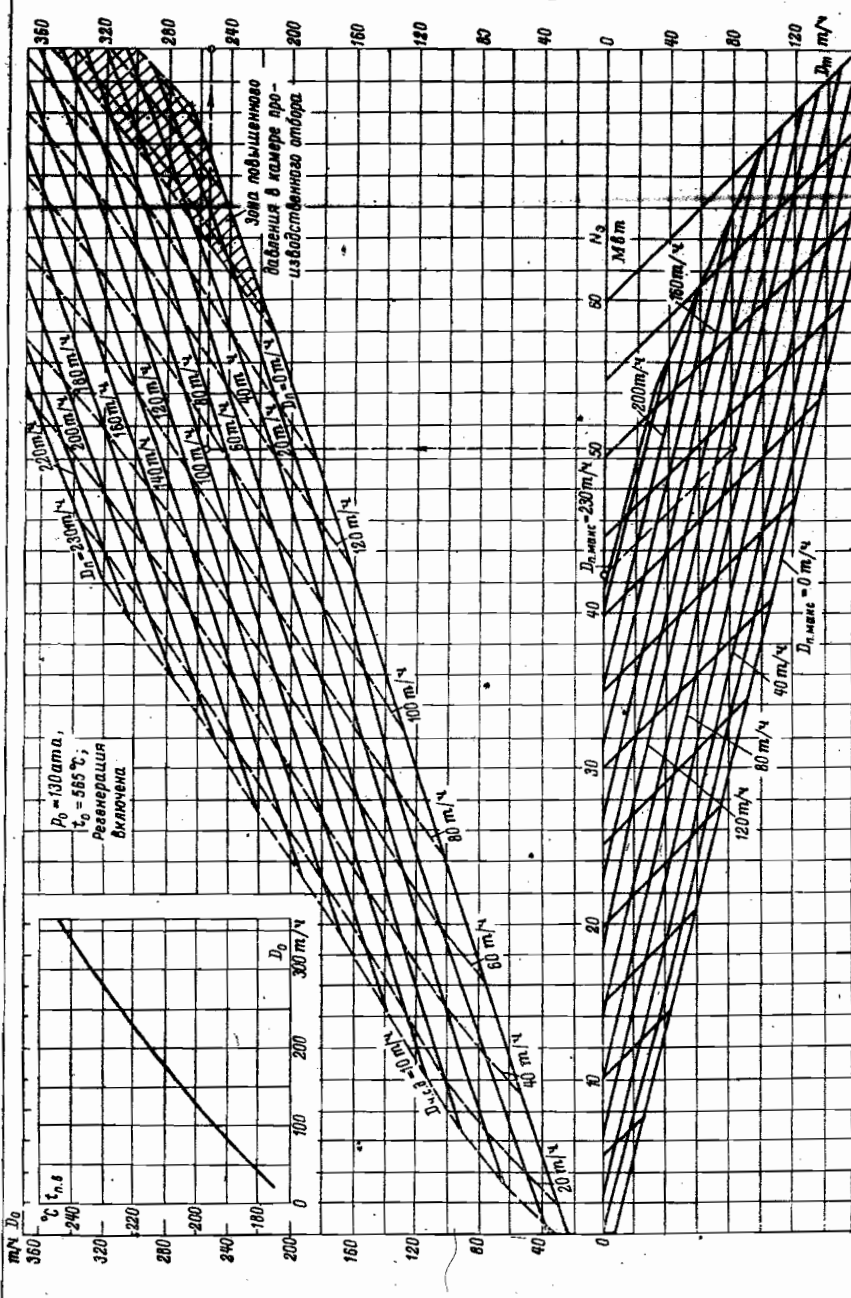
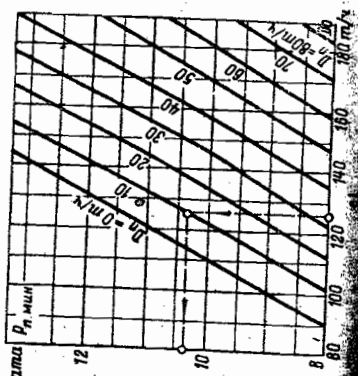


Рис. 1-38. Диаграмма режимов турбины типа ИТТ-50/90/13 (ВИТ-50-2).

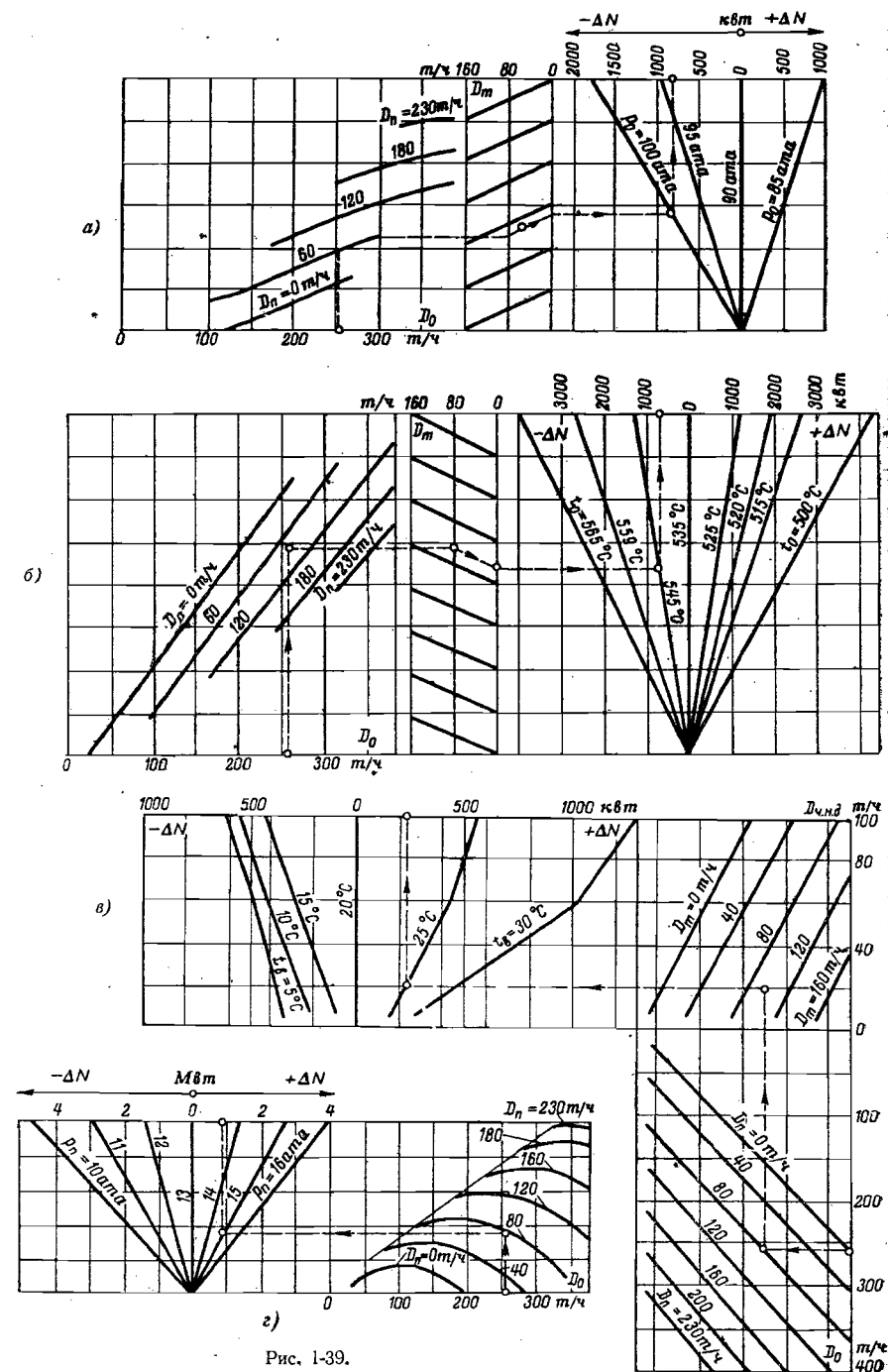


Рис. 1-39.

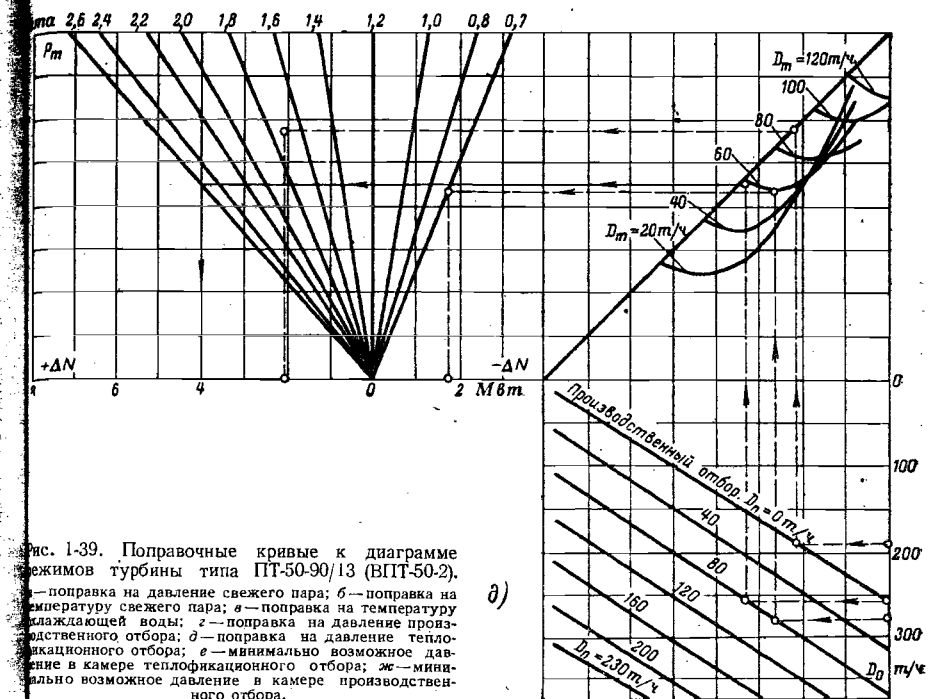


Рис. 1-39. Поправочные кривые к диаграмме режимов турбины типа ПТ-50-90/13 (БПТ-50-2).
а—поправка на давление свежего пара; б—поправка на температуру смешающей воды; в—поправка на температуру производственного отбора; г—поправка на давление теплоизделийного отбора; д—минимально возможное давление в камере теплоизделийного отбора; ж—минимально возможное давление в камере производственного отбора.

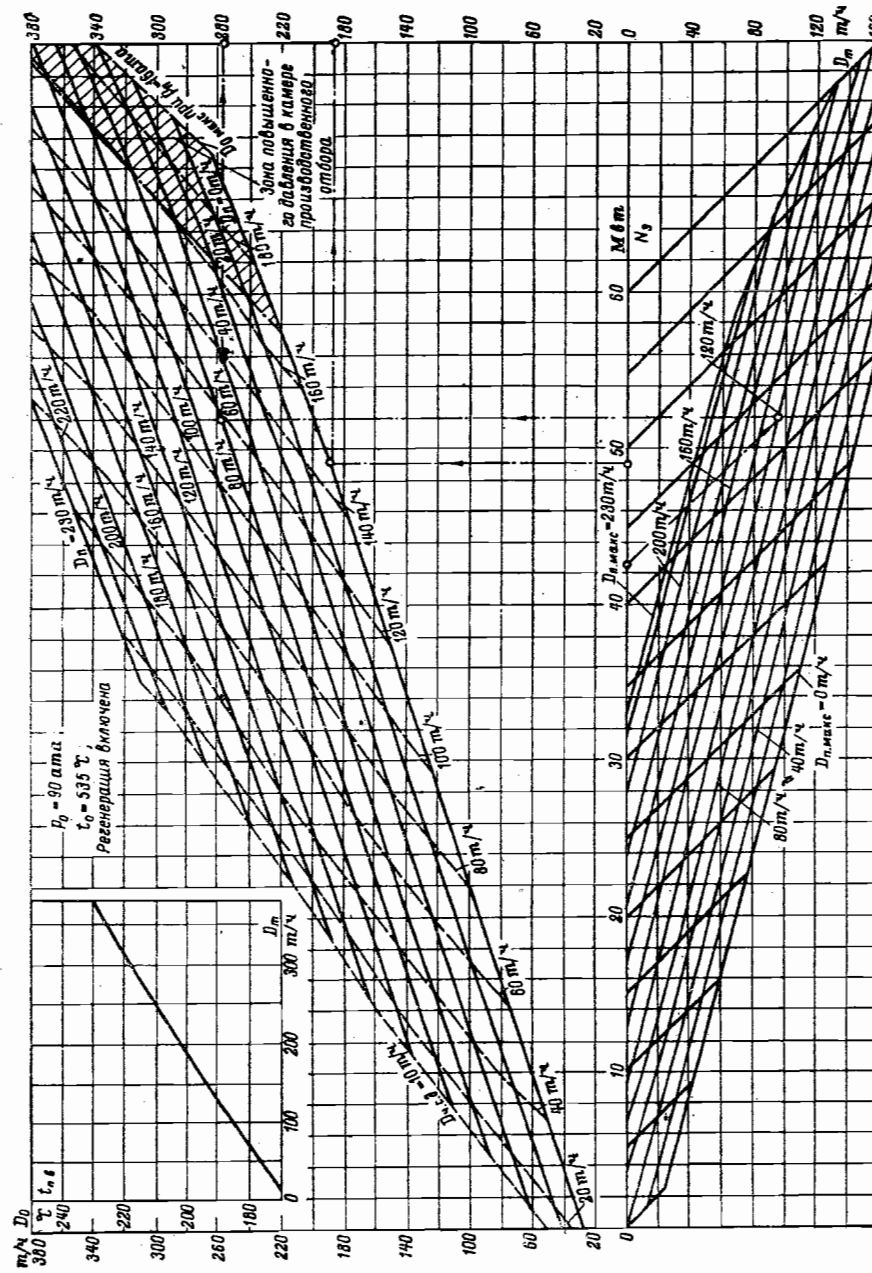


Рис. 1-40. Площадь регенерации изоляции при $P_0 = 10 \text{ атм.}$

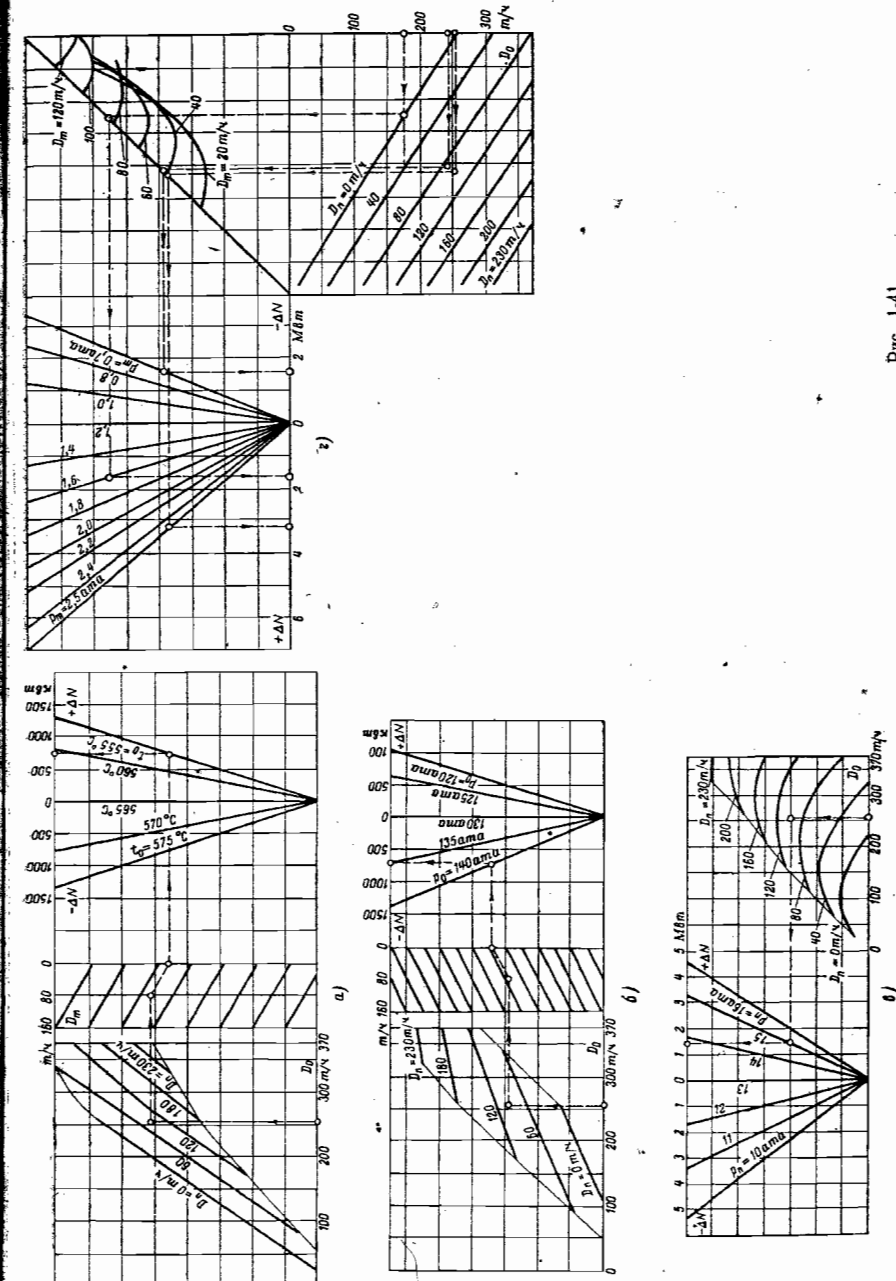


Рис. 1-41.

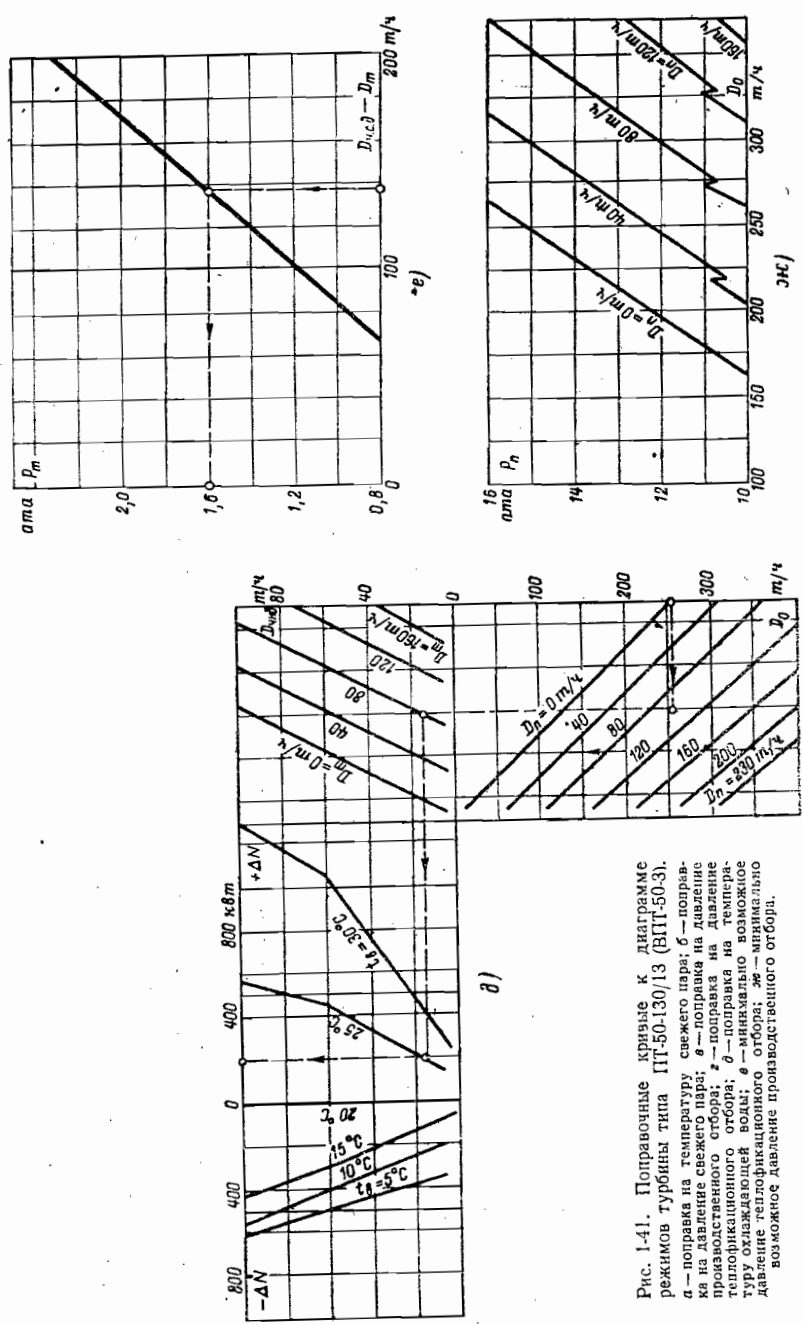


Рис. 1.41. Поправочные кривые к диаграмме режимов турбины типа ГТ-50-130/13 (ВПТ-50.3).
а — поправка на температуру сажевого пара; б — поправка на давление сажевого пара; в — поправка на давление производственного отбора; г — поправка на температуру охлаждающей воды; д — поправка на минимальное давление тепловыжигового отбора; № — минимально возможное давление производственного отбора.

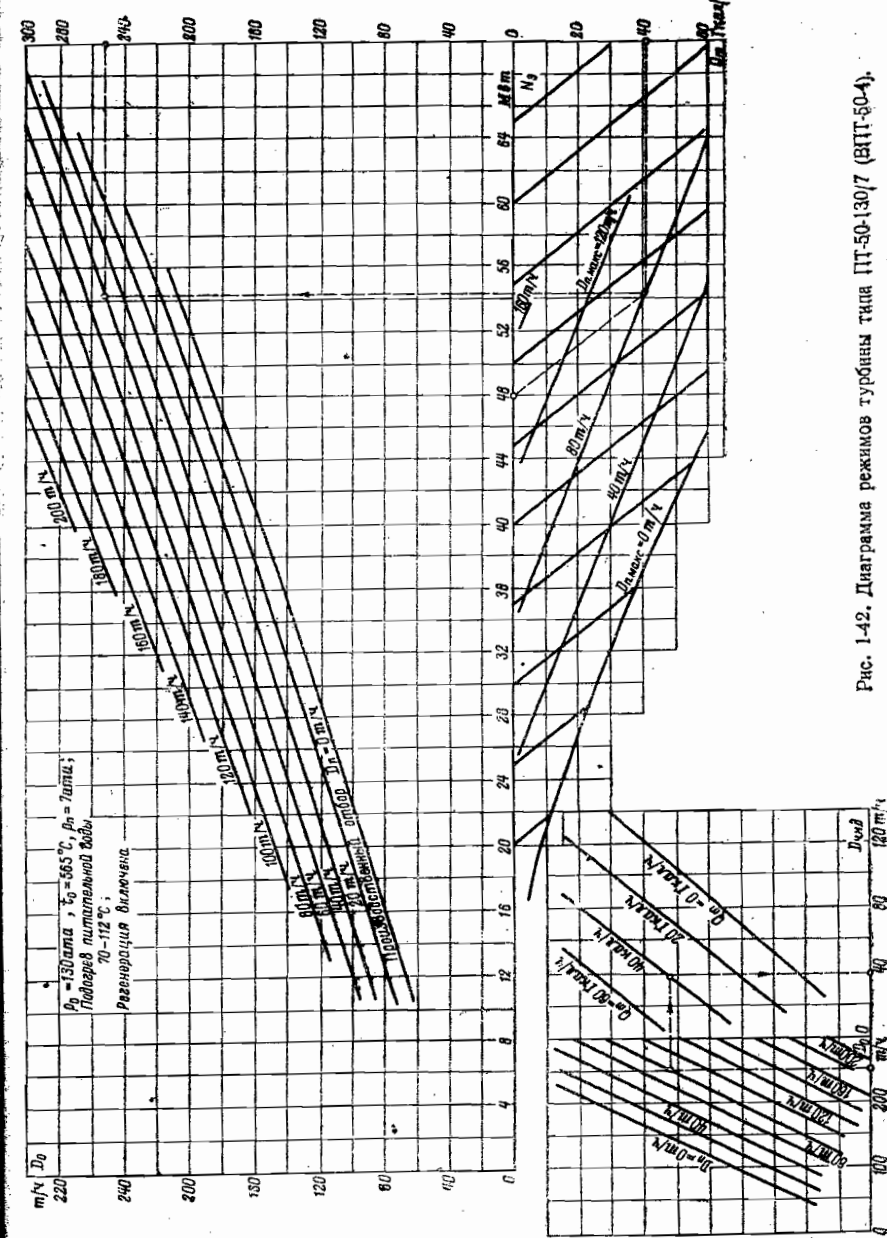


Рис. 1.42. Диаграмма режимов турбин типа ГТ-50-130/7 (ВПТ-50.4).

ГЛАВА ВТОРАЯ

КОНДЕНСАЦИОННЫЕ УСТРОЙСТВА

2-1. ОБЩИЕ СВЕДЕНИЯ о конденсационных устройствах

Конденсационные устройства предназначены для конденсации пара, отработавшего в паровых турбинах. В паротурбинных установках, как правило, применяются конденсаторы поверхностного типа. Охлаждающая (циркуляционная) вода проходит через пучки трубок, расположенных в паровом пространстве конденсатора. Отработавший пар турбины, соприкасаясь с холодной поверхностью трубок, конденсируется, отдавая скрытую теплоту парообразования охлаждающей воде.

В процессе конденсации удельный объем (т. е. объем, приходящийся на единицу веса) отработавшего пара уменьшается в десятки тысяч раз, что и приводит к образованию вакуума в конденсаторе.

Для поддержания вакуума в конденсаторе применяются специальные отсасывающие устройства, как, например, пароструйные и водоструйные эжекторы, центробежные воздушные насосы, которые удаляют из конденсатора воздух, попадающий в него с паром и через неплотности паротурбинной установки, работающей под вакуумом.

Схема установки поверхностного конденсатора представлена на рис. 2-1.

Абсолютное давление пара в конденсаторе

$$P_{2k} = B_0 - H_0 \quad [\text{мм рт. ст.}], \quad (2-1)$$

где B_0 — приведенное к $t = 0^\circ\text{C}$ барометрическое давление B , замеренное по ртутному барометру, мм рт. ст. ;

H_0 — приведенное к $t = 0^\circ\text{C}$ разжение в конденсаторе H , замеренное по вакуумметру, мм рт. ст.

Приведение показаний барометра B или вакуумметра H к $t = 0^\circ\text{C}$ выполняется по уравнению

$$R_0 = R - (\alpha - \beta) R \cdot t \quad [\text{мм рт. ст.}], \quad (2-2)$$

где $R_0 = B_0$ или H_0 ;
 $R = B$ или H ;

α — коэффициент расширения ртути, равный 0,000182;

β — коэффициент линейного расширения шкалы барометра или вакуумметра, равный для ртути 0,000019 и для стекла 0,000011;

t — температура ртути и шкалы, принимаемая равной температуре воздуха в месте установки прибора, $^\circ\text{C}$.

При определении истинного значения давления в конденсаторе к показаниям барометра или вакуумметра прибавляются поправки на капиллярность и на высоту установки вакуумметра.

Величины поправок на капиллярность (табл. 2-1) прибавляются к показаниям барометра или вакуумметра. Для ограничения поправок на капиллярность рекомендуется применять ртутные приборы с внутренним диаметром трубок не менее 8—10 мм.

Если барометр и вакуумметр установлены на разных высотах, показа-

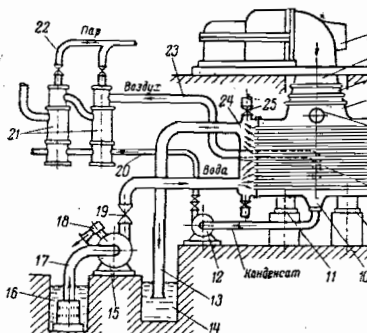


Рис. 2-1. Схема поверхностного конденсатора.
1 — выхлопной патрубок турбины; 2 — волнистый компенсатор; 3 — приемный патрубок конденсатора для пара; 4 — труба для отвода пара к атмосферному клапану; 5 — трубы; 6 — водяная камера (задняя); 7 — труба для отсоса воздуха; 8 — спускные краны для воды 9 и 11; 9 — опоры; 10 — сборник конденсата; 12 — конденсатный насос; 13 — сливная труба охлаждающей воды; 14 — отводящий канал; 15 — циркуляционный насос; 16 — подводящий канал охлаждающей воды; 17 — всасывающая труба охлаждающей воды; 18 — патрубок вспомогательного пароструйного эжектора (для подсоса воды перед пуском насоса); 19 — задвижка на напорной линии охлаждающей воды; 20 — напорная линия конденсата; 21 — пароструйный двухступенчатый эжектор; 22 — подвод пара к эжектору; 23 — подвод отсасываемого воздуха (паровоздушной смеси) к эжектору; 24 — водяная камера (передняя); 25 — кран для выпуска воздуха из водяного пространства конденсатора; 26 — труба.

Таблица 2-1
Поправка на капиллярность к показаниям ртутных приборов, мм рт. ст.

| внутренний диаметр трубы, мм | Высота мениска, мм | | | | | |
|---------------------------------------|-----------------------------|------|------|------|------|------|
| | 0,2 | 0,4 | 0,6 | 0,8 | 1,0 | 1,2 |
| 6 | 0,24 | 0,48 | 0,70 | 0,90 | 1,07 | 1,21 |
| 7 | 0,17 | 0,34 | 0,49 | 0,64 | 0,76 | 0,87 |
| 8 | 0,12 | 0,24 | 0,35 | 0,46 | 0,56 | 0,64 |
| 9 | 0,09 | 0,18 | 0,26 | 0,34 | 0,41 | 0,47 |
| 10 | 0,07 | 0,13 | 0,19 | 0,25 | 0,30 | 0,35 |
| 11 | 0,05 | 0,10 | 0,14 | 0,19 | 0,23 | 0,27 |
| 12 | 0,04 | 0,07 | 0,11 | 0,14 | 0,18 | 0,20 |
| 13 | 0,03 | 0,06 | 0,09 | 0,11 | 0,14 | 0,16 |
| 14 | 0,02 | 0,04 | 0,06 | 0,08 | 0,10 | 0,12 |

Таблица 2-2
Основные параметры сухого насыщенного пара на кривой насыщения*

| $p, \text{ ата}$ | $t_{\text{н}}, {}^\circ\text{C}$ | $v^*, \text{ м}^3/\text{кг}$ | $i^*, \text{ ккал}/\text{кг}$ | $r, \text{ ккал}/\text{кг}$ | $p, \text{ ата}$ | $t_{\text{н}}, {}^\circ\text{C}$ | $v^*, \text{ м}^3/\text{кг}$ | $i^*, \text{ ккал}/\text{кг}$ | $r, \text{ ккал}/\text{кг}$ |
|------------------|----------------------------------|------------------------------|-------------------------------|-----------------------------|------------------|----------------------------------|------------------------------|-------------------------------|-----------------------------|
| 0,020 | 17,204 | 68,26 | 604,9 | 587,6 | 0,075 | 39,95 | 19,60 | 614,7 | 574,7 |
| 0,025 | 20,776 | 55,28 | 606,4 | 585,6 | 0,080 | 41,16 | 18,45 | 615,2 | 574,0 |
| 0,030 | 23,772 | 46,52 | 607,8 | 584,0 | 0,085 | 42,32 | 17,43 | 615,7 | 573,4 |
| 0,035 | 26,359 | 40,22 | 608,9 | 582,5 | 0,090 | 43,41 | 16,51 | 616,2 | 572,7 |
| 0,040 | 28,641 | 35,46 | 609,8 | 581,1 | 0,095 | 44,46 | 15,69 | 616,6 | 572,2 |
| 0,045 | 30,69 | 31,72 | 610,7 | 580,0 | 0,10 | 45,45 | 14,95 | 617,0 | 571,6 |
| 0,050 | 32,55 | 28,73 | 611,5 | 578,9 | 0,11 | 47,33 | 13,66 | 617,8 | 570,5 |
| 0,055 | 34,25 | 26,25 | 612,3 | 578,0 | 0,12 | 49,06 | 12,59 | 618,6 | 569,5 |
| 0,060 | 35,82 | 24,18 | 613,0 | 577,2 | 0,13 | 50,67 | 11,67 | 619,3 | 568,6 |
| 0,065 | 37,29 | 22,43 | 613,6 | 576,3 | 0,14 | 52,18 | 10,88 | 619,9 | 567,7 |
| 0,070 | 38,66 | 20,92 | 614,1 | 575,4 | | | | | |

* Выписано из таблиц ВТИ [Л. 3].

ния барометра приводятся к уровню установки вакуумметра. Приведенное значение барометрического давления $B_0^{\text{пр}}$ с учетом поправки на высоту установки вакуумметра подсчитывается по уравнению

$$\lg B_0^{\text{пр}} = \lg B_0 + \frac{A_0 - A}{18400 + 70t_{\text{cp}}^{\text{в}}}, \quad (2-3)$$

где A_0 — уровень расположения барометра, м ;

A — уровень расположения вакуумметра, м ;

$t_{\text{cp}}^{\text{в}}$ — средняя температура воздушного столба между уровнями A_0 и A .

Абсолютное давление в конденсаторе (в технических атмосферах)

$$P_{2k} = \frac{B_0 - H_0}{735,6} = \frac{B_0}{735,6} \left(1 - \frac{v}{100}\right) [\text{ата}], \quad (2-4)$$

где D_k — количество пара, поступающего в конденсатор, кг/сек или т/ч ;

W_k — расход охлаждающей воды через конденсатор, кг/сек или т/ч ;

$$D_k (i_s - \bar{i}_k) = W_k \Delta t, \quad (2-5)$$

где D_k — количество пара, поступающего в конденсатор, кг/сек или т/ч ;

W_k — расход охлаждающей воды через конденсатор, кг/сек или т/ч ;

i_2 — теплосодержание отработавшего пара, ккал/кг;

t_k — теплосодержание конденсата, ккал/кг (численно равное его температуре t_k), °C;

Δt — нагрев охлаждающей воды в конденсаторе, °C, вычисляемый по формуле

$$\Delta t = t_2^b - t_1^b;$$

t_1^b и t_2^b — температуры охлаждающей воды при входе и выходе из конденсатора (численно равные теплосодержаниям воды, ккал/кг), °C.

Величины D_k и i_2 берутся из теплового расчета турбины. Значение t_k принимается:

для регенеративных конденсаторов

$$t_k = t_n - (0 \div 1^\circ\text{C}),$$

где t_n — температура пара, поступающего в конденсатор, равная температуре насыщения t_n (табл. 2-2), °C;

для нерегенеративных конденсаторов

$$t_k = t_n - (3 \div 5^\circ\text{C}).$$

Принимаются также значения Δt : для одноходовых конденсаторов

$$\Delta t = 4 \div 6^\circ\text{C};$$

для двухходовых конденсаторов

$$\Delta t = 7 \div 9^\circ\text{C};$$

для трех- и четырехходовых конденсаторов

$$\Delta t = 10 \div 12^\circ\text{C}.$$

Расчетные значения температуры воды при входе в конденсатор t_1^b , согласно ГОСТ 3618-58, принимаются равными 10, 15, 20 и 25°C (в зависимости от географического местонахождения водного источника и выбранной системы водоснабжения).

Кратность охлаждения

$$m = \frac{W}{D_k} [\text{кг}/\text{кг} \text{ или } \text{т}/\text{м}]. \quad (2-6)$$

Значения m принимаются:

для одноходовых конденсаторов

$$m = 80 \div 120,$$

для двухходовых конденсаторов

$$m = 60 \div 70,$$

для трех- и четырехходовых конденсаторов

$$m = 40 \div 50.$$

При расчетах значения давлений отработавшего пара p_{2k} принимают в зависимости от температуры охлаждающей воды t_1^b :

для $t_1^b = 10^\circ\text{C}$

$$p_{2k} = 0,03 \div 0,035 \text{ ата},$$

для $t_1^b = 15^\circ\text{C}$

$$p_{2k} = 0,04 \div 0,05 \text{ ата},$$

для $t_1^b = 20 \div 25^\circ\text{C}$,

$$p_{2k} = 0,06 \div 0,07 \text{ ата}.$$

Поверхность охлаждения конденсатора

$$F_k = \frac{D_k (i_2 - t_k)}{k \Delta t_{cp}} [m^2], \quad (2-7)$$

где k — коэффициент теплопередачи конденсатора, ккал/ $\text{м}^2 \cdot \text{ч} \cdot ^\circ\text{C}$;

Δt_{cp} — средняя разность температуры между паром и водой, °C.

Коэффициент теплопередачи определяется по формуле проф. Л. Д. Бермана, составленной применительно к современным конструкциям конденсаторов:

$$k = 3500 a \left(\frac{1,1 w_b}{V d_1} \right)^x \left[1 - \frac{0,42 \sqrt{a}}{1000} \times \right. \\ \left. \times (35 - t_1^b)^2 \right] \Phi_d \Phi_z [\text{ккал}/\text{м}^2 \cdot \text{ч} \cdot ^\circ\text{C}], \quad (2-8)$$

где $x = 0,12 a (1 + 0,15 t_1^b)$;

a — коэффициент, учитывающий состояние поверхности охлаждения конденсатора (коэффициент чистоты конденсатора);

w_b — скорость охлаждающей воды в трубках, м/сек;

d_1 — внутренний диаметр трубы, мм;

Φ_d — коэффициент, учитывающий влияние паровой нагрузки конденсатора;

Φ_z — коэффициент, учитывающий влияние числа ходов воды в конденсаторе.

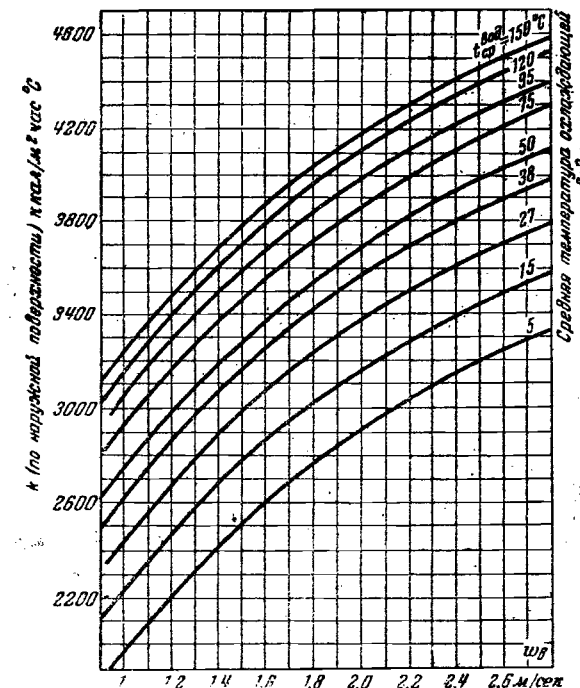


Рис. 2-2. Опытные кривые коэффициента теплопередачи в конденсаторах паровых турбин для латунных трубок 19 мм.

$$d_k = \frac{D_k}{F_k} \text{ — удельная паровая нагрузка конденсатора, кг}/\text{м}^2 \cdot \text{ч}; \text{ нормальное значение:}$$

$$d_k = 40 \div 45 \text{ кг}/\text{м}^2 \cdot \text{ч}.$$

При $d_2 = 25$ мм значение k принимается на 3% ниже величины, определяемой по графику рис. 2-2. Значения k , определяемые по этому графику, нужно рассматривать как максимально достижимые для чистой поверхности конденсатора.

На рис. 2-3 представлен график для определения коэффициента теплопередачи k в зависимости от w_b , d_k и t_1^b . Значения k_0 по графику построены при $t_1^b = 21^\circ\text{C}$ и $d_k = 40 \text{ кг}/\text{м}^2 \cdot \text{ч}$. Для определения коэффициента теплопередачи k нанесены поправочные кривые, учитывающие влияние t_1^b (кривая β_t) и d_k (кривая β_d). Коэффициент теплопередачи по графику рис. 2-3 определяется по уравнению

$$k = \beta_t \beta_d k_0. \quad (2-9)$$

Таблица 2-3

Коэффициент заполнения трубной доски η_{tr}

| Тип конденсатора | Число ходов n_z | | |
|------------------------------|-------------------|-----------|-----------|
| | 2 | 3 | 4 |
| С раздельным потоком воды | 0,65—0,72 | 0,63—0,7 | 0,6—0,68 |
| С иерархическим потоком воды | 0,7—0,8 | 0,68—0,75 | 0,56—0,72 |

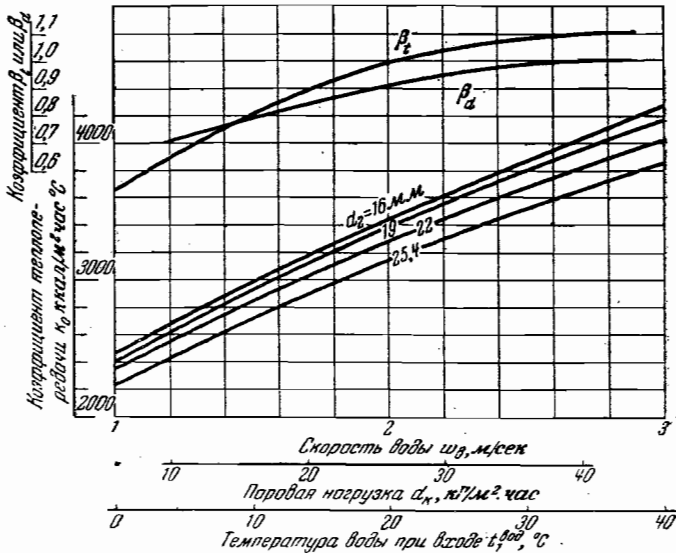


Рис. 2-3. Зависимость коэффициента теплопередачи k_0 от скорости охлаждающей воды w_b , ее температуры при входе t_1^b и паровой нагрузки d_k для латунных трубок разных диаметров d_2 по опытным данным.

Коэффициент теплопередачи с учетом поправки на загрязнение поверхности охлаждения β_3 , которая принимается 0,85, равен:

$$k = \beta_3 \beta_4 k_0. \quad (2-10)$$

Средняя разность температур между водой и паром

$$\Delta t_{cp} = \frac{\Delta t}{\ln \frac{\Delta t + \delta t}{\delta t}} [^{\circ}\text{C}], \quad (2-11)$$

где $\delta t = t_n - t_2^b$.

2-3. ОСНОВНЫЕ РАЗМЕРЫ КОНДЕНСАТОРА

Наиболее часто применяются охлаждающие трубы с диаметрами $d_2/d_1 = 19/17, 24/22$ и $25/23$ мм; большие диаметры трубок применяются для загрязненной воды.

Активная длина трубок конденсатора, равная расстоянию между трубными досками,

$$L = \frac{F_k}{\pi d_2 n_z z} [m], \quad (2-12)$$

где n_z — число трубок в одном ходе конденсатора;

z — число ходов конденсатора.

Число охлаждающих трубок в одном ходе конденсатора

$$n_z = \frac{4W_k}{\pi d_2 w_b}, \quad (2-13)$$

где W_k — расход охлаждающей воды через конденсатор, м³/сек; d_2 — внутренний диаметр охлаждающей трубы, м; w_b — скорость охлаждающей воды в трубках; принимается в пределах 1,5—2,5 м/сек.

Общее число охлаждающих трубок конденсатора (в каждом ходе размещается одинаковое число трубок)

$$n_0 = n_z z. \quad (2-14)$$

Диаметр трубной доски или эквивалентный диаметр (если доска не круглая)

$$D_{tr} = 1,05t \sqrt{\frac{n_0}{\eta_{tr}}} [m.m], \quad (2-15)$$

где t — шаг охлаждающих трубок, м.м.; η_{tr} — коэффициент заполнения трубной доски (табл. 2-3).

При креплении трубок вальцовкой $t \approx 1,3 d_2$; при сальниковом креплении

трубок диаметром 19/17 мм принимают $t = 28,5—35$ мм; для трубок диаметрами 24/22 и 25/23 мм $t = 31—37$ мм.

2-4. ПАРОВОЕ И ГИДРАВЛИЧЕСКОЕ СОПРОТИВЛЕНИЯ КОНДЕНСАТОРА

Паровое сопротивление конденсатора зависит от конструкции пучка трубок конденсатора, скорости паровоздушной смеси в межтрубном пространстве и удельной паровой нагрузки d_k .

В современных крупных конденсаторах паровое сопротивление не превышает 2—3 мм рт. ст.

Паровое сопротивление современных регенеративных конденсаторов определяется по приближенной формуле ВТИ:

$$\Delta p_k = c \left(\frac{D_k V v_h}{L d_2 V n_0} \right)^{2.5} [\text{мм рт. ст.}], \quad (2-16)$$

где c — коэффициент, зависящий от конструкции трубного пучка;

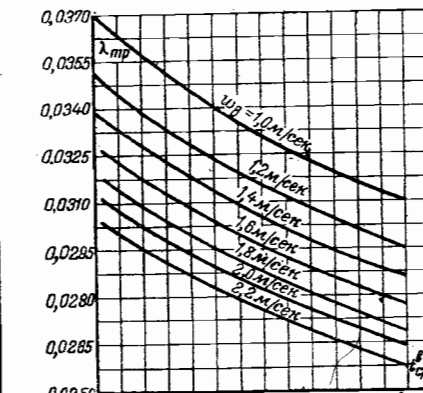


Рис. 2-4. Зависимость коэффициента внутреннего трения λ_{tr} от средней температуры воды t_{cp}^b и ее скорости w_b .

D_k — количество пара, поступающего в конденсатор, кг/ч;

v_h — удельный объем сухого насыщенного пара при давлении в конденсаторе (табл. 2-2), м³/кг.

Коэффициент c принимается в пределах от $1,2 \cdot 10^{-4}$ до $1,8 \cdot 10^{-4}$ (меньшее значение принимается для хорошо развитого входного сечения трубного пучка и небольшого числа рядов трубок по ходу пара).

Давление отсасываемой паровоздушной смеси:

$$p'_{2k} = p_{2k} - \frac{\Delta p_k}{735,6} [atma]. \quad (2-17)$$

Гидравлическое сопротивление H_k конденсатора (потеря напора воды в конденсаторе)

$$H_k = z(h_1 + h_2) + h_3, [м вод. ст.], \quad (2-18)$$

где h_1 — сопротивление протоку охлаждающей воды в конденсаторных трубках, м вод. ст.;

h_2 — сопротивление, возникающее при входе охлаждающей воды в трубы и выходе из них, м вод. ст.;

h_3 — сопротивление течению охлаждающей воды в водяных камерах конденсатора, включая потери при входе и выходе из этих камер, м вод. ст.;

z — число ходов воды в конденсаторе.

Сопротивление h_1 определяется по формуле

$$h_1 = \lambda_{tr} \frac{L}{d_1} \cdot \frac{w_b^2}{2g} [м вод. ст.], \quad (2-19)$$

где λ_{tr} — коэффициент трения (безразмерная величина); зависит от шероховатости трубок и характера движения в них воды; принимается по графику рис. 2-4.

Таблица 24

Конденсаторы турбин среднего давления (технические данные)

| Тип конденсатора | КП-110 | КП-195 | КП-280 | КП-385 | КП-480 | КП-540 | КС-940-1 |
|---|-----------|-----------|-------------|-------------|-------------|-------------|-------------|
| Поверхность охлаждения, м ² | 110 | 192,5 | 280 | 385 | 490 | 540 | 940 |
| Давление в паровом пространстве, атм | 0,05 | 0,05 | 0,05 | 0,04 | 0,04 | 0,05 | 0,04 |
| Расход охлаждающей воды, м ³ /ч | 300 | 550 | 770 | 1 400 | 2 000 | 1 850 | 2 800 |
| Гидравлическое сопротивление при указанном расходе охлаждающей воды, м вод. ст. | 3,8 | 3,8 | 6,5 | 3,8 | 3,8 | 4 | 2,4 |
| Число ходов воды | 4 | 4 | 4 | 2 | 2 | 2 | 2 |
| Число трубок | 1 140 | 1 846 | 1 736 | 1 800 | 2 050 | 2 266 | 2 720 |
| Длина трубок, мм | 1 950 | 2 150 | 2 805 | 3 655 | 3 975 | 4 085 | 4 685 |
| Диаметр трубок d_2/d_1 , мм | 16/14 | 16/14 | 19/17 | 19/17 | 19/17 | 19/17 | 24/22 |
| Размеры входного парового патрубка, мм | 1 000×600 | 1 000×700 | 1 700×1 200 | 2 000×1 000 | 2 000×1 000 | 2 200×1 300 | 2 850×1 365 |
| Вес конденсатора без воды, т | 4 | 5,7 | 8,6 | 12,4 | 13,27 | 13,9 | 18,2 |
| Вес конденсатора с водой, т | 5,28 | 8,1 | 11,72 | 16,6 | 17,9 | 18,3 | 27 |

Примечания: 1. Трубки развалцованны в обеих трубных досках.
2. Охлаждающая вода пресная.

Сопротивление h_3 подсчитывается по формуле

$$h_3 = \zeta_1 \frac{w_s^2}{2g} [m \text{ sec. cm.}], \quad (2-20)$$

где ζ_1 — коэффициент, учитывающий способ закрепления охлаждающих трубок в трубной доске.

Значения ζ принимаются:

при развалицовке трубок с обеих сторон $\zeta = 1$;

при сальниковом креплении трубок с

обоих концов $\zeta = 1,5$;

Сопротивление h_3 подсчитывается по формуле:

$$h_3 = \frac{w_{BH}^2}{2g} [m \text{ sec. cm.}], \quad (2-21)$$

где $w_{\text{вн}}$ — скорость воды во входном и выходном патрубках (обычно они равны).

Численные значения гидравлических сопротивлений современных конденсаторов H_x приведены в табл. 2-4 и 2-5.

2-5. КОНСТРУКЦИИ КОНДЕНСАТОРОВ

Конденсаторы современных турбин большой единичной мощности отличаются некоторыми конструктивными особенностями. В них обеспечивается незначительное переохлаждение конденсата, малое паровое сопротивление.

Таблица 2.5

Конденсаторы ГУРБИН высокого давления

ГЛАВА IV. УРОДЫ ВЫСОКОГО ДАЛЕЧИЯ (ТЕХНИЧЕСКИЕ ДАННЫЕ)

| Тип конденсатора | 25-КЦС-6 | 25-КЦС-7 | 25-КЦС-8 | K2-1756-1 | K2-2030-4 | 50-КЦС-3 | 50-КЦС-4 | 50-КЦС-5 |
|---|--------------------|--------------------|--------------------|--------------------|--------------------|--------------------|--------------------|--------------------|
| Поверхность охлаждения, m^2 | 2000 | 1750 | 2000 | 1750 | 2000 | 3000 | 3000 | 3000 |
| Давление в первом пространстве, атм | 0.03 | 0.03 | 0.03 | 0.03 | 0.03 | 0.03 | 0.03 | 0.03 |
| Чистая паровая нагрузка конденсатора при поминальном расходе пара, $kg/s \cdot m^2$ | — | — | — | — | — | — | — | — |
| Давление в вторичном пространстве, kg/cm^2 | 2.5 | 2.5 | 2.5 | 2.5 | 2.5 | 34.5 | 1.6 | 1.6 |
| Расход охлаждающей воды, kg/s | 5000 | 5000 | 5000 | 5000 | 5000 | 8000 | 8000 | 8000 |
| Гидравлическое сопротивление при указанном расходе охлаждающей воды, м.воб. ст. | 2.74 | 3.5 | 2.74 | 3.6 | 2.8 | 3.6 | 3.6 | 3.6 |
| Число потоков воды | 2 | 2 | 2 | 2 | 2 | 2 | 2 | 2 |
| Максимальный турбок | 4.420 | 3.860 | 4.420 | 3.880 | 4.420 | 5.800 | 5.800 | 5.800 |
| Пароконденсатный турбок d_1/d_2 , м.воб. | 0.50 | 0.50 | 0.50 | 0.50 | 0.50 | 6.650 | 6.650 | 6.650 |
| Размерный турбок d_1/d_2 , м.воб. | 24/22 | 24/22 | 24/22 | 24/22 | 24/22 | 25/23 | 25/23 | 25/23 |
| Заслонка конденсатора без воды, п. | 3950 \times 1650 | 5250 \times 2200 | 5250 \times 2200 | 5250 \times 2200 |
| Заслонка конденсатора с водой в воинском пространстве, т | 32.1 | 30.1 | 32.1 | 29.5 | 31.5 | 53.5 | 56.6 | 57.6 |
| Заслонка конденсатора с водой в воинском пространстве, т | 43.9 | 45.7 | 48.9 | 45.3 | 48.5 | 121.8 | 74.6 | 87.6 |
| Пароконденсатор с водой в воинском пространстве, т | 83 | 81 | 83 | 81 | 83 | 150 | 150 | 162.6 |
| Пароконденсатор с водой в воинском пространстве, т | 83 | 81 | 83 | 81 | 83 | 150 | 150 | 162.6 |

Продолжение табл. 2-5

| Тип конденсатора | K2-3000-1 | K2-3000-2 | 100-КЦС-2 | 100-КЦС-4 | K $\frac{100}{150}$ | -3885 | K12-6200-1 | K-150-9115 | 200-КЦС-2 |
|--|-----------|-----------|-----------------|-----------------|---------------------|---------------------|-----------------|-----------------|-----------------|
| Поверхность охлаждения, m^2 | 3000 | 3000 | 3000 \times 2 | 3000 \times 2 | 3000 \times 2 | 3000 \times 2 | 3000 \times 2 | 9115 | 4500 \times 2 |
| Дельтальная паровая нагрузка конденсатора при поминальном расходе пара, $kg/s \cdot m^2$ | 0.036 | 0.035 | 0.035 | 0.035 | 0.035 | 0.035 | 0.035 | 0.035 | 0.035 |
| Давление в воинском пространстве, kg/cm^2 | 2.5 | 2.5 | 2.5 | 2.5 | 2.5 | 2.5 | 2.5 | 2.5 | 2.5 |
| Расход охлаждающей воды, kg/s | 7000 | 7000 | 16000 | 16000 | 16000 | 16000 | 16000 | 16000 | 16000 |
| Гидравлическое сопротивление при указанном расходе охлаждающей воды, м.воб. ст. | 4.25 | 3.8 | 3.6 | 3.6 | 3.6 | 3.285 \times 2 | 4 | 4 | 3.73 |
| Максимальный турбок | 5.410 | 5.374 | 5.400 | 5.400 | 5.400 | 6.380 \times 2 | 2 | 2 | 3.1 |
| Заслонка конденсатора без воды, п. | 7500 | 7500 | 7500 | 7500 | 7500 | 7495 | 7500 | 7500 | 7500 |
| Заслонка конденсатора с водой в воинском пространстве, т | 77.5 | 77.5 | 75.5 | 75.5 | 75.5 | 25/23 | 25/23 | 25/23 | 25/23 |
| Заслонка конденсатора с водой в воинском пространстве, т | 77.5 | 77.5 | 75.5 | 75.5 | 75.5 | 25/30 \times 2200 | 69.5 \times 2 | 69.5 \times 2 | 69.5 \times 2 |
| Заслонка конденсатора с водой в воинском пространстве, т | 77.5 | 77.5 | 75.5 | 75.5 | 75.5 | 71.85 \times 2 | 95.5 \times 2 | 95.5 \times 2 | 95.5 \times 2 |
| Заслонка конденсатора с водой в воинском пространстве, т | 130 | 130 | 130 | 130 | 130 | 111 \times 2 | 140 \times 2 | 140 \times 2 | 140 \times 2 |
| Заслонка конденсатора с водой в воинском пространстве, т | 130 | 130 | 130 | 130 | 130 | 166 \times 2 | 200 \times 2 | 200 \times 2 | 200 \times 2 |

Причепы: 1. Число ходов воды равно двум.
2. Трубки развязаны в обеих трубных досках.
3. Все конденсаторы рассчитаны для работы на пресную воду.

Морской воле.

3. Все конденсаторы рассчитаны для работы на пресной воде; конденсатор типа 25-КЦ-8 предназначен для работы на морской воде, а конденсатор типа К 100/150 - на морской воде.

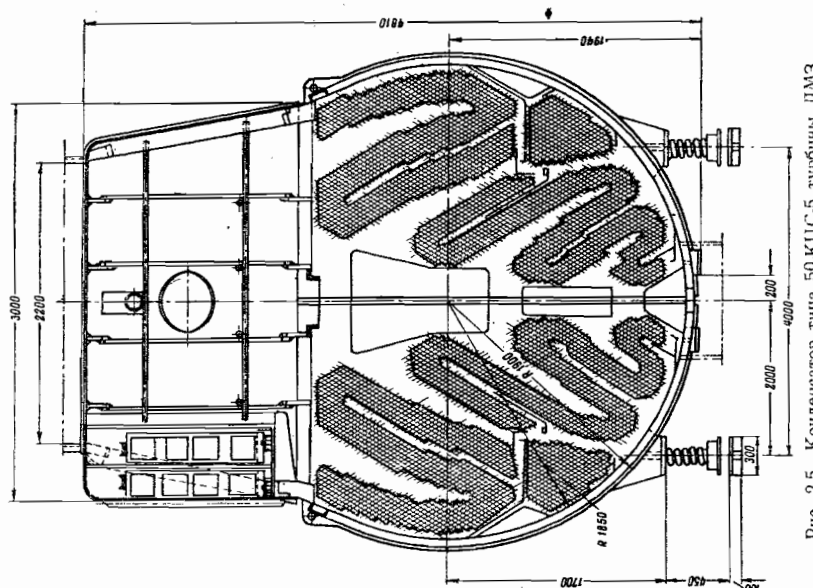


Рис. 2-5. Конденсатор типа К-50-90 (BK-50-3),
типа К-50-90 (BK-50-3).

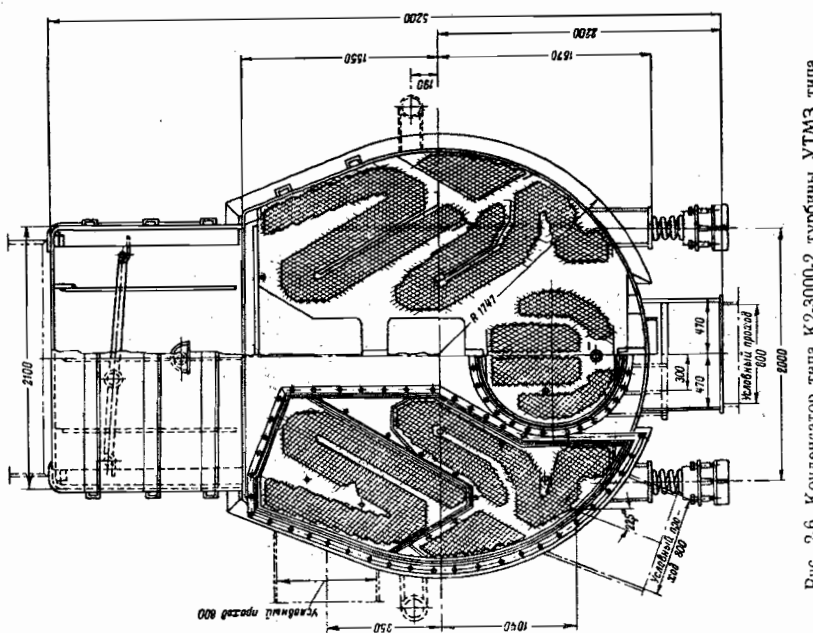


Рис. 2-6. Конденсатор типа К-3000-2 турбины УТМЗ типа
Т-50-130 (БТ-50-1).

при малом расходе пара в конденсатор основная поверхность конденсатора отключается, а в выделенную поверхность подается обратная сетевая вода.

Для ТЭЦ с открытой схемой теплоснабжения возможны такие варианты работы конденсатора:

при большом расходе пара в конденсатор работает вся поверхность конденсатора: основная — на циркуляционной воде, а выделенная — на циркуляционной или на добавочной водопроводной воде;

при малом расходе пара в конденсатор основная поверхность отключена, а выделенная работает на водопроводной воде.

Конструктивные особенности современных конденсаторов:

для улучшения вальцовочных соединений увеличены толщины трубных досок до 30 мм и глубина вальцевания;

вальцовку трубок производят с автоматическим регулированием степени развальцовки;

для уменьшения термических напряжений трубы подвергаются термической обработке;

для предотвращения расстройства вальцовочных соединений предусмотрен линзовый компенсатор;

для определения места возможного подсоса охлаждающей воды через вальцовочные соединения трубок в конденсаторе предусмотрены места отбора проб конденсата (солевые отсеки у трубных досок);

для очистки с водяной стороны охлаждающих трубок конденсатора при работе турбины применяются резиновые шарики.

Технические данные по конденсаторам приведены в табл. 2-4 и 2-5.

2-6. ХАРАКТЕРИСТИКИ КОНДЕНСАТОРОВ

Давление пара p_{2k} в конденсаторе зависит от режима работы турбины, температуры t_1^b и расхода W_k охлаждающей воды, от состояния поверхности охлаждения и воздушной плотности конденсатора, а также от режима работы отсасывающего устройства. При постоянном расходе пара мощность турбины ΔN_i меняется в зависи-

мости от p_{2k} , причем это изменение для различных типов турбин оказывается неодинаковым. Для большинства турбин среднего давления изменение (в некоторых пределах) p_{2k} от расчетного значения на 0,01 ата (или на 1% вакуума) вызывает изменение мощности турбины при конденсационном режиме на 1%.

Изменение мощности ΔN_i турбины может быть определено расчетом группы последних ступеней или экспериментально для режима работы турбины с различными расходами пара D_k .

На рис. 2-7 приведен график изменения мощности ΔN_i турбины типа К-100-90 (ВК-100-6) в зависимости от p_{2k} при $D_k = 261 \text{ т/ч}$.

Аналогичный график показан на рис. 2-8 для турбины типа К-200-130 (ПВК-200) при $D_k = 417 \text{ т/ч}$.

На рис. 2-9 дан график поправок к мощности в зависимости от температуры охлаждающей воды t_1^b для турбины УТМЗ типа ПТ-50-130/7 (ВПТ-50-4). График построен для расчетной температуры охлаждающей воды $t_1^b = 20^\circ\text{C}$.

Пример: Расход пара через турбину $D_t = 165 \text{ т/ч}$, на производство $D_u = 40 \text{ т/ч}$ при отпуске тепла на теплофикацию $Q_t = 20 \text{ Гкал/ч}$ и $t_1^b = 15^\circ\text{C}$ имеем приращение мощности турбины на 420 квт.

Характеристика конденсатора опытным путем определяется доста-

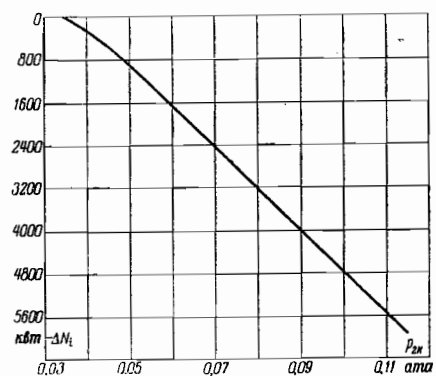


Рис. 2-7. Изменение мощности ΔN_i турбины ЛМЗ типа К-100-90 (ВК-100-6) в зависимости от давления пара в конденсаторе p_{2k} при $D_k = 261 \text{ т/ч}$.

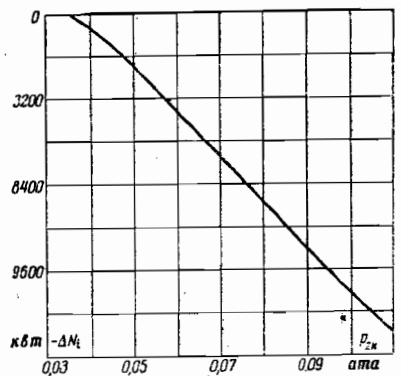


Рис. 2-8. Изменение мощности ΔN_t турбины ЛМЗ типа К-200-130 (ПВК-200) в зависимости от давления пара в конденсаторе p_{2k} при $D_k = 417 \text{ м}^3/\text{ч}$.

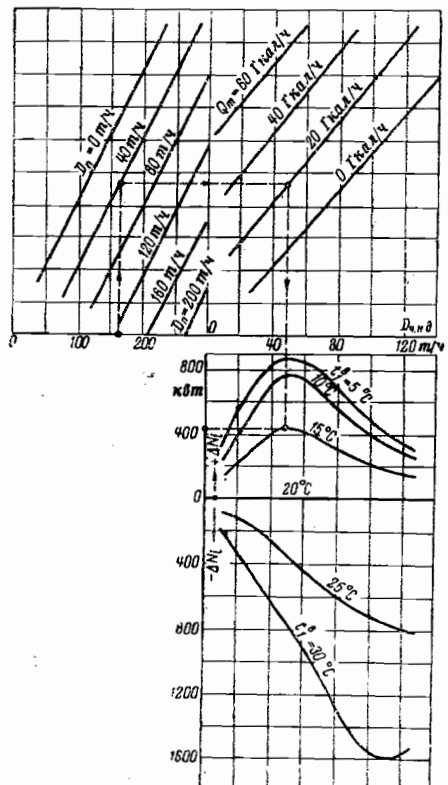


Рис. 2-9. Изменение мощности ΔN_t турбины УМЗ типа ПТ-50-130/7 (ВЛТ-50-4) в зависимости от температуры охлаждающей воды t_k^b .

точно точно, а расчетным способом может быть построена только приближение. Для любого режима работы турбины достаточно определить температуру пара, поступающего в конденсатор t_k , и по таблицам водяного пара взять соответствующее давление p_{2k} .

В основу расчетов принимается уравнение

$$t_k = t_1^b + \Delta t + \delta t [^\circ\text{C}], \quad (2-22)$$

где $\Delta t = t_2^b - t_1^b$ — нагрев охлаждающей воды в конденсаторе, $^\circ\text{C}$;

$\delta t = t_k - t_2^b$ — температурный напор, $^\circ\text{C}$;

Δt определяется приближенно по формуле

$$\Delta t = \frac{(i_2 - i_k)}{m}, \quad (2-23)$$

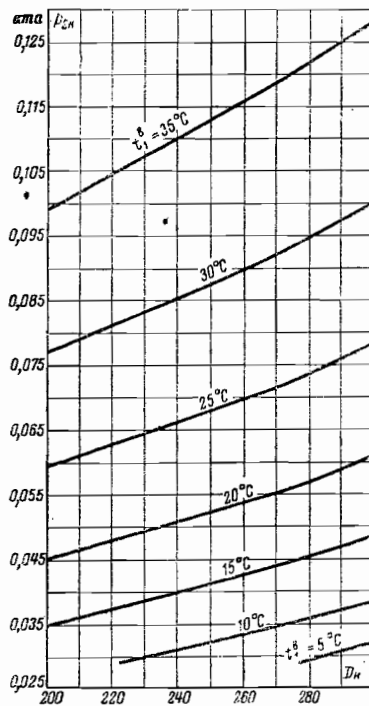


Рис. 2-10. Изменение давления пара p_{2k} в конденсаторе типа 100-КЦС-4 турбины типа К-100-90 (ВК-100-6) в зависимости от расхода пара D_k при расходе охлаждающей воды $W_k = 16000 \text{ м}^3/\text{ч}$ и различных значениях t_k^b .

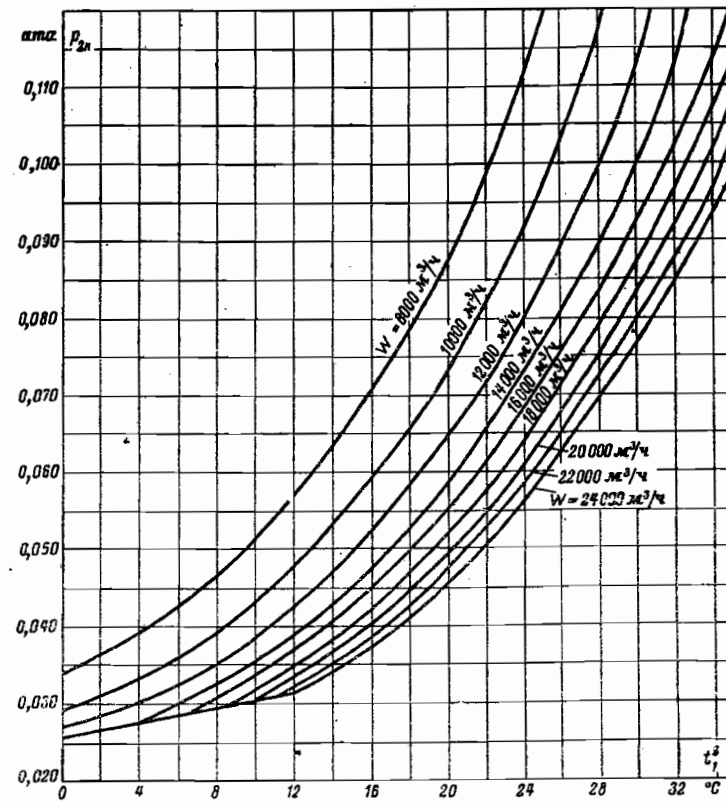


Рис. 2-11. Изменение давления пара p_{2k} в конденсаторе типа 100-КЦС-4 турбины типа К-100-90 (ВК-100-6) в зависимости от температуры t_1^b и расхода охлаждающей воды W_k при $N_{\text{ном}} = 100000 \text{ квт}$.

где i_2 — теплосодержание пара, поступающего в конденсатор, $\text{kкал}/\text{кг}$;

\bar{i}_k — теплосодержание конденсата (численно равное его температуре), $\text{kкал}/\text{кг}$;

$m = \frac{W_k}{D_k}$ — кратность охлаждения (W_k и D_k при расчете известны).

Значения $i_2 - \bar{i}_k$ принимают:
для регенеративных конденсаторов турбин среднего и высокого давления с параметрами от 29 ата и 400° С до 90 ата и 500° С $i_2 - \bar{i}_k = 510 - 530 \text{ ккал}/\text{кг}$;

для нерегенеративных конденсаторов турбин небольшой мощности среднего давления и регенеративных конденсаторов турбин высокого давления с параметрами 90 ата и 535° С $i_2 - \bar{i}_k = 515 - 535 \text{ ккал}/\text{кг}$;

для конденсаторов современных турбин с промежуточным перегревом пара и параметрами 130 ата и 565/565° С $i_2 - \bar{i}_k = 550 - 570 \text{ ккал}/\text{кг}$.

Температурный напор определяется по приближенной формуле А. В. Щегляева [Л. 12]:

$$\delta t = \frac{A}{31,5 + t_1^b} \left(\frac{D_k}{F_k} + 7,5 \right), \quad (2-24)$$

где A — коэффициент, характеризующий чистоту поверхности охлаждения и воздушную плотность конденсатора.

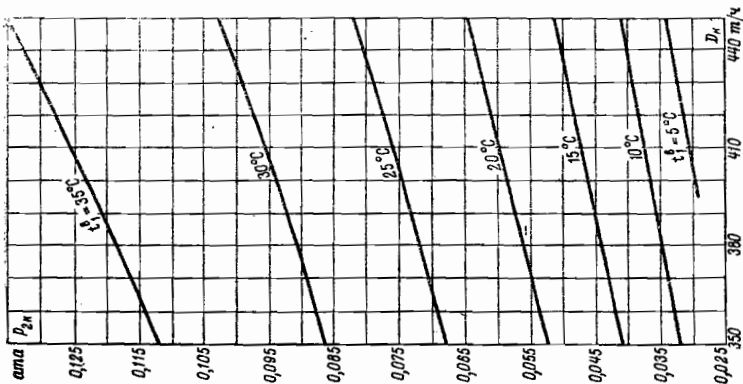


Рис. 2-12. Изменение давления пара p_{2k} в конденсаторе типа К-200-КЦС-2 турбины типа К-200-130 (ПВК-200) в зависимости от расхода пара D_k при расходе охлаждающей воды $W_k = 25\ 000\ m^3/h$ и различных значениях t_1^b

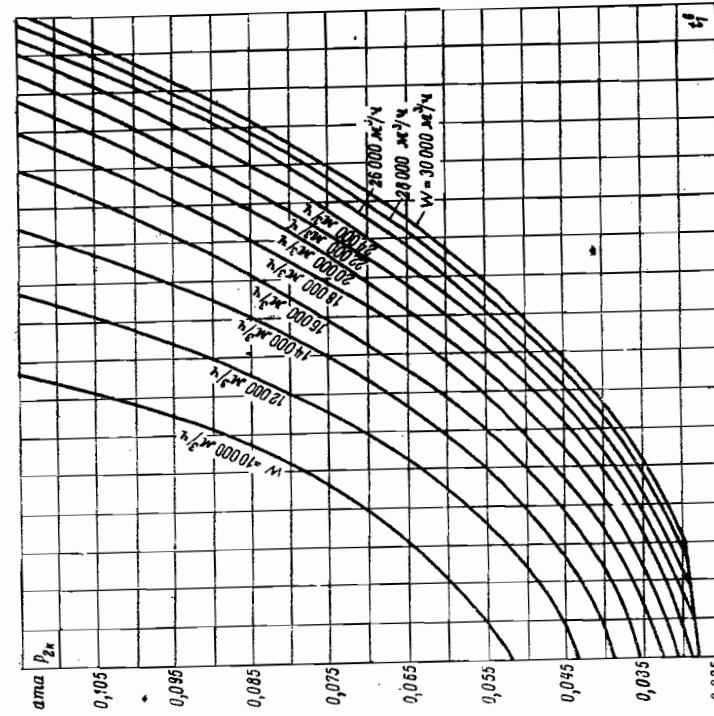


Рис. 2-13. Изменение давления пара p_{2k} в конденсаторе типа 200-КЦС-2 турбинами типа К-200-130 (ПВК-200) в зависимости от температуры t_1^b и расхода охлаждающей воды W_k при $N_g = 200\ 000\ kwt$,

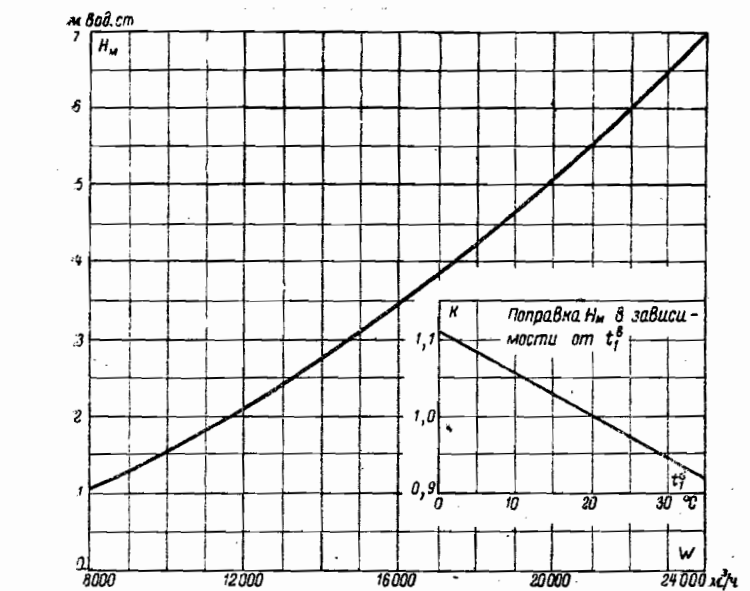


Рис. 2-14. Изменение гидравлического сопротивления H_k конденсатора типа 100-КЦС-4 в зависимости от расхода охлаждающей воды при $t_1^b = 20^\circ C$.

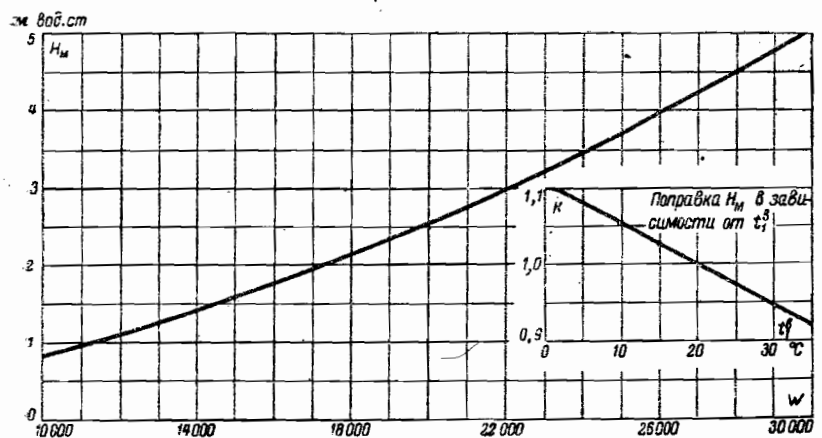


Рис. 2-15 Изменение гидравлического сопротивления конденсатора типа 200-КЦС-2 в зависимости от расхода охлаждающей воды при $t_1^b = 20^\circ C$.

Для чистой поверхности конденсатора и хорошей воздушной плотности $A=5$; для конденсатора среднего качества $A \approx 7$.

На рис. 2-10 приведена зависимость давления p_{2k} от расхода пара D_k при различных значениях t_1^b для конденсатора типа 100-КЦС-4 турбины типа К-100-90 (ВК-100-6); $W_k=16\ 000\ m^3/h$.

На рис. 2-11 для того же конденсатора показана зависимость давления p_{2k} от температуры t_1^b при различных расходах охлаждающей воды W_k и номинальной мощности турбины $N_g^{nom} = 100\ 000\ kwt$.

На рис. 2-12 и 2-13 представлены аналогичные зависимости для конден-

Таблица 2-6

Пароструйные эжекторы (технические данные)

| Назначение | Тип эжектора | Отсос пара из концевых уплотнений | | | | | | | | | |
|---|--------------|-----------------------------------|----------|----------|----------|----------|----------|------|------|-------|-------|
| | | Основной | Основной | Пусковой | Основной | Основной | Основной | ХТГЗ | УТМЗ | УТМЗ | УТМЗ |
| Завод-изготовитель | ЛМЗ | ЛМЗ | НЭЛ | НЭЛ | НЭЛ | НЭЛ | НЭЛ | ХТГЗ | ХТГЗ | ХТГЗ | ХТГЗ |
| Расчетное минимальное давление пара, атм | 16 | 12 | 12 | — | — | — | — | — | 15 | 5 | 5 |
| Расход пара, кг/ч | 400 | 600 | 600 | 175 | — | — | — | — | 90 | 220 | 350 |
| Количество отсасываемого сухого воздуха, кг/ч | 60 | 75 | 90 | 13 | 17 | 4 | 60 | 177 | — | 730 | 1 050 |
| Давление всасывания, мм рт. ст. | 25 | 15—17 | 180 | 35 | 35 | 35 | 20 | 700 | 680 | 690 | 680 |
| Пробные гидравлические давления, кг/см ² | | | | | | | | | | | |
| Паропровод | 375 | 375 | 375 | 55 | 55 | 55 | 60 | — | — | — | — |
| трубная система и волнистая камера | 22 | 22 | — | 5 | 5 | 5 | 10 | — | 15 | 15 | 20 |
| всасывающая камера и корпус | 1,5 | 1,5 | 2 | 2 | 2 | 2 | 1,5 | 4 | 2 | 2 | 2 |
| Расход охлаждающей воды, м ³ /ч | 80 | 60 | — | — | — | — | — | — | 50 | 70 | 140 |
| Гидравлическое сопротивление, м вод. ст. | 2 | 0,4 | — | — | — | — | — | — | 0,57 | 1,6 | 2,85 |
| Вес эжектора без воды, кг | 1 120 | 2 160 | 46 | 400 | 700 | 300 | 1 600 | 330 | 428 | 1 046 | 1 262 |
| Вес эжектора при заполнении водой водной системы и пароводушных камер охладителей, кг | 1 460 | 3 000 | — | 600 | 1 000 | 500 | 2 200 | — | — | — | — |

Примечание. Материал трубок — латунь Л-68.

сатора типа 200-КЦС-2 турбины типа К-200-130 (ПВК-200).

На рис. 2-14 и 2-15 даны зависимости гидравлического сопротивления H_k от расходов охлаждающей воды W_k для конденсаторов типов 100-КЦС-4 и 200-КЦС-2.

2-7. ПАРОСТРУЙНЫЕ ЭЖЕКТОРЫ

Пароструйные эжекторы предназначены для удаления воздуха из конденсаторов. Эжекторы изготавливают одно-, двух- и трехступенчатыми. Одноступенчатые эжекторы создают относительно небольшое разрежение (около 550—600 мм рт. ст.) и применяются в качестве пусковых для быстрого отсоса воздуха из конденсаторов и подъемных при пуске циркуляционных насосов.

Двух- и трехступенчатые эжекторы создают глубокое разрежение и применяются в качестве рабочих в паротурбинных установках.

Для турбин ЛМЗ мощностью 25 000 квт применяются двухступенчатые эжекторы типа ЭП-2-400-3. Турбины ЛМЗ мощностью от 50 000 до 200 000 квт снабжаются трехступенчатыми эжекторами типа ЭП-3-600-4: турбина типа К-50-90 (ВК-50-1) имеет один эжектор, турбины типов К-50-90 (ВК-50-3), К-100-90 (ВК-100-6), К-150-130 (ПВК-150) и К-200-130 (ПВК-200) — по два эжектора; такого же типа эжекторы применяются для турбин УТМЗ.

Для турбин НЭЛ и ХТГЗ применяются другие типы эжекторов. Технические данные эжекторов различных заводов приведены в табл. 2-6.

С целью предупреждения попадания пара из лабиринтовых уплотнений турбин в машинный зал применяют

специальные эжекторы: для турбин ХТГЗ типа К-150-130 (ПВК-150) — эжектор типа ЭЛ-1; для турбин УТМЗ мощностью 25 000 квт — эжектор типа ХЭ-25-220, для турбин мощностью 50 000 квт — типа ХЭ-40-350, на 100 000 квт — типа ХЭ-70-550 (табл. 2-6).

На рис. 2-16 показан трехступенчатый эжектор типа ЭП-3-600-4, блокированный с пусковым эжектором типа ЭП-1-600-3. Заводские характеристики эжекторов ЛМЗ, представляющие зависимость давления всасывания от производительности эжектора при неизменном давлении рабочего пара, приведены на рис. 2-17.

Последние конструкции эжекторов ЛМЗ снабжают приборами для замера количества отсасываемого воздуха, что позволяет контролировать воздушную плотность конденсатора. Приборы для контроля работы эжектора и замера количества воздуха смонтированы на выпускном патрубке эжектора (рис. 2-18).

Оценка воздушной плотности конденсатора производится по формуле Л. Д. Бермана:

$$G_b \leq c \left(\frac{D_k}{100} + 1 \right), \quad (2-25)$$

где c — показатель, принимаемый равным 1, 2 или 4, отвечающий соответственно отличной, хорошей и посредственной плотности;

G_b — измеренное количество воздуха, удаляемое из конденсатора эжекторами, кг/ч;

D_k — номинальное (расчетное) количество пара, поступающего в конденсатор, т/ч.

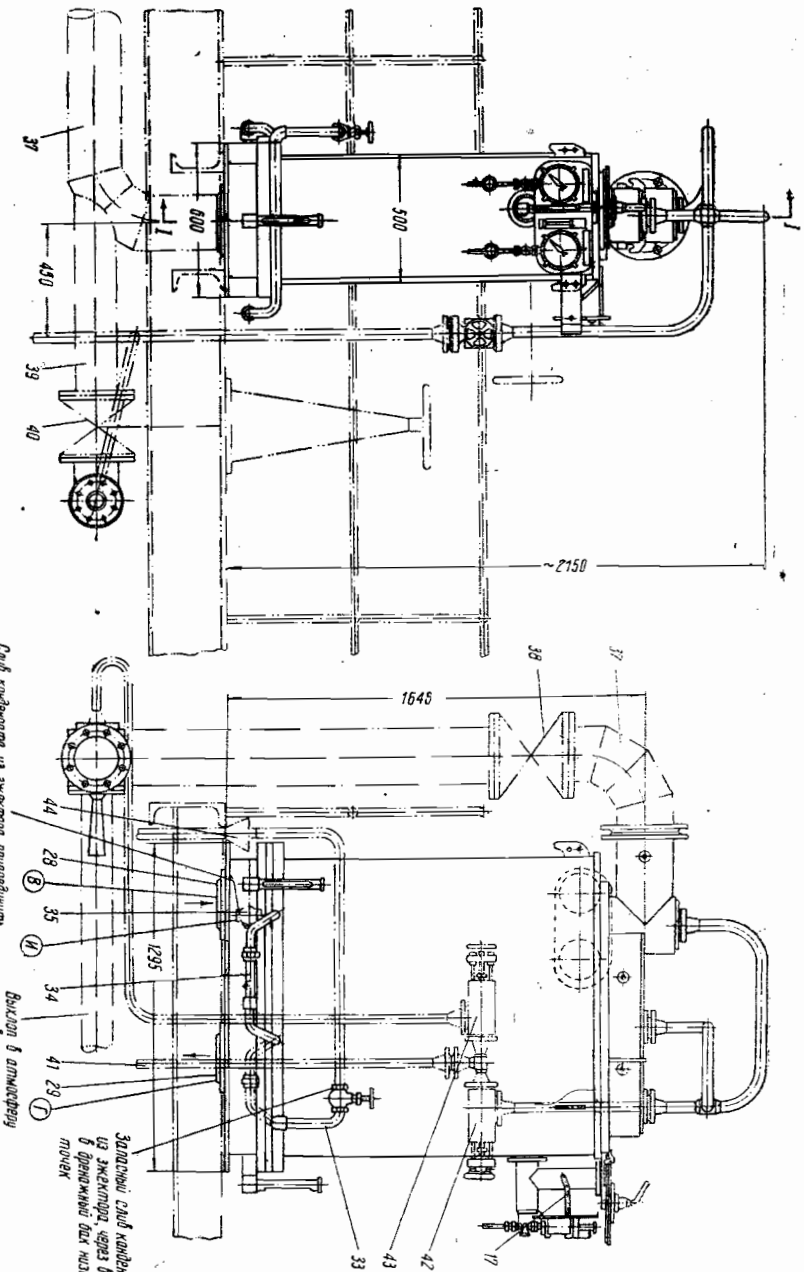


Рис. 2.16.

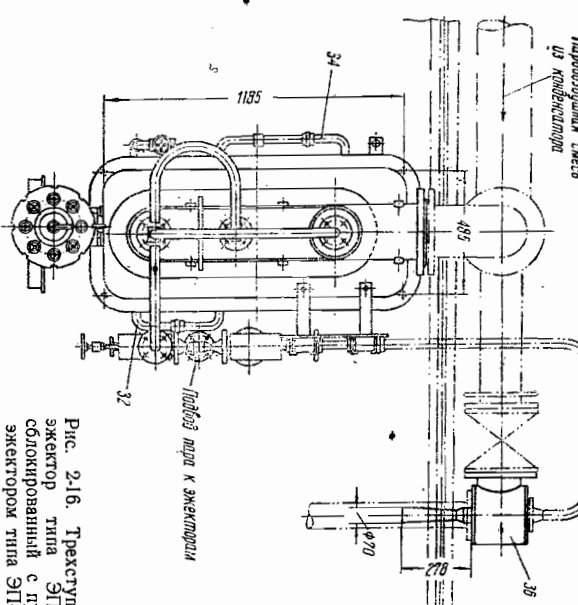


Рис. 2.16. Трехступенчатый эжектор типа ЭП-360-4, блокированный с пусковым эжектором типа ЭП-1-600-3.

1 — камера всасывания 1-й ступени сжатия; 2 — кольцо присоединения вакууматора; 3 — паровое кольцо 1-й ступени сжатия; 4 — паропровод 1-й ступени сжатия; 5 — станина заборной пропеллерной; 6 — паропровод к солам; 7 — паропровод 1-й ступени; 8 — камера всасывания 2-й ступени; 9 — кольцо присоединения контурного вакууматора; 10 — сопло 2-й ступени; 11 — диффузор 2-й ступени; 12 — камера всасывания 3-й ступени; 13 — кольцо присоединения контурного вакууматора; 14 — сопло 3-й ступени; 15 — диффузор 3-й ступени; 16 — выпускной фланец в атмосферу; 17 — выпускной фланец в атмосферу; 18 — выпускной фланец в атмосферу; 19 — кольцо присоединения вакууматора; 20 — кольцо 2-й ступени; 21 — то же 3-й ступени; 22 — паропровод промежуточного контура для крепления диффузоров; 23 — трубчатая лестница; 24 — трубчатая лестница; 25 — кольцо для крепления диффузоров; 26 — подъемная камера; 27 и 28 — выход из рабочего насоса; 29 — конденсатор генератора тяговых двигателей; 30 — щиток конденсатора тяговых двигателей; 31 — щиток конденсатора тяговых двигателей; 32 — щиток конденсатора тяговых двигателей; 33 — щиток конденсатора тяговых двигателей; 34 — щиток конденсатора тяговых двигателей; 35 — щиток конденсатора тяговых двигателей; 36 — щиток конденсатора тяговых двигателей; 37 — щиток конденсатора тяговых двигателей; 38 — щиток конденсатора тяговых двигателей; 39 — щиток конденсатора тяговых двигателей; 40 — щиток конденсатора тяговых двигателей; 41 — паропровод; 42 — задвижка; 43 и 44 — дроссельные вентили; 45 — щиток конденсатора тяговых двигателей.

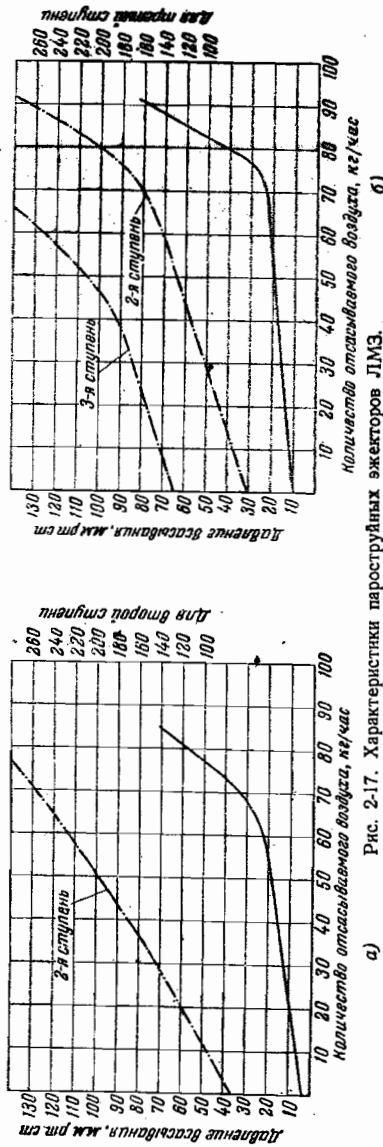


Рис. 2-17. Характеристики пароструйных эжекторов ЛМЗ.
а—двухступенчатый эжектор типа ЭП-2-40-3; б—трехступенчатый эжектор типа ЭП-3-800-4.

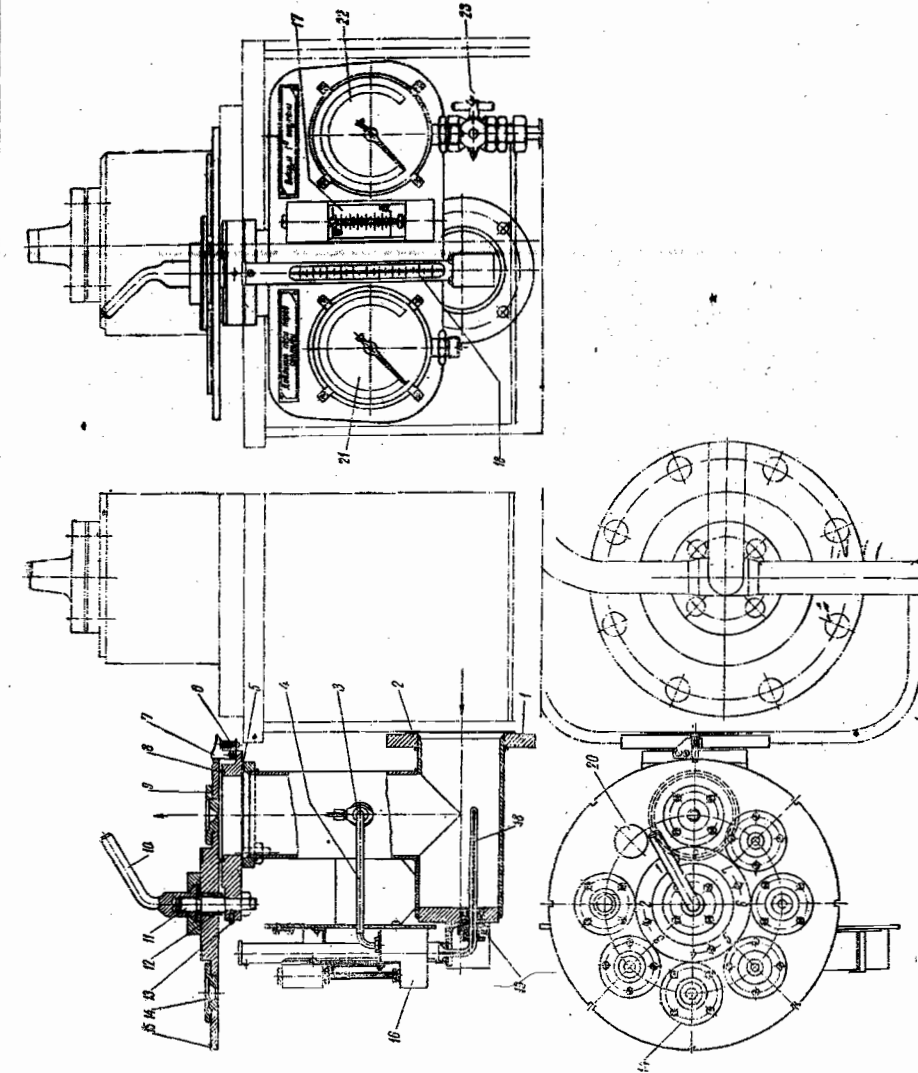


Рис. 2-18. Приборы контроля работы главного эжектора.

1—фланец выпускного патрубка для присоединения к камере охлаждения последней ступени эжектора; 2—прантовый прокладка; 3—изолирующая крышка к 1; 4—резиновая прокладка к 16; 5—перепадная прокладка; 6—приманка запасная; 7—запаска; 8—реликновое уплотнительное кольцо; 9—прокладка из сукна, пропитанной силиконом; 10—принадлежная гайка с рукояткой; 11—натяжной штифт; 12—натяжная втулка; 13—стопорная винт к 11; 14—комплект из семи мертвых подшипников; 15—новородный диск; 16—рутная манометр; 17—подвижная шайба к 16; 18—рутный термометр; 19—салник виницы; 20—отверстие для свободного выхода первоупущенного смеси в атмосферу; 21—пружинный манометр на давление 50 кг/см², измеряющий давление перед спиралью эжектора и присоединенный к камере наклона дроссельного вакуумного клапана; 22—пружинный вакуумметр (0—750 мм рт. ст.), измеряющий разжение во вспасывающей камере; 1-я ступень сжатия; 23—трехходовые пробковые кранники.

2-8. КОНДЕНСАТНЫЕ И ЦИРКУЛЯЦИОННЫЕ НАСОСЫ

Конденсатные насосы служат для откачки конденсата отработавшего пара из конденсаторов и подачи его через теплообменники регенеративной системы в деаэраторы.

Расчетная производительность конденсатного насоса (при 100% резерве):

$$Q_k = (1,1 \div 1,2) D_k [m^3/\text{ч}], \quad (2-26)$$

где D_k — количество пара, поступающего в конденсатор, $m/\text{ч}$.

Коэффициент 1,1—1,2 учитывает количество конденсата дренажей регенеративной системы, поступающего в конденсатор.

Полный напор конденсатного насоса

$$H = H_2 + 10(p_n - p_{2k}) - \Sigma h_{\text{пот}} [\text{м вод. ст.}], \quad (2-27)$$

где H_2 — геометрическая высота подачи конденсата (разница между высотными отметками уровня деаэратора и конденсатора), м вод. ст. ;

p_n — давление в деаэраторе, ама ;

p_{2k} — давление в конденсаторе, ама ;

$\Sigma h_{\text{пот}}$ — сумма потерь напора в трубопроводах и теплообменниках с учетом скоростных потерь на входе и выходе конденсата, м вод. ст.

Полный напор конденсатных насосов составляет: для турбинных установок среднего давления от 35 до 60 м вод. ст. и для высокого давления от 110 до 160 м вод. ст.

Мощность, потребляемая конденсатным насосом,

$$N_{\text{к.н}} = \frac{Q_k H \gamma}{3600 \cdot 102 \eta_n} [\text{kвт}], \quad (2-28)$$

где γ — удельный вес воды, $\text{кг}/\text{м}^3$;

η_n — к. п. д. насоса.

Мощность электродвигателя с учетом возможных перегрузок принимается на 15—20% больше мощности, потребляемой насосом.

Технические данные конденсатных насосов приведены в табл. 2-7.

Циркуляционные насосы служат для подачи охлаждающей воды в кон-

денсатор, маслоохладители и воздухоохладители.

Расчетная производительность циркуляционных насосов

$$W = W_k + W_m + W_b [m^3/\text{ч}], \quad (2-29)$$

где W_k — расход охлаждающей воды через конденсатор, $m^3/\text{ч}$;

W_m — расход воды через маслоохладители, $m^3/\text{ч}$;

W_b — расход воды через воздухоохладители генератора, $m^3/\text{ч}$.

W_k известен из теплового расчета конденсатора при работе в условиях жаркого летнего времени. Расходы воды W_m и W_b известны из тепловых расчетов масло- и воздухоохладителей; в среднем расход воды на эти теплообменники составляет для турбин небольшой мощности 6—15% W_k и для турбин большой мощности с двухходовыми конденсаторами 3—7% W_k .

Полный напор циркуляционного насоса

$$H = H_r + H_k + \Sigma h_{\text{тр}} + + \Sigma h_{\text{м.с.}} + \frac{w_{b1}^2 + w_{b2}^2}{2g} [\text{м вод. ст.}], \quad (2-30)$$

где H_r — геометрический напор, м вод. ст. ;

H_k — гидравлическое сопротивление конденсатора, вычисляемое по формуле (2-18), м вод. ст. ;

$\Sigma h_{\text{тр}}$ — потеря напора на трение во всасывающем и нагнетательном трубопроводах, м вод. ст. ;

$\Sigma h_{\text{м.с.}}$ — потеря напора на местные сопротивления задвижек, на повороты и пр., м вод. ст. ;

w_{b1} — скорость воды при входе во всасывающую трубу, м/сек ;

w_{b2} — скорость слива воды из нагнетательного трубопровода, м/сек .

Геометрический напор (рис. 2-19)

$$H_r = H_n - H_c [\text{м вод. ст.}], \quad (2-31)$$

где H_n — высота подъема воды, м вод. ст. ;

H_c — высота сифона (обычно не более 7,5—8 м вод. ст.), м вод. ст.

Таблица 2-7

Конденсатные насосы (технические данные)

| Марка насоса | Производительность, $m^3/\text{ч}$ | Номинальный напор, м вод. ст. | Число оборотов в 1 мин | Погрешность измерения, % | Коэффициент потерь по длине изолированного участка насоса, % | Габариты, 444 | | Диаметр патрубков, мм | Электродвигатель | Количество насосов на турбогенераторную установку | | | |
|--------------|------------------------------------|--|------------------------|--------------------------|--|-----------------|--------|--------------------------------|------------------|---|--------------|-----|---|
| | | | | | | ширина | высота | | | | | | |
| 2K-6 | 10 | 34,5 | 2 900 | 1,85 | 50,6 | 408 | 270 | 290 | 0,03 | 40 | A-42-2 | 4,5 | 1 |
| 3K-9 | 30 | 34,8 | 2 900 | 4,6 | 62 | 485 | 300 | 362 | 0,042 | 50 | A-51-2 | 7,2 | 1 |
| ЭКН-18-к | 12—14 | 35 | 1 500 | 4,5 | — | 472 | 500 | 455 | 0,28 | 100 | AO-51-4 | 4,5 | 2 |
| 5Kc-5×2 | 35* | 61,5 | 1 450 | 11,72 | 50 | 1 357 | 540 | 1 056 | 0,482 | 125 | A-71-4 | 20 | 2 |
| 5Kc-5×4 | 50 | 59 | 1 450 | 13,95 | 57,5 | 2 168 | 540 | 1 285 | 1,018 | 125 | A-81-4 | 40 | 2 |
| 8KcД-5×3 | 119 | 125 | 1 450 | 26,1 | 61 | 1 975 | 880 | 1 645 | 1,92 | 200 | A-91-4 | 100 | 2 |
| 10KcД-5×3 | 140 | 120 | 1 450 | 74 | 63 | — | — | — | — | — | ДАМТ-6-115-4 | 110 | 2 |
| 16KcБ-11×4 | 470 | 160 | 1 450 | 300 | 70 | 1 500 | 1 400 | * | 3,95 | 250 | ГАМ-6-127-6 | 185 | 2 |
| 12KcБ-9×4 | 300 | 160 | 1 480 | 230 | 70 | 1 300 | 800 | * | 5,12 | 300 | ГАМ-115/4 | 230 | 3 |

* Высота в зависимости от типа электродвигателя.

Таблица 2-8

Циркуляционные насосы (технические данные)

| Марка насоса | Производительность, м³/ч | Полный напор, м вод. ст. | Число оборотов в 1 мин | Потребляемая мощность, кВт | Коэффициент полезного действия насоса, % | Габариты, мм | | | Вес, т | Диаметр патрубков, мм |
|---|--|--|--------------------------|---------------------------------------|--|----------------------------------|----------------------------------|----------------------------------|---------------------------|----------------------------------|
| | | | | | | длина | ширина | высота | | |
| 8К-12 | { 220 280 340 | 32 29,1 25,4 | 1 450 1 450 1 450 | 23,6 27 30 | 79 82,5 80 | 660 | 580 | 615 | 0,486* | 200 |
| 8ИДв | { 720 540 | 89 94 | 1 450 1 450 | 216 178 | 81 78 | 1 258 | 1 135 | 890 | 0,838 | 250 |
| 16ИДв | { 1 980 1 800 1 590 1 350 | 21 16 15 10 | 900 900 750 750 | 133 89,1 79 43,5 | 85 88 83 88 | 1 350 | 1 537 | 1 250 | 1,65 | 500 |
| 20ИДв | { 3 240 3 000 2 500 2 000 | 32 23 17,5 13,5 | 960 960 730 730 | 308 222 132 96 | 89 89 89 85 | 1 760 | 2 072 | 1 500 | 3,0 | 600 |
| 24ИДв | { 5 000 4 700 4 000 3 800 | 26 20 16,5 13 | 730 730 585 585 | 398 285 198 154 | 90 90 87 | 2 150 | 2 316 | 1 895 | 5,0 | 800 |
| 40ПрБ-60 40ПрБ-60×2 | 10 600—17 300 10 400—17 300 11 200—22 200 | 6—11 10—21 9,2—16,4 | 485 485 485 | 260—500 450—940 500—910 | 80—85 80—85 80—87 | 2 025 2 025 2 660 | 1 350 1 350 2 070 | 4 860 4 860 5 780 | 8,28 11,5 8,2 | 960 960 5 780 |
| Оп2-110 Оп3-110 Оп5-110 Оп5-110 Он2-145 | 14 400—21 800 11 520—19 440 14 750—23 760 21 600—37 160 | 15,3—23 4,4—7,8 7,5—12,7 9—16,2 | 585 365 485 365 | 925—1 390 230—830** 86 1 030 | 80—87 2 070 2 070 87 | 2 660 2 660 5 780 3 220 | 1 070 1 070 5 780 1 880 | 1 100 1 100 1 250 7 320 | 8,2 8,2 1 250 14 | 1 100 1 100 1 250 1 400 |

* Вес насоса и электродвигателя вместе с пакетом.

** Рекомендуемая мощность электродвигателя.

Для работающей турбинной установки полный напор циркуляционных насосов определяется по уравнению

$$H = H_m + H_b + \frac{\omega_{b1}^2 + \omega_{b2}^2}{2g} [м \text{ вод. ст.}], \quad (2-32)$$

где H_m — напор воды на выходе из насоса по показанию манометра, отнесенный к оси насоса, $м \text{ вод. ст.}$;

H_b — разжение на входе в насос по показанию вакуумметра, отнесенное к оси насоса, $м \text{ вод. ст.}$

Мощность, потребляемая циркуляционным насосом,

$$N_{ц.н} = \frac{WH\gamma}{3 600 \cdot 102\eta_{ц.н}} [квт], \quad (2-33)$$

где $\eta_{ц.н}$ — к. п. д. циркуляционного насоса (для различных насосов $\eta_{ц.н} = 0,79 - 0,9$).

Электрическая мощность, потребляемая от электросети для привода циркуляционного насоса

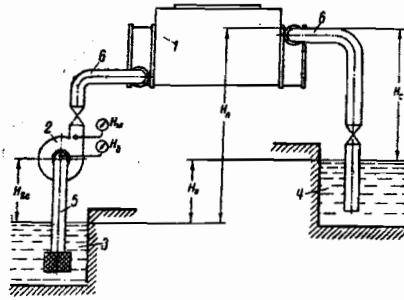


Рис. 2-19. Схема сифона.
1 — конденсатор; 2 — циркуляционный насос; 3 — приемный колодец; 4 — сливной колодец; 5 — всасывающая труба; 6 — напорный трубопровод.

$$N_{эд} = \frac{N_{ц.н}}{\eta_{эд}} [квт], \quad (2-34)$$

$\eta_{эд}$ — к. п. д. электродвигателя; можно принимать: для электродвигателей мощностью до 30 квт, $\eta_{эд} = 0,85 - 0,89\%$, для электродвигателей мощностью от 100 до 250 квт $\eta_{эд} = 0,9 - 0,93$.

Технические данные циркуляционных насосов представлены в табл. 2-8.

ГЛАВА ТРЕТЬЯ

ТУРБОГЕНЕРАТОРЫ

3-1. ТУРБОГЕНЕРАТОРЫ СЕРИИ Т2 С ВОЗДУШНЫМ ОХЛАЖДЕНИЕМ

Двухполюсные турбогенераторы трехфазного тока серии Т2 с воздушным охлаждением предназначены для выработки переменного тока; привод генераторов осуществляется паровыми турбинами, работающими с числом оборотов 3 000 в 1 мин. Серия Т2 охватывает генераторы мощностью от 750 до 50 000 квт.

Для обеспечения надежной эксплуатации и удобства обслуживания генераторы выполнены закрытыми с замкнутой системой вентиляции и охлаждением горячего воздуха в воздушных воздухохладителях. Генераторы снабжаются возбудителями серии ВТ.

Роторы генераторов с роторами турбин соединяются посредством пружинных, полугибких и жестких муфт. Соединение якоря возбудителя с рото-

ром генератора осуществляется посредством эластичной муфты. Возбудитель типа ВТ-20-3000 к ротору генератора присоединяется при помощи гибкого вала.

Генераторы изготавливаются с одним подшипником скольжения (генераторы типов Т2-0,75-2 и Т2Б-1,5-2 выполнены с двумя подшипниками).

Смазка подшипников осуществляется принудительно, от масляной системы турбины. Подшипник со стороны возбудителя во избежание вредного воздействия блуждающих токов электрически изолирован от фундаментной плиты и маслопроводов.

Возбудители монтируют на собственной фундаментной плите на двух подшипниках. Возбудители типа ВТ-20-3000 и ВТ-75-3000 изготавливаются открытыми с разомкнутой системой вентиляции. Возбудители типов ВТ-120-3000 и ВТ-170-3000 имеют замкнутую систему вентиляции с охлаж-

Таблица 3-3

Таблица 3-1

Ургонгениаторы трехфазного тока серии Т2 с воздушным охлаждением являются «электросила» (технические данные)

| Тип генератора | T2-0,75-2 | T2Б-1,5-2 | T2-2,5-2 | T2-4-2 | T2-6-2 | T2-12-2 | T2-25-2 | T2-50-2 |
|--|---|-----------------------------|-----------------------|--------------------------|--------------------------|-------------------------|-------------------------|--------------------------|
| Активная мощность, кВт | 750 936 0,6 | 1 500 1 875 0,8 | 2 500 3 125 0,9 | 4 000 5 000 0,8 | 6 000 7 500 0,8 | 12 000 15 020 0,8 | 25 000 31 250 0,8 | 50 000 55 800 0,85 |
| Сохранившаяся мощность, кВт | 400/230; 525/6 300 | 400/525; 3 150/6 300 | 3 150/6 300 | 3 150/6 300 | 3 150/6 300 | 6 300/10 500 | 6 300/10 500 | 10 500 |
| Соформительное напряжение, в | 93,5 | 94,5 | 95,0 | 96,0 | 96,4 | 97,0 | 97,4 | 10 500 |
| Безфрикционный полезный действия, % | 4 630 | 3 600 | 3 300 | 1-я 2 430 2-я > 5 500 | 1-я 2 400 2-я > 5 500 | 1-я 1 680 2-я 4 500 | 1-я 1 680 2-я 4 500 | 1-я 1 455 2-я 3 930 |
| Аритмическая скорость вращения, об/мин | 0,18 | 0,24 | 0,24 | 0,5 | 0,5 | 2,6 | 2,6 | 13,5 |
| Маховиковый момент (GДm), тм | | | | | | | | |
| Частота, Гц | 1,6 3,6 8,2 | 2,3 6,0 10,8 | 3,8 10,5 18,3 | 4,1 11,0 20,0 | 6,2 18,8 31,0 | 9,5 26,7 40,3 | 17,5 46,0 69,5 | 30,9 76,0 120,0 |
| Время вращения, м | 0,7-20-3000 БИТ-108-1000 | БИТ-40-3000 БИТ-108-1000 | БИТ-50-3000 БИП-3 | БИТ-50-3000 БИП-3 | БИТ-50-3000 БИП-3 | БИТ-50-3000 БИП-3 | БИТ-120-3000 БИП-25 | БИТ-170-3000 БИП-75 |
| Годы эксплуатации | { старого общий вес с вводом в эксплуатацию | | | | | | | |

Примечания: 1. Данные действительны при температуре охлаждающего воздуха $+40^{\circ}\text{C}$.

Вращающий момент короткого замыкания принят десятикратным.

Вращающий момент короткого замыкания принят десятикратным.

| Возбудители серии ВГ к генераторам серии Т2 (технические данные) | | | | | | | | | | | | | |
|--|---------------------------|---------------------------|--------------------|--|-----------------------|---------------------------------------|--|--------------------|----------------|-------------------------|-----------------------|---------------|---------------------------|
| Тип возбудителя | Номинальная мощность, квт | Номинальное напряжение, в | Номинальный ток, а | Минимальное напряжение на рабочей точке варistorа, в | Погодок напряжения, в | Скорость нарастания напряжения, в/сек | Коэффициент полного действия при начальной нагрузке, % | Шунтовой регулятор | | | | Вес якоря, кг | Общий вес возбудите-ля, т |
| | | | | | | | | Тип | Число ступеней | Общее сопротивление, ом | Ток машинно-маленький | | |
| ВГ-20-3000 | 20 | 60 | 334 | 10 | 120 | 120 | 98 | PЭВ-31Б | 58,4 | 8 | 0,3 | 175 | 0,9 |
| ВГ-40-3000 | 40 | 115 | 348 | 20 | 175 | 240 | 87 | PЭВ-31Б | 50 | 11 | 0,6 | 200 | 1,3 |
| ВГ-50-3000 | 50 | 150 | 333 | 40 | 220 | 280 | 88 | PЭВ-31Б | 90 | 89 | 0,3 | 235 | 1,5 |
| ВГ-75-3000 | 75 | 230 | 325 | 50 | 350 | 380 | 89 | PЭВ-41Б | 140 | 107 | 1,2 | 255 | 1,5 |
| ВГ-120-3000 | 130 | 250 | 520 | 50 | 400 | 400 | 90 | PЭВ-41Б | 140 | 84 | 1,6 | 395 | 2,8 |
| ВГ-170-3000 | 170 | 230 | 740 | 60 | 450* | 500 | 90 | PЭВ-41Б | 140 | 392 | 5 | 785 | 5,2 |

* При изучении добавочном сопротивлении 27 %.

Таблица 3-2

| Воздухоохладители генераторов серии Т2 (технические данные) | | | | | | | | |
|---|--------------------------------|------------------------------|------------------------|--|--------------|------------------|--------------------|-----------------------|
| Тип воздухоохладителя | Расход воды, м ³ /ч | Разность температур воды, °С | Расход воздуха, кг/сек | Разность давления воздуха, мм вод. ст. | Число секций | Число ходов воды | Соединение по воде | Соединение по воздуху |
| ВПТ-108-1000 | 70 | 18,5 | 4 | 1,8 | 22 | 1 | 6 | — |
| ВОП-3 | 140 | 60 | 2,5 | 4 | 25 | — | 4 | — |
| 2ВОП-3 | 200 | 80 | 1,7 | 8 | 25 | 2 | 4 | Параллельное |
| ВОП-12 | 350 | 100 | 2 | 12 | 22 | 2 | 4 | Параллельное |
| ВОП-25 | 650 | 300 | 1,7 | 20 | 16 | 2 | 2 | Параллельное |
| ВОП-75 | 1 200 | 275 | 3,5 | 36 | 55 | 4 | 6 | Параллельное |

Приложения: 1. Температура охлаждающей воды (на входе) $+30^{\circ}\text{C}$
2. Температура охлаждающего воздуха $+40^{\circ}\text{C}$.

Расход и давление масла в подшипниках генераторов серии Т2 и возбудителей
серии ВТ

| Тип генератора | Расход масла, л/мин | | | | Давление масла в подшипниках, кГ/см ² |
|----------------|---------------------------------|-------------------------------------|--------------------------|-------|--|
| | на подшипник со стороны турбины | на подшипник со стороны возбудителя | на подшипник возбудителя | всего | |
| T2-0,75-2 | 12 | 12 | 8 | 32 | 0,25-0,5 |
| T2Б-1,5-2 | 12 | 12 | 8 | 32 | 0,25-0,5 |
| T2-2,5-2 | — | 18 | 8 | 26 | 0,25-0,5 |
| T2-4-2 | — | 18 | 8 | 26 | 0,25-0,5 |
| T2-6-2 | — | 25 | 8 | 33 | 0,25-0,5 |
| T2-12-2 | — | 25 | 8 | 33 | 0,25-0,5 |
| T2-25-2* | — | 120 | 8 | 128 | 0,25-0,5 |
| T2-50-2 | — | 160 | 24 | 184 | 0,25-0,5 |

3-2. ТУРБОГЕНЕРАТОРЫ С ВОДОРОДНЫМ ОХЛАЖДЕНИЕМ

дением горячего воздуха в воздухоохладителях.

Воздухоохладители состоят из одной или нескольких трубчатых секций, соединенных как по воде, так и по воздуху параллельно. Трубки, в которых течет охлаждающая вода, с воздушной стороны имеют развитую поверхность за счет навитых на них медных проволочных спиралей эллиптической формы; трубки разваликованы в трубных досках. К последним с внешних сторон присоединены на болтах стальные водораспределительные крышки. Ход воды и воздуха в воздухоохладителях осуществлен по принципу противотока.

Технические данные генераторов, серий Т2, возбудителей и воздухо-охладителей приведены в табл. 3-1, 3-2, 3-3. Данные о расходе и давлении масла на подшипники генераторов и возбудителей даны в табл. 3-4.

Двухполюсные турбогенераторы трехфазного тока серии ТВ с водородным охлаждением служат для выработки переменного тока и имеют непосредственное соединение с валом турбины, работающей с числом оборотов 3 000 в 1 мин. Генераторы этой серии имеют герметически закрытые корпуса, обеспечивающие нормальную работу при избыточном давлении водорода 0,05 ати (генератор ТВ2-150-2 рассчитан на нормальное давление водорода 0,7 ати, а генератор типа ТВ-60-2 — на давление 1 ати). Сварной, газонепроницаемый корпус выполнен неразъемным.

Сердечник статора составлен из отдельных пакетов, собираемых из штампованных и изолированных лаком сегментов высоколегированной

Таблица 3-5

Турбогенераторы трехфазного тока серии ТВ с водородным охлаждением (технические данные)

| Тип генератора | ТВ2-30-2* | ТНС-30 | ТВ-50-2 | ТВ-60-2 | ТБ2-100-2 | ТН2-150-2 | ТВ2-200-2 | ТВ-200 |
|---|--|------------------------------------|------------------|---------------------|--------------------|--------------------|-----------------------|---------|
| Завод-изготовитель . . . | «Электросила» | XЭТЗ | «Электросила» | «Электросила» | «Электросила» | «Электросила» | «Электросила» | ХЭТЗ |
| Активная мощность, квт | 30 000 | 30 000 | 50 000 | 60 000 | 100 000 | 150 000 | 200 000 | 200 000 |
| Каждуальная мощность, квт | 37 500 | 37 500 | 62 500 | 75 000 | 117 500 | 166 500 | 235 000 | 235 000 |
| Коэффициент мощности ($\cos \varphi$) | 0,8 | 0,8 | 0,8 | 0,8 | 0,85 | 0,9 | 0,85 | 0,85 |
| Номинальное напряжение, в | 6 300/10 500 | 6 300/10 500 | 10 500 | 10 500 | 13 800 | 18 000 | 15 750 | 15 750 |
| Давление водорода, атм | 0,05 | 0,05 | 0,05 | 1 | 0,05 | 0,7 | 3 | 3 |
| Коэффициент полезного действия, % | 98,3 | 98,3 | 98,5 | 98,55 | 98,7 | 98,9 | 98,8 | 98,87 |
| Критическая скорость вращения, об/мин: | 1-я | 1 600 | 1 455 | 1 320 | 1 167 | 970 | 1 350 | 1 350 |
| 2-я | 4 530 | 3 850 | — | 3 740 | — | 4 300 | 4 400 | 4 400 |
| Маховиковый момент (СДР), тмк | 5 | 5,4 | 13,5 | 13,5 | 21 | + | 39 | 29 |
| Вращающий момент при коротком замыкании | | | | | | Восьмикратный | — | — |
| | | | | | | | 50 | 200** |
| Вес, т | 17 статора обмотка воздуховодов | 65 общий вес с воздуховодами | 16,5 93 90 | 31 98,7 153,5 | 45,6 177 236 | 58,6 242 340 | 165** | — |
| Тип возбудителя | ТВ-120-3000 | ВГ-170-3000 | ВГ-170-3000 | ВГ-30-3000 | ВГ-300-3000 | ВГ-500-2700 | Воздухоне- лонение | — |
| Тип газоохладителя | ОГП-30 | ВГ-170-3000 | ОГП-50 | ОГП-100 | ОГП-150 | — | — | — |

* Снят с производства с 1957 г.

** Вес статора с рым-заплатами, газоохладителем и шайбами.

Примечание 1. Данные действительны при температуре охлаждающего газа +40° С.

2. Температура охлаждающего газа +40° С.

3. Число ходов воды равно 2.

4. Соединения по воде и по газу выполнены параллельными.

Таблица 3-6

Возбудители серии ВТ к генераторам серии ТВ (технические данные)

| Тип возбудителя | Мощность, кват | Напряжение, в | Ток, а | Коэффициент полезного действия при номинальной нагрузке, % | Тип шунтиового регулятора | Вес якоря, кг | Общий вес возбудителя, т |
|------------------------------------|----------------|---------------|--------|--|---------------------------|---------------|--------------------------|
| ВТ-120-3000 | 130 | 250 | 520 | 90 | РЗВ-41В | 395 | 2,8 |
| ВТ-170-3000 (для ТВС-30 и ТВ-50-2) | 170 | 230 | 740 | 90 | РЗВ-41В | 785 | 5,2 |
| ВТ-170-3000 (для ТВ-60-2) | 190 | 250 | 760 | 90 | РЗВ-41В | 785 | 5,2 |
| ВТ-300-3000 (для ТВ2-100-2) | 300 | 400 | 750 | 91,5 | РВМ-1Б | 875 | 8,8 |
| ВТ-300-3000 (для ТВ2-150-2) | 360 | 450 | 800 | 91,7 | РВМ-1Б | 875 | 8,8 |

Таблица 3-7

Газоохладители генераторов серии ТВ (технические данные)

| Тип газоохладителя | Тип газоохладителя | Тепло, отводимое в газоохладителе и эквивалентное мощности, кват | Расход воды, м ³ /ч | Разность водяного напора, м вод. ст. | Расход газа, м ³ /сек | Разность давления газа, мм вод. ст. | Число секций | Общий вес газоохладителя без воды, т | Пробное гидравлическое давление, кГ/см ² |
|--------------------|--------------------|--|--------------------------------|--------------------------------------|----------------------------------|-------------------------------------|--------------|--------------------------------------|---|
| ОГП-30 | 470 | 200 | 5 | 16 | 6 | 4,1 | 4 | 6,7 | 6 |
| ОГП-50 | 750 | 200 | 4 | 30 | 8,5 | 5,5 | 6 | 5,5 | 6 |
| ОГП-60 | 816 | 200 | 8 | 30 | 17 | 10,8 | 8 | 10,8 | 8 |
| ОГП2-100 | 1 050 | 400 | 5 | 45 | 12 | 15,8 | 8 | 15,8 | 8 |
| ОГП2-150 | 1 350 | 640 | 6 | 60 | 12 | — | — | — | — |

Таблица 3-8

Расход и давление масла в подшипниках и уплотнениях генератора серии ТВ и возбудителей серии ТВ и ТВ

| Тип генератора | Расход масла, л/мин | | | | Давление масла, кГ/см ² |
|----------------|----------------------------|-------------------------|---------------------------|-------|------------------------------------|
| | на уплотнения обеих сторон | на подшипник генератора | на подшипники возбудителя | всего | |
| ТВ2-30-2 | 40 | 120 | 10 | 170 | 0,3—0,5 |
| ТВС-30 | 50 | 120 | 24 | 194 | 0,3—0,5 |
| ТВ-50-2 | 40 | 160 | 24 | 224 | 0,3—0,5 |
| ТВ-60-2 | 60 | 160 | 24 | 244 | 0,3—0,5 |
| ТВ2-100-2 | 50 | 300 | 24 | 374 | 0,3—0,5 |
| ТВ2-150-2 | 70 | 300 | 24 | 394 | 0,3—0,5 |
| ТВВ-200-2 | 80 | 300 | 50 | 430 | 0,3—0,5 |

Примечание. Давление масла в уплотнениях генератора типа ТВ-60-2 равно 1,3—1,5 кГ/см²; в уплотнениях генератора типа ТВ-150-2 соответственно 1,0—1,2 кГ/см².

электротехнической стали толщиной 0,5 мм.

Число выводов у генераторов этой серии — двенадцать, за исключением генераторов типов ТВ2-30-2 и ТВС-30, у которых число выводов равно шести.

Для охлаждения водорода в корпусе генераторов вертикально (в генераторы типов ТВ-50-2 и ТВ-60-2 — горизонтально) встроены газоохладители. Циркуляция охлаждающего га-

за в генераторах осуществляется по-средством вентиляторов, укрепленных с обоими концами ротора: центробежных — у генераторов типов ТВ-30-2, ТВ-50-2 и ТВ-60-2 и пропеллерных — у генераторов типов ТВС-30, ТВ2-100-2 и ТВ2-150-2.

Генераторы выполнены с подшипниками скольжения, смазка осуществляется принудительно, от масляной системы турбины. Подшипник со сто-

роны возбудителя электрически изолирован от фундаментной плиты и маслопроводов.

Для предотвращения утечки водорода из корпуса генератора на роторе имеются масляные уплотнения. Масло к уплотнителям подается от маслонной системы турбины в кольцевую щель уплотнения вкладыша под давлением 0,3—0,5 кГ/см² (в уплотнение генератора типа ТВ-60-2 масло подается под давлением 1,3—1,5 кГ/см², а в уплотнение генератора типа ТВ2-150-2 под давлением 1—1,2 кГ/см²).

Генераторы этой серии снабжаются возбудителями серии ВТ и ВГТ с замкнутой системой вентиляции и охлаждением воздуха или газа в воздухо- или газоохладителях. Воздухоохладители и фильтр для очистки воздуха встроены в фундаментную раму. Якорь возбудителя с ротором генера-

тора соединяется упругой муфтой с ленточной пружиной (в генераторах типов ТВС-30 и ТВ-60-2 соединение якорей возбудителей с роторами генераторов осуществляется посредством гибких валиков).

Газоохладители состоят из четырех, шести или восьми секций, соединенных по газу и воде параллельно. Трубки, по которым течет охлаждающая вода, с воздушной стороны имеют развитую поверхность за счет навитых на них медных спиралей; трубы завальцованны в трубные доски. Движение воды и газа в газоохладителях осуществляется по принципу противотока.

Технические данные по генераторам серии ТВ, возбудителям и газоохладителям представлены в табл. 3-5; 3-6 и 3-7. Данные о расходе и давлении масла на подшипники генераторов и возбудителей даны в табл. 3-8.

ГЛАВА ЧЕТВЕРТАЯ

ДЕАЭРАТОРЫ, РЕГЕНЕРАТИВНЫЕ ПОДОГРЕВАТЕЛИ, ИСПАРИТЕЛЬНЫЕ И ПАРОПРЕОБРАЗОВАТЕЛЬНЫЕ УСТРОЙСТВА

4-1. ДЕАЭРАТОРЫ

Деаэраторы предназначены для удаления газов из питательной воды. Принцип работы деаэратора заключается в нагреве питательной воды до температуры кипения в деаэрационной колонке и вентиляции ее газового пространства. Вода, поступающая на деаэрацию, через штуцера вводится в смесительное устройство, расположенное в верхней части колонки. Стекая вниз, она распыляется в смесительном устройстве, что облегчает выделение газов при ее вскипании. Снизу, на встречу воде, через штуцера деаэрационной колонки подается пар. Количество греющего пара выбирается с таким расчетом, чтобы нагреть питательную воду до температуры кипения и вместе с оставшейся небольшой частью пара удалить газ из колонки. Парогазовая смесь из деаэрационной колонки обычно поступает в охладители высокого давления.

Деаэрационная питательная вода

поступает в аккумулятор деаэратора, емкость которого служит резервом и используется в аварийных случаях; она рассчитана на работу турбоустановки при максимальном режиме продолжительностью не менее 20 мин.

В турбоустановках малой мощности применяются вакуумные деаэраторы с давлением 0,5 ата и атмосферные — с давлением 1,2 ата; производительность вакуумных деаэраторов 5—25 т/ч, а атмосферных ≥ 10 т/ч. Для турбоустановок большой мощности применяют деаэраторы атмосферного давления производительностью до 300 т/ч и повышенного давления (6 и 7 ата) производительностью 100—500 т/ч.

Емкость аккумулятора (бака) деаэратора для накопления деаэрированной воды рассчитывается по полезному водяному объему. Соотношения между производительностью деаэрационной колонки и емкостью бака приведены в табл. 4-1; там же приведены технические данные деаэраторов.

Таблица 4-1

Деаэраторы (технические данные)

| Тип деаэратора | Номинальная производительность, т/ч | Рабочее давление, ата | Полезная емкость бака-аккумулятора, м ³ |
|--|--|-----------------------|--|
| ДСВ-5 ДСВ-10 ДСВ-15 ДСВ-25 | 5 10 15 25 | 0,5 | 4 7,5 10 15 |
| ДСА-10 ДСА-25 ДСА-50 ДСА-75 ДСА-100 ДСА-150 ДСА-200 ДСА-300 | 10 25 50 75 100 150 200 300 | 1,2 | 7,5 15 25 35 50 75 75 75 |
| ДСП-112 ДСП-160 ДСП-225 ДСП-315 ДСП-400 | 112 160 225 315 400 | 6 | 50 75 75 100 100 |
| ДСП-500 | 500 | 7 | 120 |

4-2. РЕГЕНЕРАТИВНЫЕ ПОДОГРЕВАТЕЛИ НИЗКОГО И ВЫСОКОГО ДАВЛЕНИЯ

Регенеративные подогреватели предназначаются для ступенчатого подогрева питательной воды за счет использования скрытого тепла при конденсации пара, отбираемого из промежуточных ступеней турбины. Греющий пар поступает в подогреватели, омывая поверхность пучка труб, по которым проходит питательная вода. Конденсат греющего пара каскадно из подогревателя с более высоким давлением греющего пара стекает в предыдущий по ходу питательной воды подогреватель, обогреваемый паром из последующего отбора турбины. Конденсат греющего пара из группы подогревателей высокого давления ПВД обычно направляется в деаэратор, а из группы подогревателей низкого давления отводится в конденсатор или возвращается в трубопровод основного конденсата специальным перекачивающим насосом.

Слив конденсата греющего пара из подогревателей осуществляется автоматически через конденсатоотводчики,

снабженные поплавковыми регуляторами или при помощи электронных регуляторов.

На случай разрыва трубок или появления свищ в трубной системе предусматривается автоматическое защитное устройство, перепускающее питательную воду помимо подогревателя. Электронная защита предусматривается для блока подогревателей, отключая его в случае нарушения нормальной работы одного из подогревателей блока. ПВД снабжаются защитным устройством, предназначенным для защиты турбины от попадания воды в случае разрыва трубок подогревателя или появления свищ в трубной системе.

На рис. 4-1 приведен разрез подогревателя низкого давления типа ПН-130-5. Технические данные подогревателей низкого давления даны в табл. 4-2.

На рис. 4-2 показан разрез подогревателя высокого давления типа ПВ-350/230. Технические данные подогревателей высокого давления приведены в табл. 4-3.

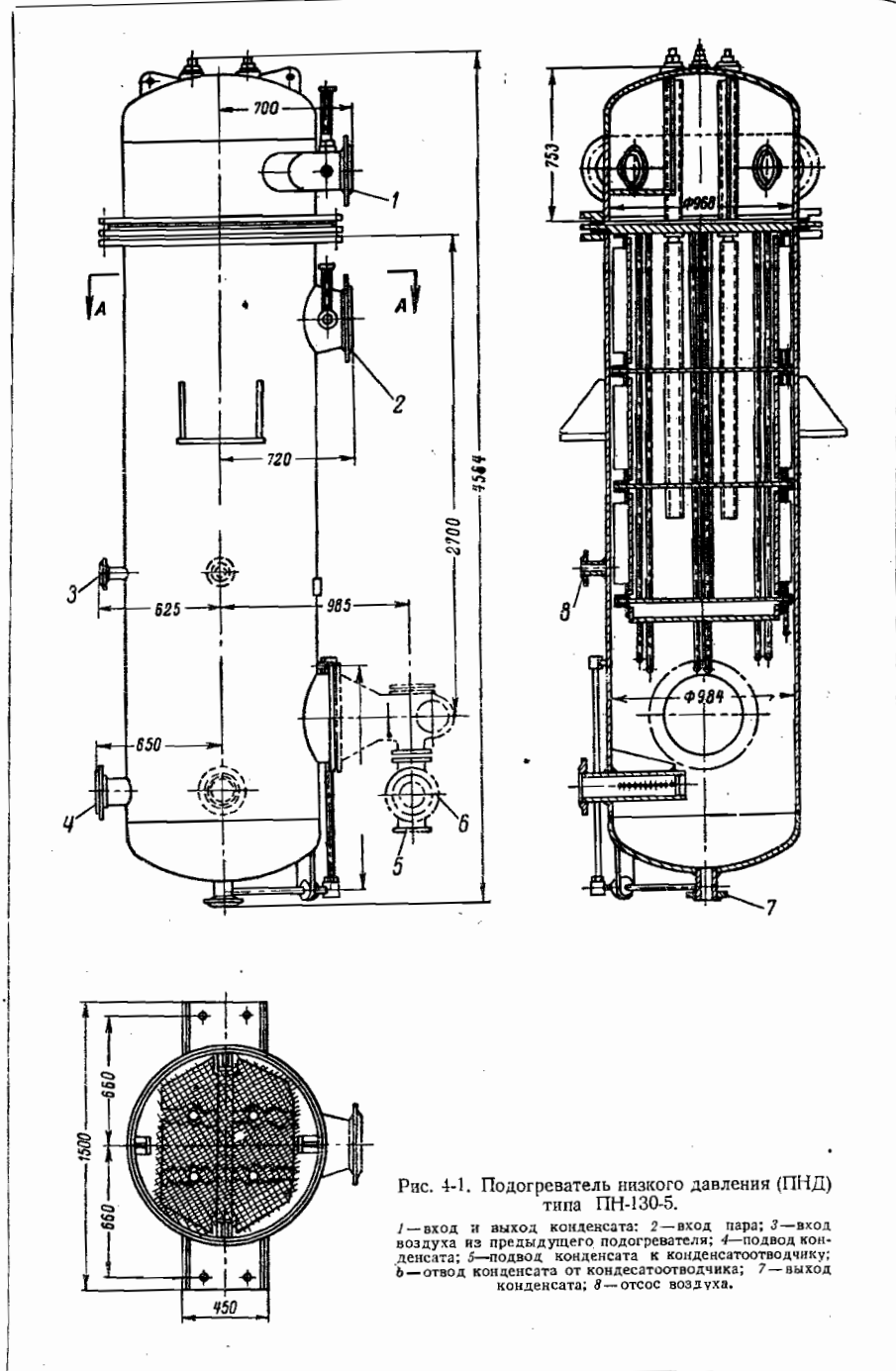


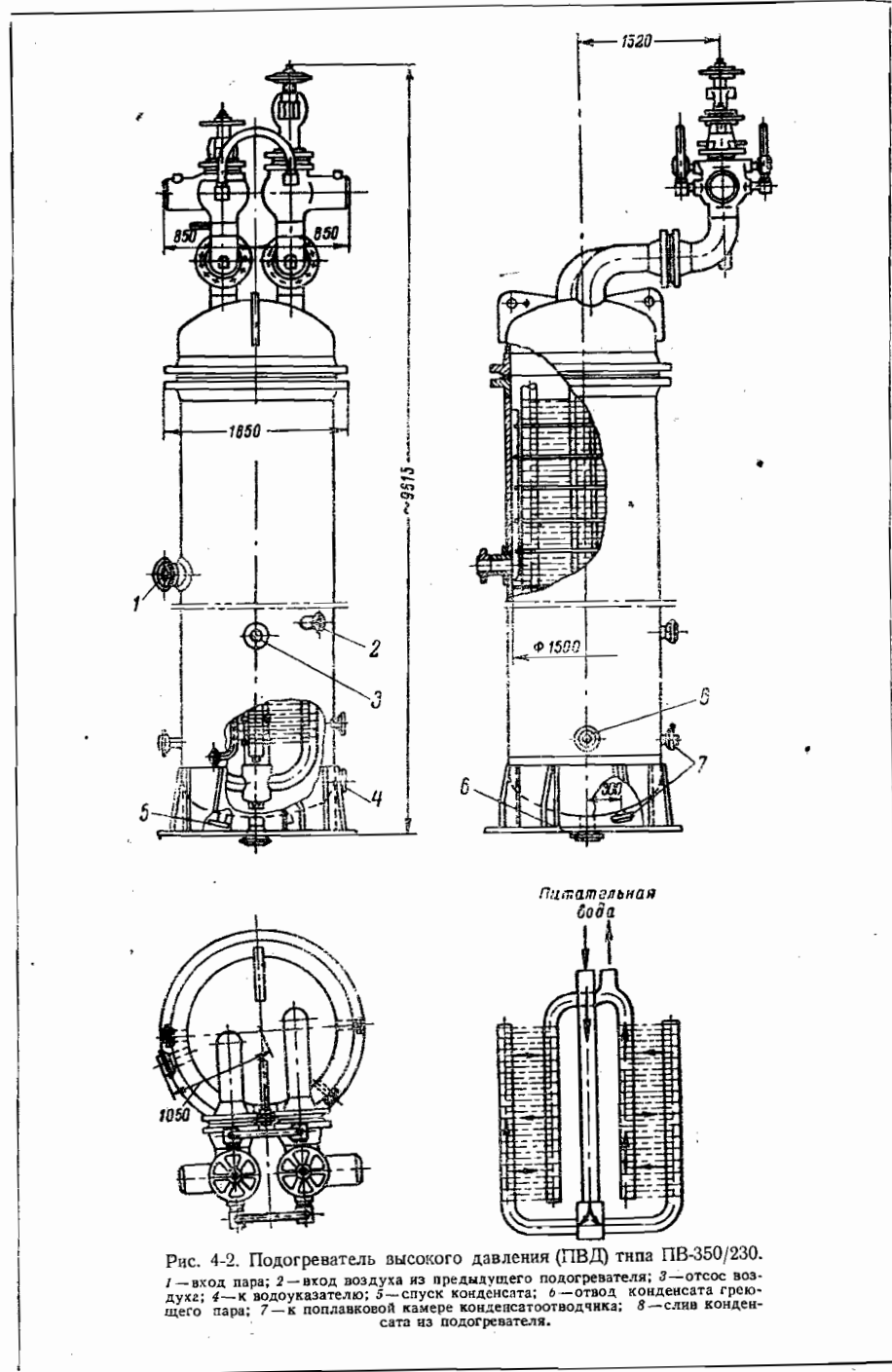
Рис. 4-1. Подогреватель низкого давления (ПН) типа ПН-130-5.

1—вход и выход конденсата; 2—вход пара; 3—вход воздуха из предыдущего подогревателя; 4—подвод конденсата; 5—подвод конденсата к конденсатоотводчику; 6—отвод конденсата от конденсатоотводчика; 7—выход конденсата; 8—отсос воздуха.

Таблица 4-2

Подогреватели низкого давления (технические данные)

| Тип подогревателя | Завод-изготовитель | Число ходов воды | Диаметр трубы, мм | Пробное гидравлическое давление, кг/см ² | | Вес, т |
|-------------------|--------------------|------------------|-------------------|---|--|--------|
| | | | | Максимальная температура воды на выходе, °С | Гидравлическое сопротивление, кг/см ² | |
| ПН-2 | КТЗ | 1,95 | 75 | ~4 | ~4 | 0,21 |
| ПН-4 | КТЗ | 3,76 | 70 | 19/17 | 2/2 | 0,3 |
| ПН-5,5 | КТЗ | 5,9 | 63 | 22/20 | 2/2 | 0,39 |
| ПН-13 | КТЗ | 13,4 | 53 | — | 0,7 | — |
| ПН-30-В-1 | СЭТМ | 30 | 100 | 19/17 | 5/5 | 0,9 |
| ПНД-40 | БМЗ | 40 | 50 | 16/15 | 2/2 | 2,5 |
| ПН-65-1 | СЭТМ | 65 | 4 | 140 | 257 | 2,0 |
| ПН-65-2 | СЭТМ | 65 | 4 | 85 | 257 | 2,0 |
| ПН-65-3 | УТМ3 | 65 | 4 | 75 | 12 | 2,0 |
| ПН-65-3А | СЭТМ | 65 | 6 | 0,05 | 15 | 3,6 |
| ПН-65-4 | УТМ3 | 65 | 4 | 95 | 12 | 2,0 |
| ПН-65-4А | УТМ3 | 65 | 6 | 150 | 12 | 3,2 |
| ПН-90 | СЭТМ | 80 | 6 | — | 15 | 3,6 |
| ПН-90М | СЭТМ | 90 | 6 | 121 | 7 | 3,6 |
| ПН-100-1М | СЭТМ | 100 | 6 | 110 | 15 | 4,2 |
| ПН-100-2М | СЭТМ | 100 | 6 | 314 | 4 | 4,2 |
| ПНД-100 | УТМ3 | 100 | 6 | — | 65 | 2,8 |
| ПНД-100-1 | СЭТМ | 100 | 6 | 125 | 13 | 6,5 |
| ПН-130 | СЭТМ | 130 | 6 | — | 130 | 2,5 |
| ПН-130-1М | СЭТМ | 130 | 6 | 45 | 70 | 4,9 |
| ПН-130-2М | СЭТМ | 130 | 6 | 135 | 5,5 | 4,9 |
| ПН-130-2,1М | СЭТМ | 130 | 6 | 80 | 15 | 4,0 |
| ПН-130-3М | СЭТМ | 130 | 6 | 170 | 8 | 7,5 |
| ПН-130-4М | СЭТМ | 130 | 6 | 135 | 15 | 7,5 |
| ПН-130-5М | СЭТМ | 130 | 6 | 7 | 15 | 4,0 |
| ПН-130-6М | УТМ3 | 130 | 6 | 170 | 230 | 6 |
| ПНД-130 | УТМ3 | 130 | 6 | 8 | 150 | 3,1 |
| ПН-200 | СЭТМ | 200 | 6 | 198 | 10 | 6,4 |
| ПН-200-1М | СЭТМ | 200 | 6 | — | 9 | 7,4 |
| ПН-200-2М | СЭТМ | 200 | 6 | 310 | 7 | 6,2 |
| ПН-200-2,1М | СЭТМ | 200 | 6 | 330 | 8 | 6,2 |
| ПН-200-3 | СЭТМ | 200 | 6 | 362 | 7 | 6,2 |
| ПН-200-4 | СЭТМ | 200 | 6 | 362 | 7 | 6,2 |
| ПН-200-5 | СЭТМ | 200 | 6 | 362 | 7 | 6,2 |
| ПН-200-6 | СЭТМ | 200 | 6 | 362 | 7 | 6,2 |
| ПНД-200-1 | УТМ3 | 200 | 6 | — | 1,5 | 10,7 |
| ПНД-200-2 | СЭТМ | 200 | 6 | — | 2,5 | 5,5 |
| ПНД-250-1М | СЭТМ | 250 | 6 | 270 | 0,5 | 5,4 |
| ПНД-250-2М | СЭТМ | 250 | 6 | 80 | 5,5 | 10,5 |
| ПНД-250-3М | СЭТМ | 250 | 4 | 375 | 0,65 | 4,6 |
| ПНД-250-4М | СЭТМ | 250 | 4 | 254 | 130 | 5,6 |
| ПНД-250-5М | СЭТМ | 250 | 4 | 396 | 3,6 | 10,1 |
| ПНД-250-6М | УТМ3 | 250 | 4 | 366 | 3,22 | 11,9 |
| ПНД-250-1 | УТМ3 | 250 | 6 | — | 250 | 4,5 |
| ПНД-250-2 | СЭТМ | 250 | 6 | 5 | 250 | 5,9 |
| ПНД-300-1 | СЭТМ | 300 | 2 | 388 | 130 | 6,5 |
| ПНД-300-2 | СЭТМ | 300 | 5 | 477 | 160 | 12,5 |
| | | | | | | 10,8 |



Подогреватели высокого давления (технические данные)

| Тип подогревателя | Гидравлическое сопротивление, м² | Часо-ходов воды | Диаметр трубок, мм | Продольное гидравлическое давление, кг/см² | | Вес, т |
|-------------------|----------------------------------|-----------------|--------------------|--|-----------------------------------|--------|
| | | | | Максимальная температура пара, °С | Максимальная температура воды, °С | |
| ПВ-6 | 5,6 | 10,5 | 25/21 | 4 | 69 | 7,5 |
| ПВ-10 | 10,22 | 18,1 | 25/21 | 8 | 69 | 7,5 |
| ПВ-15 | 14,5 | 28 | 60,2 | 55 | 69 | 7,5 |
| ПВ-20 | 30 | — | — | 64 | 30/25 | 8,25 |
| ПВ-30 | 60 | — | — | 64 | 30/25 | 0,27 |
| ПВ-60-3 | 60 | — | — | 59 | 16/13 | 0,31 |
| ПДЛ-100 | 100 | 6 | 15 | 175 | — | — |
| ПВ-120/180 № 1 | 120 | 3 | 106 | 19,5 | 200 | 10,79 |
| ПВ-120/180 № 2 | 120 | 3 | 106 | 19,5 | 230 | 10,79 |
| ПВ-150/180 № 1 | 150 | 1 | 187 | 20 | 180 | 10,79 |
| ПВ-150/180 № 2 | 150 | 1 | 187 | 20 | 230 | 10,79 |
| ПВ-200/180 № 1 | 200 | 3 | 200 | 23,5 | 180 | 10,79 |
| ПВ-200/180 № 2 | 200 | 3 | 200 | 23,5 | 230 | 10,79 |
| ПВ-250/180 № 1 | 250 | 2 | 363 | 25 | 12 | 10,79 |
| ПВ-250/180 № 2 | 250 | 2 | 363 | 25 | 250 | 10,79 |
| ПВ-250/180 № 3 | 250 | 2 | 363 | 25 | 250 | 10,79 |
| ПВ-350/230 № 6 | 350 | 2 | 375 | 28 | 21 | 10,79 |
| ПВ-350/230 № 7 | 350 | 2 | 375 | 28 | 230 | 10,79 |
| ПВ-350/230 № 8 | 350 | 2 | 375 | 28 | 250 | 10,79 |
| ПВ-250/180 № 1 | 250 | 2 | 504 | 13,3 | 250 | 10,79 |
| ПВ-250/180 № 2 | 250 | 2 | 504 | 22,6 | 250 | 10,79 |
| ПВ-250/180 № 3 | 250 | 2 | 504 | 35 | 250 | 10,79 |
| ПВ-425/230 № 6 | 425 | 2 | 504 | 100,3 | 250 | 10,79 |
| ПВ-425/230 № 7 | 425 | 2 | 504 | 12 | 250 | 10,79 |
| ПВ-425/230 № 8 | 425 | 2 | 504 | 137,5 | 250 | 10,79 |
| ПВ-425/230 № 1 | 425 | 2 | 504 | Блока | 250 | 10,79 |
| ПВ-425/230 № 2 | 425 | 2 | 504 | Блока | 250 | 10,79 |
| ПВ-425/230 № 3 | 425 | 2 | 504 | Блока | 250 | 10,79 |
| ПВ-480/230 № 1 | 480 | 2 | 582 | 12 | 250 | 10,79 |
| ПВ-480/230 № 2 | 480 | 2 | 582 | 26 | 250 | 10,79 |
| ПВ-480/230 № 3 | 480 | 2 | 582 | 38 | 250 | 10,79 |

Таблица 4-4

Возможная величина восполнения химически очищенной водой (дистиллятом)
потерь конденсата из цикла электростанции

| Исходные показатели | Число ступеней испарительной установки | | | | | |
|--|--|------|------|------|------|------|
| | 1 | 2 | 3 | 4 | 5 | 6 |
| Давление грекущего пара первой ступени (при давлении в конденсаторе выпара последней ступени 0,93 атм), атм | 1,55 | 2,5 | 3,9 | 5,8 | 8,5 | 12,0 |
| Возможная величина добавки дистиллята в % от расхода питательной воды | 10 | 18 | 25 | 32 | 38 | 44 |
| Суммарная относительная производительность всех ступеней по дистилляту на 1 т грекущего пара первой ступени, м/т | 0,87 | 1,67 | 2,40 | 3,10 | 3,73 | 4,29 |

Таблица 4-5

Испарительные установки (технические данные)

| Тип испарительной установки | Завод-изготовитель | Производительность одного корпуному пару, м³/ч | Параметры пара | | Поверхность нагрева однай ступени, м² | Пробное гидравлическое давление, кГ/см² | Вес, т |
|-----------------------------|--------------------------------------|--|----------------|---------|---------------------------------------|---|-----------|
| | | | Греющей секции | корпуса | | | |
| ИСВ-120 | Комега* | 8,5—7,5 | 9,0 | 250 | 5,0 | 150 | 12,0 |
| ИСВ-250 | Комега* | 15,0 | 4,0 | — | 3,0 | Насыщенный 250 | 4,5 |
| ИСВ-300 | ТКЗ | До 45,0* | 21,0 | 300 | 9,0 | 174,0 | 30,0 |
| ИСВ-350 | БМЗ | 10,6 | 3,2 | — | — | 350 | 12,0 |
| ИСВ-585-1 (1—3 секции) | ТКЗ | 20—18 | 13,5 | 250 | 9,8 | 190 | 40,5/93,3 |
| ИСВ-585-2 (4—6 секций) | ТКЗ | 17—13** | 4,5 | 161,2 | 3,5 | 147,2 | 585 |
| ИСВ-680 | Черновицкий машиностроительный завод | 6,8 | 1,2 | — | — | 680 | 6,0 |
| И-150-8 | Черновицкий машиностроительный завод | 18,0 | 9,0 | 250 | 5,0 | 150 | 11,0 |

* Производительность двух ступеней испарения 90 м³/ч при 18/1,2 атм.

** При установке шести ступеней производительность 100 м³/ч.

Таблица 4-6

Испарительные установки промышленного назначения (технические данные)

| Тип испарителя | Производительность установки по вторичному пару, м³/ч | Давление пара, атм | | Поверхность охлаждения одной ступени, м² | Число ступеней испарения в установке | Вес одного корпуса ступени без воды, т |
|----------------|---|--|---|--|--------------------------------------|--|
| | | первичного (на входе в первую ступень) | вторичного (на выходе из последней ступени) | | | |
| ИСВ-300-1 | 1,2 | 90 | 18,0 | 300 | 2 | 31,5 |
| ИСВ-300-2 | 1,2 | 90 | 18,0 | 300 | 2 | 31,0 |
| ИСВ-585-1 | 1,2 | 100 | 13,0 | 585 | 6 | 38,4 |
| ИСВ-585-2 | 1,2 | 100 | 13,0 | 585 | 6 | 32,65 |
| ИСВ-965 | 1,2 | 18 | 2,0 | 965 | 1 | 52,5 |

Примечания: 1. Конструкция испарителя—вертикальный стальной цельносварной со стальными сварными трубками, завальцованными в трубные доски греющей секции.

2. Каждый корпус испарителя оборудован пеноизмывочным устройством питания.

3. Питание испарителя—химически очищенная, дезаргированная вода.

4. Трубки д 38/33 мм выполнены из углеродистой стали.

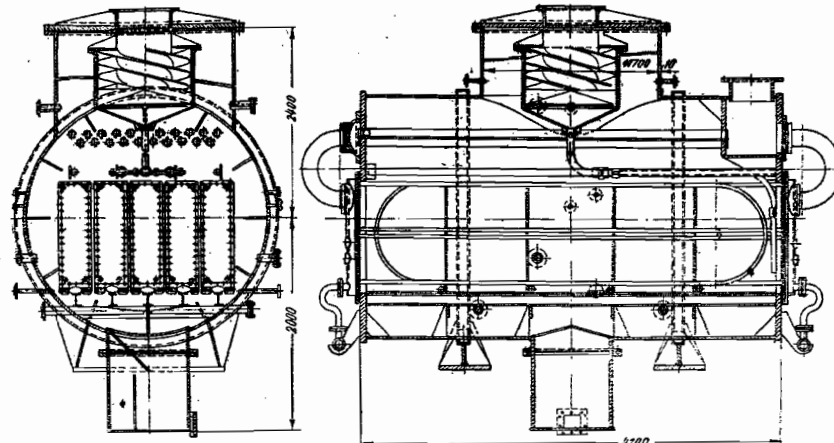


Рис. 4-3. Горизонтальный паротрубный испаритель.

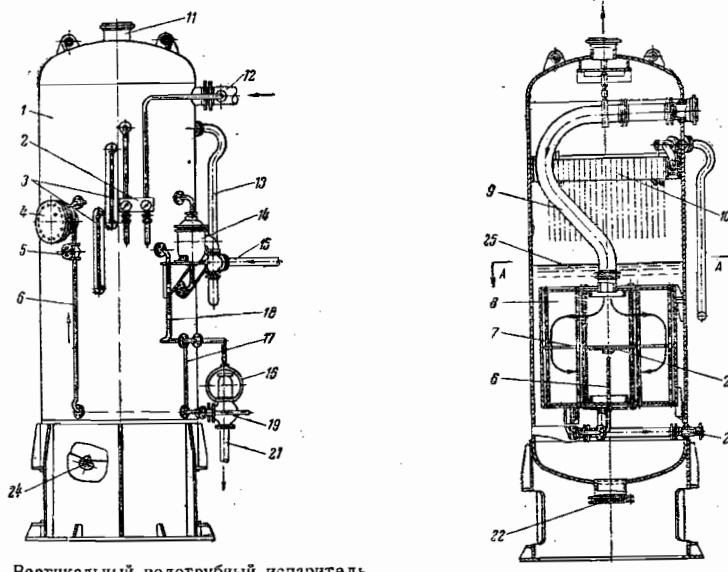


Рис. 4-4. Вертикальный водогорячий испаритель.

1—корпус вторичного пара; 2—щит с манометрами; слева—давление вторичного пара, справа—давление первичного пара; 3—указатель уровня химически очищенной воды в корпусе; 4—лаз; 5—клапан для регулировки отсоса воздуха из 8 в 1; 7—перегородка; 8—греющая секция первичного пара; 9—труба первичного пара; 10—перегородка греющей секции; 11—патрубок отвода вторичного пара; 12—подводящий паропровод первичного пара; 13—трубопровод химически очищенной воды; 14—поплавковый регулятор питания типа ПР-80; 15—подводящий трубопровод химически очищенной воды; 16—поплавковый конденсатоотводчик типа К-10-100-11; 17—указатель уровня конденсата; 18—уравнительная паровая трубка из поплавковой камеры 16 и водонапорного бака 17 в нижний отсек греющей секции 8; 19—уравнительная водяная трубка из поплавковой камеры; 20—сливная трубка конденсата первичного пара; 21—отводящий трубопровод конденсата первичного пара; 22 и 23—лазы; 24—спускной патрубок для присоединения всасывающего трубопровода гравезому насосу и для опорожнения корпуса 1; 25—уровень химически очищенной воды (зеркало испарения).

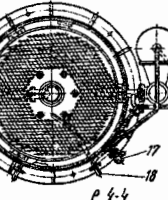


Рис. 4-4

4-3. ИСПАРИТЕЛЬНЫЕ И ПАРОПРЕОБРАЗОВАТЕЛЬНЫЕ УСТРОЙСТВА

Испарительные устройства предназначаются для восполнения потерь конденсата и представляют собой теплообменники поверхностьюного типа.

На электростанциях среднего давления применяются паротрубные испарители горизонтального типа производительностью в одном корпусе до 10 т/ч.

На теплоэлектроцентралях с большими потерями конденсата у внешних потребителей тепла и на электростанциях высокого и сверхвысокого давления с турбоустановками большой единичной мощности применяют водотрубные испарители вертикального типа производительностью до 45 т/ч.

В паротрубных испарителях горизонтального типа первичный греющий пар проходит через горизонтально расположенные трубы, отдавая тепло перегрева и скрытое тепло парообразования на нагрев и образование вторичного пара из химически очищенной воды.

На рис. 4-3 показан горизонтальный паротрубный испаритель; верти-

кальный водотрубный испаритель представлен на рис. 4-4.

В зависимости от величины добавки (восполнения потерь конденсата) применяют одно-, двух- или многоступенчатые (до шести ступеней) испарительные установки [Л. 1, 2 и 8]; последние применяются на теплоэлектроцентралях с большими потерями конденсата на производстве.

Кondенсация вторичного пара (выпара) испарителя может осуществляться в специальных конденсаторах-охладителях, конденсаторах-испарителях, в регенеративных подогревателях или в деаэраторах. На рис. 4-5 представлены различные схемы включения испарителей в тепловые схемы турбоустановок.

На рис. 4-5, а дана схема включения одноступенчатой испарительной установки с конденсацией вторичного пара в специальном предвключенном охладителе. Эта схема применяется на конденсационных электростанциях при небольших добавках дистиллята.

Схема двухступенчатой испарительной установки (рис. 4-5, б) с конденсацией вторичного пара второй ступени испарения в деаэраторе нашла

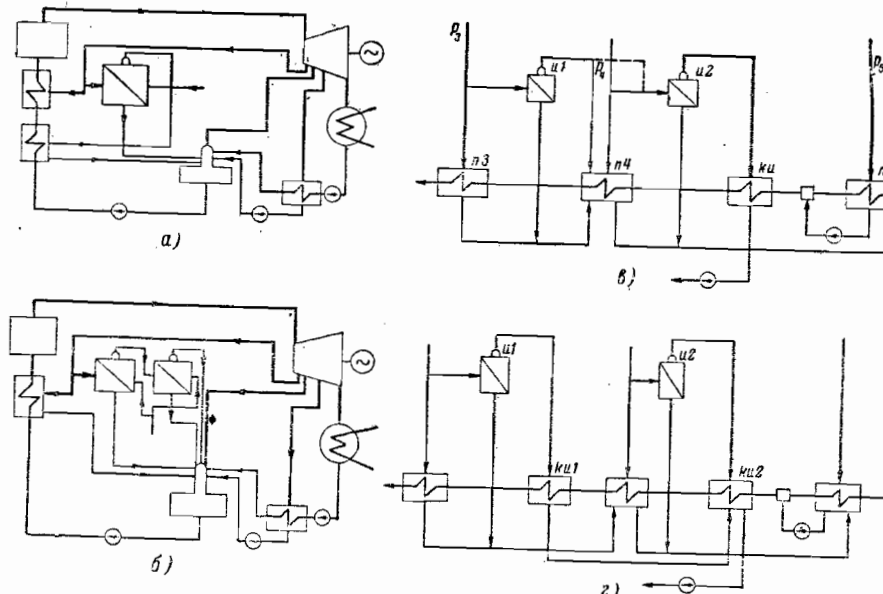


Рис. 4-5. Схема включения испарителей в тепловые схемы турбоустановок.

широкое применение на конденсационных станциях среднего давления.

Схема на рис. 4-5, в принята для типовых схем турбоустановок типов К-50-90 и К-100-90. Испаритель И2 с конденсацией вторичного пара в охладителе КИ является рабочим. Испаритель И1 с конденсацией вторичного пара в подогревателе П4 включается в работу при недогрузках турбины, когда потери от утечек в процентном отношении увеличиваются.

Схема на рис. 4-5, г с двумя комплектами одноступенчатых испарителей и специальными охладителями КИ1 и КИ2 принята для турбоустановок ЛМЗ типа СВК-150.

Число ступеней испарения определяется перепадом давления между

давлением греющего пара первой ступени и давлением в конденсаторе-охладителе последней ступени. Возможная величина восполнения химически очищенной водой (дистиллятом) потерь конденсата из цикла электростанции характеризуется данными табл. 4-4.

Технические данные испарительных установок электростанций приведены в табл. 4-5.

На ТЭЦ при ожидании больших потерь конденсата на предприятиях предусматриваются специальные паропреобразовательные установки промышленного назначения; технические данные по испарительным установкам промышленного назначения даны в табл. 4-6.

ГЛАВА ПЯТАЯ

МАСЛОСНАБЖЕНИЕ ТУРБОАГРЕГАТА

На рис. 5-1 показан пример системы смазки подшипников турбины типа К-100-90 (ВК-100-6). Системы смазки и регулирования представляют

собой единую систему маслоснабжения турбоагрегата. В схеме маслоснабжения предусмотрены: главный масляный насос центробежного типа, пуско-

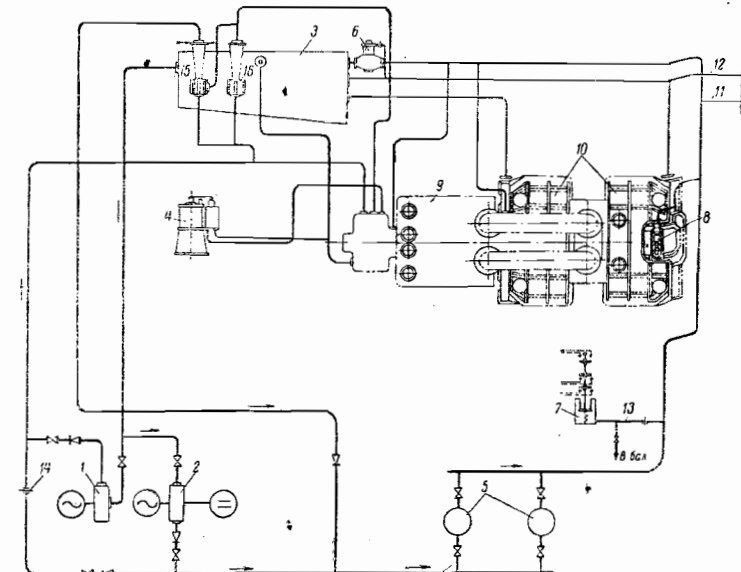


Рис. 5-1. Принципиальная схема смазки подшипников турбины типа К-100-90 (ВК-100-6).
1—пусковой насос с электроприводом переменного тока; 2—резервный (он же аварийный) насос с приводом от электродвигателя переменного тока; 3—маслоохладитель; 4—автоматический затвор; 5—маслоохладитель; 6—сливной клапан; 7—реле давления масла; 8—валоповоротное устройство; 9—ц. в. д. турбины; 10—сливной маслонапор; 11—маслопровод на смазку подшипников генератора и возбудителя; 12—диафрагма $d=8$ мм; 13—диафрагма $d=30$ мм; 14—инжектор для смазки подшипников; 15—инжектор для подвода масла на всасывание к главному масляному насосу.

Таблица 5-1

Маслоохладители (технические данные)

| Тип маслоохладителя | МП-21 | МП-37 | М-60 | МП-65 |
|--|-------|-------|-------|-------|
| Поверхность охлаждения, м ² | 21 | 37 | 60 | 65 |
| Рабочее давление, кГ/см ² | 3,3 | 3,3 | 5 | 3,3 |
| Пробное гидравлическое давление водяной и масляной системы, кГ/см ² | 5 | 5 | 8 | 5 |
| Диаметр трубок, мм | 16/14 | 16/14 | 19/17 | 19/17 |
| Длина трубок, мм | 1497 | 1497 | 2140 | 2570 |
| Число трубок | 290 | 510 | 513 | 434 |
| Вес трубок, кг | 138 | 245 | 950 | 876 |
| Вес маслоохладителя, т | 0,8 | 1,1 | 2,4 | 1,6 |

Примечание. Трубки выполнены из латуни марки Л-68.

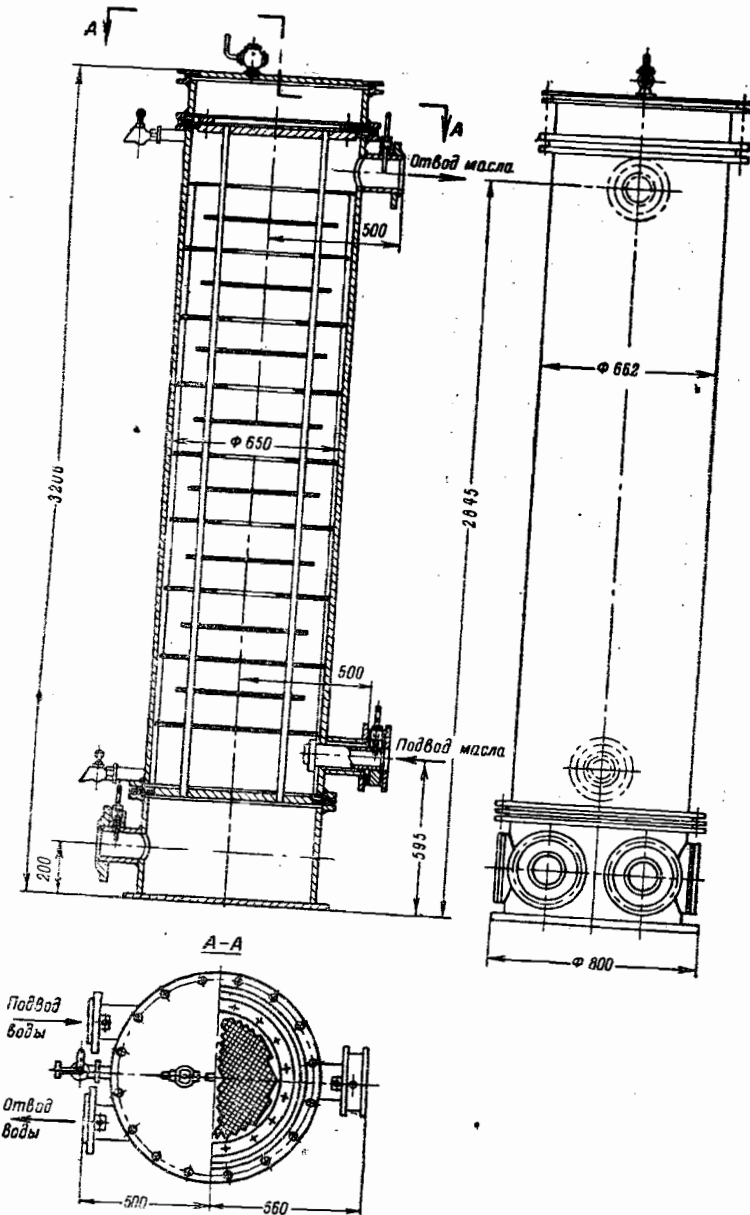


Рис. 5-2. Маслоохладитель типа МП-65 завода „Комега“.

вой насос с электроприводом производительностью 150 м³/ч, резервный насос с электроприводом переменного тока производительностью 126 м³/ч и аварийный насос с электроприводом постоянного тока. В данной турбоустановке применены резервный и аварийный насосы, представляющие собой единый блок на одном валу с двумя электроприводами переменного и по-

стоянного тока центробежного масляного насоса.

Технические данные маслоохладителей приведены в табл. 5-1. Конструкция маслоохладителя, применяемого в современных турбоустановках, представлена на рис. 5-2.

Технические характеристики маслонаполнения турбин представлены в табл. 5-2; 5-3; 5-4; 5-5 и 5-6.

ГЛАВА ШЕСТАЯ

ОБСЛУЖИВАНИЕ ТУРБИНЫ, ЭКОНОМИЧЕСКИЕ ПОКАЗАТЕЛИ РАБОТЫ ТУРБОУСТАНОВКИ И ТУРБИННОГО ЦЕХА

6-1. КОНТРОЛЬ ЗА РЕЖИМАМИ РАБОТЫ ТУРБИН

Надежность турбины зависит от рабочих параметров свежего и отработавшего пара, состояния проточной части, уплотнений диафрагм и концевых уплотнений роторов.

1. Рабочие лопатки регулирующих ступеней (турбин с сопловым парораспределением) рассчитываются на прочность от паровых усилий для режима с одним или двумя полностью открытыми регулирующими клапанами, если последние открываются одновременно или с очень малой перекрышией; рабочие лопатки и диафрагмы ступеней давлений рассчитываются на прочность для режима работы с максимальным расходом пара через ступени.

Для лопаток регулирующих ступеней опасными по условиям надежно-

сти оказываются режимы с одним или двумя полностью открытыми клапанами: при повышении давления свежего пара и давления в регулируемом отборе сверх расчетных значений; при работе турбины без лопаток последующей ступени и увеличении нерегулируемого отбора из камеры регулирующей ступени (для турбин без регулируемого отбора).

Увеличение нерегулируемого отбора из камеры регулирующей ступени возможно, если давление пара в последней выше давления, соответствующего режиму ее работы без отбора с одним или двумя (если оба клапана открываются одновременно) полностью открытыми регулирующими клапанами. В турбинах с нерегулируемыми отборами пара из камер регулирующих ступеней увеличение отборов возможно за счет увеличения пропускной способ-

Система маслонабжения конденсационных турбин (техническая характеристика)

| Тип турбины | К-4-35 (АК-4-1) | К-6-35 (АК-6-1) | К-25-50 (БК-25-1) | К-50-90 (БК-50-1) | К-50-90 (БК-50-3) | К-100-90 (БК-100-2) | К-100-90 (БК-100-6) | К-150-130 (БК-150) | К-200-130 (БК-200) |
|---|--------------------|--------------------|----------------------|----------------------|----------------------|------------------------|------------------------|-----------------------|-----------------------|
| Давление масла в системе регулирования, kg/cm^2 | 4—6 | 4—6 | 12 | 12 | 20 | 12 | 20 | 15 | 20 |
| Давление масла в системе смазки, kg/cm^2 | 0,5 | 0,5 | 0,4 | 0,6 | 0,8 | 0,6 | 1,0 | 1,7 | 1 |
| Тип главного масляного насоса | Зубчатый | Зубчатый | Турбинный | Турбинный | Центробежный | Винтовой | Винтовой | Центробежный | |
| Марка насоса | THM-6-20 | THM-6-20 | MT-12-150 | A.YP3-150 | MT-12-150 | A.YP3-150 | MT-12-150 | 6НДв×2 | A.YP3-300 |
| Производительность, $\text{m}^3/\text{ч}$ | 30 | 30 | 150 | 150 | 150 | 100 | 150 | 128 | 200 |
| Напор, м вод. ст. | 50 | 50 | 120 | 214 | 120 | 214 | 120 | 150 | 210 |
| Тип привода насоса | Турбинный | Турбинный | Г.А.М6-117-6 | Г.А.М6-117-6 | Турбинный | Г.А.М6-117-6 | Турбинный | МА-35-71/2 | А-104-6 |
| Мощность, кВт | — | — | 100 | 100 | 100 | 100 | 100 | 125 | 135 |
| Число оборотов в минуту | 7 000 | 7 000 | 4 000 | 4 000 | 4 000 | 4 000 | 4 000 | 3 000 | 2 050 |
| Марка насоса | THM-6-20 | THM-6-20 | MT-12-150 | A.YP3-150 | MT-12-150 | A.YP3-150 | MT-12-150 | 6НДв×2 | A.YP3-300 |
| Производительность, $\text{m}^3/\text{ч}$ | 30 | 30 | 150 | 150 | 150 | 100 | 150 | 128 | 200 |
| Напор, м вод. ст. | 50 | 50 | 120 | 214 | 120 | 214 | 120 | 150 | 210 |
| Тип электроприводителя | Турбинный | Турбинный | Г.А.М6-117-6 | Г.А.М6-117-6 | Турбинный | Г.А.М6-117-6 | Турбинный | МА-35-71/2 | А-104-6 |
| Мощность, кВт | — | — | 100 | 100 | 100 | 100 | 100 | 125 | 135 |
| Число оборотов в минуту | 7 000 | 7 000 | 4 000 | 4 000 | 4 000 | 4 000 | 4 000 | 3 000 | 2 050 |
| Марка насоса | THM-6-20 | THM-6-20 | MT-12-150 | A.YP3-150 | MT-12-150 | A.YP3-150 | MT-12-150 | 6НДв×2 | A.YP3-300 |
| Производительность, $\text{m}^3/\text{ч}$ | 30 | 30 | 150 | 150 | 150 | 100 | 150 | 128 | 200 |
| Напор, м вод. ст. | 50 | 50 | 120 | 214 | 120 | 214 | 120 | 150 | 210 |
| Тип электроприводителя | Турбинный | Турбинный | Г.А.М6-117-6 | Г.А.М6-117-6 | Турбинный | Г.А.М6-117-6 | Турбинный | МА-35-71/2 | А-104-6 |
| Мощность, кВт | — | — | 100 | 100 | 100 | 100 | 100 | 125 | 135 |
| Число оборотов в минуту | 7 000 | 7 000 | 4 000 | 4 000 | 4 000 | 4 000 | 4 000 | 3 000 | 2 050 |
| Марка насоса | THM-6-20 | THM-6-20 | MT-12-150 | A.YP3-150 | THM-6-20 | A.YP3-150 | THM-6-20 | 6НДв×2 | A.YP3-300 |
| Производительность, $\text{m}^3/\text{ч}$ | 30 | 30 | 150 | 150 | 150 | 100 | 150 | 128 | 200 |
| Напор, м вод. ст. | 50 | 50 | 120 | 214 | 120 | 214 | 120 | 150 | 210 |
| Тип электроприводителя | Турбинный | Турбинный | Г.А.М6-117-6 | Г.А.М6-117-6 | Турбинный | Г.А.М6-117-6 | Турбинный | МА-35-71/2 | А-104-6 |
| Мощность, кВт | — | — | 100 | 100 | 100 | 100 | 100 | 125 | 135 |
| Число оборотов в минуту | 7 000 | 7 000 | 4 000 | 4 000 | 4 000 | 4 000 | 4 000 | 3 000 | 2 050 |
| Марка насоса | P3-30 | P3-30 | 4НДв | 4НДв | P3-30 | 4НДв | P3-30 | 5НДв | 6НДв |
| Производительность, $\text{m}^3/\text{ч}$ | 10,8 | 10,8 | 90 | 90 | 90 | 110 | 110 | 126 | 160 |
| Напор, м вод. ст. | — | — | 25 | 25 | 25 | 22 | 22 | 30 | 31 |
| Тип электроприводителя | ПН-28,5 | ПН-28,5 | ПН-100 | ПН-100 | ПН-100 | ПН-100 | ПН-100 | ПН-145* | ПН-145 |
| Мощность, кВт | 1,6 | 1,6 | 12 | 12 | 12 | 12 | 12 | 21 | 21 |
| Число оборотов в минуту | 1 000 | 1 000 | 1 500 | 1 500 | 1 500 | 1 500 | 1 500 | 1 500 | 1 500 |
| Включение аварийного насоса происходит при падении давления смазки ниже $0,1 \text{ atm}$. | 0,25—0,30 | 0,25—0,30 | 0,2 | 0,2 | 0,5 | 0,5 | 0,5 | 1,0 | 0,9 |
| Число оборотов в минуту | 3 | 3 | 2 | 2 | 2 | 4 | 4 | 4 | 3 |
| Число оборотов в минуту | 2 | 2 | 1,5 | 1,5 | 16 | 16 | 16 | 17 | 18,5** |
| Емкость маслобаков системы, m^3 | — | — | — | — | — | — | — | — | 30 |

* Работает в блоке с резервным насосом.

** Работает емкость масляного бака.

При монтаже. При полной нагрузке турбины для чистки может быть отключен только один маслоохладитель.

Система маслонабжения турбин с теплофикационным отбором пара (техническая характеристика)

| Тип турбины | T-4-35 (АТ-4) | T-6-35 (АТ-6) | T-8-35 (АТ-8) | T-12-35 (АТ-12) | T-25-30 (БТ-25-34) | T-25-30 (БТ-25-35) | T-50-30 (БТ-30-1) | T-100-30 (БТ-100-1) |
|---|------------------|------------------|------------------|--------------------|-----------------------|-----------------------|----------------------|------------------------|
| Давление масла в системе регулирования, kg/cm^2 | 4—6 | 4—6 | 4—6 | 8 | 12 | 12 | 14 | 14 |
| Давление масла в системе смазки, kg/cm^2 | 0,5 | 0,5 | 0,5 | 0,5 | 0,4 | 0,5 | 0,5 | 0,6—0,8 |
| Тип главного масляного насоса | Зубчатый | Зубчатый | Зубчатый | Центробежный | Винтовой | Винтовой | Центробежный | |
| Марка насоса | THM-6-20 | THM-6-20 | THM-6-20 | THOM-100-1 | THM-12-150 | 6МС6×5 | 8МС7×4 | 8МС7×4 |
| Производительность, $\text{m}^3/\text{ч}$ | 30 | 30 | 30 | 60 | 150 | 225 | 300 | 300 |
| Напор, м вод. ст. | 50 | 50 | 50 | 21 | 120 | 100 | 114,4 | 240 |
| Тип приводителя | Турбинный | Турбинный | Турбинный | 4 500 | 4 000 | 1 450 | 320 | 12 |
| Мощность, кВт | — | — | — | — | — | — | 1 480 | 1 480 |
| Число оборотов в минуту | 7 000 | 7 000 | 7 000 | — | — | — | — | — |
| Марка насоса | P3-30 | P3-30 | ЭК-9 | 4НДв | 4НДв | 4НДв | 4НДв* | 5НДв |
| Производительность, $\text{m}^3/\text{ч}$ | 10,8 | 10,8 | 10,8 | 35 | 90 | 90 | 90 | 150 |
| Напор, м вод. ст. | — | — | 7 | 22,5 | 25 | 25 | 25 | 28 |
| Тип приводителя | ПН-28,5 | ПН-28,5 | ПН-28,5 | ПН-28,5 | ПН-100 | ПН-100 | ПН-100 | ПН-145 |
| Мощность, кВт | 1,6 | 1,6 | 1,6 | 5,3 | 12 | 12 | 12 | 21 |
| Число оборотов в минуту | 1 000 | 1 000 | 1 000 | 2 800 | 1 500 | 1 500 | 1 500 | 1 550 |
| Марка насоса | Р3-30 | Р3-30 | ЭК-9 | 4НДв | 4НДв | 4НДв* | 4НДв* | 5НДв |
| Производительность, $\text{m}^3/\text{ч}$ | 10,8 | 10,8 | 10,8 | 35 | 90 | 90 | 90 | 150 |
| Напор, м вод. ст. | — | — | 7 | 22,5 | 25 | 25 | 25 | 28 |
| Тип приводителя | ПН-28,5 | ПН-28,5 | ПН-28,5 | ПН-28,5 | ПН-100 | ПН-100 | ПН-100 | ПН-145 |
| Мощность, кВт | 1,6 | 1,6 | 1,6 | 5,3 | 12 | 12 | 12 | 21 |
| Число оборотов в минуту | 1 000 | 1 000 | 1 000 | 2 800 | 1 500 | 1 500 | 1 500 | 1 550 |
| Включение аварийного масляного насоса происходит при падении давления масла в системе смазки ниже $0,1 \text{ atm}$. | 0,25—0,30 | 0,25—0,30 | 0,25—0,30 | 0,2 | 0,2 | 0,2 | 0,2 | 0,35 |
| Число оборотов в минуту | 3 | 3 | 3 | 1,5 | 1,5 | 1,5 | 1,5 | 26*** |
| Емкость маслобаков системы, m^3 | 2 | 2 | 2 | 7*** | 16 | 16 | 16 | 21*** |

* Электропривод типа АНДв солюктором с электротривитателем переменного тока типа А-62-4 ($N=14 \text{ квт}, n=1 500 \text{ об./мин.}$).

** Встроены в масляный бак.

*** Емкость масляного бака.

При работе с паром. При полной нагрузке турбины для чистки может быть отключен только один маслоохладитель.

**Система маслонабывания турбин с производственным отбором пара
(техническая характеристика)**

| Тип турбины | П-0.75-35/5 (АП-0.75) | П-1.35/5 (АП-1.35) | П-2.5-35/5 (АП-2.5) | П-4-35/5 (АП-4) | П-6-35/6 (АП-6) | П-6-35/6 (АП-6) |
|--|--------------------------|-----------------------|------------------------|--------------------|--------------------|--------------------|
| Давление масла в системе регулирования, кг/см² | | | | | | |
| Давление масла в системе смазки, кг/см ² | 3,5—6,5 0,5 | 3,5—6,5 0,5 | 3,5—6,5 0,5 | 4—6 0,5 | 3,5—6,5 0,5 | 4—6 0,5 |
| Тип главного масляного насоса | Центробежный | Центробежный | Центробежный | Зубчатый | Центробежный | Зубчатый |
| Марка насоса | THM-7-35 | THM-7-35 | THM-6-20 | THM-6-20 | THM-6-20 | THM-6-20 |
| Производительность, м ³ /ч | 35 | 35 | 20 | 30 | 20 | THM-6-20 |
| Напор, м вод. ст. | 70 | 70 | 55 | 50 | 55 | 30 |
| Мощность, кват | — | — | — | — | — | 50 |
| Число оборотов в минуту | 7 000 | 7 000 | 7 000 | 7 000 | 7 000 | — |
| Марка насоса | P3-30 | P3-30 | P3-30 | P3-30 | P3-30 | P3-30 |
| Производительность, м ³ /ч | 18 | 18 | 18 | 10,8 | 18 | Р3-30 |
| Напор, м вод. ст. | 7 | 7 | 7 | — | 7 | 10,8 |
| Тип электродвигателя | ПН-17,5 | ПН-17,5 | ПН-17,5 | ПН-28,5 | ПН-17,5 | ПН-28,5 |
| Мощность, кват | 1 | 1 | 1 | 1,6 | 1 | 1,6 |
| Число оборотов в минуту | 1 000 | 1 000 | 1 000 | 1 000 | 1 000 | 1 000 |
| Включение аварийного масляного злектронасоса происходит при падении давления масла в системе смазки ниже, кг/см ² | 0,2 | 0,2 | 0,2 | 0,25-0,30 | 0,2 | 0,25-0,30 |
| Число маслобоходителей | 2 | 2 | 2 | 3 | 2 | 3 |
| Емкость масляной системы, м ³ | 1,0 | 1,3 | 1,0 | 2,0 | 1,5 | 2,0 |

П р и м е ч а н и я: 1. Гусковые насосы имеют турбинный привод.

2. При полной нагрузке турбины для чистки может быть отключен только один маслобоходитель.

**Система маслонабывания турбин с производственным и теплофикационным отборами пара
(техническая характеристика)**

| Тип турбины | ПТ-1.35/10 (АПТ-1.35) | ПТ-12/90/10 (ВПТ-12) | ПТ-25/90/10 (ВПТ-25) | ПТ-25/90/10 (ВПТ-25-4) | ПТ-50/90/13 (ВПТ-50-2) | ПТ-50/90/13 (ВПТ-50-3) |
|---|--------------------------|-------------------------|-------------------------|---------------------------|---------------------------|---------------------------|
| Давление масла в системе регулирования, кг/см² | | | | | | |
| Давление масла в системе смазки, кг/см ² | 8 | 8 | 12 | 12—14 | 20 | 14 |
| Тип главного масляного насоса | 0,5 | 0,5 | 0,4 | 0,5 | 0,8 | 0,5 |
| Марка насоса | THOM-100-1 | ЭМН-8-11 | МТ-12-150 | 6МС-6×5 | АЯП-150 | АЯП-150×4 |
| Производительность, м ³ /ч | 60 | 9,6 | 150 | 150 | 100 | 150 |
| Напор, м вод. ст. | 67 | • 80 | 120 | 225 | 214 | 240 |
| Тип привода насоса | • АО-52-4В-3 | • АО-52-4В-3 | Турбинный | 160 | ГАМ16-125-6 | ДАМ6-117-4 |
| Мощность, кват | 7 | 7 | 4 000 | 1 470 | 1 000 | 180 |
| Число оборотов в минуту | 4 500 | 1 440 | 4 000 | 1 470 | 1 000 | 1 470 |
| Марка насоса | Нет | Нет | Нет | 4НДв | 4НДв | 4НДв |
| Производительность, м ³ /ч | — | — | — | 90 | 90 | 90 |
| Напор, м вод. ст. | — | — | — | 25 | 25 | 25 |
| Тип электродвигателя | — | — | — | • А-62-4 | • А-62-4 | • А-62-4 |
| Мощность, кват | — | — | — | 14 | 14 | 14 |
| Число оборотов в минуту | — | — | — | 1 500 | 1 500 | 1 500 |
| Марка насоса | НШ-85-1 | 4НДв | — | — | 4НДв | 4НДв |
| Производительность, м ³ /ч | 5,1 | 90 | — | — | 90 | 90 |
| Напор, м вод. ст. | — | — | — | — | 25 | 25 |
| Тип электродвигателя | — | — | ПН-100 | ПН-100* | ПН-100 | ПН-100 |
| Мощность, кват | — | — | — | — | 12 | 12 |
| Число оборотов в минуту | — | — | — | 1 500 | 1 500 | 1 500 |
| Включение аварийного масляного насоса происходит при падении давления масла в системе смазки ниже, кг/см ² | 35 | 22,5 | 25 | — | — | — |
| Число маслобоходителей | — | ПН-28,5 | ПН-100 | ПН-100* | ПН-100 | ПН-100 |
| Емкость масляной системы, м ³ | 5,3 | — | 12 | 12 | 12 | 12 |
| Емкость масляной системы, м ³ | 2 800 | 1 500 | 1 500 | 1 500 | 1 500 | 1 500 |
| Марка насоса | — | — | — | — | — | — |
| Производительность, м ³ /ч | — | — | — | — | — | — |
| Число маслобоходителей | — | — | — | — | — | — |
| Емкость масляной системы, м ³ | — | — | — | — | — | — |

* Работает в блоке с резервным насосом.
** Емкость масляного бака.
П р и м е ч а н и я: 1. При полной нагрузке турбины для чистки может быть отключен только один маслобоходитель.

Таблица 5-4

Таблица 5-5

Таблица 5-6

Система маслоснабжения турбин с противодавлением (техническая характеристика)

| Тип турбины | P _{1,5-5,3} (P _{1-1,5-3}) | P _{2,5-35/15} (AP _{1,5-15}) | P _{2,5-35/3} (AP _{2,5-3}) | P _{4-35/3} (AP ₄₋₃) | P _{4-35/10} (AP ₄₋₁₁) | P _{6-35/5} (AP ₆₋₁₁) | P _{6-90/18} (BP ₆₋₃) | P _{12-90/31} (BP ₁₂₋₃₁) | P _{25-90/31} (BP ₂₅₋₃₁) | P _{25-90/18} (BP ₂₅₋₂) | P _{25-90/31} (BP ₂₅₋₂) | |
|--|---|---|---|---|---|--|---|---|---|--|--|--------------|
| Давление масла в системе регулирования, кг/см ² | 3,5—6,5 | | | | 4—6 | 4—6 | 8 | 12 | 11 | 11 | 15 | |
| Давление масла в системе смазки, кг/см ² | 0,5 | | | | 0,5 | 0,5 | 0,5 | 0,6 | 0,6 | 0,6 | 1,75 | |
| Главный масляный насос | | | | | Зубчатый | | | | | | | Центробежный |
| Марка насоса | | | | | | THM-6-20 | THM-6-20 КОМ-50×НШ-280/5 МТ-12-150 МТ-12-150 НН7×26 | | | | | |
| Производительность, м ³ /ч | | | | | | 20 55 | 30 50 | 50 125 | 16,8 55 | 150 120 | 116 120 | |
| Напор, м вод. ст. | | | | | | | | | | | | |
| Тип привода насоса | | | | | | Турбинный | | | | | | |
| Мощность, кВт | | | | | | | 7 000 | 7 000 | 40 | 7 | 100 | 125 |
| Число оборотов в минуту | | | | | | | | | 1 440 | 4 000 | 4 000 | 3 000 |
| Марка насоса | | | | | | P3-30 | P3-30 | 2К-9а | ЭК-9а | 4 НДв | 4 НДв* | |
| Производительность, м ³ /ч | | | | | | 18 | 10,8 | 26 | 35 | 90 | 90 | |
| Напор, м вод. ст. | | | | | | 7 | — | 18 | 22,5 | 25 | 25 | |
| Тип электродвигателя | | | | | | ПН-17,5 | ПН-28,5 | — | ПН-100 | ПН-100 | ПН-100 | |
| Мощность, кВт | | | | | | 1 | 1,6 | 1,6 | 5,3 | 12 | 15 | |
| Число оборотов в минуту | | | | | | 1 000 | 1 000 | — | 2 800 | 1 500 | 1 500 | 1 600 |
| Включение аварийного масляного электронасоса происходит при падении давления масла в системе смазки ниже, кг/см ² | | | | | | | 0,25— 0,30 | 0,25— 0,30 | 0,2 | | | |
| Количество маслоохладителей | | | | | | | 2 | 3 | 2 | 4 | 3 | 4 |
| Емкость масляной системы, м ³ | | | | | | 1 | 1,5 | 7** | 7** | 13 | 13 | 13 |

* У маслонапорной системы турбин типов НРГ-25-1 и НРГ-25-2 имеется еще по одному маслонапорному насосу типа 4НД с теми же характеристиками, но с правозапором от электродвигателя.

** Рабочая емкость масляного бака. При полной нагрузке турбины для чистки может быть отключен только один маслоохладитель.

ности регулирующей ступени, например, за счет увеличения парциальности или реконструкции регулирующей ступени.

2. Для контроля за режимами работы турбин заводы-изготовители обычно указывают предельные давления в контрольных ступенях, чаще всего в камерах регулирующих ступеней или камерах перегрузки (турбины с частичным подводом пара к промежуточной ступени).

Величины давлений в контрольных ступенях турбины зависят от расхода пара и состояния проточной части. Повышение давления происходит при увеличении расхода пара через турбину (при максимальном расходе пара давления в контрольных ступенях достигают предельных значений), а также при заносе проточной части сосями.

В практике эксплуатации турбин применяются разные решения по контролю за режимами давлений в ступенях. В одних случаях сохраняют предельные давления в контрольных ступенях за счет ограничения расхода пара и снижения нагрузки, в других случаях допускают незначительный занос проточной части, что приводит к повышению давления пара в контрольной ступени на 5—10% расчетной величины давления, которое соответствует номинальной мощности при чистой проточной части.

3. Увеличение нерегулируемого отбора пара из промежуточной ступени не всегда допустимо по условиям прочности, так как это приводит к росту теплоперепада на предыдущую отборную ступень и соответственно перегружает рабочие лопатки и диафрагму (или направляющие лопатки). Решение вопроса о возможности увеличения нерегулируемого отбора из промежуточной ступени требует специальной технической проработки.

4. Турбины, рассчитанные на работу для зоны допустимых колебаний давления и температуры свежего пара при верхнем уровне параметров свежего пара, могут обеспечивать нагрузку выше номинальной.

Предельно допустимую электрическую мощность турбины (на зажимах генератора) с достаточной для практи-

ки точностью можно определить по уравнению

$$N_{\text{з.пр}} = \frac{H_{\text{o.в}} \eta_{oi} \eta'_{oi}}{H_{\text{o.н}} \eta'_{oi} \eta_{in}} \cdot N_{\text{з.ном}} \approx \\ \approx \frac{H_{\text{o.в}}}{H_{\text{o.н}}} N_{\text{з.ном}} [\text{kвт}], \quad (6-1)$$

где

$H_{\text{o.в}}$ — максимальный располагаемый теплоперепад от верхних предельных давлений и температур пара до фактически достичимого вакуума, ккал/кг;

$H_{\text{o.н}}$ — располагаемый теплоперепад от низших допустимых давления и температуры пара до допустимого наиболее высокого давления отработавшего пара (низшего вакуума), при котором завод гарантирует номинальную мощность турбины, ккал/кг;

η_{oi} , η'_{oi} — относительные внутренние к.п.д. турбин при максимальном и минимальном расположенных теплоперепадах;

η_m , η_g , η'_m , η'_g — к.п.д. механический и генератора при $N_{\text{з.пр}}$ и $N_{\text{з.ном}}$ соответственно;

$N_{\text{з.ном}}$ — номинальная мощность турбины, квт.

Основным критерием предела повышения мощности является также предельное давление пара в контрольной ступени.

5. Турбины с регулируемыми отборами пара позволяют получить дополнительную мощность без перегрузки проточной части за счет некоторого сокращения регулируемых отборов; величина максимально допустимой мощности обычно указана в диаграммах режимов.

6-2. КОНТРОЛЬ ЗА РАБОТОЙ УПОРНЫХ ПОДШИПНИКОВ

Осевые давления на упорных подшипниках турбин зависят от многих причин и в условиях эксплуатации

могут сильно изменяться, вызывая неисправности и даже аварии. Они зависят от состояния проточной части турбины, уплотнений диафрагм, концевых уплотнений ротора и т. д. Осевые усилия изменяются при переходных режимах работы турбины. Они сильно возрастают при быстром, особенно скачкообразном, повышении нагрузки турбины.

В турбинах с сильно нагруженными упорными подшипниками необходимо устанавливать контроль за их работой по температуре баббита рабочих колодок, не допуская повышения температуры выше 90°С.

6-3. КОНТРОЛЬ ЗА ВИБРАЦИОННЫМ СОСТОЯНИЕМ ТУРБОАГРЕГАТА

Надежность, а также и экономичность работы турбинного агрегата зависят от его вибрационного состояния.

Контроль за вибрационным состоянием турбоагрегата осуществляется по амплитудам вибрации подшипников, измеряемым в трех направлениях: вертикальном, горизонтальном и осевом. Оценкой вибрационного состояния является максимальная величина двойной амплитуды вибрации того подшипника, вибрации которого при самом неблагоприятном режиме нагрузки будут наибольшими.

Пределы допустимых величин вибрации указаны в табл. 6-1.

Контроль за вибрацией подшипников турбоагрегата осуществляется в следующие моменты:

- а) перед остановкой на капитальный ремонт и при вводе в работу после капитального ремонта;
- б) при заметном повышении вибрации подшипников.

В первом случае вибрация подшипников измеряется при установившихся режимах: холостом ходе без возбуждения, холостом ходе с возбуждением, половиной и полной нагрузках турбины.

Периодичность измерения вибрации подшипников зависит от вибрационного состояния турбоагрегата и производится в следующие сроки: 1 раз в месяц при оценке «отлично» и «хорошо» (табл. 6-1) и 1 раз в две недели — при оценке вибрации «удовлетворительно». Периодические измерения вибрации производятся при одной и той же нагрузке турбины, но не меньше половины номинальной.

Прибор для измерения вибрации подшипников должен удовлетворять следующим требованиям:

- а) позволять измерение амплитуды вибрации раздельно для любого из трех направлений;
- б) цена деления шкалы прибора и нижний предел измерения должен быть не более 10 мк;
- в) верхний предел измерений прибора должен быть не ниже 400 мк;
- г) точность измерения амплитуды вибрации должна быть не ниже $\pm 10\%$ в диапазоне частот, для которых предназначена прибор;
- д) прибор должен иметь протокол

Таблица 6-1
Нормы вибраций подшипников турбоагрегатов, работающих с $n=3000$ об/мин
а) При вводе в эксплуатацию после монтажа (в соответствии с ГОСТ 5908-51)

| Двойная амплитуда вибраций, мк | До 40 | До 60 | До 80 |
|--------------------------------|---------|--------|-------------------|
| Оценка | Отлично | Хорошо | Удовлетворительно |

б) В период нормальной эксплуатации (в соответствии с Нормами МЭС, 1952 г.)

| Величина нагрузки | При полной и половинной нагрузках турбоагрегата | При холостом ходе турбины без возбуждения генератора |
|--|---|--|
| Двойная амплитуда вибрации, мк | Не более 40 | Не более 60 |

проверки (тарировки), действительный на дату измерения;

- е) все приборы, исключая ручные, должны быть приспособлены для жесткого крепления к подшипникам турбины и устанавливаться над поперечной осью симметрии вкладыша.

6-4. КОНТРОЛЬ ЗА КАЧЕСТВОМ ТУРБИННОГО МАСЛА

Для обеспечения нормальной работы турбины качество турбинного масла должно соответствовать данным табл. 6-2.

Для контроля за качеством масла производится периодический отбор проб.

6-5. ЭКОНОМИЧЕСКИЕ ПОКАЗАТЕЛИ РАБОТЫ ТУРБОУСТАНОВКИ И ТУРБИННОГО ЦЕХА

1. Коэффициент полезного действия брутто турбоустановки или турбинного цеха:

$$\eta_{\text{бр}} = \frac{860N_{\text{э.ср}}}{Q_3} \cdot 100\%, \quad (6-2)$$

где $N_{\text{э.ср}}$ — средняя электрическая нагрузка турбоустановки или турбинного цеха за любой

промежуток времени t , квт;

Q_3 — средний расход тепла на выработку электроэнергии (без расхода на собственные нужды) одной турбоустановкой или турбинным цехом за тот же промежуток времени t , ккал/ч.

$$Q_3 = D_0 i_0 - D_{\text{п.в}} i_{\text{п.в}} - \sum D_{\text{от}} i_{\text{от}} + \sum D_{\text{в}} i_{\text{в}}, \quad (6-3)$$

где D_0 и i_0 — среднее количество за время t и энталпия (теплосодержание) свежего пара, расходуемого турбоустановкой или турбинным цехом, кг/ч и ккал/кг;

$D_{\text{п.в}}$ и $i_{\text{п.в}}$ — среднее количество за время t и энталпия (теплосодержание) питательной воды, поступившей в котельные установки из одной или всех турбоустановок турбинного цеха, кг/ч; ккал/кг;

$\sum D_{\text{от}} i_{\text{от}}$ — суммарное количество тепла, отпущенное из отборов одной или всех турбоустановок турбинного цеха;

Таблица 6-2
Масло турбинное (технические условия в соответствии с ГОСТ 32-53)

| Наименование показателей | Турбинное 22 (турбинное Л с присадкой ВТИ-1) | Турбинное 22 (турбинное Л) | Турбинное 30 (турбинное УТ) | Турбинное 46 (турбинное Т) | Турбинное 57 (турборедукторное) |
|--|--|----------------------------|-----------------------------|----------------------------|---------------------------------|
| Вязкость кинематическая при 50°С, сст, в пределах | 20—23 | 20—23 | 28—32 | 44—48 | 55—59 |
| Кислотное число в мг КОН на 1 г масла (не более) | 0,02 | 0,02 | 0,02 | 0,02 | 0,05 |
| Стабильность: | | | | | |
| а) осадок после окисления, % (не более) | 0,05 | 0,1 | 0,1 | 0,15 | — |
| б) кислотное число после окисления в мг КОН на 1 г (не более) | 0,20 | 0,35 | 0,35 | 0,45 | — |
| Зольность, % (не более) | 0,005 | 0,005 | 0,005 | 0,02 | 0,04 |
| Скорость деэмulsации в 1 мин (не более) | 8 | 8 | 8 | 8 | 8 |
| Содержание водорастворимых кислот и щелочей | | | | | |
| Содержание механических примесей | | | | | |
| Температура вспышки, определяется в открытом тигле, °С (не ниже) | 180 | 180 | 180 | 195 | 195 |
| Температура застывания, °С (не выше) | -15 | -15 | -10 | -10 | — |
| Натровая проба с подкислением в баллах (не более) | 2 | 2 | 2 | 2 | 2 |
| Содержание присадки ВТИ-1, %, в пределах | 0,009—0,015 | — | — | — | — |
| Прозрачность при 0°С | | | | | |
| Прозрачно | | | | | |

$D_{\text{от}}$ и $i_{\text{от}}$ — ного цеха с паром и водой;
количество и теплосодержание пара и воды, кг/ч;
 $\Sigma D_{\text{в}} i_{\text{в}}$ — суммарное количество поступившего в турбоустановку или турбинный цех тепла с отработавшим паром, конденсатом, добавочной водой, дренажем из теплофикационных подогревателей и т. д.;
 $D_{\text{в}}$ и $i_{\text{в}}$ — количество и теплосодержание пара или воды, кг/ч и ккал/кг.

2. К. п. д. нетто турбоустановки или турбинного цеха

$$\eta_{\text{т}}^{\text{n}} = \frac{860(N_{\text{э.ср}} - N_{\text{т}}^{\text{с.н}})}{Q_{\text{т}} + Q_{\text{в}}} 100 \%, \quad (6-4)$$

где $N_{\text{э.ср}}$ — средняя электрическая нагрузка турбоагрегата или турбинного цеха за промежуток времени t , кВт;

$N_{\text{т}}^{\text{с.н}}$ — средняя электрическая нагрузка, потребляемая вспомогательными механизмами для обслуживания турбоустановки или турбинного цеха, кВт;

$Q_{\text{т}}$ — средний расход тепла на выработку электроэнергии турбоустановкой или турбинным цехом (без расхода на собственные нужды), ккал/ч;

$Q_{\text{в}}^{\text{с.н}}$ — средний расход тепла на собственные нужды по про-

изводству электроэнергии турбоустановкой или турбинным цехом, ккал/ч.

В коэффициент полезного действия нетто турбоустановки или турбинного цеха включаются расходы тепла на собственные нужды по каждой турбоустановке и по относящимся к ним вспомогательным агрегатам, а также расход электроэнергии на собственные нужды электроцеха.

К расходу тепла на собственные нужды турбоустановки и турбинного цеха относятся:

а) расход тепла на турбопривод циркуляционных или конденсатных насосов;

б) расходы тепла, связанные с пусками и остановками турбоагрегатов;

в) расходы тепла на отопление и вентиляцию производственных и бытовых помещений турбинного цеха.

К расходу электроэнергии на собственные нужды турбоустановок и турбинного цеха относятся:

а) расход на конденсатные и циркуляционные насосы (при наличии центральной насосной расход электроэнергии на циркуляционные насосы отдельных турбин распределяется пропорционально расходу охлаждающей воды);

б) расход на перекачивающие насосы дренажей, регенеративных установок и т. д.;

в) расход на хозяйственные и пожарные насосы;

г) расход на собственные нужды электроцеха.

ГЛАВА СЕДЬМАЯ

НЕКОТОРЫЕ СВЕДЕНИЯ О ПЕРЕМЕННЫХ РЕЖИМАХ РАБОТЫ ТУРБИНЫ

7-1. РАСХОД ПАРА

ЧЕРЕЗ СОПЛОВЫЕ РЕШЕТКИ ТУРБИНЫ ПРИ ПЕРЕМЕННЫХ РЕЖИМАХ

1. Критический расход пара через сопло (решетку) при расчетных параметрах пара:

$$G_{\text{кр}} = 203,5 f_{\text{мин}} \sqrt{\frac{p_0}{v_0}} [\text{кг/сек}], \quad (7-1)$$

где $f_{\text{мин}}$ — минимальное сечение суживающегося сопла (решетки), м²;

p_0 и v_0 — давление и удельный объем пара перед решеткой (соплом), атм и м³/кг.

2. Расход пара через сопло (решетку) при скоростях ниже критических,

но при расчетных начальных параметрах:

$$G = 203,5 f_{\text{мин}} \beta_1 \sqrt{\frac{p_0}{v_0}}, \quad (7-2)$$

где β_1 — коэффициент Бенделмана, зависящий от отношения давления за решеткой p_1 к давлению перед решеткой p_0 при критическом отношении давлений $\beta_1 = 1$, а при отношении давлений выше критического $\beta_1 < 1$.

Зависимость β от отношения давлений p_1/p_0 представлена на рис. 7-1.

3. Критический расход пара через сопло (решетку) при нерасчетных параметрах перед решеткой:

$$G'_{\text{кр}} = 203,5 f_{\text{мин}} \beta_2 \sqrt{\frac{p'_0}{v'_0}}, \quad (7-3)$$

где p'_0 и v'_0 — давление и удельный объем пара перед решеткой, атм и м³/кг.

4. Расход пара через сопло (решетку) при скоростях ниже критических и нерасчетных начальных параметрах:

$$G' = 203,5 f_{\text{мин}} \beta_2 \sqrt{\frac{p'_0}{v'_0}} \quad (7-4)$$

где β_2 — коэффициент, зависящий от отношения давления за решеткой p'_1 к давлению перед решеткой p'_0 .

5. Из уравнений (7-1), (7-2), (7-3) и (7-4)

$$G = \beta_1 G_{\text{кр}} \quad \text{и} \quad G' = \beta_2 G'_{\text{кр}}. \quad (7-5)$$

6. Относительные изменения расхода пара через сопло (решетку) для различных начальных параметров при критических скоростях истечения:

$$\alpha_1 = \frac{G'_{\text{кр}}}{G_{\text{кр}}} = \sqrt{\frac{p'_0 v_0}{p_0 v'_0}} = \sqrt{\frac{(p'_0)^2 T_0}{(p_0)^2 T'_0}} \approx \frac{p'_0}{p_0}, \quad (7-6)$$

где T_0 и T'_0 — абсолютные температуры пара перед соплом при расчетном и переменном режимах.

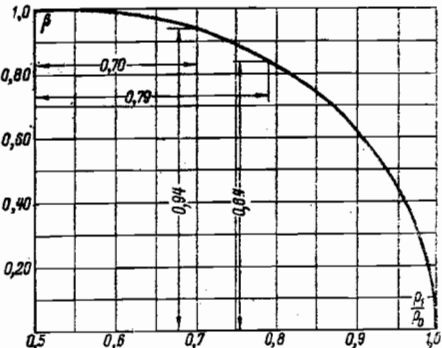


Рис. 7-1. Коэффициент Бенделмана для определения расходов пара при переменном режиме работы решетки.

7. Относительное изменение расхода пара через сопло (решетку) при нерасчетных начальных параметрах и противодавлении (при скорости пара ниже критической):

$$\alpha_0 = \frac{G'}{G} = \frac{\beta_2 G'_{\text{кр}}}{\beta_1 G_{\text{кр}}} = \frac{\beta_2}{\beta_1} \sqrt{\frac{p'_0 v_0}{p_0 v'_0}} \approx \frac{\beta_2}{\beta_1} \frac{p'_0}{p_0} = \frac{\beta_2}{\beta_1} \alpha_1. \quad (7-7)$$

Действительный расход пара через сопло для указанного в п. 7 режима:

$$G' = \alpha_0 G = \alpha_1 \frac{\beta_2}{\beta_1} G, \quad (7-8)$$

где G — расчетный расход пара через сопло (решетку).

Приводим пример расчета сопла (решетки) на переменный режим. Требуется определить относительное изменение расхода пара через сопло (решетку) для начального давления $p'_0 < p_0$ (p_0 — расчетное давление перед решеткой) и противодавления $p'_1 > p_1$ (p_1 — расчетное давление за решеткой).

Относительное изменение расхода пара через сопло подсчитываем по уравнению (7-7):

$$\alpha_0 = \alpha_1 \frac{\beta_2}{\beta_1}.$$

Находим $\alpha_1 = p'_0/p_0$ и β_1 — для отношения давлений p_1/p_0 , и β_2 — для отношения давлений p'_1/p_0 по рис. 7-1.

Найденные значения α_1 , β_1 и β_2 подставляем в уравнение (7-7).

Значения коэффициента Бенделмана для отношений $\left(\frac{p_1}{p_0}\right)$

| p_1/p_0 | 0,99 | 0,98 | 0,97 | 0,96 | 0,95 | 0,90 | 0,85 | 0,80 | 0,75 | 0,70 | 0,65 | 0,60 | 0,55 |
|-----------|--------|--------|--------|--------|--------|--------|--------|--------|--------|--------|--------|--------|--------|
| β | 0,2085 | 0,2931 | 0,3570 | 0,4097 | 0,4548 | 0,6261 | 0,7427 | 0,8283 | 0,8920 | 0,9403 | 0,9733 | 0,9930 | 0,9998 |

Предположим, что даны:
 $p_0 = 20 \text{ атм}$; $p_1 = 14 \text{ атм}$; $G = 20 \text{ кг/сек}$ — расчетные значения и
 $p'_0 = 19 \text{ атм}$, $p'_1 = 15 \text{ атм}$ — нерасчетные значения. Требуется определить расход пара при нерасчетных параметрах.

Находим $\alpha_1 = \frac{19}{20} = 0,95$ и $\beta_1 = 0,94$
для $\frac{p_1}{p_0} = \frac{14}{20} = 0,7$.

Величину $\beta_2 = 0,84$ для $\frac{p'_1}{p_1} = \frac{15}{19} = 0,79$ определяем по рис. 7-1.

Вычисляем:

$$\alpha_0 = 0,95 - \frac{0,84}{0,94} = 0,85 \quad \text{и} \quad G' = 0,85 \cdot 20 = 17,04 \text{ кг/сек.}$$

В табл. 7-1 приводятся зависимости $\beta = f\left(\frac{p_1}{p_0}\right)$, которые могут быть использованы для построения графика в любом масштабе.

7-2. СВЯЗЬ МЕЖДУ ДАВЛЕНИЯМИ В СТУПЕНЯХ ТУРБИНЫ И РАСХОДОМ ПАРА

1. В конденсационных турбинах, работающих с глубоким вакуумом (независимо от скорости пара в сопловых решетках), и в турбинах с противодавлением (при скоростях пара в решетках, равных или выше критических) давления пара в ступенях (исключая регулирующие ступени с сопловым парораспределением) приблизительно прямо пропорциональны расходу пара:

$$P_{1x} = \frac{D_x}{D_0} P_{10}, \quad (7-9)$$

где P_{1x} — искомое давление для заданного расхода пара D_x ;
 D_0 — расчетный расход пара через турбину (ступень);

Таблица 7-1

Давление пара за рабочими решетками любой ступени турбины

$$P_{2x} = \sqrt{P_{1x}^2 - \left(\frac{D_x}{D_0}\right)^2 (P_{10}^2 - P_{20}^2)}. \quad (7-13)$$

Уравнения (7-12) и (7-13) дают удовлетворительные результаты при определении P_{1x} или P_{2x} для групп ступеней не меньше трех. Для двух и особенно для одной ступени вследствие больших погрешностей в определении P_{1x} или P_{2x} уравнениями (7-12) и (7-13) пользоваться не следует.

3. Для турбин с регулируемыми отборами пара давления в ступенях зависят от режима их работы:

а) Для конденсационной турбины с одним регулируемым отбором при режиме работы с регулируемым отбором давления P_{1x} и P_{2x} в ступенях ч. в. д. определяются по уравнениям (7-12) и (7-13), а для ступеней ч. н. д. — по уравнению (7-9). Расчетные давления P_{10} и P_{20} для ч. в. д. турбины, подставляемые в уравнения (7-12) и (7-13), соответствуют режиму турбин с максимальным расчетным расходом пара через ч. в. д., в то время как давления P_{10} и P_{20} , подставляемые в уравнение (7-9), должны соответствовать режиму при расчетном расходе пара через ступени турбины для конденсационного режима.

б) Для конденсационной турбины с двумя регулируемыми отборами пара при режимах работы с отборами давления P_{1x} и P_{2x} в ступенях ч. в. д. и ч. с. д. определяются по уравнениям (7-12) и (7-13), а в ч. н. д. — по уравнению (7-9). Давления P_{10} и P_{20} для ч. в. д. и ч. с. д. принимаются в соответствии с расчетными расходами пара через них при режимах с регулируемыми отборами. Для режима работы турбины с включенным первым регулируемым отбором (второй отбор равен нулю) давления P_{1x} и P_{2x} определяются по уравнению (7-9).

в) Для турбин с противодавлением и регулируемым отбором пара при режимах с регулируемым отбором и без него давления P_{1x} и P_{2x} определяются по уравнениям (7-12) и (7-13) вначале для ступеней ч. н. д., а для ступеней ч. в. д. — после расчета регулирующей ступени ч. н. д. по методике с построением треугольников скоростей.

ляются для ч. в. д. по уравнениям (7-12) и (7-13), а для ч. с. д. и ч. н. д. — по уравнению (7-9). Давления P_{10} и P_{20} в ступенях ч. с. д. и ч. н. д. принимаются в соответствии с расчетным расходом пара при конденсационном режиме турбины. Давления P_{1x} и P_{2x} в ступенях ч. в. д. и ч. с. д. турбины для режима с включенным вторым отбором (первый отбор равен нулю) определяются по уравнениям (7-12) и (7-13), а в ступенях ч. н. д. — по уравнению (7-9). Давления P_{10} и P_{20} принимаются для соответствующих расчетных расходов пара через ч. в. д. и ч. с. д. турбины.

Порядок расчета следующий. Вначале определяют давления P_{1x} и P_{2x} для ступеней давления ч. с. д., т. е. состояние пара за рабочими решетками в ступени перепуска пара из ч. в. д. в ч. с. д.; после этого выполняется расчет регулирующей ступени по методике с построением треугольников скоростей. После нахождения состояния пара перед сопловой решеткой регулирующей ступени перепуска, т. е. состояния пара за рабочими решетками ч. в. д., определяют давления P_{1x} и P_{2x} для всех ступеней ч. в. д.; таким же способом это выполняется для турбин с противодавлением.

Для конденсационного режима турбины (нулевые регулируемые отборы пара) давления P_{1x} и P_{2x} в ступенях, а также перед сопловыми решетками регулирующих ступеней перепуска из ч. в. д. в ч. с. д. и из ч. с. д. в ч. н. д. (при полностью открытых клапанах первого и второго отборов) определяются по уравнению (7-9).

в) Для турбин с противодавлением и регулируемым отбором пара при режимах с регулируемым отбором и без него давления P_{1x} и P_{2x} определяются по уравнениям (7-12) и (7-13) вначале для ступеней ч. н. д., а для ступеней ч. в. д. — после расчета регулирующей ступени ч. н. д. по методике с построением треугольников скоростей.

С достаточной для практических расчетов точностью принимают:

$$\frac{D_x}{D_0} \approx \sqrt{\frac{P_{1x}^2 - P_{2x}^2}{P_{10}^2 - P_{20}^2}}. \quad (7-11)$$

Давление пара перед сопловыми решетками любой ступени турбины

$$P_{1x} = \sqrt{\left(\frac{D_x}{D_0}\right)^2 (P_{10}^2 - P_{20}^2) + P_{2x}^2}. \quad (7-12)$$

ПРИЛОЖЕНИЕ 1
ТИПЫ КОМПЛЕКТУЮЩЕГО ОБОРУДОВАНИЯ ПАРОТУРБИННЫХ УСТАНОВОК
 (конденсационные турбины без регулируемых отборов пара)

| Турбина | K-435 (АК-4+1) | K-636 (АК-6-1) | K-25-90 (БК-25-1) | K-50-90 (БК-50-1) | K-50-90 (БК-50-3) | K-100-90 (БК-100-2) | K-100-90 (БК-100-6) | K-100-90 (БК-100) | K-150-130 (БК-150) | K-200-30 (БК-200) |
|---------------------------------|-------------------|-------------------|--|--|--|--|---|---|---|---|
| Электрический генератор | T2-4,2 | T2-6,2 | T2-25,2 | T2-50,2 иши TB-50,2 | TB-50,2 | TB2-100,2 | TBФ-100,2 | TB2-100,2 | TB2-150,2 | TBФ-200,2 |
| Конденсатор | KП-385 | KП-540 | 25KЦС-6 или 25KЦС-7 | 50KЦС-3 | 50KЦС-5 | 100KЦС-2 | 100KЦС-4 | K-100-3685 Б50 | K-150-9115 | 200KЦС-2 |
| Конденсатный насос * | 5KC-5×2 | 5KC-5×2 | 8KCД-5×3 | 10KCД-5×3 | 10KCД-5×3 | 10KCД-5×3 | 10KCД-5×3 | 10KCД-5×3 | 16KCБ-11×4 | 12KCБ-9×4 |
| Электоры | — | ЭП-1,2 | ЭП-1-600-3 | ЭП-1-600-3 | ЭП-1-600-3 | ЭП-1-600-3 | ЭП-1-600-3 | ЭП-1-600-3 | ЭП-1-600-3 | ЭП-1-600-3 |
| пусковой | — | ЭП-2-400-3 | ЭП-3-600-4 | ЭП-3-600-4 | ЭП-3-600-4 | ЭП-3-600-4 | ЭП-3-600-4 | ЭП-3-600-4 | ЭП-3-600-4 | ЭП-3-600-4 |
| основной | ЭЖ-А | ЭО-30 | Подогреватели низкого давления | ПН-90М | ПН-200-1М ПН-200-2М | ПН-200-1М ПН-200-2М | ПН-250-4М ПН-250-5М | ПН-100-2М ПН-300-1 ПН-300-2 | ПН-100-2М ПН-300-1 ПН-300-2 | ПН-100-2М ПН-300-1 ПН-300-2 |
| Подогреватели высокого давления | ПВ-60-3 | ПВ-60-3 | ПВ 200/180 № 1 ПВ 120/180 № 2 | ПВ 150/180 № 1 ПВ 200/180 № 2 | ПВ 150/180 № 1 ПВ 150/180 № 2 | ПВ 350/230 № 6 ПВ 350/230 № 7 | ПВ 350/230 № 1 ПВ 350/230 № 2 ПВ 350/230 № 3 | ПВ 425/230 № 1 ПВ 425/230 № 2 ПВ 425/230 № 3 | ПВ 480/230 № 1 ПВ 480/230 № 2 ПВ 480/230 № 3 | ПВ 480/230 № 1 ПВ 480/230 № 2 ПВ 480/230 № 3 |
| Вспомогательные масляные насосы | THM-6-20 | THM-6-20 | MT-12-150 | AЯП-150 | MT-12-150 | AЯП-150 | 6Н-7×2a | 8Н-9×2 | AЯП-300 | AЯП-300 |
| пусковой | — | — | — | 4НДв | — | 5НДв | 5НДв | 5НДв | 5НДв | 5НДв |
| реактивный | — | P3-30 | 4НДв | — | 4НДв | — | 5НДв | 5НДв | 5НДв | 5НДв |
| аварийный | R3-30 | P3-30 | P3-30 | P3-30 | P3-30 | P3-30 | P3-30 | P3-30 | P3-30 | P3-30 |

ПРИЛОЖЕНИЕ 2

ТИПЫ КОМПЛЕКТУЮЩЕГО ОБОРУДОВАНИЯ ПАРОТУРБИННЫХ УСТАНОВОК

(конденсационные турбины с производственным отбором пара)

| Турбина | П-0-75-35/5 (АП-0,75) | П-1-5-35/5 (АП-1,5) | П-2-5-35/5 (АП-2,5) | П-4-35/5 (АП-4) | П-6-35/5 (АП-6) | П-6-35/5 (АП-6 II) | П-25-39/10 (АП-25 II) |
|---------------------------------|--------------------------|------------------------|------------------------|--------------------|--------------------|-----------------------|--------------------------|
| Электрический генератор | T2-0,75-2 | T2Б-1,5-2 | T2-2,5-2 | T2-4,2 | T2-6-2 | T2-6-2 | TB2-30-2 или ТВ-25 |
| Конденсатор | KП-110 | KП-195 | KП-280 | KП-385 | KП-540 | KП-480 | 25KЦС-6 |
| Конденсатный насос | 2К-6 | 3К-9 | ЭКН-18-К | 5КС-5×2 | ЭКН-18-К | 5КС-5×2 | КД-153 |
| Электоры | пускающей | ЭП-12 | ЭП-12 | ЭП-12 | — | ЭП-12 | ЭП-1-600-3 |
| аварийный | аварийный | ЭО-10 | ЭО-15 | ЭО-17 | ЭЖ-А | ЭЖ-Б | ЭП-2-400-3 |
| Подогреватель низкого давления | ПН-2 | ПН-4 | ПН-5,5 | ПН-30-В-1 | ПН-13 | ПН-30-В-1 | ПН-100-1М |
| Подогреватель высокого давления | ПВ-6 | ПВ-10 | ПВ-15 | ПВ-60-3 | ПВ-30 | ПВ-60-3 | ПВ-150-2 ПВ-150-3 |
| Вспомогательные масляные насосы | пусковой | THM-7-35 | THM-7-35 | THM-6-20 | THM-6-20 | THM-6-20 | МТА-12-150 |
| аварийный | аварийный | P3-30 | P3-30 | P3-30 | P3-30 | P3-30 | 4НДв |

ПРИЛОЖЕНИЕ 3**ТИПЫ КОМПЛЕКТУЮЩЕГО ОБОРУДОВАНИЯ ПАРОТУРБИННЫХ УСТАНОВОК**

(конденсационные турбины с теплофикационным отбором пара)

| | | | | | | | | | | | |
|---------------------------------|----------------|------------------|-------------------|------------|----------------------------------|----------------------------------|----------------------------------|----------------------------------|----------------------------------|----------------------------------|----------------------------------|
| Турбина | T435 (АГ-4) | T6-35 (А-1-6) | T12-35 (АГ-12) | T2-12-2 | T2-12-2 | T12-35 (АГ-12) | TB-30 | TB-30 | TB-30 (БГ-25) | TB-30 (БГ-25) | TB-30 (БГ-30) |
| Электрический генератор | T2-4-2 | T2-6-2 | T2-12-2 | T2-12-2 | T2-12-2 | T2-30-2 или ТГВ-25 | TB-30 | TB-30 | TB-30 | TB-30 | TB-60-2 |
| Конденсатор | KП-385 | KП-540 | KC-940-1 | KC-940-1 | KC-940-1 | 25КЦС-6 или 25КЦС-7 | K2-1750-1 или K2-2000-1 | K2-1750-1 или K2-2000-1 | K2-3000-2 | K2-3000-2 | K2-3000-2 |
| Конденсатный насос | 5KC-5×2 | 5KC-5×2 | 5KC-5×2 | 5KC-5×2 | 5KC-5×2 | 8КСД-5×3 | 8КСД-5×3 | 8КСД-5×3 | 8КСД-5×3 | 8КСД-5×3 | 8КСД-5×3 |
| Электропомпы | пусковой | — | ЭП-12 | ЭП-12 | ЭП-1-300 | ЭП-1-600-3 | ЭП-1-600-3 | ЭП-1-600-3 | ЭП-1-600-3 | ЭП-1-600-3 | ЭП-1-600-3 |
| Электропомпы | основной | ЭЖ-Л | ЭО-30 | ЭО-30 | ЭП-2-300 | ЭП-2-400-3 | ЭП-2-400-3 | ЭП-2-400-3 | ЭП-2-400-3 | ЭП-2-400-3 | ЭП-3-600-4 |
| Подогреватели низкого давления | ПН-30-В-1 | ПН-30-В-1 | ПЧД-40 | ПЧД-40 | ПН-65-3 ПН-130-5М | ПН-65-3 ПН-130-5М | ПН-65-3 ПН-130-5М | ПН-65-3 ПН-130-5М | ПН-65-3 ПН-130-5М | ПН-65-3 ПН-130-5М | — |
| Подогреватели высокого давления | ПВ-60-3 | ПВ-60-3 | ПВД-100 | ПВД-100 | ПВ 200/180 № 1 ПВ 200/180 № 2 |
| Вспомогательные масляные насосы | пусковой | THM-6-20 | THM-6-20 | THOM-100-1 | MГ-12-150 | KCM-70×8 | AЯПЗ-150×4 | AЯПЗ-150×4 | AЯПЗ-150×4 | AЯПЗ-150×4 | — |
| Вспомогательные масляные насосы | аварийный | P3-30 | P3-30 | 3К-9а | 4НДв | 6К-12а | 4НДв* | 4НДв* | 4НДв* | 4НДв* | 4НДв* |

* Имеется еще резервный масляный насос типа 4НДв.

ТИПЫ КОМПЛЕКТУЮЩЕГО ОБОРУДОВАНИЯ ПАРОТУРБИННЫХ УСТАНОВОК

(конденсационные турбины с производственным и теплофикационным отборами пара)

| | | | | | | | | | | | |
|---------------------------------|--------------------------|--|--|--------------------------|----------------------------------|----------------------------------|----------------------------------|----------------------------------|----------------------------------|----------------------------------|----------------------------------|
| Турбина | ПТ-12-35/10 (АГ-12-1) | ПТ-12-35/10 (АГ-12-1) | ПТ-25-40/10 (БГ-25-3) | ПТ-25-40/10 (БГ-25-3) | ПТ-25-40/10 (БГ-25-3) | ПТ-50-90/13 (БГ-50-3) | ПТ-50-90/13 (БГ-50-3) | ПТ-50-90/13 (БГ-50-3) | ПТ-50-130/3 (БГ-50-3) | ПТ-50-130/3 (БГ-50-3) | ПТ-50-130/3 (БГ-50-3) |
| Электрический генератор | T2-12-2 | T2-12-2 | T2-12-2 | T2-12-2 | T2-12-2 | TB-30 | TB-30 | TB-30 | TB-60-2 | TB-60-2 | TB-60-2 |
| Конденсатор | KC-940-1 | KП-540 | 25КЦС-6 или 25КЦС-7 | 25КЦС-6 или 25КЦС-7 | K2-1750-1 или K2-2000-1 | 50КЦС-4 | 50КЦС-4 | 50КЦС-4 | K2-3000-1 | K2-3000-1 | K2-3000-1 |
| Конденсатный насос | 5KC-5×2 | 5KC-5×4 | 8КСД-5×3 | 8КСД-5×3 | 8КСД-5×3 | 8КСД-5×3 | 8КСД-5×3 | 8КСД-5×3 | 8КСД-5×3 | 8КСД-5×3 | 8КСД-5×3 |
| Электропомпы | пусковой | ЭП-1-300 | — | ЭП-1-600-3 | ЭП-1-600-3 | ЭП-1-600-3 | ЭП-1-600-3 | ЭП-1-600-3 | ЭП-1-600-3 | ЭП-1-600-3 | ЭП-1-600-3 |
| Электропомпы | основной | ЭП-2-300 | — | ЭП-2-400-3 | ЭП-2-400-3 | ЭП-2-400-3 | ЭП-2-400-3 | ЭП-2-400-3 | ЭП-3-600-4 | ЭП-3-600-4 | ЭП-3-600-4 |
| Подогреватели низкого давления | ПН-165-3 | ПН-165-3; ПН-130-2М ПН-165-2; ПН-130-5М ПН-165-3 ПН-165-4 | ПН-65-1; ПН-130-2М ПН-65-2; ПН-130-5М ПН-65-3 ПН-65-4 | ПН-65-3 ПН-130-5М | ПН-100-2М ПН-130-5М |
| Подогреватели высокого давления | ПВД-100 | — | — | — | ПВ 200/180 № 1 ПВ 200/180 № 2 |
| Вспомогательные масляные насосы | пусковой | ЭМН-8-1 | МТ-12-150 | КСМ-70×8 | АИ13-150 | АЯПЗ-150 | АЯПЗ-150 | АЯПЗ-150 | АЯПЗ-150 | АЯПЗ-150 | АЯПЗ-150 |
| Вспомогательные масляные насосы | резервный | — | — | — | 6К-12а | 4НДв | 4НДв | 4НДв | 4НДв | 4НДв | 4НДв |
| Вспомогательные масляные насосы | аварийный | 3К-9 | НШ-85-1 | 4НДв | 6К-12а | 4НДв | 4НДв | 4НДв | 4НДв | 4НДв | 4НДв |

ПРИЛОЖЕНИЕ 4

ПРИЛОЖЕНИЕ 5

ОСНОВНЫЕ ТЕХНИЧЕСКИЕ ХАРАКТЕРИСТИКИ КОНДЕНСАЦИОННЫХ ТУРБИН

| Тип турбины | Старое обозначение | Параметры сжатого пара | | Номинальный регулируемый отбор | Номинальные расходы пара и темп. при режимах с отбором пара конденсационном | | Монтажные характеристики | |
|-------------|--------------------|------------------------|-------------------|--------------------------------|---|-----------------|--------------------------|-----------------|
| | | старое обозначение | новое обозначение | | давление, атм | температура, °С | вес парогенератора, кг | вес турбины, кг |
| АПТ-12 | ПТ-12-35/10 | 12 000 | 35 | 435 | 91 | 150±10 | 10/1,2 | 295/106 |
| АТ-12 | Т-12-35 | 12 000 | 35 | 435 | — | 150±10 | 1,2 | 105 |
| АК-12 | К-12-35 | 12 000 | 35 | 435 | 95 | 150±10 | — | — |
| АК-6 | К-6-35 | 6 000 | 35 | 435 | 95 | 150±10 | — | — |
| АК-4,4* | — | 4 000 | 35 | 435 | 90 | — | — | — |
| АТ-6 | Т-6-35 | 6 000 | 35 | 435 | 95 | 150±10 | 1,2 | 120 |
| АТ-4 | Т-4-35 | 4 000 | 35 | 435 | 95 | 146±10 | 1,2 | 120 |
| АП-6 | П-6-35/5 | 6 000 | 35 | 435 | 95 | 150±10 | 5 | 230 |
| АП-4 | П-4-35/5 | 4 000 | 35 | 435 | 93 | 150±10 | 5 | 235 |
| АП-2,5 | П-2,5-35/5 | 2 500 | 35 | 435 | 95 | 150±10 | 5 | 240 |

* Турбина АК-4,4 предназначена для энергоплава.

** В комплект входит турбина с системой маслонаведения, устройством автоматики, конденсатор, конденсатные насосы, регенеративные подогреватели питательной воды, щиты приборов и сигнализации, трубопроводы с арматурой в пределах агрегата.

ПРИЛОЖЕНИЕ 6

ТИПЫ КОМПЛЕКТУЮЩЕГО ОБОРУДОВАНИЯ ПАРОТУРБИННЫХ УСТАНОВОК

(турбины с противодавлением)

| Турбина | P-1,5-15/3 (OP-1,5-3) | P _{1,5-35/15} (AP-1,5-3) | P _{2,5-35/3} (AP-2,5-3) | P _{2,5-35/5} (AP-2,5-6) | P _{4-35/3} (AP-4-3) | P _{4-35/10} (AP-4-11) | P _{4-35/6} (AP-4-6) |
|---------------------------------|--------------------------|--------------------------------------|-------------------------------------|-------------------------------------|---------------------------------|-----------------------------------|---------------------------------|
| Электрический генератор | T2Б-1,5-2 | T2Б-1,5-2 | T2-2,5-2 | T2-2,5-2 | T2-4,2 | T2-4,2 | T2-6-2 |
| Подогреватели высокого давления | — | — | — | — | — | — | — |
| пусковой | THM-6-20 | THM-6-20 | THM-6-20 | THM-6-20 | THM-6-20 | THM-6-20 | THM-6-20 |
| Вспомогательные масляные насосы | аварийный | P3-30 | P3-30 | P3-30 | B3-30 | P3-30 | P3-30 |

| Турбина | P-6-35/10 (AP-6-11) | P _{6-90/31} (BP-6-3) | P _{12-90/31} (BP-12-31) | P _{25-90/31} (BP-25-31) | P _{25-90/18} (BP-25-2) | P _{25-90/31} (BP-25-1) | P _{25-90/18} (BP-25-2) |
|---------------------------------|------------------------|----------------------------------|-------------------------------------|--|------------------------------------|------------------------------------|------------------------------------|
| Электрический генератор | 12-6-2 | 12-6-2 | 12-12-2 | T2-30-2 T2-25-2 TBC-30 TBC-25 | TBC-30-2 T2-25-2 TBC-25 | TBC-30 | TBC-30 |
| Покореватели высокого давления | — | — | — | — | — | — | — |
| вспомогательные масляные насосы | пусковой | THM-6-20 | KCM-50×5 | MТ-12-150 | MТ-12-150 | 6Н-7×26 | 6Н-7×26 |
| аварийный | — | P3-30 | 2K-6 | 3K-9a | 4НДв | 4НДв* | 4НДв* |

* В масляной системе имеется также резервный электронасос типа 4НДв с теми же характеристиками, что и аварийный насос.

ПРИЛОЖЕНИЕ 7

ОСНОВНЫЕ ТЕХНИЧЕСКИЕ ХАРАКТЕРИСТИКИ ТУРБИН С ПРОТИВОДАВЛЕНИЕМ КАЛУЖСКОГО ТУРБИННОГО ЗАВОДА

| Старое обозначение | Новое обозначение | Типы турбин | Параметры сжатого пара | Противодавление | Регулируемый отбор | | Монтажные характеристики | |
|--------------------|-------------------|-------------|------------------------|-----------------|--------------------|-----------|--------------------------|-----------|
| | | | | | без отбора | с отбором | без отбора | с отбором |
| АПР-6-5 (15) | — | 6 000 | 35 | 435 | 5 (4—7) | 235 | 300 | 84,5 |
| АПР-6-5 (10) | — | 6 000 | 35 | 435 | 5 (4—7) | 243 | 298 | 80,5 |
| АПР-6-1 (10) | — | 6 000 | 35 | 435 | 1,2 (0,7—2,5) | 130 | 299 | 68,8 |
| АПР-6-4 (5) | — | 6 000 | 35 | 435 | 1,2 (0,7—2,5) | 130 | 237 | 55,2 |
| АР-6-11 | — | 6 000 | 35 | 435 | 11 (8—13) | 301 | — | 17,5 |
| АР-6-10 | P-6-35/10 | 6 000 | 35 | 434 | 10 (8—13) | 293 | — | 17,5 |
| АР-6-6 | — | 6 000 | 35 | 435 | 6 (4—7) | 244 | — | 17,5 |
| АР-6-5 | P-6-35/5 | 6 000 | 35 | 435 | 5 (4—7) | 226 | — | 17,5 |
| АР-6-3 | P-6-35/3 | 6 000 | 35 | 435 | 3 (2—4) | 186 | — | 17,5 |
| АР-4-15 | P-4-35/15 | 4 000 | 35 | 435 | 15 (13—17) | 338 | — | 15,4 |
| АР-4-11 | — | 4 000 | 35 | 435 | 11 (8—13) | 306 | — | 15,2 |
| АР-4-6 | — | 4 000 | 35 | 435 | 6 (4—7) | 247 | — | 15,0 |
| АР-2,5-15 | P-2,5-35/15 | 2 500 | 35 | 435 | 15 (13—17) | 342 | — | 15,4 |
| АР-2,5-11 | — | 2 500 | 35 | 435 | 11 (8—13) | 307 | — | 15,2 |

| Старое обозначение | Новое обозначение | Типы турбин | Параметры сжатого пара | Противодавление | Регулируемый отбор | | Монтажные характеристики | |
|--------------------|-------------------|-------------|------------------------|-----------------|--------------------|-----------|--------------------------|-----------|
| | | | | | без отбора | с отбором | без отбора | с отбором |
| АР-1,5-11 | — | 1 500 | 35 | 435 | 11 (8—13) | 313 | — | 26,6 |
| АР-1,5-5 | P-1,5-35/5 | 1 500 | 35 | 435 | 5 (4—7) | 250 | — | — |
| АР-1,5-3 | P-1,5-35/3 | 1 500 | 35 | 435 | 3 (2—4) | 205 | — | — |
| • ОР-2,5-6 | — | 2 500 | 15 | 350 | 6 (4—7) | 256 | — | 63,0 |
| ОР-2,5-3 | — | 2 500 | 15 | 350 | 3 (2—4) | 193 | — | 34,3 |
| ОР-1,5-6 | — | 1 500 | 15 | 350 | 6 (4—7) | 260 | — | 35,2 |
| АР-6-35/3Б* | P-6-35/3Б | 6 000 | 35 | 435 | 3 (2—4) | 186 | — | 50,5 |
| АР-6-35/5Б* | P-6-35/5Б | 6 000 | 35 | 435 | 5 (4—7) | 226 | — | 60,0 |
| АР-6-10Б* | P-6-35/10Б | 6 000 | 35 | 435 | 10 (8—13) | 293 | — | 87,7 |
| ВР-12/30/31 | P-12/30/31 | 12 000 | 90 | 535 | 31 (29—33) | 400 | — | 189,0 |

* Поставляется в собранном виде (блочном); вес блока 50 т.

** Без насосной системы.

При массе 1 т в комплект входит турбина с боровашением масловой системы, пароходы, цапты приборов, щиты приборов и спринклерации, трубопроводы с арматурой в пакетах установки; турбонагнетатель АР-1,5-3 и АР-1,5-5 наст. крепл. редуктор чиста обратот.